

624  
C 78  
ΦPK



Библиотека  
дотера 81 пбх.  
Отод XI  
№ 9  
Собрание книг  
всего 14117

ДАР  
Виксман, А.



4.0.1464

Библиотека ВГАСУ

495084

# СТАТИКА СООРУЖЕНИЙ.

НАЧАЛЬНОЕ РУКОВОДСТВО

ПО ВАЛОЧНЫМЪ ФЕРМАМЪ, ПОДПОРНЫМЪ СТѢНКАМЪ И СВОДАМЪ.

ДОПОЛНИТЕЛЬНЫЯ СТАТЫ КЪ КУРСУ СТАТИКИ

НИКОЛАЕВСКАГО ИНЖЕНЕРНАГО УЧИЛИЩА.

СОСТАВИТЬ

**С. П. БОБРОВСКИЙ,**

военный инженеръ.

Пособіе для начинающихъ изученіе строительной механики, для офицеровъ инженерныхъ войскъ, студентовъ и техниковъ.

Съ приложеніемъ 32 примъровъ  
и  
185 чертежами въ текстъ.

С.-ПЕТЕРБУРГЪ.  
Изданіе К. Л. РИЖКЕРА.  
Невскій пр., 14.  
1906.

624  
С 78  
ФРК

БИБЛИОТЕКА



Дополнено пентауром. С.-Петербург, 24 сентября 1905 года.

624.041

## Предисловіе.

Настоящее руководство имѣетъ цѣлью служить пособіемъ для начинающихъ изученіе строительной механики и для практическаго пользованія при статическомъ изслѣдованіи простѣйшихъ сооруженій.

Ближайшая же задача руководства есть дополненіе курса статики Николаевскаго Инженернаго Училища вопросами, которые не могутъ быть по недостатку времени включены въ программу училища въ объемѣ настоящаго руководства, (составляющаго такимъ образомъ II часть статики), но знакомство съ которыми для офицера инженерныхъ войскъ является часто весьма полезнымъ.

Дѣйствительно, саперному офицеру приходится имѣть дѣло съ техническими расчетами временныхъ мостовъ, вышекъ, стропиль, простѣйшихъ видовъ сводчатыхъ покрытій и подпорныхъ стѣнокъ. При этихъ расчетахъ офицеры пользуются или специальными наставленіями, или курсомъ военныхъ сообщеній, въ которыхъ главное вниманіе обращено на конструкцію сооружений и для расчета даются лишь готовыя формулы; между тѣмъ, въ весьма многихъ случаяхъ, знакомство съ теоріей равновѣсія сооруженія даетъ возможность, пользуясь тѣми или другими способами, рѣшить задачу и быстрее и полнѣе. Напримѣръ, многія задачи статики сооружений рѣшаются весьма просто графическимъ путемъ и потому знакомство съ нимъ является въ настоящее время весьма необходимымъ.

Для облегченія практическаго пользованія, руководство кромѣ теоретическаго изложенія заключаетъ въ себѣ два

приложения. *Приложение первое* составляют численные примеры и задачи съ рѣшеніями; *приложение второе* — данныя о нагрузкахъ и вѣсѣ сооружений, необходимыя для ихъ проектированія.

Въ текстѣ встрѣчаются ссылки на курсъ статики. Эти ссылки обозначены такъ: (I, 35), т. е. часть I стр. 35. Жирныя цифры указываютъ не страницу, а номеръ, въ которомъ трактуется о данномъ вопросѣ.



## ОГЛАВЛЕНІЕ.

М.М.	Стр.
Введеніе . . . . .	1

## ГЛАВА I.

## Балка свободнолежащая на двухъ опорахъ.

1. Общія замѣчанія . . . . .	5
<b>§ 1. Сопротивленія опоръ.</b>	
2. Сосредоточенная непосредственная нагрузка . . . . .	8
3. Равномерно распределенная непосредственная нагрузка . . . . .	10
4. Произвольная узловая нагрузка . . . . .	12
<b>§ 2. Поперечныя силы.</b>	
<b>А. Непосредственная передача груза.</b>	
а) Постоянная нагрузка.	
5. Поперечныя силы отъ сосредоточенныхъ грузовъ . . . . .	13
6. Поперечныя силы отъ равномерно распределенной нагрузки . . . . .	16
б) Временная нагрузка.	
7. Поперечныя силы отъ системы сосредоточенныхъ грузовъ . . . . .	18
8. Поперечныя силы отъ равномерно распределенной нагрузки . . . . .	21
<b>В. Узловая передача груза.</b>	
а) Постоянная нагрузка.	
9. Поперечныя силы отъ сосредоточенной нагрузки . . . . .	24
10. Поперечныя силы отъ равномерно распределенной нагрузки . . . . .	26
б) Временная нагрузка.	
11. Поперечныя силы отъ сосредоточенныхъ грузовъ . . . . .	28
12. Поперечныя силы отъ системы подвижныхъ грузовъ . . . . .	31
13. Поперечныя силы при равномерно распределенной нагрузкѣ . . . . .	34

## § 3. Изгибающие моменты.

## А. Непосредственная передача груза.

## а) Постоянная нагрузка.

14. Изгибающий момент при сосредоточенных грузах . . . . .	Стр. 37
15. Изгибающий момент при равномерно распределенной нагрузке . . . . .	43

## б) Временная нагрузка.

16. Определение наибольшего изгибающего момента в данном сечении . . . . .	48
17. Определение наибольшего изгибающего момента для всей балки . . . . .	53

## В. Узловая передача грузов.

## а) Постоянная нагрузка.

18. Изгибающие моменты от сосредоточенных грузов . . . . .	57
19. Изгибающие моменты от равномерно распределенной нагрузки . . . . .	58

## б) Временная нагрузка.

20. Изгибающие моменты от системы сосредоточенных грузов . . . . .	59
--	----

## § 4. Балка со связями.

21. Сопротивления опор . . . . .	60
22. Поперечные силы . . . . .	63
23. Изгибающие моменты . . . . .	66

## ГЛАВА II.

## Решетчатая балочная ферма на двух опорах.

## § 5. Статически определимая ферма.

24. Общие понятия . . . . .	71
-----------------------------	----

## § 6. Исследование усилий в решетчатых фермах.

25. Общие приемы . . . . .	75
26. Свойства усилий в стержнях решетки и поясов . . . . .	78
27. Общие выражения для усилий в полигональной ферме . . . . .	84
28. Способ Крэмона . . . . .	88
29. Способ Риттера . . . . .	94
30. Способ Кузманя . . . . .	99

## § 7. Стропильная ферма.

31. Построение диаграмм для вертикальных сил . . . . .	103
32. Построение диаграмм усилий от ветра . . . . .	107

## ГЛАВА III.

## Подпорные стѣны.

## § 8. Распоръ земли.

## А. Теорія Робана.

33. Уголъ естественнаго откоса . . . . .	Стр. 112
34. Плоскость скольжения . . . . .	114
35. Треугольникъ давленія . . . . .	119
36. Распределение распора на стѣнку . . . . .	121

## В. Определение распора въ частныхъ случаяхъ.

37. Подпорная стѣнка вертикальна, насыпь горизонтальна . . . . .	125
38. Поверхность насыпи направлена подъ угломъ естественнаго откоса . . . . .	128
39. Поверхность насыпи ограничена ломаною линіей . . . . .	129
40. Подпорная стѣнка расположена вѣдъ насыпи . . . . .	130

## § 9. Нагрузка, дѣйствующая на насыпь.

42. Параллелограммъ давленія . . . . .	131
43. Треугольникъ полного давленія . . . . .	135
44. Распределение давленія на подпорную стѣнку . . . . .	137

## § 10. Расчетъ подпорныхъ стѣнокъ.

45. Общія указанія . . . . .	139
------------------------------	-----

## § 11. Отпоръ земли.

46. Треугольникъ отпора . . . . .	143
-----------------------------------	-----

## ГЛАВА IV.

## Цилиндрической сводъ.

## § 12. Равновѣсіе свода.

47. Общія замѣчанія . . . . .	146
48. Статическая опредѣляемость, сопротивленія опоръ, горизонтальный распоръ . . . . .	148
49. Коэффициентъ устойчивости . . . . .	151
50. Кривая давленій . . . . .	153
51. Главныя кривыя давленій . . . . .	160
52. Построение вѣроятной кривой давленія . . . . .	165

## § 13. Расчетъ свода.

53. Напряжение въ швахъ . . . . .	172
54. Толщина свода . . . . .	177
55. Начертаніе свода . . . . .	184

## § 14. Опоры сводовъ.

56. Устои . . . . .	186
57. Быки . . . . .	190

## ПРИЛОЖЕНИЕ I.

## Задачи и примѣры.

## Къ главамъ I и II.

1—10. Балочная ферма . . . . .	Стр. 193
--------------------------------	-------------

## Къ главѣ II.

## Рѣшетчатая балочная ферма.

11—17. Диаграммы Кренона . . . . .	211
18—20. Мостовая ферма . . . . .	230

## Къ главѣ III.

21—24. Подпорная стѣнка . . . . .	231
-----------------------------------	-----

## Къ главѣ IV.

25—31. Цилиндрическій сводъ . . . . .	237
32. Расчетъ давленія на кружала . . . . .	251

## ПРИЛОЖЕНИЕ II.

## Данныя о нагрузкахъ сооружений.

I. Собственный вѣсъ строительныхъ матеріаловъ . . . . .	263
II. " " и нагрузка крыша . . . . .	264
III. Нагрузка междуэтажныхъ перекрытій . . . . .	266
IV. Собственный вѣсъ и нагрузка мостовъ . . . . .	267
Литература . . . . .	268

## ЧАСТЬ ВТОРАЯ.

## ВВЕДЕНІЕ.

Законы статики, изложенные въ I части являются основаніемъ для механическаго расчета всякаго рода инженерныхъ сооружений. Такими расчетами занимается Строительная механика, состоящая изъ двухъ отдѣловъ: Статики сооружений и Сопротивленія матеріаловъ (въ обширномъ смыслѣ).

Строительная механика ставитъ себѣ цѣлью опредѣлить устойчивость и прочность сооружений. Для первой цѣли необходимо знаніе вѣшнихъ силъ, дѣйствующихъ на сооруженіе, для второй—кромѣ того знаніе силъ внутреннихъ.

Съ послѣднею цѣлью въ строительной механикѣ пользуются слѣдующимъ приемомъ. (I, 21). Выдѣляютъ мысленно изъ рассматриваемаго тѣла произвольную часть и изслѣдуютъ ее какъ тѣло, подверженное дѣйствію силъ активныхъ и силъ связей, т. е. внутреннія силы, (или лишь равнодѣйствующія этихъ силъ), приложенныя къ поверхностямъ сѣченій выдѣленной части, служащая связью выдѣленной части тѣла съ остальною, неразсматриваемою въ данный моментъ, трактуются какъ вѣшнія силы.

Если всѣ силы, дѣйствующія на всю систему, или на выдѣленную изъ нея указанномъ способомъ часть, могутъ быть приведены къ такой совокупности, которая удовлетворяетъ условнымъ уравненіямъ равновѣсія статики, т. е. если число неизвѣстныхъ силъ связей равно числу условій равновѣсія, даваемыхъ статикой, то такая система (сооруженіе) называется статически опредѣлимою. Когда указанное равенство неизвѣстныхъ съ числомъ статическихъ условій имѣетъ мѣсто по отношенію всей системы, т. е. когда число неизвѣстныхъ есть число вѣшнихъ связей—опоръ, то статическая опредѣлимость будетъ вѣшнюю; когда же имѣетъ мѣсто равенство числа, неизвѣстныхъ силъ связей, дѣйствующихъ на любую изъ выдѣляемыхъ

частей системы—съ числомъ статическихъ условий равновѣсія, то система будетъ внутренне статически опредѣлимою \*).

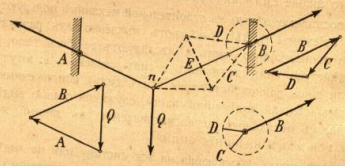
Въ этихъ случаяхъ основною посылкою для дальнѣйшихъ изслѣдованій является неизмѣняемость системы (1, Введение).

Если число неизвѣстныхъ силъ связей (внѣшнихъ или внутреннихъ), при приведеніи ихъ къ наименьшей совокупности, превышаетъ число условий равновѣсія, даваемыхъ статикой, то система будетъ внѣшне или внутренне статически неопредѣлимою. Для изслѣдованія равновѣснаго состоянія такой системы, необходимо прибавить добавочныя условія. Эти условія получаютъ изъ изученія деформаціи системы, что составляетъ предметъ особаго отдѣла сопротивленія матеріаловъ—теоріи упругости.

Пояснимъ сказанное о статической опредѣлимости примѣрами.

1) Балка свободно лежащая на двухъ опорахъ и подверженная дѣйствию грузовъ, статически опредѣлима по отношенію къ сопротивленіямъ опоръ; но если прибавить третью опору, то статическая опредѣлимость пропадетъ, такъ какъ равнодѣйствующая грузовъ не можетъ быть средствами статикой разложена на 3 составляющія (1, 23).

2) Подвѣсимъ грузъ  $Q$  на нить, закрѣпленную своими концами въ неподвижныхъ точкахъ  $A$  и  $B$ . Сопротивленія опоръ  $A$  и  $B$  найдутся тотчасъ же разложениемъ силъ  $Q$  на двѣ составляющія  $A$  и  $B$  для чего на черт. 1, построимъ треугольникъ силъ  $ABQ$ . Эти составляющія укажутъ усилія въ каждомъ изъ концовъ нити. Система и внутренне и внѣшне статически опредѣ-



Черт. 1.

лима. Теперь, оставивъ неизмѣннымъ положеніе точекъ  $A$  и  $B$ , вмѣсто нити и  $B$  возьмемъ нити  $C$  и  $D$ , закрѣпленныя къ той же поддерживающей нити  $C$  и  $D$  разведемъ и скрѣпимъ между собою точкѣ  $B$ . Поддерживающія опоры останутся тѣ же. Усилія въ нитяхъ  $C$  и  $D$  найдутся разло-

\*) Замѣтимъ, что внутренняя статическая опредѣлимость еще не даетъ возможность средствами статикой изслѣдовать всѣхъ внутреннихъ силъ, ибо ихъ составляющія, что относится уже къ предмету сопротивленія матеріаловъ, оперирующему съ силами, дѣйствующими на элементъ поверхности сѣченія, т. е. съ такъ называемыми напряжениями.

женіемъ опорнаго сопротивленія  $B$  на двѣ составляющихъ  $C$  и  $D$ . Дѣйствительно, если выдѣлить опорную точку съ приложенными къ ней силами, какъ указано на чертѣжѣ, то найдемъ, что на неподвижную точку  $B$  дѣйствуютъ три силы: два неизвѣстныхъ натяженія (внутреннія силы)  $C$  и  $D$  и одна (внѣшняя) сила—сопротивленіе опорной точки  $B$ . Задача разрешается средствами статикой построениемъ треугольника силъ  $BCD$ ,—система внутренне статически опредѣлима. Наконецъ, вмѣсто двухъ нитей прибавимъ еще третью, удерживающую нить, оставивъ неизмѣннымъ положеніе точекъ  $A$ , и  $B$  и грузъ  $Q$ ; внѣшняя статическая опредѣлимость снова имѣетъ мѣсто; но система станетъ внутренне статически неопредѣлимою. Дѣйствительно, выдѣляя сѣченіемъ узелъ  $B$ , какъ сдѣлано выше, найдемъ что на выдѣленную точку  $B$  будетъ дѣйствовать одна извѣстная и три неизвѣстныхъ силы; но силу нельзя разложить опредѣленнымъ образомъ на три направленія, т. е. средства статикой не даютъ опредѣленнаго рѣшенія для нахождения внутреннихъ силъ.

Итакъ статика сооружений изучаетъ равновѣсіе несвободныхъ системъ, т. е. занимается отысканіемъ силъ связей. Знаніе внѣшнихъ силъ связей необходимо для изслѣдованія устойчивости сооруженія, въ его цѣломъ и для опредѣленія внутреннихъ силъ связей. По этимъ даннымъ, пользуясь пріемами сопротивленія матеріаловъ, получаютъ, по равнодѣйствующимъ, составляющія этихъ внутреннихъ силъ, и опредѣляютъ прочность частей сооруженія\*).

Въ настоящемъ курсѣ разсмотрѣны простѣйшія статически опредѣлимая системы, служащая основаніемъ большаго числа всякаго рода сооружений.

Всѣ эти системы составляютъ задачу равновѣсія силъ на плоскости, такъ какъ разсматриваемыя сооруженія всѣ имѣютъ плоскость симметріи, и силы, на нихъ дѣйствующія, располагаются въ этой плоскости.

\*) Статика сооружений имѣетъ дѣло съ силами, а сопротивленіе матеріаловъ, для рѣшенія своихъ задачъ вводитъ новое понятіе—напряженіе.

## ГЛАВА I.

### Балка свободно лежащая на двух опорахъ.

#### 1. Общія замѣчанія.

Стержень свободно лежащій на двухъ горизонтальныхъ опорахъ и нагруженный грузами, производитъ вертикальныя давленія на опоры, направленныя внизъ. Такой стержень будемъ называть балкою. Въ то же время по началу противоѣдствія, опорныя точки оказываютъ на балку давленія равныя и противоположныя предыдущимъ; эти давленія называются сопротивленіями опоръ. Грузы и сопротивленія опоръ называются внѣшними силами, въ отличіе отъ силъ внутреннихъ, проявляющихся въ частяхъ самой балки.

Нагрузка можетъ состоять или изъ отдѣльныхъ грузовъ, какъ обыкновенно говорятъ—сосредоточенныхъ грузовъ  $P$ , или изъ нагрузки непрерывно распределенной по части балки, или по всей ея длинѣ. Мы будемъ разсматривать равномерно распределенную нагрузку  $p$ . Само собою нагрузка сосредоточенными грузами можетъ существовать одновременно съ равномерно распределенной.

Нагрузка можетъ быть приложена къ балкѣ непосредственно, тогда имѣемъ дѣло съ непосредственно нагруженной балкой, или же нагрузка передается, тѣмъ или другимъ способомъ, всегда лишь опредѣленнымъ точкамъ, тогда имѣемъ балку съ узловою нагрузкой. Напримѣръ, потолочная балка несетъ обыкновенно равномерно распределенную нагрузку, а главныя балки въ мостѣ получаютъ нагрузку черезъ посредство второстепенныхъ балокъ, т. е. имѣютъ узловую нагрузку. Разстояніе между узлами называютъ панелью.

Далѣе, различаютъ нагрузки постоянную, дѣйствующую постоянно и временную, каковая обыкновенно бываетъ подвижная. Такъ, собственный вѣсъ балки есть нагрузка постоянная, а нагрузка отъ повозки подвижная; давленіе на крышу снѣга временная неподвижная.

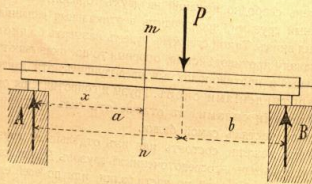


Временную сосредоточенную нагрузку рассматривают обыкновенно в видѣ системы неизменно между собою связанных подвижных грузовъ, напримеръ колесъ поѣзда, повозки, гдѣ разстоянія между колесами при ихъ передвиженіи—не измѣняются. Въ дальнѣйшемъ для краткости такая нагрузка называется просто системою сосредоточенныхъ грузовъ.

Въ зависимости отъ расположенія опорныхъ точекъ, различаютъ балки на двухъ опорахъ, простыя—если балка опирается своими концами и консольныя балки, или балки со свѣшивающимися концами, когда опорныя точки располагаются между концами балокъ.

Когда балка служитъ основаніемъ болѣе или менѣе сложной конструкции, то ее также называютъ балочной фермою. Болѣе точное опредѣленіе термина «ферма» указано въ главѣ II.

Пусть имѣемъ балку  $AB$ , на которую дѣйствуетъ одинъ грузъ  $P$ . Гдѣ бы этотъ грузъ ни былъ помѣщенъ, мы съумѣемъ опредѣлить тѣ сопротивленія опоръ, которая онъ вызоветъ. Обыкновенно, раз-



Черт. 2.

сматривая равновѣсіе балки считаютъ направленіе сопротивленія опоръ вверхъ положительнымъ, а внизъ отрицательнымъ. Мы уже замѣтили что сопротивленія опоръ въ данномъ случаѣ должны быть направлены вверхъ, т. е. будутъ положительными.

Для рѣшенія же вопроса о внутреннихъ силахъ или напряженіяхъ вытекающихъ внутри балки, необходимыхъ для опредѣленія прочности балки, при помощи средствъ «сопротивленія матеріаловъ», поступимъ слѣдующимъ образомъ, уже указаннымъ во введеніи.

Проведемъ на черт. 2 вертикальное сѣченіе  $mn$  въ произвольномъ разстояніи отъ лѣвой опоры и предположимъ, что правая часть балки мысленно отброшена. Тогда, чтобы рассматриваемая лѣвая часть осталась въ равновѣсіи, придется въ сѣченіи  $mn$  къ ней прибавить нѣкоторыя силы, которая и будутъ замѣнять воздѣйствіе на лѣвую

часть правой, отброшенной части. Для равновѣсія, какъ мы знаемъ, необходимо, чтобы сумма проекцій силъ на каждую изъ двухъ прямоугольныхъ осей равнялась нулю, и чтобы сумма моментовъ силъ относительно произвольной точки плоскости равнялась нулю. За ось координатъ возьмемъ данное сѣченіе  $m$ , а за начало координатъ центръ тяжести сѣченія балки. Тогда \*) условія равновѣсія статики дадутъ:

$$\begin{aligned} Y + A &= 0; \\ M + Ax &= 0. \end{aligned} \quad (1)$$

Уравненія (1) даютъ зависимость между силами связей и внѣшними силами и составляютъ переходъ къ ученію о прочности. Задача же статики сооружений умѣть такъ оперировать съ внѣшними силами, чтобы привести ихъ къ суммѣ силъ, дѣйствующихъ по одну сторону сѣченія и къ суммѣ моментовъ силъ, дѣйствующихъ по одну сторону сѣченія, относительно нѣкотораго центра. Сумма внѣшнихъ силъ, дѣйствующихъ напр. на лѣвую часть балки и, въ данномъ частномъ случаѣ, равная  $A$ , называется поперечною или перерѣзывающею силою, а сумма моментовъ внѣшнихъ силъ относительно данной точки сѣченія, т. е., въ данномъ частномъ случаѣ, количество  $Ax$ , называется изгибающимъ моментомъ. Если къ лѣвой части балки приложена сила  $A$ , дѣйствующая вверхъ, то для равновѣсія, вмѣсто правой части, въ сѣченіи  $mn$  должна быть приложена сила  $-A$ , т. е. значить на правую часть дѣйствуетъ сила равная  $A$ , но текущая внизъ; поэтому поперечныя силы по сторонамъ сѣченія равны по величинѣ, но знакопротивоположны. Тоже самое можно сказать и про изгибающіе моменты.

Итакъ, при принятыхъ нами ограниченіяхъ т. е. когда балка подвержена дѣйствию грузовъ и сѣченіе проведено вертикально, опредѣленія терминовъ: поперечная сила и изгибающій моментъ будутъ слѣдующія:

**Поперечная сила** въ данномъ сѣченіи равна суммѣ внѣшнихъ силъ, дѣйствующихъ на отсѣченную часть балки.

**Изгибающій моментъ** для данного сѣченія равенъ суммѣ моментовъ внѣшнихъ силъ, дѣйствующихъ на отсѣченную часть балки, относительно произвольной точки плоскости сѣченія.

Изъ вышесказаннаго слѣдуетъ, что совершенно достаточно рассматривать равновѣсіе одной изъ частей балки. Въ послѣдующемъ мы всегда будемъ изслѣдовать равновѣсіе лѣвой части балки и обозначать изгибающій моментъ черезъ  $M$ , а поперечную силу черезъ  $S$ , причѣмъ значки  $i$  указываютъ абсциссу сѣченія относительно лѣвой опоры.

\*) Третье уравненіе  $X=0$ , при дѣйствіи грузовъ, обращается въ тождество.

Для нахождения количеств  $S$  и  $M$  необходимо знать сопротивление опор. Итак, предстоящая задача состоит в определении сопротивлений опор, поперечных сил и изгибающих моментов.

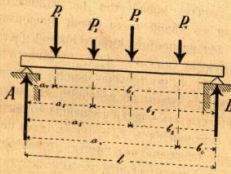
§ 1.

Сопротивления опор.

а. Непосредственная нагрузка.

2. Сосредоточенная непосредственная нагрузка.

Пусть имеем балку  $AB$  с сосредоточенными грузами  $P_1, P_2, P_3, P_4$ . Назовем сопротивление левой опоры через  $A$  и сопротивление правой через  $B$ . Для определения величин  $A$  и  $B$ , вообще говоря, удобнее всего воспользоваться условиями равновесия моментов



Черт. 3.

сил, так как неизвестных сопротивлений опор два, а уравнений моментов, в которых бы входили эти неизвестные, мы можем составить также не меньше двух. Если же воспользоваться условиями равновесия проекций сил, то получим одно уравнение (проекция на вертикальную ось) с двумя неизвестными. Для определения сопротивления опоры  $A$ , берем сумму моментов всех внешних сил относительно опоры  $B$ . Так как балка  $AB$  под влиянием всех сил находится в равновесии, то эта сумма должна равняться 0.

$$Al - P_1 b_1 - P_2 b_2 - P_3 b_3 - P_4 b_4 = 0,$$

или

$$Al = \sum P_i b_i.$$

Совершенно также написали бы и второе условие

$$Bl = \sum P_i a_i.$$

Если бы имели не 4, а  $n$  сил, то указатель у знака  $\sum$  вместо 4 был бы  $n$ . Таким образом, выражения для величин сопротивлений опор имеют вид:

$$A = \frac{1}{l} \sum P_i b_i \text{ и } B = \frac{1}{l} \sum P_i a_i, \quad (2)$$

где для краткости значки у сумм и указатели  $i$  у букв опущены.

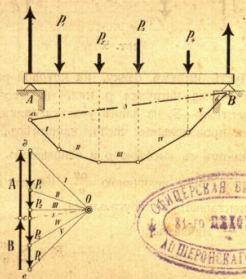
Поэтому имеем общее правило определения сопротивления опоры: надо взять сумму моментов всех внешних сил относительно второй опоры и разделить ее на величину пролета.

Конечно, совершенно тоже получили бы пользуясь и правилом сложения параллельных сил, но вычисления были бы утомительнее. В частном случае, если бы все грузы были симметричны относительно точек опор, как по расположению сил, так и по величине, то очевидно и сопротивления опор были бы между собой равны и тогда для их определения, проще было бы написать условие равновесия проекций сил, т. е.

$$A + B = \sum P \quad \text{и} \quad A = B = \frac{1}{2} \sum P.$$

Возьмем ту-же балку с четырьмя грузами. По известным правилам построим веревочный многоугольник. Мы знаем, что если все силы находятся в равновесии, то, как многоугольник сил, так и веревочный многоугольник, должны быть замкнутыми. Крайние бока веревочного многоугольника, построенного на силах  $P_1, P_2, P_3$  и  $P_4$  перескажут силы сопротивления опор, с которыми и должны уравниваться.

Выведем же силы сопротивления опор, с которыми и должны уравниваться. Веревочный многоугольник будет замкнутым, если точка пересечения боков I и V с направлениями сопротивлений опор  $A$  и  $B$  соединить между собой. Получим замыкающий бок, которому в многоугольнике Вариньона должен соответствовать луч. Провода из полюса луч  $Oe$ , получим силы  $ea, eb$ , которые и будут сопротивлениями опор  $A$  и  $B$ .



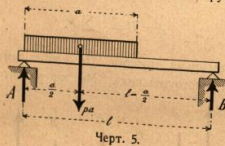
Черт. 4.



Действительно, все силы, проходящая через точку  $a$ , должны быть в равновесии и потому должны составлять сомкнутый многоугольник. Силы  $cd$ ,  $dO$  и  $Oc$  образуют сомкнутый треугольник, потому  $cd = A$  и есть сопротивление левой опоры и течение ее направлено вверх. Точно также  $bc = B$  есть сопротивление правой опоры, текущее тоже вверх.

### 8. Равномерно распределенная непосредственная нагрузка.

Пусть теперь нагрузка будет равномерно распределенная. Такая нагрузка изобразится в виде прямоугольника, высота которого равна величине нагрузки на единицу длины; тогда площадь прямоугольника даст величину всей равномерно распределенной нагрузки. Например, если имеем равномерно распределенную нагрузку в 500 кил. на погонный метр длины балки, тогда очевидно на длине 10 м. полная распределенная нагрузка составит 5000 кил., поэтому,



Черт. 5.

если построить прямоугольник с условной высотой изображающей 500 кил., то площадь прямоугольника на длине тех-же 10 м. составит 5000 кв. ед., т. е. число единиц площади даст число единиц равномерно распределенной нагрузки на протяжении данной части балки. Пусть имеем балку, на которой расположена равномерно распределенная нагрузка  $p$  кил. на погонный метр, как показано на чертеже—5, на длине участка балки  $a$ . Площадь  $pa$  можем разбить на произвольное число, например, на  $n$  отдельных прямоугольников с высотой  $p$  и основанием  $\frac{a}{n}$ . Тогда получим  $n$  отдельных сил величину  $\frac{pa}{n}$ . Каждая пройдет через середину элементарного прямоугольника.

Найдем:

$$-Bl + \sum \frac{pa}{n} x_i = 0;$$

где  $x_i$  есть расстояние середины произвольного прямоугольника  $i$  от точки  $A$ .

Но мы знаем, что сумма моментов составляющих равна моменту равнодействующей. Величина равнодействующей есть  $pa$ , а

расстояние ее точки приложения от левой опоры  $\frac{a}{2}$ ; так как очевидно она пройдет через середину прямоугольника  $pa$ . Поэтому предыдущее уравнение напишется так:

$$-Bl + pa \cdot \frac{a}{2} = 0, \text{ и } B = \frac{pa^2}{2l}.$$

В предель, при бесконечно малой величине участков  $dx$ , момент от равномерно распределенной нагрузки изобразится так:

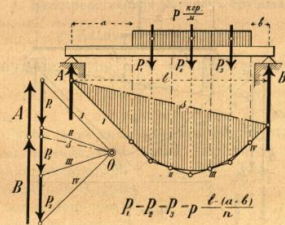
$$\int_0^a p dx \cdot x = p \left[ \frac{x^2}{2} \right]_0^a = \frac{pa^2}{2}.$$

Сопротивление опоры  $A$  проще всего получить из уравнения проекции сил.

$$A + B - pa = 0; \quad A = pa - \frac{pa^2}{2l}.$$

Если нагрузка распределена по всей длине пролета, то  $a = l$ .

$$A = B = \frac{pl}{2}. \quad (3)$$



Черт. 6.

Для графического решения вопроса при равномерно распределенной нагрузке, на основании вышесказанного, можно было бы равномерно распределенную нагрузку заменить ее равнодействующей и следовательно построить вероучный многоугольник для трех сил: величины полной нагрузки и двух сопротивлений опор и затем провести замыкающий бок. Можно также равномерно распре-

ленную нагрузку замѣнить не одною равнодѣйствующею, а разбить площадь нагрузки на произвольные участки и построить соответствующие имъ грузы; построение указано на чертѣжѣ 6. Само собой, не представляет затрудненія определить, какъ аналитически, такъ и графически, сопротивленія опоръ въ случаѣ смѣшанной нагрузки (начало независимости дѣйствія силъ), т. е. когда на балку дѣйствуетъ, какъ непрерывно распределенная нагрузка, такъ и сосредоточенные грузы.

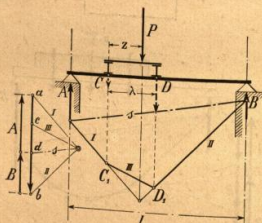
б. Узловая нагрузка.

4. Произвольная узловая нагрузка.

Если дѣйствіе груза  $P$  передается балкѣ  $AB$  не непосредственно, а при помощи двухъ поперечныхъ балокъ  $C$  и  $D$ , то эти балки служатъ опорами для вспомогательной балки  $CD$  и принимаютъ давленія, величина которыхъ согласно вышеизложенному будетъ:

$$C = P \frac{\lambda - z}{\lambda} \quad \text{и} \quad D = P \frac{z}{\lambda},$$

гдѣ  $\lambda$  есть разстояніе между точками  $C$  и  $D$  и  $z$  разстояніе груза  $P$



Черт. 7.

отъ точки  $C$ . Пусть  $a$  есть разстояніе балки  $C$  отъ лѣвой опоры и  $b$  ея разстояніе отъ правой, тогда сопротивленія опоры  $A$  будутъ:

$$A = C \frac{b}{l} + D \frac{b - \lambda}{l} \quad \text{и} \quad B = C \frac{a}{l} + D \frac{a + \lambda}{l}.$$

Подставляя сюда найденныя значенія для  $C$  и  $D$ , найдемъ

$$A = P \frac{b - z}{l}, \quad \text{и} \quad B = P \frac{a + z}{l}.$$

Но изъ чертежа видно, что если назовемъ разстояніе груза отъ лѣвой опоры черезъ  $x$ , то  $b - z = l - x$ , и  $a + z = x$ , значитъ

$$A = P \frac{l - x}{l} \quad \text{и} \quad B = P \frac{x}{l},$$

какъ и для непосредственной нагрузки.

Этого и слѣдовало ожидать, если припомнить, что моментъ равнодѣйствующей параллельныхъ силъ, относительно произвольной точки, равенъ суммѣ моментовъ силъ составляющихъ, относительно того-же центра.

Поэтому, для опредѣленія сопротивленій опоръ балки съ узловою нагрузкою, слѣдуетъ воспользоваться правиломъ опредѣленія сопротивленій опоръ балки съ непосредственною нагрузкою, не обращая вниманія на узловую передачу.

Если нагрузка распределена равномерно, то очевидно придемъ къ тому-же выводу.

§ 2.

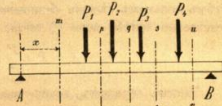
Поперечная сила.

А. Непосредственная передача грузовъ.

а. Нагрузка постоянная.

Б. Поперечная сила отъ сосредоточенныхъ грузовъ.

Поперечная или перерѣзывающая сила въ данномъ сѣченіи, какъ видѣли, равна суммѣ силъ, дѣйствующихъ на отдѣленную сѣченомъ, разсматриваемую часть балки. Такъ, пусть имѣемъ балку  $AB$ , на которую дѣйствуютъ четыре сосредоточенныхъ груза, и положимъ, мы желаемъ узнать величину поперечной силы для сѣченія  $mn$ . На часть балки лѣвѣе сѣченія  $mn$  дѣйствуетъ лишь одна сила — сопротивленія опоры  $A$ , текущее вверхъ, поэтому поперечная сила въ сѣченіи  $mn$



Черт. 8.

очевидно равна сопротивленію лѣвой опоры  $A$  и для лѣвой части она положительна. Такъ какъ нахождение поперечныхъ силъ сводится къ опредѣленію суммы внѣшнихъ силъ, дѣйствующихъ

ших по одну сторону сечения, то поперечная сила для взятых сечений будет:

$$\begin{aligned} \text{Сечение } mn \text{ поперечная сила } S_1 &= A; \\ \gg \text{ } pp \gg & \gg S_2 = A - P_1; \\ \gg \text{ } qr \gg & \gg S_3 = A - P_1 - P_2; \\ \gg \text{ } st \gg & \gg S_4 = A - P_1 - P_2 - P_3; \\ \gg \text{ } uv \gg & \gg S_5 = A - P_1 - P_2 - P_3 - P_4. \end{aligned}$$

Вообще

$$S_x = A - \sum_{i=1}^k P_i, \quad (4)$$

где  $P_1$  до  $P_k$  грузы, действующие на левую часть. Из условия равновесия следует, что на правую часть действуют совершенно такие же силы, но текущая в противоположную сторону. Из выражения для  $S_x$  видно, что для определения поперечной силы надо из сопротивления опоры, лежащей со стороны рассматриваемого участка балки, вычесть все грузы, расположенные между опорой и данным сечением. Отсюда следует, что наибольшая (по абсолютной величине) поперечная сила будет над опорой. Если дать величинам  $A$  и  $P$  некоторое определенное значение, то легко видеть, что поперечная сила, при приближении к середине балки, постепенно уменьшается и наконец становится отрицательной. Так как она изменяется не обращаясь в бесконечность, то, очевидно, должна пройти через значение  $= 0$ . Поясним это примѣром. Пусть, например, имѣем балку с одним сосредоточенным грузом по середине,  $P$ . Возьмем сечение вблизи силы, но чуть-чуть лѣвѣе ея; сумма силъ действующих на лѣвую часть балки будет

$$S_x = A - \frac{P}{2} > 0;$$

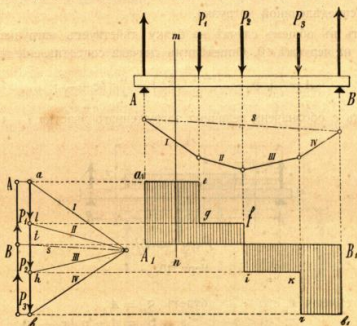
затѣм возьмем сечение бесконечно близко къ правому, но непосредственно правѣе силы  $P$ , тогда,

$$S_x = A - P = \frac{P}{2} - P = -\frac{P}{2} < 0.$$

Такимъ образомъ, поперечная сила, при переходѣ сечения черезъ точку приложения силы  $P$ , изменила свой знакъ; а это можетъ быть только въ томъ случаѣ, если въ сечении проведенномъ черезъ силу  $P$ , величина  $S_x$  прошла черезъ значение 0.

Поэтому, при сосредоточенной нагрузкѣ поперечная сила измѣняетъ свой знакъ въ сечении, проходящемъ черезъ одинъ изъ грузовъ.

При графическомъ рѣшеніи вопроса, воспользуемся слѣдующимъ построениемъ. Пусть имѣемъ балку, на которую действуют сосредоточенные грузы, какъ показано на черт. 9. Построимъ веревочный многоугольникъ; опредѣлимъ сопротивления опоръ. Изъ точки  $t$  проводимъ линію параллельную балкѣ  $AB$  и на эту линію проектируемъ точки опоры  $A$  и  $B$  въ точкахъ  $A_1$  и  $B_1$ . Разсмотримъ силы, действующія на лѣвую часть балки. Лѣвѣ сечения  $mn$  действуетъ лишь сопротивление опоры  $A$ . Эта поперечная сила действуетъ на всемъ протяженіи вплоть до сечения, проходящаго вблизи  $P_1$ , лѣвѣе ея. Поэтому проектируемъ весь отрезокъ  $ta$  на линію  $AA_1$  и изъ полученной точки  $a_1$  проводимъ линію  $a_1e$  до пересѣченія съ продолженной



Черт. 9.

силой  $P_1$ ; ординаты этого участка диаграммы дадутъ величину поперечной силы, для любого сечения, проведеннаго между опорой  $A$  и силой  $P_1$ .

Въ сечении правѣе силы  $P_1$  поперечная сила будетъ  $S_2 = A - P_1$ . Поэтому проектируемъ конецъ силы  $P_1$  многоугольника силъ въ точку  $g$  на вертикаль силы  $P_1$ . Изъ полученной точки  $g$ , проведемъ линію  $gf$  до пересѣченія съ вертикалью силы  $P_2$ , т. к. во всѣхъ сеченияхъ между силами  $P_1$  и  $P_2$  действуетъ поперечная сила  $S_2 = A - P_1$ . Въ сечении, проходящемъ правѣе силы  $P_2$  действуетъ уже сила  $S_3 = A - P_1 - P_2$ . Ее получимъ вычтя изъ предыдущей ординаты силу  $P_2$ , для чего поступимъ по указанному. Поступая такимъ образомъ и

далее увидим, что под влиянием  $P_2$  поперечная сила переменить знак, и дальнейшие ординаты станут отрицательными. Наконец между силой  $P_1$  и опорой  $B$  поперечная сила будет  $S_b = A - \sum_1^k P_i = -B$ . На правую-же часть балки действует сила  $-S_b$ , т. е.  $+B$ .

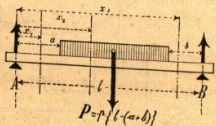
**6. Поперечные силы от равномерно распределенной нагрузки.**

Величина суммы сил в этом случае изменяется непрерывно. Найдем ее величину, как для частичной, так и для полной равномерно распределенной нагрузки.

Пусть в общем случае на балку действует нагрузка, как показано на чертеж 10. Определим сначала сопротивление опоры  $A$ .

$$A = \frac{P}{l} \left( b + \frac{l-a-b}{2} \right) = \frac{P}{l} \left( bc + \frac{c^2}{2} \right),$$

где через  $c$  обозначена величина загруженного участка  $l - (a + b)$



Черт. 10.

- Для сечения  $x_1 < a$  будет  $S_m = A$ ,
- » »  $x_2 > a < a + c$  »  $S_m = A - p(x_2 - a)$ ,
- » »  $x_3 > l - b$  »  $S_m = A - p(l - a - b)$ .

(5)

Сделаем теперь в выражении для  $S$ ,  $a = 0$  и  $b = 0$ , т. е. положим  $c = l$ , значит равномерно распределенная нагрузка распределена по всему пролету; к такой нагрузке относится, например, собственный вес балки. Поперечная сила в любом сечении будет:

$$S_x = A - px = p \left( \frac{l}{2} - x \right)$$

(6)

Это уравнение принадлежит прямой линии; т. е. можно сказать что: поперечная сила от постоянной равномерно распределенной нагрузки изменяется ординатами прямой линии, выраженной уравнением (5).

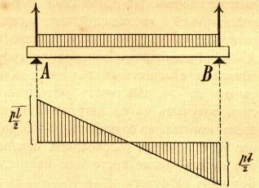
Эту прямую линию легко построить по двум точкам:

- при  $x = 0$ :  
 $S_0 = A = \frac{pl}{2}$ ;
- при  $x = l$ :  
 $S_l = B = -\frac{pl}{2}$ .

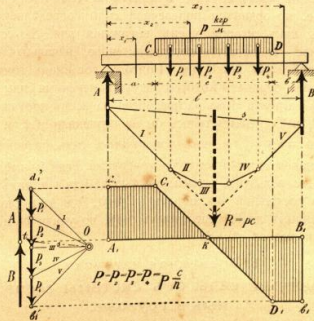
Прямая эта пересекает ось абсцисс при  $x = \frac{l}{2}$ ; т. е. для середины балки поперечная сила от постоянной равномерно распределенной нагрузки  $= 0$ .

Покажем теперь графическое определение поперечных сил при равномерно распределенной нагрузке.

Положим, что на балке расположена равномерно распределенная нагрузка, расположенная, как видно на чертеж 12. Сначала найдем сопротивления опор, для чего разобьем площадь равномерно-



Черт. 11.



Черт. 12.

распределенной нагрузки на произвольное число участков, к серединам которых приложим грузы равные величин соответствующих площадей и, для полученной системы сосредоточенных грузов

построим веревочный многоугольник; достаточно также построить многоугольник для одной силы, равной всей равномерно-распределенной нагрузке и проходящей через середину грузовой площадки. Затем расположим чертеж, как указано на стр. 15, и проведем линию  $A, B$ . Рассмотрим поперечную силу, как и при аналитическом выводе в сечениях:  $x_1 \leq a, x_2 > a$ , но  $< l-b$ , и  $x_3 > l-b$ . Лѣвѣ сѣченія  $x_1 < a$  дѣйствуютъ лишь одна сила  $A$ . Ординату поперечной силы получимъ по предыдущему. Ордината эта будетъ постоянна на всемъ протяженіи балки отъ  $x=0$  до  $x=a$  и опредѣлитъ собою линію  $d, C$ . Теперь рассмотримъ поперечную силу въ сѣченіи  $x_2 > l-b$ ; она будетъ также постоянна на протяженіи отъ  $x=l-b$  до  $x=l$ . Величина ея будетъ  $A-p(l-a-b) = A-pc$ ; величина эта отрицательна и, какъ видно изъ многоугольника силъ, равна  $-B$ . Для разсматриваемого участка балки получимъ линію  $b, D$ , опредѣляющую ординаты поперечной силы между точками  $D$  и  $B$ . Остаеся построить линію поперечныхъ силъ для участка  $CD$ . Мы видѣли, что на протяженіи этого участка, поперечная сила будетъ  $S_2 = A-p(x_2-a)$  гдѣ  $x_2$  нужно брать въ предѣлахъ отъ  $a$  до  $a+c$ . Ординату поперечной силы  $A$ , мы уже получили, а второй членъ начинаетъ измѣнять ординаты той-же линіи отъ точки  $C$  и вліяетъ на всемъ протяженіи участка  $CD$ , т. е. до ординаты поперечной силы, опредѣляемой точкою  $D$ ; а такъ какъ второй членъ выраженія для  $S_2$  есть уравненіе линейное, то остается построить линію, начальная и конечная точки которой намъ извѣстны. Поэтому, соединивъ точки  $C$  и  $D$ , получимъ линію, ординаты которой дадутъ поперечныя силы на участкѣ  $CD$ . Если-бы нагрузка была распределена на всемъ протяженіи балки, то точки  $C$  и  $D$ , перемѣстились бы на вертикали  $AA_1$  и  $BB_1$ ;  $d_1't$  оказалось бы  $= b_1't = \frac{pl}{2}$  и линія поперечныхъ силъ получила бы видъ уже намъ знакомый изъ предыдущаго чертежа. Если бы имѣли нагрузку смѣшанную, то пользуясь независимостью дѣйствія такихъ нагрузокъ, при помощи построеній указанныхъ на черт. 9 и 12 и сложивъ ординаты, полученныхъ линій поперечныхъ силъ, получили бы искомаыя ихъ величины для любого сѣченія.

в. Временная нагрузка.

## 7. Поперечныя силы отъ системы сосредоточенныхъ грузовъ.

Въ этомъ случаѣ величина поперечной силы въ данномъ сѣченіи будетъ во все время движенія системы грузовъ измѣняться. Дѣйстви-

$$S_2 = A - \sum_{i=1}^k P_i$$

первый членъ уже не будетъ постояннымъ и измѣняется вмѣстѣ съ малѣйшимъ перемѣщеніемъ системы грузовъ. Въ тоже время второй членъ, т. е. величина суммы грузовъ, лежащихъ по одну сторону даннаго сѣченія (напр. влѣво) измѣнится лишь, когда одинъ изъ грузовъ перейдетъ черезъ это сѣченіе. Напр. на черт. 13, при передвиженіи системы грузовъ влѣво, въ то время какъ величина сопротивленія лѣ-

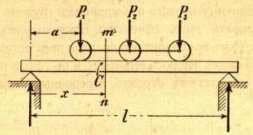
вой опоры будетъ мѣняться непрерывно, величина  $\sum_{i=1}^k P_i$  равна  $P_1$  во все время пока грузъ  $P_2$  не подойдетъ къ точкѣ  $C$  и не станетъ непосредственно лѣвѣе ея. Отсюда слѣдуетъ, что количество  $S_2$  измѣняется во все время движенія системы. Въ частномъ случаѣ, если бы имѣли одинъ подвижной грузъ, напр.  $P_2$  до пока этотъ грузъ будетъ правѣе сѣченія, второй членъ выраженія для  $S_2$  будетъ имѣть значеніе 0, и слѣдовательно величина  $S_2 = A$  будетъ положительна. При этомъ изъ значенія  $A = P \frac{l-a}{l}$  легко видѣть, что разсматриваемая величина поперечной силы  $S_2$  увеличивается съ уменьшеніемъ  $a$ , т. е. съ приближеніемъ груза  $P_2$ , лежащаго правѣе сѣченія  $m$  къ этому сѣченію. Но когда этотъ грузъ, подойдя къ сѣченію, станетъ чуть лѣвѣе его, второй членъ выраженія для  $S_2$  измѣнитъ свое значеніе 0 въ  $P$  и тогда

$$S = P_2 \frac{l-x}{l} - P_2,$$

что очевидно  $< 0$ .

Если-бы вмѣсто одного груза мы имѣли нѣсколько, то по независимости ихъ дѣйствія мы точно также увидѣли-бы что: всякій грузъ лежащій правѣе даннаго сѣченія вызываетъ положительную поперечную силу, а всякій грузъ влѣво отъ сѣченія дастъ отрицательную поперечную силу.

Поэтому для полученія въ любомъ сѣченіи наибольшаго положительнаго значенія поперечной силы, слѣдуетъ устанавливать на балкѣ систему подвижныхъ сосредоточенныхъ грузовъ такимъ образомъ, чтобы была нагружена часть балки правѣе даннаго сѣченія, причемъ первый грузъ располагаютъ надъ самимъ сѣченіемъ. Слѣдуетъ замѣтить, что можетъ случиться, что наибольшее значеніе  $S_{max}$  произойдетъ иногда и при расположеніи перваго груза лѣвѣе даннаго



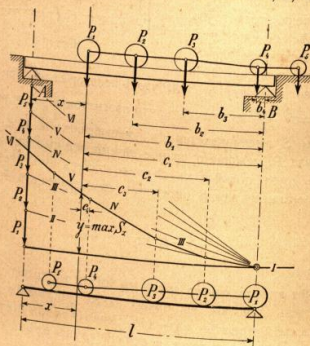
Черт. 13.

сѣчения, что будетъ въ томъ случаѣ, когда первый грузъ сравнительно малъ, а слѣдующіе за нимъ сравнительно велики. Такимъ образомъ можетъ быть

$$S = A - P_1 = \frac{1}{l} \sum_1^{n-1} P b - P_1 > \frac{1}{l} \sum_1^n P b'.$$

Графическій способъ для нахождения величины наибольшей поперечной силы для различныхъ сѣченій балки указать германскимъ профессоромъ Винклеромъ. Онъ состоитъ въ слѣдующемъ:

На вертикали лѣвой опоры строимъ многоугольникъ силъ, для чего величину перваго изъ крайнихъ грузовъ, который предполагаемъ устанавливать надъ сѣченіемъ откладываемъ первою вверхъ (или внизъ), затѣмъ послѣдовательно величины остальныхъ грузовъ, помѣщающихся на балкѣ. Полюсъ выбирается въ точкѣ противоположной опоры; проведя лучи, затѣмъ строить веревочный многоугольникъ I, II, III, IV, V и VI.



Черт. 14.

на грузахъ, причемъ первый грузъ  $P_1$  располагается надъ опорой  $B$ , а остальные послѣдовательно влѣво, такъ что система грузовъ является повернутой вокругъ вертикальной оси на  $180^\circ$  отъ своего невыгоднѣйшаго положенія. Первый бокъ веревочнаго многоугольника совпадаетъ съ линіею балки. Ординаты, ограниченныя съ одной стороны боками веревочнаго многоугольника, а съ другой линіею балки, даютъ

по величинѣ наибольшія положительныя значенія поперечныхъ силъ въ соответствующихъ сѣченіяхъ. Такъ, для сѣченія въ разстояніи  $x$  отъ лѣвой опоры

$$\max S_x = y.$$

Это легко доказать; дѣйствительно, имѣемъ:

$$Al = P_1 b_1 + P_2 b_2 + P_3 b_3;$$

но по построению имѣемъ

$$b_1 = c_1; \quad b_2 = c_2; \quad b_3 = c_3 \text{ и } b_4 = c_4;$$

стало бытъ:

$$Al = P_1 c_1 + P_2 c_2 + P_3 c_3.$$

Вторая часть есть сумма моментовъ параллельныхъ силъ относительно проведеннаго сѣченія. Согласно известной теоремы графической статики (I. 8) эта сумма моментовъ равна произведенію изъ полюснаго разстоянія на ординату, отсѣкаемую соответственными боками веревочнаго многоугольника, построеннаго на силахъ. Въ данномъ случаѣ полюсное разстояніе есть  $l$ , поэтому:

$$M = yl = Al,$$

т. е.

$$\max S_x = y = A. \tag{7}$$

Веревоный многоугольникъ I, II, III, IV, V, VI, построенный указаннымъ способомъ, называется многоугольникомъ опорныхъ сопротивленій.

**8. Поперечныя силы отъ равномерно распределенной нагрузки.**

Положимъ на черт. 10,  $b = 0$  и  $x_2 = x = a$ , т. е. загрузимъ равномерно распределенною нагрузкой всю правую часть балки, тогда выраженіе (5) приметъ значеніе:

$$\max S_x = A = \frac{p(l-x)^2}{2l}. \tag{8}$$

Случай этотъ имѣетъ мѣсто при расчетѣ мостовъ, когда подвижная нагрузка можетъ занимать часть пролета. Изъ послѣней формулы видно, что величина наибольшей поперечной силы отъ равномерно-распределенной подвижной нагрузки, подвигающейся отъ одной опоры къ другой, изменяется по закону параболы,



т. е. наибольшая поперечная сила измѣряется ординатой параболы, выраженной уравненіемъ (8). Вершина этой параболы на опортѣ *B* ибо при  $x = l$  имѣетъ  $S = 0$ . Наибольшая ордината этой параболы будетъ при  $x = 0$

$$\max S_x = A = \frac{pl}{2}.$$

Точки этой параболы могутъ быть опредѣлены такъ. Найдемъ величину  $\max S_x$ , т. е. когда подвижная нагрузка занимаетъ протяженіе балки отъ *B* до *D*, черт. 15. Отложимъ  $A_1C = \frac{pl}{2}$ , проведемъ  $CB_1$ . Изъ точки *E* пересѣченія  $CB_1$  съ вертикалью точки *D* проведемъ  $EF \parallel A_1B_1$ . Точку *F* соединимъ съ *B\_1; тогда въ пересѣченіи съ вертикалью точки *D* получимъ ординату искомой параболы  $GD_1 = S_x$ . Дѣйствительно, изъ подобія треугольниковъ  $\triangle FA_1B_1$  и  $\triangle GD_1B_1$  имѣемъ:*

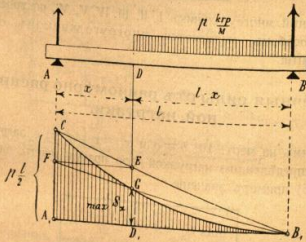
$$\frac{D_1G}{A_1F} = \frac{l-x}{l},$$

но

$$A_1F = D_1E,$$

слѣд.

$$\frac{D_1G}{D_1E} = \frac{l-x}{l}, \text{ но и } \frac{D_1E}{A_1C} = \frac{l-x}{l}.$$



Черт. 15.

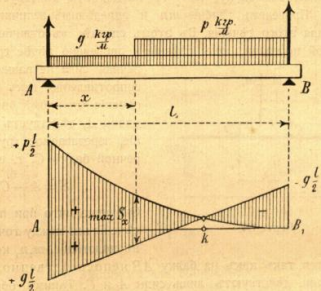
Перемножимъ эти пропорціи почленно:

$$\frac{D_1G}{A_1C} = \frac{(l-x)^2}{l^2}; \quad A_1C = \frac{pl}{2},$$

и слѣдовательно

$$D_1G = p \frac{(l-x)^2}{2l} = \max S_x.$$

Выше было указано, что если на балку дѣйствуетъ постоянная нагрузка, то  $S_x = 0$  имѣетъ мѣсто для середины балки. Въ присутствіи подвижной нагрузки нулевая точка передвигается въ сторону, именно по направленію опоры, со стороны которой нагрузка надвигается. Дѣйствительно, построимъ параболу, выражающую ординаты поперечной силы



Черт. 16.

отъ подвижной нагрузки и прямую, выражающую ординаты поперечныхъ силъ отъ постоянной нагрузки. Для наглядности отъ точки *A* отложимъ начальную ординату,  $\frac{pl}{2}$  вверхъ (подвижной нагрузки) и  $\frac{gl}{2}$  внизъ (постоянная нагрузка). Складывая ординаты обѣихъ линій найдемъ въ ихъ пересѣченіи точку *K*, въ которой  $S = 0$ ; абсциссу ея найдемъ разрѣшивъ уравненіе:

$$0 = \frac{gl}{2} - gx + \frac{p(l-x)^2}{2l}. \quad (9)$$

Въ частномъ случаѣ, если  $p = g$ , то  $x = 0,586 l$ .

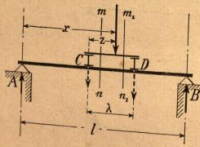
Если бы имѣли систему подвижныхъ грузовъ, то вмѣсто параболы, представленной на этомъ чертежѣ 16, слѣдовало бы построить многоугольникъ опорныхъ сопротивленій, какъ на черт. 14.

**В. Узловая передача грузовъ.**

а. Постоянная нагрузка.

**9. Поперечная сила отъ сосредоточенныхъ грузовъ.**

Пусть имѣемъ балку, черт. 17, на которую дѣйствуетъ нѣкоторый грузъ. Проведемъ сѣчене  $mn$  и опредѣлимъ величину поперечной силы для этого сѣченія. Въ этомъ случаѣ, въ отличіе отъ непосредственной передачи, хотя сѣченіе и проведено лѣвѣ груза, поперечная сила не равна опорному сопротивленію, такъ какъ лѣвѣ сѣченія  $mn$  кромѣ сопротивленія опоры  $A$ , дѣйствуетъ еще давленіе, передаваемое грузомъ поперечной балкѣ  $C$ , т. е.



Черт. 17.

$$S = A - C.$$

Очевидно, что при перемѣщеніи сѣченія  $mn$  между точками  $C$  и  $D$  въ положеніе,  $m, n$ , количество  $S$  не измѣнится, такъ какъ на балку  $AB$  непосредственно, лѣвѣ взятыхъ сѣченіи, дѣйствуютъ лишь силы  $A$  и  $C$ . Такимъ образомъ, на протяженіи панели величина поперечной силы постоянна. Очевидно то же самое будетъ и при произвольномъ числѣ грузовъ.

Для случая указаннаго на черт. 18 найдемъ:

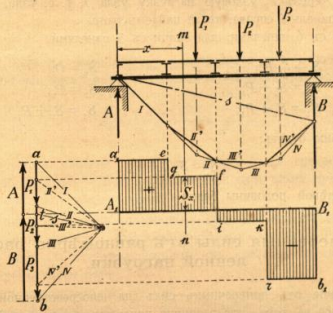
- для сѣченія въ первой панели  $S_1 = A$ ;
- для сѣченія во второй панели  $S_2 = A - P_1 \frac{\lambda_1 - x_1}{\lambda_1}$ ;
- для сѣченія въ третьей панели  $S_3 = A - P_1 - P_2 \frac{\lambda_2 - x_2}{\lambda_2}$ ;
- » » четвертой »  $S_4 = A - P_1 - P_2 - P_3 \frac{\lambda_3 - x_3}{\lambda_3}$ ;

гдѣ  $x_i$  разстояніе груза  $P_i$  отъ узла лежащаго непосредственно лѣвѣ этого груза.

Такимъ образомъ въ общемъ видѣ можно написать:

$$S_x = A - \sum_1^k P - \sum_1^m P \frac{\lambda - x}{\lambda} \quad (10)$$

гдѣ  $\sum_1^k$  есть сумма грузовъ лежащихъ въ панеляхъ лѣвѣ даннаго сѣченія, а послѣдній членъ—сопротивленіе ближайшаго къ сѣченію лѣваго узла, причеиъ  $m$  число грузовъ въ этой панели.



Черт. 18.

Для построения діаграммы для поперечныхъ силъ, въ этомъ случаѣ поступаемъ, какъ и въ случаѣ непосредственной нагрузки. Построимъ веревочный многоугольникъ на данныхъ силахъ, черт. 18, затѣмъ проводимъ вертикали черезъ узлы; точки пересѣченія этихъ вертикалей съ боками веревочнаго многоугольника соединимъ между собою, тогда вписанный многоугольникъ представитъ собою веревочный многоугольникъ, построенный на составляющихъ отъ данныхъ силъ по узламъ. На черт. 18 онъ прочерченъ жирной линіей. Проведя въ многоугольникъ силъ пунктирные лучи, параллельные бокамъ новаго веревочнаго многоугольника, получимъ величины составляющихъ, дѣйствующихъ въ узлахъ. Остается поступить дальше какъ указано на стр. 15, что понятно изъ рассмотрѣннаго чертежа.

Въ балкѣ съ равными или симметричными панелями и когда нагрузка симметрична, численная величина поперечныхъ силъ получается особенно просто. Разсмотримъ такой случай, ибо ниже, при равныхъ панеляхъ, намъ придется имѣть дѣло.

При четномъ числѣ панелей, поперечная сила въ среднихъ панеляхъ, т. е. лѣвѣ и правѣ середины балки, равна половинѣ на-

грузки среднего узла (со знаками + и -); при нечетном числе панелей, поперечная сила в средней панели равна нулю. Поперечные силы в прочих панелях получаются последовательным прибавлением величин узловых нагрузок от середины к концам балки. Назовем через  $P_i$  узловую нагрузку узла  $i$ , т. е. узла, ограничивающего панель  $i$  справа; тогда найдем напр. для балки с 6 панелями; для балки с 5 панелями

$$\begin{aligned} S_2 &= \frac{1}{2} P_2; & S_5 &= 0; \\ S_2 &= S_2 + P_1; & S_4 &= P_2; \\ S_1 &= S_2 + P_1; & S_1 &= S_2 + P_1. \end{aligned}$$

Вообще будет:

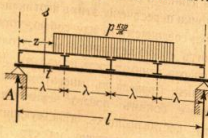
$$S_i = S_{i+1} + P_i,$$

где для левой половины балки  $i \leq \frac{n}{2}$ .

### 10. Поперечные силы от равномерно распределенной нагрузки.

Отличие от поперечных сил для непосредственной нагрузки заключается в том, что величина поперечных сил изменяется не по закону прямой линии, а по линии ступенчатой, так как на протяжении панели величина  $S = Const$ .

В выражении для  $S$  всегда необходимо прибавлять отрицательный член соответствующей части нагрузки, передающейся узлу, ограничивающему панель слева. Так, на черт. 19, поперечная сила для сечения  $s$  проведенного в первой панели будет



Черт. 19.

$$S = A - p \frac{(l-z)^2}{2l},$$

хотя левые сечения  $s$  и не имеют непосредственной нагрузки.

Если нагрузка  $g$  распределена равномерно по всему пролету, то при равных панелях, величины поперечных сил будут:

$$\begin{aligned} S_1 &= A - \frac{g\lambda}{2}; \\ S_2 &= A - \frac{3}{2} g\lambda; \end{aligned}$$

$$S_2 = A - \frac{5}{2} g\lambda;$$

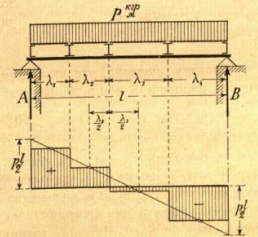
$$S_m = A - \left\{ m - \frac{1}{2} \right\} g\lambda.$$

Если желаем выразить  $S_m$  в зависимости от номера панели  $m$ , при полном числе равных панелей  $n$ , —из последнего выражения найдем:

$$S_m = \left\{ \frac{n+1}{2} - m \right\} g\lambda. \quad (11)$$

Если число панелей нечетное, то  $S_m = 0$  для средней панели, когда число панелей четное, то поперечная сила равна нулю для сечения, проведенного через средней узел.

Для построения линии поперечных сил для полной равномерно распределенной нагрузки, строим линию как для непосредственной нагрузки, черт. 20; затем опускаем из середины панелей вертикали и через точки пересечения этих вертикалей с построенной линией проводим горизонтальные отрезки, которые в пересечении с вертикалями узелов и дадут ступенчатую линию поперечных сил.



Черт. 20.

Если нагрузка расположена не на всем пролете, то не представляет затруднения построить диаграмму, как то указано для сосредоточенной нагрузки.

Построив веревочный многоугольник как при непосредственной нагрузке и опустив вертикали узелов до пересечения с боками этого веревочного многоугольника, найдем новый веревочный многоугольник, а затем, проведя новые лучи в многоугольник сил, по известным уже правилам, построим диаграмму поперечных сил.

При равных панелях и полной равномерно распределенной нагрузке, следует пользоваться указаниями предыдущего номера.

в. Временная нагрузка.

### 11. Поперечная сила от сосредоточенных грузовъ.

Разсмотрим черт. 21. При перемѣщеніи груза, члены въ правой части выраженія (10) измѣняются. Исслѣдуемъ каково должно быть положеніе груза на протяженіи панели, чтобы получить наибольшую величину поперечной силы.

Обозначимъ разстояніе груза отъ правой опоры и узла, ограничивающаго панель справа черезъ  $x_1$  и  $z_1$ , найдемъ (10):

$$S = P \left( \frac{x_1}{l} - \frac{x_1}{\lambda} \right), \quad (12)$$

Если  $z_1 = 0$ , т. е. грузъ расположенъ надъ узломъ, ограничивающимъ панель справа, то

$$S' = P \frac{x_1}{l} > 0;$$

Если  $z_1 = \lambda$ , т. е. грузъ расположенъ надъ узломъ, ограничивающимъ панель лѣва, то

$$S'' = P \left( \frac{x_1}{l} - 1 \right) < 0.$$

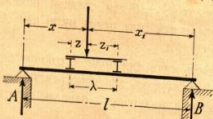
Поэтому очевидно, что въ первомъ случаѣ будетъ  $S = \max.$  во второмъ  $\min$ имумъ  $S$ , ибо  $z_1$  въ формулѣ (12)

$$z_1 \begin{cases} \equiv 0; \\ \equiv \lambda; \end{cases}$$

и съ увеличеніемъ  $z_1$  — да отъ нуля,  $S$  уменьшается, и съ уменьшеніемъ  $z_1$  отъ значенія  $\lambda$  — уменьшается по абсолютной величинѣ. Такъ какъ по существу дѣла количество  $S$ , при измѣненіи своего знака, не можетъ принять ни значенія  $0$  ни  $\infty$ , то оно должно пройти черезъ значеніе  $S = 0$ . Изъ (12) видимъ, что это будетъ при существованіи пропорціи

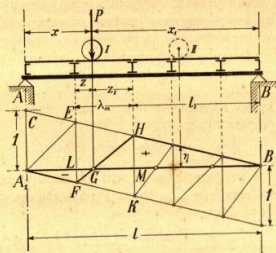
$$\frac{x_1}{l} = \frac{x_1}{\lambda} \quad (13)$$

Та точка въ каждой панели, для которой  $S$  мѣняетъ свой знакъ, называется точкою раздѣла нагрузки. Если грузъ  $P$  расположить ложенъ правѣ этой точки, поперечная сила имъ вызываемая положительна, если же грузъ дѣлѣе этой точки, поперечная сила будетъ отрицательна.



Черт. 21.

Написанная пропорція указываетъ, что точка раздѣла нагрузки дѣлитъ панель на части между собою пропорціональныя. Ихъ весьма легко опредѣлить геометрическимъ путемъ.



Черт. 22.

Изъ концовъ  $A$  и  $B$  возставляемъ перпендикуляры въ противоположныя стороны и откладываемъ на нихъ произвольныя, но равныя между собою величины.

Концы отложенныхъ отрезковъ соединяемъ съ противоположными опорами и проводимъ вертикали черезъ узлы. Точки пересѣченія этихъ вертикалей, съ построенными наклонными, соединяемъ въ каждой панели между собою какъ указано на черт. 22. Въ пересѣченіи послѣднихъ отрезковъ съ линіею  $A_1B_1$  находимъ точки раздѣла нагрузокъ.

Дѣйствительно, изъ подобія

$$\Delta A_1FG \sim \Delta GH B_1 \text{ и } \Delta GHM \sim \Delta LGF;$$

$$\frac{B_1G}{A_1G} = \frac{HM}{LF} = \frac{GM}{GL};$$

т. е.

$$\frac{x_1}{x} = \frac{x_1}{z};$$

но по свойству пропорціи

$$\frac{x_1}{x+x_1} = \frac{x_1}{z+x_1};$$

т. е.

$$\frac{x_1}{l} = \frac{x_1}{\lambda};$$

что именно и требовалось доказать.

Если отрезки, отложенные на перпендикулярах равны единице, то построенный чертеж даст возможность решить и другую задачу. Ординаты фигуры, ограниченной линиями  $AK$  и  $CB$ , и наклонными, определяющими точки раздѣла нагрузок, напр. для панели  $\lambda_m$ —ордината фигуры очерченной жирными линиями помноженная на величину груза  $P$  ей соответствующаго, даст величину поперечной силы  $S$ , такъ какъ эта ордината  $\eta$  удовлетворяетъ уравнению

$$\eta = \frac{x_2}{l} - \frac{x_3}{\lambda};$$

Напр. для груза  $P$ , расположеннаго надъ узломъ ограничивающимъ панель  $\lambda_m$  справа будетъ

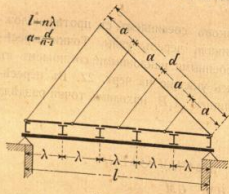
$$S_m = P \cdot MH = P \cdot l \cdot \frac{l_1}{l};$$

при этомъ изъ той же фигуры видно, что при такомъ положеніи груза значеніе  $S_m$  будетъ максимум; для груза  $P$  надъ лѣвѣмъ узломъ той же панели, будетъ ( $l_1' = LB$ ),

$$S_m = -P \cdot FL = P \left( \frac{l_1'}{l} - 1 \right);$$

Наконецъ для груза  $P$  въ положеніи II — будетъ  $S_m''' = \eta P$ .

Если имѣемъ дѣло съ балкой, подраздѣленной на  $n$  равныхъ панелей, то для нахождения точекъ раздѣла нагрузки надо балку раздѣлить на  $n-1$  равныхъ частей; точки дѣленія опредѣляютъ точки раздѣла нагрузки. Это слѣдуетъ изъ предыдущаго построения.

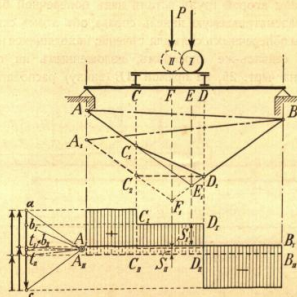


Черт. 23.

Изслѣдуемъ зависимость между измененіемъ величины  $S$  и перемѣщеніемъ груза въ панели—графическимъ путемъ. Возьмемъ балку  $AB$  съ однимъ грузомъ въ панели  $CD$ . Построимъ  $ac = P$ , выбравъ произвольный полюсъ  $O^*$ , строимъ на силѣ  $P$  веревочный многоугольникъ. Проведя вертикали  $CC_1$  и  $DD_1$ , и соединивъ точки  $C_1$  и  $D_1$ , получимъ новый веревочный многоугольникъ  $AC_1D_1B$ , соответствующій данной узловой нагрузкѣ. Проведя лучъ  $Ob_1 \parallel AB$  находимъ наконецъ строимъ діаграмму поперечныхъ силъ. Поперечная сила въ панели  $CD$  будетъ  $S_1 = b_1 t_1$ . Теперь оставая неизмѣннымъ многоугольникъ силъ, перемѣстимъ грузъ  $P$  въ точку  $F$  и построимъ новый ве-

\* На чертежѣ 24 эта буква за недостаткомъ мѣста не проставлена.

ревоичный многоугольникъ. Для этого продолжаемъ  $BE_1$  до пересѣченія съ  $FF_1$  въ точкѣ  $F_1$  и проводимъ  $F_1A_1 \parallel$  лучу  $Oa$ , затѣмъ соединяемъ точку  $C_2$  съ  $D_1$ . Чѣмъ болѣе влѣво будетъ продвигаться грузъ  $P$ , тѣмъ ниже будетъ опускаться бокъ  $D_1C_2$ . Проведя лучъ  $Ob_1 \parallel D_1C_2$  и лучъ  $Ot_1 \parallel BA_1$  найдемъ новую величину поперечной силы въ па-



Черт. 24.

нели:  $S_1 = t_1 b_1$ . Если  $C_2D_2 \parallel AB$ , то  $t_1 b_1 = 0$  и слѣдовательно поперечная сила  $S_1 = 0$ . Изъ чертежа легко вывести, что это произойдетъ, когда будетъ имѣть мѣсто пропорція (13). Передвигая грузъ  $P$  далѣе влѣво, найдемъ, что поперечная сила сдѣлается отрицательной. Наибольшее положительное значеніе  $S$  въ панели  $CD$  будетъ, когда грузъ станетъ надъ точкою  $D$ , наибольшее отрицательное, когда грузъ станетъ надъ точкою  $C$ .

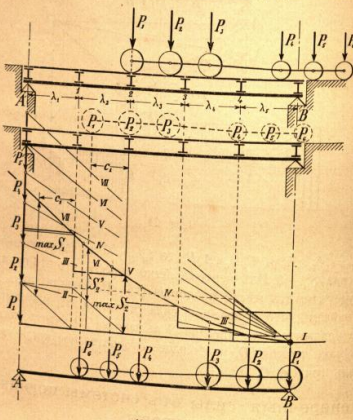
## 12. Поперечныя силы отъ системы подвижныхъ грузовъ.

Грузъ, лежащій правѣе точки раздѣла, вызываетъ, по только что доказанному, въ панели, образованной двумя смежными поперечными балками, появленіе положительныхъ поперечныхъ силъ, грузъ же лежащій лѣвѣе ея—появленіе силъ отрицательныхъ. Наибольшая положительная поперечная сила появится въ этой панели въ томъ случаѣ, когда система подвижныхъ грузовъ, передвигаясь влѣво отъ правой опоры, придетъ своимъ первымъ грузомъ въ узелъ, ограничивающій панель справа; наибольшая же отри-

цательная—когда система грузов, передвигаясь вправо от левой опоры, придет своим первым грузом в узел, ограничивающий ту-же панель слева.

Может, однако, случиться, что поперечная сила получит еще большую величину, если систему грузов передвинуть далее влево настолько, чтобы второй груз встал над поперечной балкой, ограничивающей рассматриваемую панель справа; об этом сказано ниже.

Величины поперечных сил для сечений, находящихся над узлами, определяются сейчас-же способом, изложенным на стр. 20. С этой целью, на черт. 25, на прямой *AB* (внизу) располагают грузы



Черт. 25.

в обратном порядке так, чтобы груз  $P_1$  приходился в точку  $B$ , и соединять их последовательно на вертикали точки  $A$  в многоугольник сил. Выбрав затем за полюс точку  $B$ , проводить лучи и строить веревочный многоугольник I, II..... VII. Отрѣзки ординат, соответствующих узлам, заключенные между горизонтальной прямой и веревочным многоугольником, представляют собой величины наибольших поперечных сил в

узловых точках, при расположении первого груза над данным узлом. Например, на черт. 25 ордината, измеренная под поперечной балкой 2, представляет наибольшую поперечную силу  $S_2$  для сечений в панели  $\lambda_2$ .

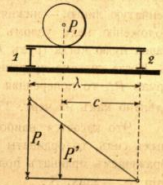
Если систему грузов передвинуть по балке влево так, чтобы над поперечной балкой 2 встал второй груз, то груз  $P_1$  на узел 1 произведет давление:

$$P_1' = \frac{P_1 c_1}{\lambda},$$

где  $c_1$  расстояние между двумя первыми грузами, а  $\lambda$ —длина панели.

Поэтому поперечная сила в рассматриваемой панели будет  $S_2' = A_2 - P_2'$ . Для графического определения этой величины, на панели 2 строим треугольник с высотой  $P$ .

На черт. 26 построение это сделано отдельно. Ордината под грузом  $P_1'$  дает величину  $P_1'$ . Это же построение сделано и на черт. 25 для получения величины  $S_2 = A_2 - P$ . Если  $S_2'$  окажется больше  $S_2$ , то второе расположение подвижной нагрузки более опасно и принимается для расчета балки.



Черт. 26.

Аналитически вопрос о том, какое расположение системы подвижных грузов даст  $S_{max}$  в данной панели, решается следующим образом. Обозначим сумму всех грузов, лежащих на балке через  $\sum P$ , тогда выражение для поперечной силы даст

$$S_m = \frac{1}{l} \sum P b - \frac{1}{\lambda} P_1 c_1,$$

где  $c_1$  есть расстояние между первым и вторым грузами, а  $b$  расстояние груза  $P_1$  до правой опоры. Передвинув систему влево на бесконечно малую величину  $\Delta b$  найдем, что  $b' = b + \Delta b$  и  $c' = c_1 + \Delta b$ , т. е. приращение величины поперечной силы будет

$$\Delta S_m = \Delta b \left( \frac{1}{l} \sum P - \frac{1}{\lambda} P_1 \right).$$

Приращение это положительно, когда существует соотношение

$$\frac{\sum P}{P_1} > \frac{l}{\lambda}. \tag{14}$$

Поэтому, если это отношение существует, для получения  $S_{max}$  сдвигает над узлом, ограничивающим панель справа, поставить второй груз. Это обыкновенно происходит при больших панелях.

В частном случае может оказаться, что наибольшее значение  $S_{max}$  получается и при расположении двух грузов на панели, это будет, когда

$$\frac{\Sigma P}{P_1 + P_2} > \frac{l}{\lambda} \text{ и т. д.}$$

Наибольшая положительная поперечная сила для других панелей определяется подобным же образом. Так как на протяжении панели величина  $S$  постоянна, то диаграмма поперечных сил выразится ступенчатой кривою, вписанною в многоугольник опорных сопротивлений. Построение этой линии для средних панелей не требует пояснений; в первой панели  $\max. S_1$  получается при расположении над узлом  $i$  второго груза. Этой величиной  $S_1$  соответствует верхняя из двух горизонтальных прямых, ограничивающих ступенчатую линию, — нижняя же горизонтальная черта соответствует положению над узлом  $i$  груза  $P_1$ . В панели  $\lambda_2$  поперечная сила равна нулю когда груз  $P_1$  над правой опорой, т. е. над опорой  $B$ . Когда система продвинута влево, так что над опорой  $B$  стоит груз  $P_2$ , то поперечная сила в панели  $\lambda_2$  отрицательна. Построение сделано как на черт. 25 для  $\lambda_2$ ;  $S_2 = A_2 - P_1 = P_1 \left( \frac{c_1}{l} - \frac{c_1}{z} \right) < 0$ .

Что касается наибольших значений отрицательных поперечных сил, то ординаты их определяющая будут зеркальным изображением ординат положительных поперечных сил. Так напр.,  $\min. S_1 = \max. S_2$ .

### 13. Поперечные силы при равномерно распределенной нагрузке.

Определим каким образом следует установить на балке подвижную равномерно распределенную нагрузку, чтобы получить наибольшую величину поперечной силы в произвольной панели. Выше уже видели, что для этого следует загрузить всю правую часть, причем при сосредоточенной нагрузке следует первый груз ставить над узлом, ограничивающим панель справа. При равномерно распределенной нагрузке ее следует продвинуть и левее того узла до точки, которую мы выше назвали точкою раздѣла нагрузки. Это легко доказать. Пусть нагрузка расположена, как указано на черт. 27. Расстояние между точкою начала нагрузки и узлом, ограничивающим панель справа, назовем через  $x_1$ , расстояние между той-же точкою и правой опорой через  $z_1$ , расстояние между той-же точкою и левым узлом через  $l_1$ . При принятых обозначениях и показанном расположении нагрузки, сопротивление левой опоры будет:

$$A = \frac{px_1^2}{2l_1}$$

Сопротивление узла, ограничивающего панель слева

$$P_1 = \frac{px_1^2}{2\lambda}$$

Поэтому поперечная сила

$$S = \frac{p}{2} \left( \frac{x_1^2}{l_1} - \frac{x_1^2}{\lambda} \right).$$

Это уравнение принимает наибольшее значение, когда удовлетворено равенство (13)\*):

$$\frac{x_1}{l_1} = \frac{x_1}{\lambda}.$$

Пропорция эта, как выше было указано, определяет собою положение точки раздѣла нагрузки. Поэтому **наибольшая положительная поперечная сила** в данной панели будет иметь место, когда равномерно распределенная нагрузка займет всю правую часть балки от точки раздѣла нагрузки до правой опоры, **наибольшая отрицательная** — когда нагрузку займет часть балки **влево** от той-же точки до левой опоры.

Для подвижной равномерно распределенной нагрузки можно построить площадь наибольших положительных поперечных сил, как это было указано при непосредственной передаче, но в этом случае следует определить лишь по одной точке параболы в каждой панели, так как на протяжении панели величина поперечной силы постоянна. Очевидно, что искомым точки должны соответствовать точкам раздѣла нагрузок.

Построение сделано на черт. 27 и легко доказать, что ордината  $G_1 G_2 = S_{max}$ .

Выражение для  $S_{max}$ , приняв во внимание (13) и выразив  $x_1$  в  $z_1$ , напишется так:

$$\max S_p = \frac{px_1^2}{2l_1}$$

\*) Действительно, заменив  $x_1$  через  $l_1 + z_1$ , найдем, что

$$S = \frac{p}{2} \left\{ \frac{(l_1 + z_1)^2}{l_1} - \frac{(l_1 + z_1)^2}{\lambda} \right\}$$

$S$  будет  $\max$ , когда числитель  $\max$ . Взяв производную по  $z_1$  и приравняв нулю:

$$l_1 \lambda + z_1 \lambda - z_1 l_1 = 0,$$

или

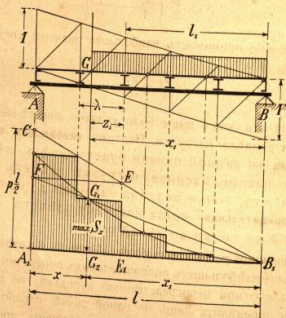
$$z_1 \lambda = z_1 l_1.$$

Вторая производная  $< 0$ , потому имеем дѣло съ *maximum* омъ функции.

Изъ чертежа имѣемъ:

$$\frac{E_1 E}{A_1 C} = \frac{l_1}{l},$$

$$E E_1 = A_1 F \text{ и } A_1 C = \frac{n l}{2},$$



Черт. 27.

откуда

$$A_1 F = \frac{p l_1}{2};$$

дальше

$$\frac{G_1 G_2}{A_1 F} = \frac{x_1}{l},$$

следовательно

$$G_1 G_2 = \frac{p x_1}{2 l} l_1 = \max S_x.$$

Если данная балка подразделена на равныя панели, удобно выразить  $S_x$  зависимости отъ числа панелей  $= n$  и номера разсматриваемой панели  $m$ . Имѣемъ

$$x_1 = (n - m) \lambda + z_1;$$

подставляя сюда вмѣсто  $x_1$  его значение изъ пропорціи (13) и замѣчая, что  $\frac{l}{\lambda} = n$ , найдемъ:

$$z_1 = \frac{n - m}{n - 1} \lambda;$$

подставляя эти значенія въ выраженіе для макс  $S_x$ , окончательно найдемъ

$$\max S_x = \frac{p \lambda}{2} \frac{(n - m)^2}{n - 1}. \quad (15)$$

Весьма часто необходимо бываетъ знать въ какой панели поперечная сила измѣняетъ свой знакъ, когда на балку дѣйствуетъ и постоянная и временная равномерно-распределенныя нагрузки? Если назовемъ постоянную нагрузку черезъ  $g$ , а временную черезъ  $p$ , то согласно (11) и (15) составимъ квадратное уравненіе:

$$\frac{p \lambda}{2} \frac{(n - m)^2}{n - 1} + g \lambda \left( \frac{n + 1}{2} - m \right) = 0, \quad (15')$$

которое слѣдуетъ разрѣшить относительно  $m$ . Въ случаѣ равныхъ значеній  $p$  и  $g$  получаемъ

$$m_0 = 2n - 1 - \sqrt{2n(n - 2)},$$

причемъ  $m$  необходимо округлить до цѣлаго числа.

### § 3.

#### Изгибающе моменты.

##### А. Непосредственная передача грузовъ.

###### а. Постоянная нагрузка.

#### 14. Изгибающе моменты при сосредоточенныхъ грузахъ.

Изгибающій моментъ въ данномъ сѣченіи, есть сумма моментовъ силъ, дѣйствующихъ на отсѣченную часть балки, относительно какой либо точки плоскости сѣченія балки.

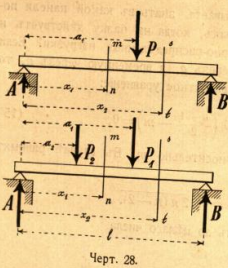
Обыкновенно моментъ вычисляется относительно центра тяжести сѣченія балки и считается положительнымъ тогда, когда кажущееся вращеніе совпадаетъ съ вращеніемъ часовой стрѣлки.

Понятно, что моментъ внѣшнихъ силъ, дѣйствующихъ на разсматриваемую, напримѣръ лѣвую часть балки, долженъ по абсолютной величинѣ равняться моменту внѣшнихъ силъ, дѣйствующихъ на правую часть балки. Что-же относится до знака, то съ переходомъ отъ разсматриваемой части балки къ другой, знакъ момента измѣняется на противоположный; это слѣдуетъ изъ начала противоположнаго дѣйствія, по которому, если лѣвая часть балки дѣйствуетъ на правую



въ одномъ направленіи, то эта послѣдняя дѣйствуетъ на первую въ направленіи противоположномъ.

Пусть имѣемъ простѣйшій случай—балку  $AB$  съ однимъ грузомъ.



Черт. 28.

Возьмемъ сѣченіе  $mn$  между лѣвой опорой и грузомъ и рассмотрим моментъ вѣншихъ силъ дѣйствующихъ на лѣвую часть балки, относительно сѣченія  $mn$ , или, что то же, изгибающій моментъ въ данномъ сѣченіи. Лѣвѣ сѣченія  $mn$  дѣйствуетъ лишь одна сила—сопротивленіе опоры  $A$ , направленное вверхъ. Пользуясь условіемъ сдѣланнымъ раньше для опредѣленія знака момента, мы видимъ, что моментъ этотъ положительный, т. е.

$$M_{x1} = Ax_1.$$

Взявъ сѣченіе  $st$ , правѣе груза, напишемъ:

$$M_{x2} = Ax_2 - P(x_2 - a_1).$$

Если бы имѣли не одинъ грузъ, а нѣсколько, то воспользовавшись началомъ независимости, для каждой силы написали бы подобное выраженіе. Такъ, если бы лѣвѣ сѣченія  $mn$  расположена была бы еще сила  $P_2$ , то для сѣченія  $st$  написали бы:

$$M_1 = A_1 x_1 - P_1(x_1 - a_1),$$

$$M_2 = A_2 x_2 - P_2(x_2 - a_2),$$

гдѣ значки 1 и 2 при  $A$  и  $M$  означаютъ количества, вызываемая соответственно грузами  $P_1$  и  $P_2$ .

Такое же выраженіе написали бы и для каждой изъ  $n$  силъ. Припомнивъ, что моментъ равнодѣйствующей равенъ суммѣ моментовъ составляющихъ, вообще напишемъ:

$$M = \sum_1^n M_i = \sum_1^n A_i x - \sum_1^k P_i (x - a_i),$$

или

$$M = Ax - \sum_1^k P_i (x - a_i), \quad (16)$$

гдѣ  $A$ , сопротивленіе опоры, вызываемое грузомъ  $P$ , а  $A$  полное сопро-

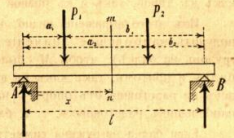
тивленіе опоры и  $k$  указатель послѣдняго груза (считая отъ лѣвой опоры), лежащаго лѣвѣ сѣченія.

Однако этимъ выраженіемъ не всегда удобно пользоваться, такъ какъ часто приходится опредѣлить изгибающій моментъ не зная сопротивленій опоръ. Пусть на балку дѣйствуютъ два сосредоточенныхъ груза  $P_1$  и  $P_2$ , черт. 29. Возьмемъ сѣченіе между этими грузами въ разстояніи  $x$  отъ лѣвой опоры и рассмотрим моментъ вѣншихъ силъ, дѣйствующихъ на лѣвую часть балки:

$$M_x = Ax - P_1(x - a_1).$$

Имѣемъ

$$A = \frac{P_1 b_1}{l} + \frac{P_2 b_2}{l}.$$



Черт. 29.

Подставивъ это значеніе въ выраженіе для  $M_x$  и замѣтивъ, что  $b_1 = l - a_1$ , получимъ

$$M_x = -P_1 \frac{a_1}{l} x + P_2 \frac{b_2}{l} x + P_1 a_1,$$

откуда

$$M_x = \frac{l-x}{l} P_1 a_1 + \frac{x}{l} P_2 b_2;$$

Здѣсь:  $P_1 a_1$  есть моментъ силы лежащей лѣвѣ сѣченія относительно лѣвой опоры, а  $P_2 b_2$  моментъ силы, лежащей правѣ сѣченія, относительно правой опоры. Воспользовавшись замѣчаніемъ, указаннымъ при выводѣ формулы (16), напишемъ выраженіе изгибающаго момента для произвольнаго числа, напримѣръ, для  $n$  грузовъ:

$$M = \frac{l-x}{l} \sum_1^k P_i a_i + \frac{x}{l} \sum_1^{k+1} P_i b_i,$$

гдѣ силы отъ 1 до  $k$ -ой лежатъ лѣвѣ сѣченія, а отъ  $k+1$  до  $n$  правѣ его; указатель у  $M$  для краткости опущенъ.

Обыкновенно, для удобства запоминанія этой формулы знаки у  $\sum$  ставятъ такимъ образомъ, чтобы они показывали ту часть балки, на которую дѣйствуютъ грузы, дающіе лѣвыя и правыя опорные моменты, т. е. ставятъ знаки 0 до  $x$  и отъ  $l$  до  $l-x$ , т. е.

$$M = \frac{l-x}{l} \sum_0^x P_i a_i + \frac{x}{l} \sum_{l-x}^l P_i b_i. \quad (17)$$

**Изгибающий момент** для балки, свободно лежащей на двух опорах равен сумм моментов грузов, лежащих по сторонам сечения, относительно соответственных опор, умноженных на отношения расстояния сечения от противоположной опоры к длине пролета.

Грузы, действующий в самом сечении, может быть отнесен, как к левой, так и к правой части балки.

Из этого выражения видно, как нужно грузить балку, чтобы получить наибольшее значение  $M_x$  (самое невыгодное положение грузов на балке): чтобы  $M_x$  было *max*-омъ, нужно грузить всю балку и притом, так как въ выражение входят произведения грузов на расстояния от опоръ, — наибольшие грузы должны быть на наибольшихъ расстоянияхъ, т. е. близъ середины балки.

Если балка нагружена симметричными относительно опоръ грузами, то  $a = l$ . Въ этомъ случаѣ для сечения между средними грузами

$$M = \sum_{i=1}^n P_i a,$$

гдѣ  $n$  полное число грузов. При двухъ симметричныхъ грузахъ находимъ:

$$M = Pa,$$

Въ случаѣ одного груза формула (17), для сечения подъ грузомъ, принимаетъ видъ:

$$M_x = P \frac{x(l-x)}{l}. \quad (18)$$

Если этотъ грузъ по серединѣ балки, то имѣемъ часто встречающееся на практикѣ выражение:

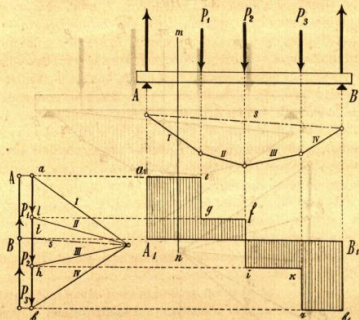
$$M_l = \frac{Pl}{4}.$$

Во всѣхъ этихъ частныхъ случаяхъ количество  $M$  есть максимумъ. Найдемъ признакъ, по которому мы всегда могли бы опредѣлить сечение, для котораго имѣетъ мѣсто наибольший изгибающий моментъ, т. е. опредѣлить опасное сечение.

Для этого воспользуемся выраженіемъ (16), и рассмотримъ диаграмму для поперечныхъ силъ черт. 30. Эта диаграмма взята съ черт. 9 выраженіе

$$M_x = Ax - \sum_{i=1}^k P(x-a_i),$$

есть площадь, ограниченная линіей поперечныхъ силъ и линіей  $A_1B_1$ . Передвигая сечение отъ лѣвой опоры къ правой, мы замѣтимъ, что количество  $M_x$  все время увеличивается пока мы не дойдемъ до сечения, гдѣ поперечная сила становится отрицательною; при дальнѣйшемъ передвижаніи сечения вправо придется суммировать площади съ проти-



Черт. 30.

воположными знаками. Поэтому наибольшее значение количество  $M_x$  приобретаетъ для сечения, въ которомъ поперечная сила измѣняетъ свой знакъ, т. е. наибольший изгибающий моментъ имѣетъ мѣсто для сечения, въ которомъ поперечная сила мѣняетъ свой знакъ, а это всегда бываетъ подъ однимъ изъ грузовъ.

Для опредѣленія изгибающаго момента геометрически, однако не пользуются линіей поперечныхъ силъ, а строятъ многоугольникъ моментовъ.

Для этого необходимо припомнить, что моментъ параллельныхъ силъ измѣняется произведеніемъ изъ ординаты, отсѣаемой крайними боками вервочнаго многоугольника, соответствующими даннымъ силамъ на вертикали, проходящей черезъ данное сечение, — на полюсное расстояние. Пусть имѣемъ балку съ указаннымъ на черт. 31 четырема грузами.

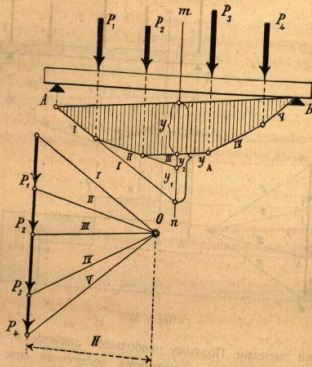
Найдемъ изгибающий моментъ въ сечении  $mn$ . Построимъ вервочный многоугольникъ на данныхъ грузахъ и проведемъ замыкающий бокъ. Изъ выраженія (16) выводимъ:

$$M = Ax - P_1(x-a_1) - P_2(x-a_2).$$

Момент сопротивления опоры получим, продолжив крайние бока веревочного многоугольника соответствующие силы  $A$ , — это будет замыкающий бока и бока  $I$ , — и определим произведение из найденной ординаты на полное расстояние ( $I$ , стр. 47).

Таким образом

$$Ax = Hy_A$$



Черт. 31.

Точно также, продолжив бока II, найдем ординату  $y_1$ ; следовательно,

$$P_1(x - a_1) = Hy_1;$$

далее — сложив получим:

$$P_2(x - a_2) = Hy_2;$$

т. е.

$$M = H \{ y_A - y_1 - y_2 \},$$

$$M = Hy.$$

(19)

Многоугольник  $A I, II, III, IV, V B$  и называется многоугольником моментов, а (заштрихованную) площадь его иногда называют также площадью моментов.

Итак, изгибающий момент для балки на двух опорах равен произведению из полюсного расстояния на ординату, соответствующую данному сечению, заключенную между боками многоугольника моментов.

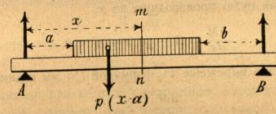
В выражении (19) один из множителей должен быть изменен по масштабу сил, а другой по линейному масштабу.

Из чертежа можно наглядно видеть, что значение наибольшего изгибающего момента, получается всегда под грузом, а также, что при переходе от одного сечения к другому — момент изменяется непрерывно, следуя между двумя соседними грузами по закону прямой линии, и наконец, что для опор изгибающий момент равен нулю. В балке со связями последнее не имеет места, напротив момент над опорами может быть наибольшим; об этом см. ниже. Для отыскания, по чертежу наибольшего значения момента достаточно провести параллельно замыкающей касательную к многоугольнику моментов. Касательная эта может коснуться или какого-нибудь одного угла веревочного многоугольника — тогда наибольшей изгибающий момент в соответствующем сечении балки, лежащем под грузом, или же касательная совпадает с одним из боков многоугольника моментов — если этот бока параллелен замыкающей — и тогда изгибающий момент для сечений, проведенных между смежными вершинами веревочного многоугольника, есть величина постоянная.

Во всех рассмотренных случаях, когда мы рассматривали условие равновесия левой части балки, изгибающий момент положительный, если рассматривали условие равновесия правой части балки нашли бы, что изгибающий момент отрицательный.

### 15. Изгибающие моменты при равномерно распределенной нагрузке.

Вывод формулы в этом случае остается совершенно тот же, принимая во внимание, что равномерно-распределенную нагрузку можно



Черт. 32.

рассматривать как систему элементарных сосредоточенных грузов, и что момент равнодействующей равен сумме моментов составляющих

щих. Поэтому, если имеем случай изображенный на черт. 32, то момент для сечения проведенного в расстоянии  $x$  отъ лѣвой опоры будетъ:

$$M_x = Ax - p(x-a) \cdot \frac{x-a}{2};$$

$$M_x = Ax - p \frac{(x-a)^2}{2} \quad (20)$$

Если  $a=0$  и  $b=0$ , то есть для нагрузки равномерно распределенной по всей длинѣ пролета,  $M_x = Ax - \frac{px^2}{2}$ . а потому, подставивъ  $A = \frac{pl}{2}$ , найдемъ:

$$M_x = p \frac{x(l-x)}{2} \quad (21)$$

Что касается формулы вида (17), то конечно не представляет затруднения составить въ каждомъ частномъ случаѣ ей подобную и при равномерно распределенной нагрузкѣ. Разсматривая выражения для изгибающихъ моментовъ отъ равномерно распределенной нагрузки, можно замѣтить, что при данныхъ нагрузкахъ, величина момента изменяется отъ перехода одного сѣченія балки къ другому непрерывно.

Давая различныя значенія  $x$  при опредѣленныхъ величинахъ и расположеніи нагрузки  $p$ , мы будемъ получать различныя величины изгибающихъ моментовъ, то возрастающіе, то убывающіе съ возрастаніемъ  $x$ . Исследуемъ здѣсь аналитически вопросъ: при какомъ значеніи  $x$  мы получимъ наибольшее выраженіе для  $M$ , т. е. опредѣлимъ сѣченіе, для котораго имѣетъ мѣсто наибольшій изгибающій моментъ. Для опредѣленія  $\max M$  поступимъ по извѣстнымъ правиламъ дифференціального исчисления.

Возьмемъ общую формулу (20) для выраженія изгибающаго момента при равномерно-распределенной нагрузкѣ,

$$M = Ax - \frac{p}{2}(x-a)^2;$$

Привравнивая нулю производную по  $x$ ,

$$\frac{dM}{dx} = A - p(x-a) = 0;$$

Сравнивъ это выраженіе съ формулой (5) мы видимъ, что

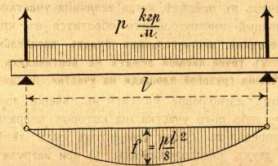
$$\frac{dM}{dx} = S_x.$$

Поэтому наибольшій изгибающій моментъ имѣетъ мѣсто для сѣченія, въ которомъ поперечная сила = 0, т. е. мы получимъ то же, что выше было изслѣдовано на линіи поперечныхъ силъ графически.

Наибольшій изгибающій моментъ отъ равномерно-распределенной нагрузки  $p$  по всей длинѣ балки имѣетъ мѣсто въ сѣченіи по серединѣ балки, ибо въ этой точкѣ поперечная сила обращается въ нуль; изъ формулы (20) найдемъ положивъ  $x = \frac{l}{2}$

$$M_i = \frac{pl^2}{8}. \quad (22)$$

Формула (20) есть уравненіе параболы; поэтому изгибающій моментъ отъ сплошной равномерно-распределенной нагрузки из-



Черт. 33.

мѣряется ординатами параболы со стрѣлкой по серединѣ пролета =  $\frac{pl^2}{8}$ .

Такъ какъ моментъ отъ равномерно распределенной нагрузки изменяется по закону кривой линіи, то, если построимъ веревочный многоугольникъ при полюсномъ разстояніи  $H$ , онъ обратится въ кривую линію со стрѣлкой  $y = \frac{pl^2}{8H}$ . Дѣйствительно имѣемъ:

$$M = Hy;$$

съ другой стороны, если нагрузка равномерно-распределена по всему пролету, то для середины пролета

$$M = \frac{pl^2}{8},$$

поэтому для середины пролета —

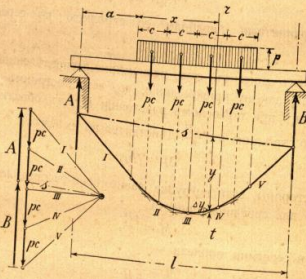
$$y = \frac{pl^2}{8H}.$$

Слѣдовательно при нагрузкѣ равномерно распределенной по всей балкѣ, веревочный многоугольникъ обратится въ параболу со стрѣлкой  $\frac{pl^2}{8}$ . Если равномерно распределенная нагрузка занимаетъ не всю балку, то видимъ изъ уравненій (16) и (20), что веревочный многоугольникъ обратится въ кривую линію лишь на протяженіи участка, занятаго

нагрузкой, а по сторонам—в прямая, касательная къ этой кривой. Пусть имѣть случай нагрузки изображенной на черт. 34. Грузовую площадь раздѣлим на нѣкоторое число участков и къ центрам тяжести ихъ приложимъ силы равныя площадямъ соответственныхъ участковъ. На полученныхъ силахъ строимъ многоугольникъ моментовъ, какъ описано было выше.

Очевидно, что чѣмъ число участковъ будетъ больше, тѣмъ величина момента будетъ опредѣлена точнѣе, т. е. ординаты веревочнаго многоугольника будутъ ближе къ дѣйствительнымъ. Съ возрастаніемъ числа участковъ, число сторонъ многоугольника будетъ возрастать и наконецъ въ предѣлѣ, когда величина участковъ подойдет къ нулю, веревочный многоугольникъ обратится въ кривую. Первоначальный веревочный многоугольникъ будетъ касательный къ этой кривой; при этомъ точки касанія лежатъ на вертикаляхъ, проходящихъ черезъ точки дѣленія грузовой площади на участки. Докажемъ это.

Разсмотримъ изгибающіе моменты въ сѣчени взятомъ правѣ середины какого-либо  $m$ -го участка, на которые подраздѣлена грузовая площадь, опредѣливъ суммы моментовъ силъ лѣвѣ сѣченія  $tr$  черт. 34, при двухъ предположеніяхъ: 1) при нагрузкѣ непрерывно



Черт. 34.

распределенной на протяжении отъ заданной точки на балкѣ до этого сѣченія; 2) при равнозначущей ей нагрузкѣ видѣ сосредоточенныхъ, въ центрахъ тяжести участковъ грузовой площади, силахъ. Пусть для простоты рывода величины участковъ (т. е. прямоугольни-

ков, на которые раздѣлена грузовая площадь) будутъ между собою равны; обозначимъ ихъ длину черезъ  $c$ .

Расстояние  $x$  сѣченія будемъ отсчитывать отъ начала грузовой площади. Тогда выраженіе для изгибающаго момента въ случаѣ 1) т. е. для равномерно распределенной нагрузки будетъ:

$$M_1 = A (a+x) - p \frac{x^2}{2} = Hy_1;$$

для случая 2), т. е. для системы сосредоточенныхъ грузовъ, равнозначущихъ нагрузкѣ равномерно распределенной:

$$M_2 = A (a+x) - pc \left\{ \left( x - \frac{c}{2} \right) + \left( x - \frac{3}{2}c \right) + \dots + \left[ x - \left( n - \frac{1}{2} \right)c \right] \right\};$$

припомнимъ выраженіе для суммы членовъ арифметической прогрессии, найдемъ:

$$M_2 = A (a+x) - pc \left( mx - \frac{m^2 c}{2} \right) = Hy_2.$$

Въ этомъ выраженіи  $m$  есть номеръ участка грузовой площади, опредѣляемой грузомъ, лежащимъ непосредственно лѣвѣ сѣченія. Если, напр. сѣченіе проведено между вторымъ и третьимъ грузомъ, то  $m = 2$ , если-же сѣченіе проведено во второмъ участкѣ лѣвѣ груза этого участка, то  $m = 1$ . Для случая, указанного на черт. 34,  $m = 3$ . Остается сравнить, которое изъ выраженій для  $M$  имѣть большую величину. Вычтя изъ второго выраженія первое и называя разность  $y_2 - y_1$ , черезъ  $\Delta y$ , найдемъ:

$$H \cdot \Delta y = \frac{p}{2} (x - mc)^2.$$

Такъ какъ по смыслу вопроса  $H$  положительно, то изъ послѣдняго выраженія слѣдуетъ, что  $\Delta y$  всегда положительно. Слѣдовательно, ординаты веревочнаго многоугольника, соответствующаго отдѣльнымъ сосредоточеннымъ нагрузкамъ, приложеннымъ въ центрахъ тяжести участковъ грузовой площади, всегда больше ординатъ веревочнаго многоугольника, построеннаго для нагрузки непрерывно распределенной, соответствующей той-же грузовой площади. Когда сѣченіе проведено черезъ точки раздѣла отдѣльныхъ участковъ грузовой площади, то имѣемъ  $x = mc$ , гдѣ  $m$  можетъ быть произвольное число, причѣмъ  $m \leq n$ ; принимая во вниманіе, что и  $p$  и  $H$  величины конечныя, изъ послѣдняго равенства слѣдуетъ, что при  $x = mc$  и

$$\Delta y = 0;$$

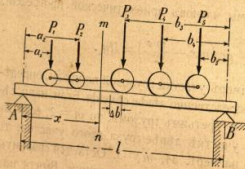
это значить, что для взятыхъ сѣченій, многоугольника, какъ для равномерно распределенной нагрузки, такъ и для эквивалентной ей—системы сосредоточенныхъ грузовъ—касательны между собой, т. е. теорема доказана.

## б. Временная нагрузка.

## Изгибающие моменты от системы подвижных сосредоточенных грузов.

## 16. Определение наибольшего изгибающего момента в данном сечении.

В этом случае следует пользоваться формулой (17). Остается исследовать, как изменяется величина изгибающего момента с изменением положения системы неизменно между собою связанных грузов, действующих на балку. Это необходимо для того, чтобы знать при каком положении системы грузов, в данном сечении, значение изгибающего момента будет наибольшим.



Черт. 35.

Предположим, что имется балка  $AB$ , черт. 35, на которую действуют система грузов  $P_1, \dots, P_n$ . Определим при каком положении системы, величина изгибающего момента для сечения  $mn$  будет наибольшая. Имеем:

$$M_x = \frac{l-x}{l} \sum_0^x P a + \frac{x}{l} \sum_x^l P b.$$

Допустим, что система грузов, неизменно между собою связанных, продвинулась относительно точки сечения  $mn$  влево на величину  $\Delta b$ . Условим грузы, ставший непосредственно в сечении  $mn$  относить к числу грузов, действующих с левой стороны сечения. При указанном передвижении системы влево, величина  $M_x$  изменится в  $M_x + \Delta M_x$ . Эта величина определится, если подставить в выражении для  $M_x$  (17) вместо  $a$  и  $b$ , соответственно  $a - \Delta b$  и  $b + \Delta b$ . Подставив, найдем:

$$M_x + \Delta M_x = \frac{l-x}{l} \sum_0^x P a + \frac{x}{l} \sum_x^l P b + \frac{\Delta b}{l} \left\{ x \sum_0^x P - (l-x) \sum_x^l P \right\},$$

откуда

$$\Delta M_x = \frac{\Delta b}{l} \left\{ x \sum_0^x P - (l-x) \sum_x^l P \right\}. \quad (23)$$

Если  $\Delta b$  будем отсчитывать по направлению движения системы, то величины  $\Delta b$  и  $l$  будут всегда  $> 0$ . В таком случае величина  $\Delta M_x$ , которая, как показывает формула (23), зависит от положения переместившихся грузов, будет  $> 0$ , когда выражение в скобках будет  $> 0$ , т. е. величина изгибающего момента, при перемещении системы влево, возрастет тогда, когда —

$$x \sum_0^x P > (l-x) \sum_x^l P,$$

или когда существует соотношение:

$$\frac{l-x}{l} \frac{\sum_0^x P}{l-x} > \frac{x}{l} \frac{\sum_x^l P}{x}. \quad (24)$$

Здесь числитель каждой части неравенства выражает собою алгебраическую сумму всех грузов, действующих правее и левее сечения, а знаменатели длины соответствующих этим грузам отрезки балки; такого рода дроби дают средние нагрузки правой и левой части, а потому если средняя нагрузка правой части больше средней нагрузки левой части, то для увеличения величины изгибающего момента надо систему передвинуть влево. Точно также доказали бы, что в том случае, когда систему двигаем вправо, изгибающий момент увеличивается, если средняя нагрузка левой части больше средней нагрузки правой части, т. е. если —

$$\frac{l-x}{l} \frac{\sum_0^x P}{l-x} < \frac{x}{l} \frac{\sum_x^l P}{x}. \quad (24 \text{ bis})$$

Отсюда заключаем, что наибольшая величина изгибающего момента в данном сечении наступит в тот момент, когда, при малейшем передвижении системы грузов влево или вправо, изменится соответственно знак неравенств (24) или (24 bis).

Из предыдущих исследований мы уже видели, что наибольший изгибающий момент кроме того будет иметь место тогда, когда над рассматриваемым сечением непосредственно станет груз \*).

В последнем случае при расчете средних нагрузок этот груз проще не принимать во внимание и тогда наибольший изгибающий момент в этом сечении будет иметь место тогда, когда средняя нагрузка правой части равна средней нагрузке левой части.

\* Исключение в последнем отношении представляет случай симметричной нагрузки, когда для всех сечений между средними грузами величина  $M_x = const$ .

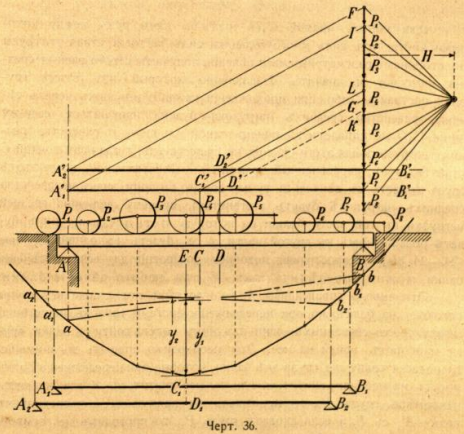
Так как с прибавлением нового груза изгибающий момент вообще говоря увеличивается, то для получения наибольшего значения момента в каком нибудь сечении балки, следует уместить на ней возможно большее число грузов и подвигать наибольшие из них настолько возможно ближе къ рассматриваемому поперечному сечению.

Для определения графическим путем наибольшего изгибающего момента в данном сечении пользуются способом Кульмана.

Положим, что имеем балку  $AB$ , подверженную действию системы между собою связанных грузов от  $P_1$  до  $P_n$ , черт. 36, тогда для получения  $\sum$  моментов всех внешних сил, действующих на балку влѣво от сечения, проходящаго через точку  $C$ , строить многоугольник сил, причем принимаются во внимание и те грузы, которые могут войти на балку при передвижении системы грузов, для отыскания такого их расположения, при котором изгибающий момент для сечения  $CC_1$  принимает наибольшее значение. Многоугольник сил выразится вертикальною прямой, по которой в масштаб сил будут отложены все действующия силы от  $P_1$  до  $P_n$ ; затѣм на данных силах строим веревочный многоугольник. Изъ точек опор  $A$  и  $B$  проводим вертикальныя лини, до пересѣченія съ крайними боками веревочнаго многоугольника, а соединяя полученныя точки  $a$  и  $b$ , получим замыкающій бокъ  $ab$ . Если теперь через точку  $C$  провести вертикальную линію, и полученный отрѣзокъ ея между боками многоугольника моментов умножить на величину полюснаго расстоянія  $H$ , то такое произведеніе, какъ уже знаемъ, дастъ сумму моментов сил, действующихъ съ лѣвой стороны рассматриваемаго сѣченія. Для получения макс.  $M$  можно было-бы передвигать систему грузовъ по балкѣ и для каждаго положенія ея строить многоугольники сил, но тогда чертежъ сильно запутывается. Исходя изъ того положенія, что расстоянія между грузами остаются неизмѣнными, вѣдѣсто передвиженія системы грузовъ передвигаюъ балку, оставляя самыя силы неподвижными—отчего, конечно, резульатъ не измѣнится. Построеніе же упростится, такъ какъ будетъ измѣняться только положеніе точек  $A$  и  $B$ , а слѣдовательно и замыкающаго бока неподвижнаго веревочнаго многоугольника. Мы видѣли раньше, что для зовъ напр.  $P_1$  или  $P_n$  пришелся надъ точкою  $C$ , а поэтому и расположили сначала что это будетъ грузъ  $P_1$ . Передвинемъ балку влѣво на величину  $CE$ ; тогда точка  $C$  какъ разъ придетъ подъ грузомъ  $P_1$ ; изъ точки  $A_1$  и  $B_1$  (новое положеніе опоръ) проводимъ вертикали до пересѣченія въ  $a_1$  и  $b_1$  съ боками веревочнаго многоугольника; тогда линія  $a_1 b_1$  дастъ новое положеніе замыкающаго бока  $a_1 b_1$ ; а  $y_1 H = M$ , гдѣ

значки  $y$  и  $M$  и  $y$  показываютъ то положеніе грузовъ, при которомъ эти количества имѣютъ мѣсто.

Теперь покажемъ какъ примѣнить сюда только что выведенное правило отысканія макс.  $M$ , пользуясь изслѣдованіемъ неравенствъ (24). Многоугольники силъ строить не на произвольной прямой, а на вертикали, проходящей черезъ правую (лѣвую) опору  $B$ , и изъ конца послѣдней силы, помѣщающейся на пролѣтѣ ведутъ горизонтальную прямую  $B_1 A_1$ . Точку  $A_1$  соединяютъ съ точкою  $I$  (началомъ многоугольника силъ, помѣ-



Черт. 36.

шающихся на пролѣтѣ), а изъ точки  $C_1$  ведутъ линію  $C_1 G$ , параллельную  $AI$ . Тогда, для удовлетворенія условия (24) или (24 bis) нужно надъ точкою  $C$  поставить именно ту силу, которую пересѣкаетъ прямая  $C_1 G$ , т. е. для полученія наибольшей величины изгибающаго момента, нужно всю систему двигать вправо, (т. е. балку надо передвинуть влѣво), до тѣхъ поръ, пока сила  $P_n$  не станетъ надъ точкою  $C$ . Въ самомъ дѣлѣ, мы видѣли, что для полученія макс.  $M$  среднія нагрузки на правой и лѣвой частяхъ балки должны быть по возможности равны. Изъ чертежа имѣемъ: прямая  $C_1 G$  въ точкѣ  $G$  дѣлитъ многоугольникъ

сил на двѣ части:  $IG$  изображающую сумму силъ, дѣйствующих на лѣвую часть и  $GB_1$ —изображающую сумму силъ, дѣйствующих на правую часть. Такъ какъ  $C_1G \parallel A_1I$ , то имѣемъ

$$\frac{IG}{A_1C_1} = \frac{GB_1}{C_1B_1},$$

или

$$\frac{\sum P_k}{x} = \frac{\sum P_i}{L-x},$$

т. е. если конецъ прямой  $C_1G$  упалъ-бы какъ разъ между которыми нибудь изъ силъ многоугольника силъ, то тогда, ставя эти грузы по сторонамъ разсматриваемаго сѣченія, получимъ строго равныя средня нагрузки и значитъ безразлично который изъ этихъ грузовъ поставить, ибо при прохожденіи каждаго изъ нихъ черезъ сѣченіе, равенство среднихъ нагрузокъ будетъ нарушаться; если-же линия  $C_1G$  не попадетъ въ конецъ одной изъ силъ, то равенства среднихъ нагрузокъ для этого сѣченія не существуетъ; тогда надъ точкой  $C$  ставятъ грузъ, пересѣченный прямой  $C_1G$ . Дѣйствительно, когда этотъ грузъ сойдетъ съ сѣченія въ ту или другую сторону, знакъ неравенства среднихъ нагрузокъ будетъ измѣняться, причѣмъ величина средней нагрузки въ той части балки, на которую этотъ грузъ вступилъ, будетъ больше чѣмъ въ другой части, т. е. будетъ выполнено условіе (24—24 bis). Распространяя подобное построеніе для всякаго сѣченія балки, можно опредѣлить  $\max M_x$  для любого сѣченія балки.

Эти выводы справедливы только до тѣхъ поръ, пока всѣ грузы остаются на балкѣ; но при передвиженіи системы грузовъ, неизмѣнно между собою связанныхъ, одни изъ нихъ могутъ сойти съ балки, другіе наоборотъ войти на нее. Это необходимо принять во вниманіе, располагая сразу два груза внѣ балки, которые при передвиженіи балки могутъ на нее или вкатиться или съ нея скатиться. Когда входитъ напримѣръ, грузъ  $P_1$ , то проводимъ не прямую  $A_1I$ , а соединяемъ точку  $A_1$  съ  $F_1$ , а если сходитъ грузъ  $P_2$ , то проводимъ не горизонтальную прямую  $A_1B_1$ , а черезъ конецъ  $P_2$  силы горизонтальную прямую  $A_1B_2$ . Напр. для опредѣленія наибольшаго значенія  $M$  въ сѣченіи, проходящемъ черезъ точку  $D$ , оказывается что необходимо надъ этою точкою поставить снова грузъ  $P_1$ . Въ этомъ случаѣ при передвиженіи системы вправо (балка влѣво) входитъ грузъ  $P_1$  и сходитъ точки  $D_2$  линію  $D_2L$   $A_2F$ . Построеніе это даетъ указаніе, что не смотря на переѣзду грузовъ, располагающихся на балкѣ, при передвиженіи системы вправо на величину  $ED$ , всетаки и для новой системы, наибольшій изгибающій моментъ въ сѣченіи  $DD_2$  вызывается

грузомъ  $P_1$ . Очевидно, что для наибольшаго изъ возможныхъ  $\max$ . нужно надъ точкою  $C$  или  $D$  ставить и наибольшіе грузы.

### 17. Опредѣленіе наибольшаго изгибающаго момента для всей балки.

Для опредѣленія наибольшаго изгибающаго момента для всей балки, недостаточно опредѣленія такого момента для даннаго сѣченія; желательно знать сѣченіе съ наибольшимъ для всей балки изгибающимъ моментомъ.

При нахожденіи на балкѣ системы подвижныхъ грузовъ, каждому изъ нихъ на балкѣ соответствуетъ опредѣленное положеніе, при которомъ, для сѣченія балки, приходящаго подъ даннымъ грузомъ имѣетъ мѣсто частный наибольшій изгибающій моментъ. Если число грузовъ системы вкатывающихся на балку ограничено, то такихъ частныхъ  $\max$ имум'овъ будетъ столько сколько грузовъ въ системѣ. Изъ этихъ частныхъ наибольшихъ моментовъ можно выбрать самый большой—это и будетъ **наибольшій изъ наибольшихъ изгибающихъ моментовъ** ( $\max$ имума  $\max$ имогим). Ему соответствуетъ какъ опредѣленное сѣченіе, такъ и положеніе опредѣленнаго груза въ этомъ сѣченіи—величины заранѣе неизвѣстныя. Когда при сходѣ съ балки одного груза могутъ входить на нее другіе въ неограниченномъ числѣ, т. е. комбинація грузовъ въ системѣ помѣщающейся на пролѣтѣ можетъ быть измѣняема весьма разнообразно, то частныхъ  $\max$ имум'овъ можетъ быть неограниченное количество и отысканіе между ними наибольшаго изъ нихъ, съ перваго взгляда представляется весьма затруднительнымъ. Задача облегчается тѣмъ, что впервые наибольшій изъ  $\max$ имум'овъ имѣетъ мѣсто для сѣченій близъ середины пролета и во вторыхъ наибольшій изъ изгибающихъ моментовъ соответствуетъ сѣченіямъ, приходящимъ подъ наибольшими изъ грузовъ.

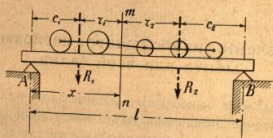
Имѣемъ балку  $AB$  черт. 37; около середины балки взято сѣченіе  $mn$  въ разстояніи  $x$  отъ лѣвой опоры. Для опредѣленія величины суммы моментовъ силъ, приложенныхъ къ лѣвой части балки, имѣемъ:

$$M_x = \frac{l-x}{l} \sum_0^x Pa + \frac{x}{l} \sum_1^x Pb;$$

выраженія  $\sum_0^x Pa$  и  $\sum_1^x Pb$  представляютъ собою суммы моментовъ силъ дѣйствующихъ влѣво и вправо отъ сѣченія  $mn$ , относительно соответствующихъ опоръ.



Зная, что сумма моментов сил составляющих равна моменту равнодействующей, относительно той-же точки, и обозначая равнодей-



Черт. 37.

ствующую силу влево от взятого сѣченія через  $R_1$ , разстоянїе ея до лѣвой опоры  $c_1$ , соответствующія величины для правой части через  $R_2$  и  $c_2$  имѣемъ:

$$\sum P a = R_1 c_1 \text{ и } \sum P b = R_2 c_2 ;$$

подставляя, получаемъ:

$$M_x = \frac{l-x}{l} R_1 c_1 + \frac{x}{l} R_2 c_2 .$$

Замѣняя плечи  $c_1$  и  $c_2$  равными имъ величинами  $c_1 = x - r_1$ ,  $c_2 = l - x - r_2$ , находимъ:

$$M_x = \frac{l-x}{l} R_1 (x - r_1) + \frac{x}{l} R_2 (l - x - r_2) .$$

Если будемъ двигать сѣченїе со всюю системою грузовъ по балкѣ такъ, чтобы разстоянїя частныхъ равнодействующихъ отъ сѣченїя не измѣнялись (т. е. оставляя  $r_1$  и  $r_2$  постоянными), то переменнїй будетъ лишь  $x$ , и наибольшее значенїе для  $M$  будетъ максимумомъ функціи отъ  $x$ , стоящей въ правой части равенства.

Взявъ первую производную и приравнявъ ее нулю, найдемъ

$$\frac{dM}{dx} = -\frac{1}{l} R_1 (x - r_1) + \frac{l-x}{l} R_1 + \frac{1}{l} R_2 (l - x - r_2) - \frac{x}{l} R_2 = 0 .$$

Чтобы удостовериться, максимум-ли это беремъ:

$$\frac{d^2 M}{dx^2} = -2 \frac{1}{l} R_1 - 2 \frac{1}{l} R_2 ,$$

что всегда  $< 0$ , если  $l$  положительно, такъ какъ  $R_1$  и  $R_2 > 0$ .

Слѣдовательно, при  $x$  удовлетворяющемъ равенству  $\frac{dM_x}{dx} = 0$  — получится дѣйствительно тах. выраженїя  $M_x$ .

Беремъ въ выраженїи  $\frac{dM_x}{dx}$  величину  $-\frac{x}{l}$  за скобки:

$$+\frac{x}{l} (2R_1 + 2R_2) = \frac{1}{l} R_1 r_1 + R_1 + R_2 - \frac{1}{l} R_2 r_2 ;$$

наконецъ опредѣляемъ  $x$ .

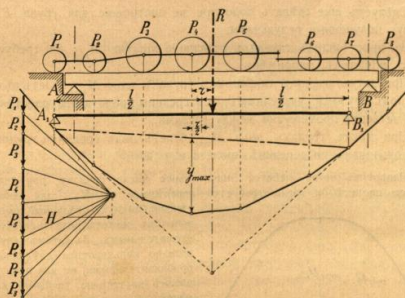
$$x = \frac{R_1 r_1 - R_2 r_2}{2(R_1 + R_2)} + \frac{l}{2} .$$

Отсюда видимъ, что наиболѣе опасное сѣченїе вообще не совпадаетъ съ серединой балки; разстоянїе его отъ опоры есть  $\frac{l}{2}$  + нѣкоторое количество, обращающееся въ 0 лишь когда  $R_1 r_1 = R_2 r_2$ , т. е. когда сумма моментовъ грузовъ силъ относительно середины балки равна 0, что показываетъ симметричное расположенїе нагрузки (одинъ грузъ въ серединѣ, остальные симметрично).

Если это условїе не соблюдено, получаемъ опасныя сѣченїя въ двухъ точкахъ, симметрично расположенныхъ относительно средняго сѣченїя и имѣющихъ абсциссы

$$x = \frac{l}{2} \pm \frac{R_1 r_1 - R_2 r_2}{2(R_1 + R_2)} . \tag{25}$$

Назовемъ черезъ  $R$ , черт. 38, равнодействующую всѣхъ грузовъ, приложенныхъ къ данной балкѣ, а  $r$  — разстоянїе ея до искомага сѣченїя  $x$ ,



Черт. 38.

выраженїе  $(R_1 r_1 - R_2 r_2)$  замѣнимъ моментомъ ихъ равнодействующей  $Rr$ , кромѣ того имѣемъ  $R_1 + R_2 = R$ . Подставляя въ уравненїе (25), найдемъ

$$x = \frac{l}{2} \pm \frac{r}{2} . \tag{26}$$

Таким образом необходимо помнить, что:

Наибольшая величина  $M_x$ , соответствующая данному грузу системы, получится при таком ее положении, когда этот груз и равнодействующая всей нагрузки находятся на равных расстояниях от середины балки.

Пусть, например, на черт. 38 имеем систему грузов  $P_1, P_2$ , которую рассматривали в предыдущем номере и для которой мы ищем  $\max M_x$ . Грузы должны быть расположены так, чтобы поместиться на балке, и притом наибольшее около середины. Строим веревочный многоугольник, и получим равнодействующую  $R$ . Мы уже знаем, что  $\max M_x$  получится в сечении, проходящем через один из грузов. Всего вероятно, что этим грузом будет один из соседних с силою  $R$ , т. е.  $P_1$  или  $P_2$ . Положим, что искомое сечение проходит через  $P_1$ ; разделим  $l$  пополам, и с обеих сторон от средней точки отложим по  $\frac{l}{2}$ ; получим точки  $A_1$  и  $B_1$ . Если при этом все грузы придутся между  $A_1$  и  $B_1$ , такое решение возможно, так как удовлетворено равенство (26)

Итак, в данном случае систему надо передвинуть на  $\frac{r}{2}$  вправо (балку влево).

Следует еще сделать подобное же построение для груза  $P_2$  и сравнить полученные результаты.

В простейших случаях отыскание  $\max M_{max}$  не требует долгих попыток, например:

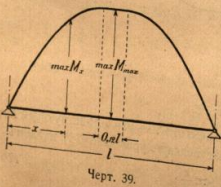
При двух равных связанных грузах  $\max M_{max}$  будет в сечении под грузом, удаленным от середины пролета на расстоянии одной четверти промежутка между грузами.

При трех грузах  $\max M_{max}$  будет под средним грузом, расположенным по середине пролета и т. д.

Напротив, когда имеется значительное число грузов, при значительном пролете, и когда требуется

определение  $\max M_{max}$  для любых сечений балки, то указанный способ попыток может оказаться весьма утомительным. В этом случае полезно пользоваться следующими приближенными, но для практики вполне достаточно точными указаниями

Кривая наибольших изгибающих моментов в различных сечениях балки, представляется двумя параболой со вставленной между ними прямой, длина которой 0,12  $l$ . Стрела парабол  $f = \max M_{max}$ . Для



определения  $\max M_x$ , т. е.  $\max M$  в любом мѣстѣ пролета, может служить следующая таблица:

$\frac{x}{l}$	$\frac{\max M_x}{\max M_{max}}$	$\frac{\Delta \max M_x}{\Delta \frac{x}{l}}$	$\frac{x}{l}$	$\frac{\max M_x}{\max M_{max}}$	$\frac{\Delta \max M_x}{\Delta \frac{x}{l}}$	$\frac{x}{l}$	$\frac{\max M_x}{\max M_{max}}$	$\frac{\Delta \max M_x}{\Delta \frac{x}{l}}$
0,00	0,000		0,16	0,595		0,32	0,926	
0,02	0,089	4,45	0,18	0,651	2,80	0,34	0,948	1,10
0,04	0,174	4,25	0,20	0,703	2,60	0,36	0,967	0,95
0,06	0,254	4,00	0,22	0,750	2,35	0,38	0,981	0,70
0,08	0,331	3,85	0,24	0,793	2,15	0,40	0,992	0,55
0,10	0,403	3,60	0,26	0,833	2,00	0,42	0,998	0,30
0,12	0,471	3,40	0,28	0,868	1,75	0,44	1,000	0,10
0,14	0,535	3,20	0,30	0,899	1,55	до	—	—
0,16	0,595	3,00	0,32	0,926	1,35	0,50	—	—

В. Узловая передача грузовъ.

а. Постоянная нагрузка.

18. Изгибающе моменты отъ сосредоточенныхъ грузовъ.

Изъ построения веревочного многоугольника на грузахъ, для этого случая, выяснено уже выше (стр. 31), что многоугольникъ моментовъ для узловой нагрузки есть вписанный въ многоугольникъ моментовъ для непосредственной нагрузки, причемъ точки касанія лежатъ на вертикаляхъ узловъ. Отсюда слѣдуетъ, что изгибающе моменты для сечений, соответствующихъ узламъ, тождественны, какъ при непосредственной, такъ и при узловой передачѣ нагрузокъ. Это ясно и изъ общаго выражения (16) для изгибающаго момента, которое въ этомъ случае можетъ быть написано такъ:

$$M_x = Ax - \sum_0^x P(x-a) - \sum_c^x P \frac{\lambda - x}{\lambda} (x-c),$$

гдѣ  $c$  есть расстояние отъ лѣвой опоры до узла, ограничивающаго панель съ рассматриваемымъ сѣченіемъ слѣва, а  $x$  расстояние до этого

узла силы  $P_i$  лежащей в той же панели. Если сечение проходит через узел, то будет  $x = c$ , т. е. последний член отличающий это выражение от (16) обратится в нуль.

В балкѣ съ равными панелями и съ симметричной нагрузкой, при вычисленияхъ весьма удобно выражать величину момента въ функции отъ поперечныхъ силъ, такъ какъ величина послѣднихъ получается весьма просто, какъ указано въ номерѣ 9.

Для вывода зависимости между  $M_i$  и  $S_i$  составимъ выражения для  $M_i$ , а затѣмъ для  $M_{i-1}$ . Обозначимъ узловую нагрузку узла  $i$  черезъ  $P_i$ .

Имѣемъ:

$$M_i = A \cdot i \lambda - P_1 \lambda (i-1) - P_2 \lambda (i-2) - \dots - P_{i-2} \lambda \cdot 2 - P_{i-1} \lambda;$$

$$M_{i-1} = A (i-1) \lambda - P_1 \lambda (i-2) - P_2 \lambda (i-3) - \dots - P_{i-2} \lambda.$$

Вычтя второе равенство изъ изъ перваго и произведя необходимаго сокращения, найдемъ:

$$M_i - M_{i-1} = \lambda (A - P_1 - P_2 - \dots - P_{i-2} - P_{i-1}).$$

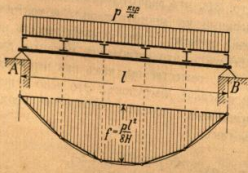
Выражение, стоящее въ скобкахъ есть поперечная сила въ  $i$ -той панели, т. е.  $S_i$ . Поэтому изгибающій моментъ для  $i$  панели получается изъ выраженія

$$M_i = M_{i-1} + S_i \lambda. \quad (27)$$

Величина же  $S_i$  получается по формулѣ:  $S_i = S_{i-1} + P_i$ .

### 19. Изгибающіе моменты отъ равномерно распределенной нагрузки.

Все только что сказанное относится и къ равномерно распределенной нагрузкѣ. Отличие отъ непосредственной передачи нагрузки здѣсь выразится въ томъ, что многоугольникъ моментовъ уже не обратится въ кривую линію, такъ какъ это будетъ многоугольникъ вписанный въ кривую моментовъ, при непосредственной нагрузкѣ. Величина момента между двумя узлами измѣняется по закону прямой. Если въ балкѣ четное



Черт. 40.

число равныхъ панелей, то  $M_{max}$  будетъ меньше, чѣмъ при непосредственной нагрузкѣ.

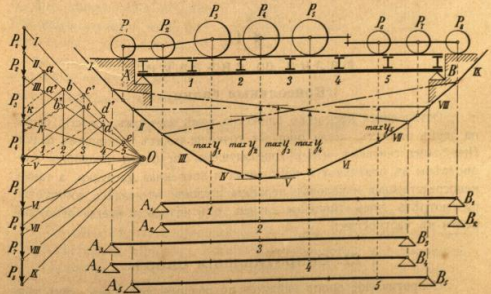
Въ балкѣ съ равными панелями и симметрично расположенной равномерно распределенной нагрузкой, для вычисления изгибающихъ моментовъ, слѣдуетъ пользоваться указаніями предыдущаго номера.

### б. Временная нагрузка.

### 20. Изгибающіе моменты отъ системы сосредоточенныхъ грузовъ.

Такъ какъ величина моментовъ, для сѣченій взятыхъ въ узлахъ въ точности равны моментамъ для тѣхъ же сѣченій при непосредственной нагрузкѣ, причемъ эти моменты какъ это видно изъ многоугольника моментовъ всегда больше, чѣмъ для смежныхъ сѣченій влѣво для лѣвой части балки и вправо для правой, то для узловъ величины наибольшихъ моментовъ и опредѣляются. Обыкновенно, для этого пользуются способомъ изложеннымъ на стр. 51; однако при большомъ числѣ панелей указанное на той стр. расположеніе чертежа неудобно и лучше поступить нѣсколько иначе.

На данныхъ грузахъ системы, строимъ веревочный многоугольникъ. Полное расстояние дѣлимъ на участки въ такомъ же отношеніи, въ какомъ балка раздѣлена на панели. Черезъ полученныя точки дѣленій проводимъ вертикали до пересѣченія съ лучемъ соответствующимъ первому лѣвому грузу изъ числа всѣхъ, умищающихся на балкѣ грузовъ; получаемъ точки  $a, b, c, d, e$ . Изъ этихъ точекъ



Черт. 41.

проводим линии параллельны лучу, соответствующему последнему (правому) грузу, из числа умещающихся на пролетъ; эти отръзки встрѣтятъ въ многоугольникъ силъ грузы, которые надо поставить надъ соответствующими точкамъ  $a, b, c, d, e$ , — узлами 1, 2, 3, 4, 5. Если при перевлечении системы какой-либо грузъ сходить, или на пролетъ входитъ новый грузъ, то слѣдуетъ сдѣлать поправку правильности выбора луча, на которомъ получены точки  $a, b, c, d$  и  $e$ .

Такъ напримѣръ, изъ указанного выше построения заключаемъ, что надъ узломъ 1 слѣдуетъ поставить грузъ  $P_3$ , но при этомъ на пролетѣ умѣщаются лишь грузы отъ  $P_3$  до  $P_5$ ; поэтому вмѣсто точки  $a$ , слѣдуетъ взять точку  $a'$  и провести  $a'k$  || лучу VIII какъ и раньше, ибо грузъ  $P_3$  лишь станетъ надъ опорой, но на пролетѣ не выйдетъ и  $P_4$  будетъ послѣднимъ грузомъ умѣщающимся на пролетѣ, какъ то было и при первоначальномъ положеніи системы. Линія  $a'k$  указываетъ, что дѣйствительно и при новомъ расположеніи системы удовлетворяется условие (24), когда надъ узломъ 1 стоитъ грузъ  $P_3$ .

На чертежѣ построены наибольшія ординаты многоугольника моментовъ для всѣхъ узловъ, причѣмъ оказывается, что для получения наибольшаго значенія изгибающаго момента въ сѣченіи, проходящемъ черезъ:

- узелъ 1 надо ставить грузъ  $P_3$ ;
- » 2 » » »  $P_4$ ;
- » 3 » » »  $P_4$ ;
- » 4 » » »  $P_5$ ;
- » 5 » » »  $P_5$ .

§ 4.

Балка со свѣсами.

(Консольныя балки).

Остановимся нѣсколько ближе на томъ частномъ случаѣ балки на двухъ опорахъ, когда опорныя точки не лежатъ по концамъ балки. При этомъ считаемъ, что въ предѣлѣхъ настолько подробно разсмотрѣны въ отдѣльности постоянная и временная нагрузки, а также непосредственная и узловая передача грузовъ, что здѣсь достаточно разсмотрѣть лишь типичные случаи, отъ которыхъ всегда легко перейти къ частностямъ.

21. Сопротивленія опоръ.

Сопротивленіе опоръ найдутся по общимъ правиламъ, какъ указано въ № 1, пользуясь выраженіями (2). При примѣненіи ихъ, однако

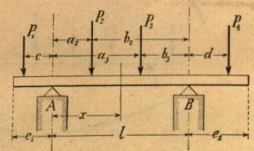
слѣдуетъ обратить вниманіе на слѣдующее: въ балкѣ на двухъ опорахъ по концамъ выраженія (2) можно было считать арифметическими, ибо при дѣйствіи на балку грузовъ, сопротивленія опоръ всегда положительны; напротивъ въ балкѣ со свѣсами выраженія (2) должны быть разсматриваемы какъ алгебраическія и составляя ихъ надо обращать вниманіе на знаки слагающихъ моментовъ, вычисляемыхъ относительно опоръ.

Вскакій грузъ лежащій на правомъ свѣсѣ вызываетъ отрицательное сопротивленіе въ лѣвой опорѣ и грузъ на лѣвомъ свѣсѣ отрицательное сопротивленіе правой опоры; значить сопротивленія опоръ определятся изъ выраженій:

$$A = \frac{1}{l} \sum P b, \quad B = \frac{1}{l} \sum P a,$$

если подѣ  $\sum$  ставить выраженія моментовъ грузовъ относительно опоръ  $B$  или  $A$  со знаками + или —.

Чтобы отнѣнить значеніе консолей, преобразуемъ общія выраженія для  $A$  и  $B$ . Назовемъ длину лѣваго свѣса черезъ  $c$ , праваго —  $e$ , разстоянія грузовъ лѣваго свѣса отъ лѣвой опоры черезъ  $a_i$  и для грузовъ праваго свѣса отъ правой опоры черезъ  $d_i$  тогда для произвольнаго числа грузовъ напишемъ слѣдующія выраженія:



Черт. 43.

$$A = \frac{1}{l} \left\{ \sum P b + P_1 (c+l) - P_4 d \right\};$$

$$B = \frac{1}{l} \left\{ \sum P a - P_1 c + P_4 (d+l) \right\}; \tag{28}$$

здѣсь указатель  $i$  соответствуетъ грузамъ лѣваго свѣса, указатель  $j$  грузамъ праваго свѣса, прочіе грузы лежатъ въ пролетной части балки.

Для равномерно распределенной нагрузки, въ каждомъ частномъ случаѣ, составимъ выраженіе, вытекающее изъ только что указанного. Если равномерная нагрузка распределена по всей балкѣ, то найдемъ:

$$A = \frac{1}{l} \left\{ p \frac{l^2}{2} + p_1 \cdot c_1 \left( \frac{c_1+l}{2} \right) - p_2 \frac{e_2^2}{2} \right\}; \tag{29}$$

$$B = \frac{1}{l} \left\{ p \frac{l}{2} + p_2 e_2 \left( \frac{e_2}{2} + l \right) - p_1 \frac{e_1^2}{2} \right\}; \quad (29)$$

где  $p$  нагрузка пролетной части, а  $p_1, p_2$  свѣсовъ  $e_1$  и  $e_2$ .

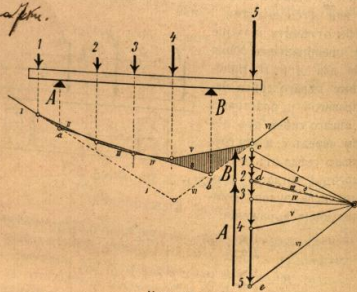
Когда свѣсы равны и нагрузка одинакова по всей балкѣ, то получаем простое выражение

$$A = B = p \left( \frac{l}{2} + e \right) \quad (30)$$

Изъ выражения (29) для сопротивленія опоръ между прочимъ ясно видно, что для получения наибольшей положительной величины сопротивленія опоры надо разгрузить противоположный свѣсь. Это имѣетъ значение напр. при расчетѣ главныхъ фермъ мостовъ, у которыхъ тротуары расположены на кронштейнахъ.

Определение сопротивленія опоръ помощью веревочнаго многоугольника не представляетъ затрудненія и производится, какъ указано выше. Надо только помнить, что веревочный многоугольникъ сначала строится на грузахъ, не обращая вниманія на опоры, а затѣмъ уже крайніе бока построенаго веревочнаго многоугольника продолжить до

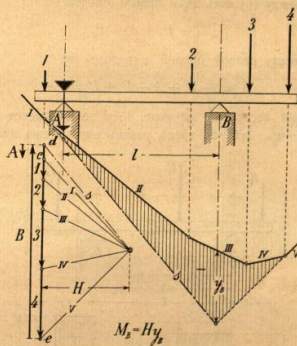
*См. отаграф.*



Черт. 44.

пересѣченія съ вертикалями опоръ, черт. 44. Полученныя точки опредѣляютъ замыкающій бокъ. Если въ многоугольникѣ силъ лучъ, параллельный замыкающему боку пройдетъ между крайними лучами, соответствующими грузамъ, то сопротивленія обѣихъ опоръ будутъ положительны, какъ это имѣетъ мѣсто на черт. 44; если же лучъ  $s$  пройдетъ по одну сторону лучей, соответствующихъ грузамъ, то понадо-

биться устройство отрицательной опоры. Напр. на черт. 45 опора  $A$  должна быть отрицательною, ибо ея сопротивленіе течетъ внизъ. Знакъ опоры явствуетъ также и изъ разсмотрѣнія веревочнаго многоуголь-



Черт. 45.

ника. Сопротивленіе опоры отрицательно, когда замыкающій бокъ  $s$  образуетъ съ крайнимъ бокомъ  $l$  уголъ, обращенный вершиною вверхъ. Если замыкающій бокъ  $s$  сольется съ крайнимъ бокомъ, то сопротивленіе соответствующей опоры равно нулю.

## 22. Поперечныя силы.

Когда найдены сопротивленія опоръ, то сейчасъ же опредѣлятся и поперечныя силы. Для сосредоточенной нагрузки, линия поперечныхъ силъ будетъ ступенчатая, пересѣкающая ось абсциссъ въ одной, или въ трехъ точкахъ. Первое будетъ когда одна изъ опоръ отрицательна, второе когда сопротивленія обѣихъ опоръ положительны. Для случая нагрузки указанного на чертежѣ 46, найдемъ:

Для стѣнchenъ между грузомъ  $P_1$  и лѣвой опорой:

$$S_{z1} = -P_1;$$

для сѣченій между лѣвой опорой и грузомъ  $P_2$ :

$$S_{x_1} = -P_1 + A;$$

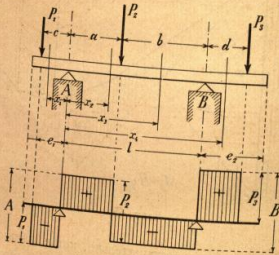
для сѣченій между грузомъ  $P_2$  и правой опорой:

$$S_{x_2} = -P_1 + A - P_2;$$

для сѣченій между правой опорой и грузомъ  $P_3$ :

$$S_{x_3} = -P_1 + A - P_2 + B = P_3.$$

Эта линия построена на черт. 46 и не нуждается въ дальнѣйшихъ поясненіяхъ. Двѣ изъ трехъ точекъ пересѣченія линии попереч-



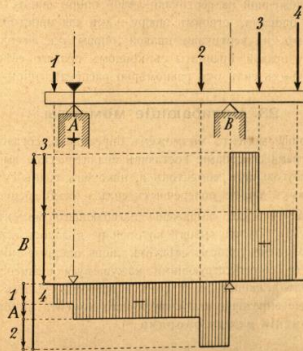
Черт. 46.

ныхъ силъ съ осью абсциссъ будутъ всегда надъ опорами, третья между опорами.

Если желаемъ построить линію поперечныхъ силъ, пользуясь многоугольникомъ силъ, по которому строили веревочный многоугольникъ непосредственно, какъ указано было выше въ № 5. Напр. для опредѣленія  $S_x$  въ случаѣ, разобраннымъ на черт. 44, сначала перестроимъ многоугольникъ силъ, располагая ихъ по порядку: 1, А, 2, В, 3 и 4. Въ этомъ случаѣ ось абсциссъ пересѣкается лишь одинъ разъ.

Если нагружены только свѣсы, поперечная сила между опорами равна нулю. Когда свѣсы разгружены, имѣемъ балку съ опорами по концамъ. Точно также, когда сопротивленія обѣихъ опоръ положи-

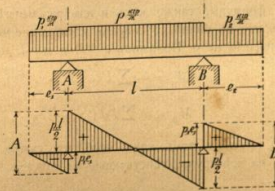
тельными, линія поперечныхъ силъ для пролетной части строится какъ и для простой балки.



Черт. 47.

При подвижной нагрузкѣ для опредѣленія наибольшей поперечной силы балку изслѣдуютъ какъ указано въ § 2, разсматривая консоли отдѣльно.

При равномерно распределенной нагрузкѣ, линія поперечныхъ силъ отъ нулевыхъ до наибольшихъ (наименьшихъ) значеній измѣ-



Черт. 48.

няется по линейному закону. Пусть имеем нагрузку черт. 48. Нулевую точку в концѣ лѣвой консоли соединимъ съ концомъ ординаты  $P_1c_1$ , отложенной на вертикали лѣвой опоры внизъ. Для средней части между опорами, строимъ эпюру какъ для простой балки. Звѣтъмъ отложить на вертикали правой опоры  $P_2c_2$  вверхъ и соединивъ вершину правой ординаты съ концомъ праваго звѣса, найдемъ линію поперечныхъ силъ отъ равномерно распределенной нагрузки.

**23. Изгибающіе моменты.**

Изгибающій моментъ мы можемъ опредѣлить, согласно вышесказанному, тремя способами: составивъ аналитическое выраженіе, построивъ многоугольникъ моментовъ и, наконецъ, взявъ сумму площадей, образуемыхъ линіею поперечныхъ силъ и осью абсциссъ.

Для аналитическаго выраженія изгибающаго момента служить общая формула (17), при выводѣ которой не дѣлалось ограничений въ смыслѣ расположенія опоръ; слѣдуетъ лишь опорные моменты  $P_1a$  и  $P_2b$  ставить съ соответствующими кажущемуся вращенію знаками. Вводя для силъ лежащихъ на лѣвомъ и правомъ звѣсахъ плечи  $c$  и  $d$ , найдемъ общее выраженіе для изгибающаго момента въ балкѣ со звѣсами для сѣченій между опорами \*)

$$M_x = \frac{l-x}{l} \sum_{i=1}^k (P_i a - P_i c) + \frac{x}{l} \sum_{i=1}^k (P_i b - P_i d), \quad (31)$$

гдѣ первое слагаемое есть сумма моментовъ грузовъ, лежащихъ лѣвѣе сѣченія относительно лѣвой опоры, а второе — сумма моментовъ грузовъ, лежащихъ правѣе сѣченія относительно правой опоры. При этомъ сѣченіе  $x$  отсчитывается всегда отъ лѣвой опоры. Указатели  $i$  и  $k$  оттънжаютъ, что грузы  $P_k$  на свѣсахъ (консоляхъ), а  $P_i$  между опорами.

Изъ этой формулы, также какъ и изъ рассмотрѣннаго чертежа 44 и 45 видимъ, что въ балкѣ со звѣсами изгибающіе моменты въ сѣченіяхъ надъ опорами не 0. Положивъ  $x=0$  и  $x=l$ , найдемъ

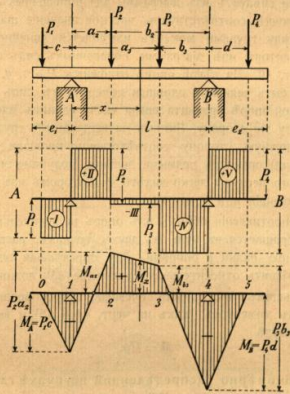
$$M_A = - \sum P_i c, \quad (32)$$

$$M_B = - \sum P_i d;$$

Указатели у  $\sum$  опушены, такъ какъ ясно, что сумма должна быть распространена на всѣ грузы, дѣйствующіе на звѣсахъ.

\*) Это выводится и непосредственно для черт. 49. Начало координата въ точкѣ А.

Знакъ минусъ показываетъ, что опорные моменты знакопротнвоположны изгибающимъ моментамъ (между опорами) для простой балки.



Черт. 49.

Назовемъ моментъ для сѣченія между опорами для балки безъ звѣсовъ черезъ  $M_0$ , тогда можно написать:

$$M_x = M_0 + \frac{l-x}{l} M_A + \frac{x}{l} M_B, \quad (33)$$

Изгибающій моментъ для балки со звѣсами, въ сѣченіи между опорами, равенъ моменту, какъ для простой балки, сложенному съ моментами надъ опорами, уменьшенными въ отношеніяхъ разстояній сѣченія отъ соответствующихъ опоръ къ пролету.

Опредѣленіе изгибающаго момента помощью веревочнаго многоугольника производится, какъ и въ простой балкѣ. Разсматривая веревочные многоугольники, построенные на черт. 44 и 45, наглядно видно, что моменты (ординаты веревочныхъ многоугольниковъ) надъ

опорами и близ середины балки знакопротивоположны и достигают своих наибольших по абсолютной величин значений.

Последнее следует из диаграммы для поперечных сил. Каждой нулевой точке соответствует частное значение maximum'a  $M$ . Помня что между грузами момент изменяется линейно, получив диаграмму моментов из диаграммы поперечных сил следующим образом, черт. 49. На левой опоре отложим  $P_1 c$  т. е. площади (вниз) стало быть величину площади поперечных сил для левого свеса; на правой опоре ордината равна числу единиц площади  $V$  и отложена в ту же сторону. Затем на вертикалях грузов  $P_1$  и  $P_2$  в противоположную сторону соответственно площади  $+II$  и  $-III$ . Соединив концы ординат прямыми линиями, получим эпюру моментов. Из этого чертежа легко видеть в котором из свесов получается наибольший из моментов.

Когда сопротивления обоих из опор положительны, величина моментов обращается в нуль в двух точках, расположенных между серединой балки и опорами. Для определения этих точек следует разбить относительно  $x$  уравнение (33), положив  $M_x = 0$ .

При большом числе сил очевидно целесообразнее строить многоугольник моментов (как на черт. 44 и 45) и вычислять момент по формулѣ

$$M = Hy.$$

При равномерно распределенной нагрузкѣ следует пользоваться общим выражением (20).

Таким образом вычисление сводится къ пользованию простыми формулами. Для свесовъ

$$M_k = p' \frac{e^2}{2}, \quad (34)$$

гдѣ  $e$  расстояние свеса отъ конца свеса; для пролетной части

$$M_x = p \frac{x(l-x)}{2} - \left( \frac{l-x}{l} p_1 e_1^2 + \frac{x}{l} p_2 e_2^2 \right); \quad (35)$$

причемъ предполагается сплошная нагрузка.

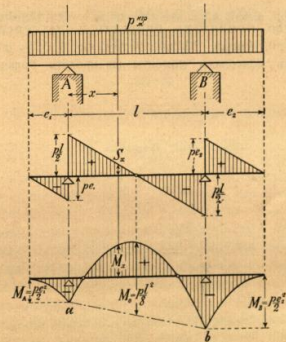
Напримеръ, если требуется определить изгибающій моментъ отъ сплошной равномерно распределенной нагрузки  $p$  в свесѣ  $x = \frac{l}{2}$  (между опорами), то найдемъ

$$M = \frac{pl^2}{8} - \frac{1}{2} \left( \frac{p_1 e_1^2}{2} + \frac{p_2 e_2^2}{2} \right),$$

что при одинаковой нагрузкѣ  $p_1 = p_2 = p$ , дасть:

$$M = \frac{pl^2}{8} - \frac{p}{2} \left( \frac{e_1^2}{2} + \frac{e_2^2}{2} \right) = M_0 - \frac{1}{2} (M_A + M_B)$$

Отложивъ на вертикаляхъ опоръ  $-\frac{pe_1^2}{2}$  и  $-\frac{pe_2^2}{2}$ , построивъ полупараболы на консоляхъ, найдемъ площади опорныхъ моментовъ  $M_A$



Черт. 50.

и  $M_B$ . Теперь остается построить на линіи  $ab$  параболу со стрѣлкой  $\frac{pl^2}{8}$  по серединѣ пролета. Заштрихованная площадь будетъ площадью моментовъ  $M_x$ .

Если консоли сплошны то

$$M_A = M_B,$$

и

$$M = \frac{pl^2}{8} - \frac{pe^2}{2}. \quad (36)$$

Естественнымъ вопросомъ является: который изъ моментовъ  $M_A = M_B$ , или  $M_0$ , в разсмотрѣнномъ частномъ случаѣ, будетъ больше



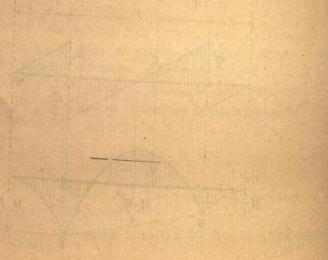
по абсолютной величинѣ. Это зависитъ отъ длины свѣсовъ  $e$ . Разрѣшая уравненіе

$$\frac{pe^2}{2} = \frac{pl^2}{8} - \frac{pe^4}{2},$$

относительно  $e$ , найдемъ что опорный моментъ будетъ равенъ моменту въ серединѣ балки если

$$e = \frac{l}{\sqrt{8}} = 0,353 l,$$

т. е. равенство моментовъ опорнаго и для середины балки имѣетъ мѣсто, когда свѣсы составляютъ 35% отъ пролета. При меньшихъ консольяхъ моменты для пролета больше опорныхъ моментовъ.



## Рѣшетчатая балочная ферма на двухъ опорахъ.

### § 5.

#### Статически опредѣлимая ферма.

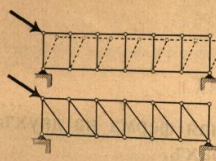
#### 24. Общія понятія.

До сихъ поръ мы рассматривали балки на двухъ опорахъ, имѣющія видъ сплошнаго прямолинейнаго стержня, или балки съ сплошною стѣнкою. Таковыя встрѣчаются въ простѣйшихъ сооруженіяхъ, какъ то: потолкахъ, полахъ, небольшихъ мостахъ и т. п. Съ увеличеніемъ и усложненіемъ конструкции является необходимость увеличивать и усложнять конструкцию фермъ. Напр. для половыхъ перекрытій достаточно простой балки; давленіе крыши передается на стѣны черезъ посредство стропильныхъ фермъ, сложность которыхъ возрастаетъ съ пролетомъ; давленіе полотна моста значительныхъ размѣровъ передается на опоры фермами, еще болѣе сложной конструкции. Если фермы, имѣющія плоскость симметріи, составлены изъ системы тѣлъ, связанныхъ между собою въ нѣкоторыхъ точкахъ такимъ образомъ, что между частями фермъ остаются сквозные промежутки, то фермы называются рѣшетчатыми \*), такъ какъ имѣютъ въ боковомъ фасадѣ видъ рѣшетки. Въ рѣшетчатыхъ фермахъ отдѣльные стержни соединяются своими концами такъ, что образуютъ между собою систему треугольниковъ, такъ какъ только такая ферма подъ вліяніемъ внѣшнихъ силъ, дѣйствующихъ въ плоскости фермы не будетъ измѣнять своей формы, черт. 51.

При этомъ концы стержней соединены между собою подвижнымъ образомъ помощью шарнировъ; эти точки пересѣченія стержней называются узлами. Такая именно система обыкновенно и подразумѣвается подъ словомъ «рѣшетчатая ферма». Подъ вліяніемъ

\*) иногда «сквозными».

силъ, приложенныхъ къ узламъ фермы, въ ея отдѣльныхъ стержняхъ проявляются усилія, опредѣленіе которыхъ и составляетъ задачу расчета фермы. При извѣстныхъ условіяхъ задача эта можетъ быть рѣшена средствами статики.



Черт. 51.

Для этого надо во-первыхъ подчинить вопросъ требованіямъ статики, а затѣмъ изслѣдовать общія условія равновѣсія, неизмѣняемой системы. Съ первой точки зрѣнія ферму рассматриваютъ какъ систему неизмѣняемыхъ стержней. Въ действительности измѣненія длины отдѣльныхъ стержней рѣшетки настолько малы, что безъ большой для практики погрѣшности можно считать стержни рѣшетки абсолютно твердыми. Затѣмъ считаютъ, что силы, появляющіяся въ стержняхъ, при дѣйствіи на ферму внѣшнихъ силъ, совпадаютъ съ линіями центровъ тяжести стержней, т. е. съ осями стержней и что узлы фермы будутъ геометрическими точками пересѣченія этихъ линій. Наконецъ принимаютъ, что внѣшнія силы прикладываются только къ узламъ фермы.

Такимъ образомъ въ статикѣ рѣшетчатая ферма представляется собою систему геометрическихъ стержней, соединенныхъ между собою своими конечными точками и образующихъ устойчивую систему. Здѣсь мы рассмотримъ плоскія фермы.

Остается посмотреть какимъ условіямъ, для опредѣленія усилій въ рѣшеткѣ, должны удовлетворять внѣшнія силы, къ фермѣ приложенныя, и какая зависимость должна существовать между этими силами и стержнями рѣшетки, чтобы пользоваться общими условіями равновѣсія, рѣшить предлагаемую задачу, т. е. выяснитъ признаки статической опредѣленности системы.

Внѣшнія силы, дѣйствующія на ферму и вызывающія въ ея стержняхъ усилія, должны прежде всего быть между собою въ равновѣсіи. Къ внѣшнимъ силамъ принадлежатъ грузы, приложенныя къ узламъ фермы и вызываемыя этими грузами сопротивленія опоръ, приложенныя также къ нѣкоторымъ двумъ изъ числа всѣхъ узловъ фермы. Въ части I, въ отдѣлѣ о равновѣсіи несвободныхъ тѣлъ, мы видѣли, что если обѣ опоры будутъ удерживающія, то вопросъ останется неопредѣленнымъ.

Такъ какъ всѣ силы лежатъ въ плоскости, то для опредѣленія сопротивленія опоръ необходимо знаніе двухъ составляющихъ на вертикальную и двухъ на горизонтальную оси, т. е. всего четыре неиз-

вѣстныхъ. Но для условія равновѣсія силъ въ плоскости, мы располагаемъ лишь тремя уравненіями (I, 44)

$$X = 0, Y = 0 \text{ и } M = 0. \quad (37)$$

Поэтому одну неизвѣстную необходимо знать. Для этого одну изъ опоръ дѣлаютъ неупрочивающею; на черт. 52 это правая опора, и тогда сопротивленіе опоры совпадаетъ съ нормалью къ плоскости опоры, т. е. является возможностью выбрать оси координатъ, такимъ образомъ, чтобы одна изъ четырехъ составляющихъ обратилась въ нуль.

На практикѣ это достигается тѣмъ, что одна опора, удерживающая, дѣлается въ видѣ шарнира позволяющаго фермѣ вращаться, но не перемѣщаться, а другая, позволяющая фермѣ кромѣ вращения еще и перемѣщаться по плоскости опоры, большаю частью горизонтальной.

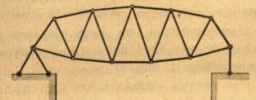
Итакъ при опредѣленіи сопротивленія опоръ имѣемъ 3 неизвѣстныхъ.

Для опредѣленія усилій въ стержняхъ нужно очевидно составить столько уравненій, сколько имѣется въ рѣшеткѣ стержней.

Такимъ образомъ, если въ фермѣ имѣются  $s$  стержней, то число неизвѣстныхъ внутреннихъ (усилій) силъ связей будетъ  $s$ , а полное число неизвѣстныхъ, которая предстоитъ опредѣлитъ при расчетѣ рѣшетки:

$$n = s + 3.$$

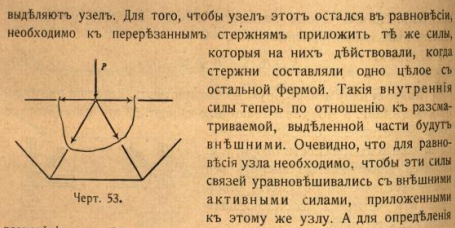
Для нагляднаго представленія о полномъ числѣ неизвѣстныхъ  $n$  можно опоры также замѣнить стержнями. Подвижная опора замѣнится однимъ стержнемъ, допускающимъ измѣненіе длины фермы, а опора неподвижная должна быть замѣнена двумя стержнями, какъ указано на чертѣжѣ 52 bis.



Черт. 52 bis.

Посмотримъ сколько теперь въ нашѣмъ распоряженіи имѣется уравненій, которыя мы можемъ составить для этой цѣли.

Для опредѣленія усилій въ частяхъ рѣшетчатыхъ фермъ пользуются способомъ сѣченій, т. е. поступаютъ какъ было указано въ изслѣдованіи, изложенномъ во введеніи. Отрѣзаютъ мысленно часть фермы, напр. стержни, пересѣкающіеся въ одномъ узлѣ и такимъ образомъ



Черт. 53.

равновѣсія силъ дѣйствующихъ въ одной плоскости и пересѣкающихся въ одной точкѣ, какъ известно, мы имѣемъ условіе

$$X = 0 \text{ и } Y = 0. \quad (37 \text{ bis})$$

Третье условіе, равновѣсія моментовъ силъ, обращается въ тождество. Поступая такимъ образомъ со всѣми узлами, число которыхъ пусть будетъ  $k$ , мы наконецъ, составимъ  $2k$  уравненій. Если это число уравненій будетъ не меньше числа неизвѣстныхъ, т. е. если

$$2k \geq s + 3,$$

то всѣ неизвѣстныя будутъ опредѣлены. Итакъ, чтобы возможно было опредѣлить усилія въ стержняхъ рѣшетчатой фермы, пользуясь средствами статики, т. е. **условіе статической опредѣленности фермы**, выражается неравенствомъ:

$$s \geq 2k - 3. \quad (38)$$

Это необходимо, но недостаточно. Дѣйствительно, если фигура рѣшетчатой фермы будетъ сама по себѣ не жесткою, напримеръ, четырехугольникъ, то, подъ вліяніемъ внѣшнихъ силъ, она измѣнитъ свою форму, такъ какъ такая фигура находится въ неустойчивомъ равновѣсіи (I, 32).

Такимъ образомъ для опредѣленія усилій въ частяхъ рѣшетчатой фермы помощью статики, необходимо и достаточно чтобы число стержней не превышало удвоенное число узловъ безъ трехъ и чтобы ферма состояла изъ системы треугольниковъ. Въ этомъ случаѣ задача сводится къ изслѣдованію условий равновѣсія частей фермы и къ разрѣшенію составленныхъ уравненій.

Рѣшеніе этого вопроса можетъ быть произведено аналитическимъ и графическимъ путемъ. При этомъ пользуются установленными выше

понятіями о поперечныхъ силахъ и изгибающихъ моментахъ, причемъ, при дѣйствіи на ферму грузовъ, опредѣленіе количествъ  $M$  и  $S$ , производится согласно вышеизложенному (§ 2,3).

Но прежде чѣмъ переходить къ перечисленію этихъ способовъ опредѣленія усилій въ фермахъ, скажемъ нѣсколько словъ о классификаціи фермъ и терминахъ употребляемыхъ при изслѣдованіи фермъ.

Стержни фермъ имѣютъ свои опредѣленные названія. Такъ стержни, расположенные по двумъ длиннымъ сторонамъ внѣшняго контура фермы, называются поясами; стержни, лежащіе внутри контура фермы называются вообще рѣшеткой фермы и получаютъ названіе раскосовъ при наклонномъ положеніи и стоекъ при вертикальномъ. Разстояніе между узлами по горизонтальному направленію, называется панелію. Въ стропильныхъ фермахъ вмѣсто поясовъ принято называть стержни верхняго контура ногами, а нижняго затяжкою.

По виду рѣшетки, фермы различаютъ фермы съ простою треугольною системою раскосовъ, раскосныя фермы (когда имѣются раскосы и стойки), фермы съ полураскосами и т. п. По очертанію поясовъ, различаютъ фермы съ прямолинейными, полигональными или криволинейными поясами. Въ последнемъ случаѣ на кривой расположены узлы, стержни-же фермы всегда прямолинейны. Подробное изслѣдованіе этихъ системъ составляетъ предметъ курса мостовъ.

## § 6.

### Изслѣдованіе усилій въ рѣшетчатыхъ фермахъ.

#### 25. Обще пріемы.

Для аналитическаго рѣшенія уравненій равновѣсія узловъ, необходимо знать углы наклоненія стержней фермы съ вертикалью или съ горизонтомъ и тогда можно составить уравненія вида (37). Возьмемъ примѣръ, черт. 54. Сначала посмотримъ удовлетворяетъ-ли ферма равенству (38).

$$\text{Число стержней: } s = 7;$$

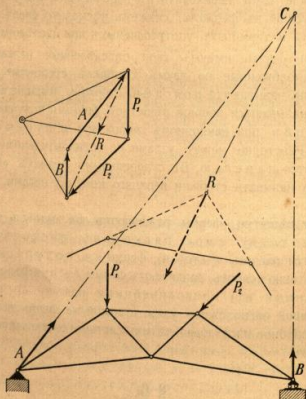
$$\text{» узловъ: } k = 5;$$

$$s = 2k - 3 = 7;$$

ферма статически опредѣлима.

Положимъ, что сопротивленія опоръ уже опредѣлены, либо пользуясь общими условіями равновѣсія силъ на плоскости, либо графиче-

поскимъ путемъ, какъ это сдѣлано на чертежѣ: на данныхъ силахъ построимъ веревочный многоугольникъ, опредѣлена равнодѣйствующая  $R$ , которая пересѣкаетъ направление вертикальнаго сопротивления подвиж-



Черт. 54.

ной правой опоры въ точкѣ  $C$ ; черезъ эту точку должно пройти сопротивление опоры  $A$ . Величины  $A$  и  $B$  опредѣляются изъ треугольника силъ.

Для составленія условныхъ уравненій равновѣсія, необходимо знать углы между стержнями фермы и осями координатъ, вертикальной и горизонтальной, точно также какъ и углы, образуемые съ этими осями сопротивленіемъ неподвижной опоры. Величины эти даны на черт. 55.

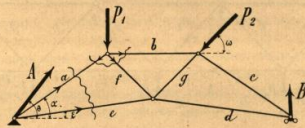
Выдѣливъ лѣвый опорный узелъ, черт. 55, и написавъ уравненія равновѣсія (37 bis) получимъ:

$$A \cos \theta + a \cos \alpha + e \cos \varepsilon = 0;$$

$$A \sin \theta + a \sin \alpha + e \sin \varepsilon = 0.$$

Два уравненія съ двумя неизвѣстными, слѣдовательно неизвѣстныя опредѣлятся.

При составленіи такихъ уравненій первоначально всегда предполагаютъ, что неизвѣстная сила, дѣйствующая въ стержнѣ, направлена отъ узла, т. е. что стержень вытянутъ и въ уравненіи ставятъ поло-



Черт. 55.

жительный знакъ. Если при разрѣшеніи уравненій знакъ ея переѣнится изъ положительнаго въ отрицательный, то значить предположеніе было сдѣлано неправильно и стержень оказывается сжатымъ.

По разрѣшеніи этихъ уравненій увидимъ, что стержень  $a$  сжать, а  $e$  вытянуть.

Для лѣваго верхняго узла напишемъ:

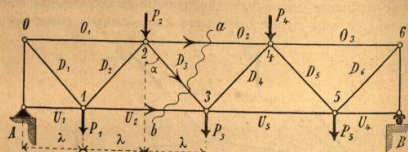
$$a \cos \alpha + b + f \cos \varphi = 0;$$

$$a \sin \alpha - P + f \sin \varphi = 0.$$

Въ первое уравненіе  $P$  не вошла, такъ какъ проекція ея на горизонтальную ось равна нулю, точно также во второе уравненіе не вошло  $b$ , такъ какъ ея проекція на вертикаль также нуль. Что касается до знаковъ, то они опредѣлятся знакомъ косинуса угла, образуемаго стержнемъ съ горизонтомъ, причѣмъ при разрѣшеніи уравненій надо принять во вниманіе что  $a$  само по себѣ отрицательно. При составленіи уравненій можно бы написать  $-a \cos \alpha$ ; но тогда для косинуса взять лишь арифметическое значеніе. Изъ этихъ уравненій опредѣляемъ усилія въ стержняхъ  $b$  и  $f$ . Первый стержень сжать, а второй вытянуть.

Можно вмѣсто равновѣсія узла разсматривать равновѣсія цѣлой части рѣшетчатой фермы, т. е. поступать такъ-же, какъ дѣлали при сплошныхъ фермахъ. Пусть имѣемъ балочную ферму,  $AB$  черт. 56, съ грузами отъ  $P_1$  до  $P_n$ . Разсѣжемъ ферму сѣченіемъ  $ab$ , отбросимъ правую часть и для сохраненія въ равновѣсіи лѣвой части, къ перерѣзаннымъ стержнямъ приложимъ силы, которыхъ величина должна равняться воздѣйствію на тѣ же стержни отброшенной правой части. Величина этихъ усилій опредѣлится изъ условныхъ уравненій равновѣсія. Такихъ условныхъ уравненій, вообще говоря, будетъ три для каждаго сѣченія, слѣдовательно рѣшеніе вопроса какъ и въ предъ-

дущем случае сведется на решение системы уравнений со многими



Черт. 56.

неизвестными\*). Называя, как раньше, сумму сил, действующих левее сечения через  $S$ , при принятых обозначениях получим:

$$\begin{aligned} -D_1 \cos \alpha + S_2 &= 0; \\ O_2 + D_3 \sin \alpha + U_2 &= 0; \end{aligned}$$

где  $S_2$  сумма сил для панели 2—3.

Для составления третьего уравнения, за центр моментов примем узел 3, тогда моменты сил, действующих в стержнях  $D_3$  и  $U_2$  обратятся в нули, так как они проходят через этот узел.

$$O_2 h + A \cdot 3\lambda - P_1 2\lambda - P_2 \lambda = 0.$$

Здесь  $h$ —высота фермы, а  $\lambda$  горизонтальная проекция между узлами, или длина панели. Определяя  $D_2$  из первого из написанных уравнений, подставляя его значение во второе и, наконец замечая, что последние три члена третьего уравнения представляют момент вращающих сил, действующих на левую часть относительно выбранного узла 3, получим:

$$\begin{aligned} D_2 &= \frac{S_2}{\cos \alpha}; \\ O_2 + U_2 &= S_2 \operatorname{tg} \alpha; \\ O_2 &= -\frac{M_2}{h} \text{ и } U_2 = -S_2 \operatorname{tg} \alpha + \frac{M_2}{h}. \end{aligned}$$

Вследствие того, что в нашем распоряжении имеются три условных уравнения—мы можем отсчитать не больше трех стержней с неиз-

\*) Нагляднее для последующих вычислений, если знак не входит в косинус, т. е. ставить лишь абсолютную величину,  $\cos$  или  $\sin$  угла, а знак определять течением стрелок, относительно общепринятого течения положительной части, то течение стрелок вверх и вправо будут соответствовать знаку +, вниз и влево знак —.

вестными усилиями. Поэтому этим способом можно пользоваться, если только удастся провести хотя одно сечение не больше, чем через три стержня. При этом, если провести сечение через три стержня не представляется затруднения, то нет необходимости знать усилия в других стержнях. Между тем при определении усилий из равновесия узлов, необходимо знать усилия в предыдущих стержнях, так как кроме опорных узлов, обыкновенно в прочих пересыхается не меньше 3 стержня системы уравнений, что всегда утомительно и представляет длинную работу.

## 26. Свойства усилий в стержнях решетки и поясов.

Ознакомимся ближе с усилиями в частях фермы, для чего возьмем балочную ферму с параллельными поясами.

Усилия в решетке и поясах соответственно пропорциональны поперечным силам и изгибающим моментам. Разсмотрим ферму, имеющую раскосы и стойки.

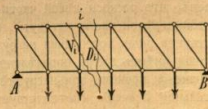
Исследуем сначала усилия в раскосах.

Проведем сечение в любой панели и составив выражение для сумм проекций на вертикальную ось, получим:

$$S_i - D_i \cos \alpha_i = 0;$$

откуда

$$D_i = \frac{S_i}{\cos \alpha_i}. \quad (39)$$



Черт. 57 а.

Точно также для стоек, проводя наклонные сечения и рассматривая левую часть, получим:

$$V_i + S_i = 0;$$

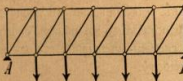
откуда

$$V_i = -S_i. \quad (40)$$

Таким образом усилия в стойках и раскосах прямо пропорциональны поперечной силе, а потому в стойках и раскосах наибольшие усилия получаются близ опор. При этом для определения наибольших по абсолютной величине усилий в раскосах, при действии подвижной нагрузки, надо загружать часть формы

как  $S$  указано в 12 и 13 так, чтобы в данной панели получалось  $\max S$ , или  $\min S$ .

В этих формулах, согласно принятому выше условию о знаках, пока величина суммы сил лѣвѣ сѣченія будетъ положительною, раскосы будутъ вытянуты, а стойки сжаты. Изъ изслѣдованій



Черт. 57 б.

поперечной силы мы знаемъ, что величина ея при переходѣ отъ одного сѣченія къ другому вообще говоря мѣняется и близъ середины пролета переходить изъ положительной въ отрицательную. Коль скоро это случилось, то знаки въ уравненіяхъ (39) и (40) также измѣнятся и тогда получимъ, что: раскосы правой части фермы сжаты, а стойки вытянуты. Если теперь обратимся къ фермѣ черт. 57 б, то совершенно такимъ же образомъ изслѣдуя равновѣсіе части фермы по лѣвую сторону сѣченія получимъ:

$$S_i + D_i \cos \alpha_i = 0; \quad D_i = -\frac{S_i}{\cos \alpha_i}, \quad (39 \text{ bis})$$

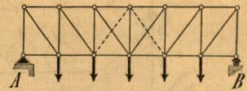
и для стоекъ

$$V_i - S_i = 0; \quad V_i = S_i. \quad (40 \text{ bis})$$

Примѣняя разсужденія подобно только что высказаннымъ, найдемъ, что раскосы лѣвой части фермы сжаты, а правой вытянуты, а стойки лѣвой части вытянуты, а правой сжаты. Когда на ферму дѣйствуетъ лишь постоянная нагрузка, то количество  $S$  въ данномъ сѣченіи имѣетъ всегда опредѣленное положительное или отрицательное значеніе, причемъ при нагрузкѣ равномерно распределенной положительное значеніе соответствуетъ лѣвой половинѣ, отрицательное—правой. Поэтому изъ приведенныхъ формулъ слѣдуетъ также правило: раскосы, уклоняющіеся вершинами къ опорамъ, дѣйствіемъ постоянной равномерно распределенной нагрузки всегда вытягиваются, а наклоненные вершинами къ серединѣ всегда сжимаются. При дѣйствіи временной нагрузки этого сказать нельзя, ибо въ одномъ и томъ же сѣченіи значение  $S$  можетъ быть положительнымъ или отрицательнымъ, смотря потому будетъ ли загружена правая или лѣвая часть балки. Вообще же можно сказать: если раскосы въ фермѣ всѣ наклонены въ одну сторону, то при переходѣ черезъ нѣкоторое сѣченіе усилія въ нихъ и въ стойкахъ, измѣняются на противоположныя. Что касается до того сѣченія, въ которомъ происходитъ измѣненіе знака усилій, то изъ изслѣдованія поперечныхъ силъ извѣстно, что при нагрузкѣ симметричной это произойдетъ по серединѣ, а при временной на-

движной это измѣненіе произойдетъ нѣсколько отступая отъ середины, въ ту сторону откуда грузъ движется (9). Отсюда видно, что въ этомъ случаѣ нѣкоторые раскосы средней части могутъ быть то вытянуты, то сжаты, смотря по тому движется-ли грузъ лѣва или справа. Если желаютъ, чтобы всѣ раскосы имѣли усиліе одного знака, напр. всегда были вытянуты, то слѣдуетъ лѣвую часть фермы сдѣлать,

какъ на черт. (57а), а правый, какъ на чер. (57б), т. е. всѣ раскосы должны уклоняться своими вершинами къ опорамъ, какъ на черт. (57с). Очевидно, что при подвижной нагрузкѣ одинаковость знака усилій въ раскосахъ недостижима, ибо средніе раскосы будутъ все-таки мѣнять знакъ усилія. Для того, чтобы этого избѣгнуть, придется лѣвые раскосы завести нѣсколько правѣе середины, именно до точки гдѣ  $S = 0$ , а правые лѣвѣе середины до симметричной ей точкѣ, какъ показано на черт. (57с) пунктиромъ. Положеніе этой точки опредѣляется, какъ указано въ номерѣ 13.



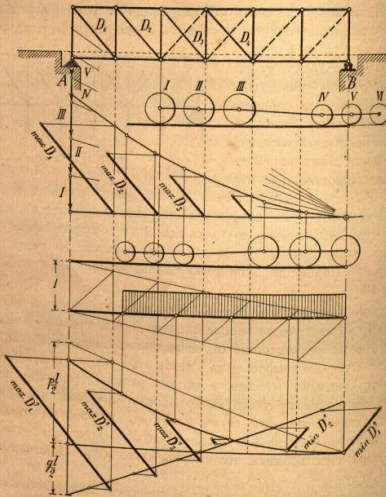
Черт. 57 с.

Строго говоря, такое введеніе перекрестныхъ раскосовъ обращаетъ ферму въ статически неопредѣленную (число стержней увеличивается, а число узловъ остается неизмѣннымъ—неравенство (38) перестаетъ быть удовлетвореннымъ). Чтобы этого избѣгнуть прибѣгаютъ къ конструктивному мѣрамъ, а именно—раскосы среднихъ панелей, скрещивающіеся между собою, дѣлаются нежесткими, такъ что можетъ работать лишь тотъ изъ двухъ раскосовъ, который вытягивается. Можно конечно поступить и обратно: устроить раскосы сопротивляющіеся лишь сжатію, какъ это имѣетъ мѣсто напр. въ деревянныхъ фермахъ Гау.

Величины усилій въ раскосахъ и стойкахъ, опредѣляемая выраженіями (39, 40), весьма удобно получить графически, пользуясь многоугольникомъ опорныхъ сопротивленій (стр. 32).

Пусть требуется опредѣлить усилія въ раскосахъ и стойкахъ фермы, указанной на черт. 58. Строимъ по извѣстнымъ правиламъ многоугольникъ опорныхъ сопротивленій и линію поперечныхъ силъ для постоянной равномерно-распределенной нагрузки (собственный вѣсъ фермы). Затѣмъ, построимъ вертикальные отрѣзки, опредѣляющіе наибольшую поперечную силу въ каждой панели; поперечные отрѣзки дадутъ непосредственно величины наибольшихъ усилій въ стойкахъ. Изъ оснований этихъ отрѣзковъ проводимъ

наклонные, параллельные диагоналям фермы, линии, вершины отрезков которых ограничены параллельными линиями, проведенными из противоположных концов вертикальных отрезков.



Черт. 58.

Верхняя диаграмма дает наибольшие усилия в раскосах от системы подвижных грузов, а нижняя от равномерно распределенной подвижной и постоянной нагрузках.

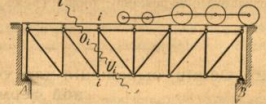
Теперь изыскаем усилия в поясах.

Назовем усилия в нижнем поясе через  $U_i$ , а в верхнем через  $O_i$ , причём значки  $i$  пусть соответствуют противолежащему данному стержню узлу.

Из условия равновесия лѣвой части фермы, отсѣченной сѣчением  $II$ , черт. 59, для нижняго пояса имѣем выражение

$$-U_i h + M_i = 0;$$

$$U_i = \frac{M_i}{h} \quad (41)$$



Черт. 59.

гдѣ  $M_i$  есть сумма моментов вѣшнихъ силъ лѣвѣ сѣченія  $II$ , относительно точки  $i$ , т. е. изгибающій моментъ относительно узла  $i$ , а  $U_i$  усилие въ  $i$  стержнѣ нижняго пояса. Затѣмъ возьмемъ сумму проекцій на горизонтальную ось. Изъ условия равновѣсія лѣвой части найдемъ:

$$O_i + U_i = 0; O_i = -U_i;$$

$$O_i = -\frac{M_i}{h} \quad (42)$$

Подставляя вмѣсто  $i$  различныя значенія, найдемъ усилия въ поясахъ всѣхъ панелей.

Изъ полученныхъ выраженій заключаемъ: **усиліе въ стержняхъ поясовъ фермы прямо пропорціонально изгибающему моменту относительно противолежащаго стержню узла и обратно пропорціонально высотѣ фермы.**

Въ балочной фермѣ съ параллельными поясами величина  $h$  постоянна, величина изгибающаго момента увеличивается вообще говоря отъ опоръ къ серединѣ фермы, а потому имѣемъ правило: въ балочныхъ фермахъ съ параллельными поясами наибольшія усилия въ поясахъ имѣютъ мѣсто въ срединѣ панелей.

Для получения наибольшаго по абсолютной величинѣ усилия въ поясахъ слѣдуетъ загрузить всю ферму.

Затѣмъ, имѣя въ виду, что въ балочной фермѣ съ опорами по концамъ, при изыскаванні части фермы по лѣвую сторону сѣченія, изгибающій моментъ въ данномъ сѣченіи всегда положителенъ, найдемъ, что верхній поясъ фермы всегда сжатъ, а нижній всегда вытянутъ; это правило не относится къ балкамъ со сѣсами, гдѣ знакъ  $\pm$  при  $M$  зависитъ отъ относительныхъ размѣровъ пролетной части балокъ и сѣсовъ и соответствующихъ имъ нагрузокъ.

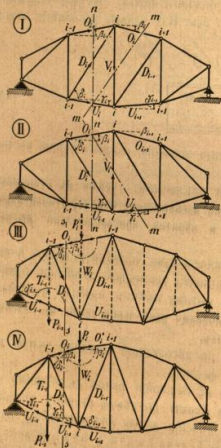
Если желаемъ найти усилия въ поясахъ, пользуясь графическими способами для опредѣленія величины изгибающаго момента, указанными въ главѣ I, то для удобства вычислений слѣдуетъ полное раз-

стояние  $H$  выбрать кратной высотой  $h$  (постоянной в фермах с параллельными поясами); тогда имеем, назвав  $H$  через  $\nu$

$$U_i = \nu U_i \text{ и } O_i = -\nu U_i$$

### 27. Общие выражения для усилий в полигональной ферме.

Хотя рассмотрим различных систем решетчатых ферм и не входить в предмет настоящего курса, тем не менее для практического пользования удобно иметь готовые выражения для усилий в стержнях произвольной полигональной фермы (без пересечения раскосов). Условимся сначала в обозначениях. Назовем стержни поясов, стоек и диагоналей, как и раньше, соответственно буквами  $O$ ,  $U$  и  $V$ ,  $D$ ; при буквах поставим указатели: для поясов номера противоположных узлов, для стоек номера



Черт. 60.

узлов и для диагоналей (раскосов) номера узлов, ограничивающих диагональ справа; этим же указателем будем нумеровать и панель, заключающую данную диагональ. Для облегчения усвоения этих обозначений и вывода формул изображим на черт. 60 эскизы ферм совершенно произвольного очертания, подразделив их на четыре категории: I и II черт. относятся к фермам со стойками и диагоналями, причём в фермах I раскосы уклоняются вершинами вправо и в фермах II — влево; ферма III может и не иметь вертикалей, и её решетка называется просто треугольною сью. Стойки, обозначенные пунктиром, не влияют на усилия в других стержнях той-же панели, а потому

их присутствие не мѣняетъ общихъ выводовъ. Наконецъ ферма IV имѣетъ треугольную сѣть со стойками; стойки в фермах III и IV названы: поддерживающія верхній поясъ черезъ  $W$ , а поддерживающія нижній поясъ черезъ  $T$ . Углы, образуемые стержнемъ фермы  $i$  съ горизонтомъ назовемъ для верхняго пояса  $\beta_i$ , для нижняго пояса  $\gamma_i$  и для диагоналей  $\delta_i$ . Эти углы будемъ всегда отсчитывать отъ горизонтальной оси, принимая начало координатъ въ лѣвомъ концѣ стержня, тогда углы будутъ всегда лежать въ первой или четвертой четвертяхъ круга \*). Разстояние между стержнемъ пояса и противоположащимъ узломъ, считая по вертикали (т. е. въ I и II длину стоек) назовемъ  $h_i$ . Всѣ эти обозначенія необходимо твердо усвоить, чтобы не ошибаться при пользованіи введенными ниже формулами.

Грузы, дѣйствующіе на ферму, слѣдуетъ вообразить дѣйствующими на произвольные узлы.

Проведемъ сѣченіе  $mm$  и рассмотрим условия равновѣсія всей лѣвой части фермы I или II, изображенныхъ на чертѣ 60.

1. Сумма проекцій силъ на горизонтальную ось равна нулю:

$$O_i \cos \beta_i + U_i \cos \gamma_i = 0;$$

2. сумма проекцій силъ на вертикальную ось равна нулю \*\*),

$$S_k + O_i \sin \beta_i + U_i \sin \gamma_i = 0;$$

здесь  $S_k$  есть поперечная сила въ той изъ панелей, пересѣченныхъ сѣченіемъ  $mm$ , которая носитъ номеръ узла, ограничивающаго справа разсѣченный стержень пояса, несущаго грузы. Напримѣръ въ фермѣ I, когда вѣздъ понизу, надо для  $k$  положить значеніе панели, въ которой лежитъ нижній пересѣченный стержень  $U_i$ , лежащій въ  $i$  той панели, т. е. положить  $k=i$  и  $S_k=S_i$  и тогда  $S_i$  есть поперечная сила въ  $i$ -той панели, т. е. сопротивление лѣвой опоры минусъ сумма узловыхъ нагрузокъ отъ 1 до  $i-1$  включительно; когда въ той-же фермѣ I вѣздъ поверху, то надо поставить номеръ той панели, въ которой лежитъ пересѣченный стержень  $O_i$ , — онъ лежитъ въ  $i+1$  панели и тогда слѣдуетъ взять  $S_k=S_{i+1}$ , т. е. взять поперечную силу въ  $i+1$  панели. Для фермы II будетъ обратно. Для наибольшихъ значеній  $S$  слѣдуетъ, при вѣздѣ по низу въ фермѣ I, поставить первый сосредоточенный грузъ системы надъ узломъ  $i$ , и лѣвую

\*) Выражая углы въ градусахъ проще, всего обозначать ихъ цифрами отъ  $0^\circ$  до  $90^\circ$  и, чтобы не ошибиться въ знакѣ тригонометрической величины, слѣдуетъ при составленіи таблицъ угловъ ставить знакъ + или — первый для угловъ первой четверти, а второй для угловъ послѣдней четверти.

\*\*) Знаки передъ  $O_i$  и  $U_i$  заключены въ знакѣ синуса угловъ  $\beta_i$  или  $\gamma_i$ .



часть фермы разгрузить, а во втором случае расположить первый груз над узлом  $i+1$ , разгрузив точно также левую часть фермы.

Третье условие, если обозначить изгибающий момент относительно узла  $i$  через  $M_i$  — выскажется так:

3. сумма моментов сил относительно узла  $i$  должна равняться нулю.

$$M_i + O_i \cos \beta_i \cdot h_i = 0.$$

Из первого и третьего условий имеем, опуская общий значек  $i$ :

$$\begin{cases} O = -\frac{1}{\cos \beta} \frac{M}{h}; \\ U = \frac{1}{\cos \gamma} \frac{M}{h}. \end{cases} \quad (43)$$

Эти же значения найдем и для фермы III, но в этом случае, проведя сечение  $ss$ , одно из первых двух условий заменим условием равновесия моментов сил относительно узла  $i-1$ , тогда найдем выражение для  $U_{i-1}$ , подобное только что найденному для  $U_i$ .

Подставляя найденные для  $O_i$  и  $U_i$  значения в условия 2, и опуская общий значек  $i$  находим:

$$V = \pm \left\{ S_k + \frac{M}{h} (\operatorname{tg} \gamma - \operatorname{tg} \beta) \right\}. \quad (44)$$

При пользовании этой формулой следует, помимо сказанного относительно указателя  $k$ , помнить, что тангенсы углов  $\beta$  и  $\gamma$  должны быть вставлены с соответственными знаками, так как это условие вошло в выражение 1. Верхний знак правой части следует взять для фермы I, а нижний для фермы II. Когда поса фермы между собою параллельны, то второй член выражения (44) обращается в нуль (40).

Что касается до усилий в стойках  $W$  и  $T$  ферм III и IV, то эти усилия найдем из условия равновесия узлов, в которых стойки поддерживают стержни поясов.

Для фермы IV, выдвиг узлы, как показано на чертеже, найдем:

$$\begin{aligned} -W_i - P_i - O_i \sin \beta_i + O_i \sin \beta_i' &= 0; \\ T_{i-1} - P_{i-1} - U_{i-1} \sin \gamma_{i-1} + U_{i-1} \sin \gamma_{i-1}' &= 0; \end{aligned}$$

где окончательные знаки перед  $U$  и  $O$  (припомним условие об обозначении углов) определяются знаками синусов углов  $\gamma_i$  и  $\beta_i$ .

Подставляя сюда значения для  $O_i$  и  $U_{i-1}$ , определяя величины  $W$  и  $T$ , получим:

$$\begin{cases} W = -P + \frac{M}{h} (\operatorname{tg} \beta - \operatorname{tg} \beta'); \\ T = P + \frac{M}{h} (\operatorname{tg} \gamma - \operatorname{tg} \gamma'); \end{cases} \quad (45)$$

здесь для упрощения указатели опущены, ибо все элементы в каждой формуле имеют общий указатель: в первой формуле  $i$ , и во второй формуле  $i-1$ . Тангенсы углов наклона, согласно принятому способу обозначения на черт. 60 должны быть взяты с соответственными знаками. Так напр. во втором выражении второй член будет отрицательным, так как в ферме IV угол  $\gamma$  и его тангенс отрицательны. Когда  $\beta = \beta'$  или  $\gamma = \gamma'$ , т. е. для фермы III имеем:

$$\begin{aligned} W &= -P; \\ T &= P. \end{aligned}$$

Отсюда видно, что стержни  $W$  и  $T$  в ферме III составляют лишь добавочную часть решетки и могут (при отсутствии груза  $P$  расположенного над и под этим стержнем) быть выброшены без изменения от этого усилий в главных стержнях  $O$ ,  $U$  и  $D$ . Поэтому на чертеже фермы III стойки  $W$  и  $T$  и обозначены лишь пунктиром.

Теперь проведем вертикальное сечение в  $i$ -той панели, т. е. сечение  $mn$  в фермах I и II и сечение  $ss$  в фермах III и IV и составим условие равновесия проекции сил на горизонтальную ось.

Для фермы I это будет:

$$O_{i-1} \cos \beta_{i-1} + D_i \cos \delta_i + U_i \cos \gamma_i = 0;$$

для прочих ферм напишем:

$$O_i \cos \beta_i + D_i \cos \delta_i + U_{i-1} \cos \gamma_{i-1} = 0.$$

Подставляя в каждое из этих уравнений известные уже нам значения для  $O$ ,  $O_{i-1}$ ,  $U_i$  и  $U_{i-1}$ , найдем:

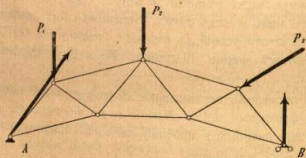
$$D_i = \pm \frac{1}{\cos \delta_i} \left( \frac{M_i}{h_i} - \frac{M_{i-1}}{h_{i-1}} \right), \quad (46)$$

где верхний знак соответствует ф. I, т. е. диагоналям наклоненным вправо, а нижний для ф. II, III и IV, т. е. для диагоналей уклоняющихся вершинами влево.

## 28. Способъ Кремоны.

Изъ первой части курса известно, что для сложения сил, пересѣкающихся въ одной точкѣ, можно пользоваться многоугольникомъ силъ, изъ котораго каждая изъ дѣйствующихъ на точку силъ опредѣляется непосредственно какъ по величинѣ, такъ и по теченію. Пользуясь этимъ, итальянскій профессоръ Кремона предложилъ рѣшать уравненія равновѣсія узловъ построениемъ многоугольниковъ силъ. Такъ какъ усиліе, проявляющееся въ каждомъ стержнѣ входитъ въ уравненіе, составленное для двухъ узловъ, соединяемыхъ этимъ стержнемъ, то построенные многоугольники силъ всегда имѣютъ общія стороны и слѣдовательно могутъ быть соединены въ одинъ общій многоугольникъ силъ, который собственно и называется диаграммой усилій Кремоны.

Изъ уравненій (37) мы видимъ, что для отысканія усилій, дѣйствующихъ въ каждомъ узлѣ должно быть не больше двухъ неизвѣстныхъ, поэтому способъ Кремоны въ своемъ чистомъ видѣ можетъ быть при-



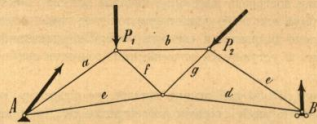
Черт. 61.

мѣненъ къ тѣмъ фермамъ, въ которыхъ имѣется хоть одинъ узелъ, составляющій пересѣченіе только двухъ стержней и къ которому приложена внѣшняя сила, какъ напр. указано на черт. 61.

Разъ усиліе хоть въ одномъ стержнѣ известно, то въ слѣдующихъ узлахъ можетъ пересѣкаться и большее ихъ число, лишь бы число вновь входящихъ стержней, усиліе которыхъ предстоитъ опредѣлить, было не больше двухъ.

Пусть имѣемъ ферму черт. 62, на которую дѣйствуютъ силы  $P_1$ ,  $P_2$ , вызывающія сопротивленія опоръ  $A$  и  $B$ . Положимъ сначала, что намъ удалось уже опредѣлить сопротивленія опоръ, т. е. что всѣ силы, на ферму дѣйствующія, заданы. Построеніе диаграммы начинаемъ съ опорнаго узла  $A$ , гдѣ сходятся два стержня. Въ произвольномъ масштабѣ, проводимъ линію 1—2, изображающую силу  $A$ ; сила эта

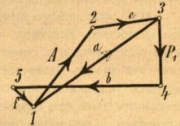
должна уравниваться съ усиліями стержней  $a$  и  $e$ , т. е. на диаграммѣ долженъ получиться сомкнутый треугольникъ.



Черт. 62.

Для полученія его, на черт. 62а изъ концовъ отрезка 1—2 проводимъ линіи, параллельныя стержнямъ  $a$  и  $e$ ; пересѣченіе ихъ опредѣлитъ искомымъ треугольникъ 1—2—3. Такъ какъ силы должны быть въ равновѣсіи, то теченіе въ треугольникѣ должно быть непрерывно и слѣдовательно будетъ, какъ указано стрѣлками. Обративъ вниманіе на чертежъ фермы, изъ которой выдѣленъ разсматриваемый узелъ, можно видѣть, что усиліе въ лѣвой части отрезаннаго стержня  $e$  направлено отъ узла  $A$ , т. е. этотъ стержень вытнута силою 2—3, а усиліе въ лѣвой части отрезаннаго стержня  $a$ —направлено на узелъ  $A$ , т. е. этотъ стержень сжатъ силою 3—1.

Теперь слѣдуетъ перейти къ изслѣдованію узла  $P_1$ , въ которомъ неизвѣстными являются усилія лишь двухъ стержней  $b$  и  $f$ , тогда какъ въ среднемъ нижнемъ узлѣ имѣли бы три неизвѣстныхъ усилій  $f$ ,  $g$  и  $d$ . При построеніи новаго многоугольника равновѣсія, въ него непременно войдетъ уже опредѣленная сила 1—3, дѣйствующая на стержень  $a$ , пересѣкающийся въ этомъ узлѣ; кромѣ того мы знаемъ, что этотъ стержень сжатъ, т. е. давить на узелъ  $P_1$  вправо. Поэтому, если мы перевернемъ теченіе стрѣлки 1—3, то намъ будетъ удобно продолжать построеніе диаграммы отъ точки 3, къ которой пристроимъ силу  $P_1$ , изображающуюся отрезкомъ 3—4 и теченіе которой будетъ составлять какъ бы продолженіе только что мысленно построенной силы 1—3 (съ теченіемъ вправо). Проведя изъ конца 4 силы  $P_1$  линію, параллельную стержню  $b$  и, принявъ во вниманіе, что сторона многоугольника, изображающая слѣдующее усиліе, т. е. въ стержнѣ  $f$ , должна замыкать пристраиваемый многоугольникъ, увидимъ, что проведя изъ точки 1 линію 1—5, мы и найдемъ точку 5, пересѣченіе сторонъ 4—5 и 1—5. Разсматривая новый многоугольникъ силъ найдемъ, что стерж-

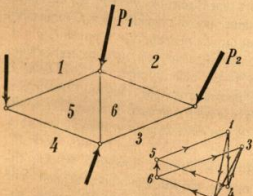


жень  $b$  сжать, а  $f$  вытянуть. Теперь можно перейти или къ четвертому узлу  $P_3$ , или къ среднему безразлично и, пользуясь такими же разсужденіями, построить діаграмму, которая должна сомкнуться, если построение было исполнено правильно и точно въ графическомъ смыслѣ. Такое смыканіе діаграммы и служить повѣркою правильности изслѣдованія, чѣмъ и устраняется опасеніе въ неточности графическаго вычисленія.

Для того, чтобы при одномъ взглядѣ на діаграмму можно было сразу опредѣлить какіе стержни подвергаются сжатію и какіе вытягиванію, пользуются или различными красками, или силы сжимающія стержни прочерчиваютъ двойными или утолщенными линиями.

Изъ приведеннаго примѣра уже видно, что весьма важную роль при построении діаграммы имѣетъ порядокъ въ которомъ удобнѣе всего переходить отъ одного узла къ другому. При сложныхъ діаграммахъ это имѣетъ особенное значеніе, а въ нѣкоторыхъ случаяхъ даже является повидимому невозможнымъ замкнуть діаграмму, тогда какъ на самомъ дѣлѣ это возможно. Тоже слѣдуетъ замѣтить и объ обозначеніяхъ. Такъ напр., можно ставить буквы или цифры въ узлахъ, вдоль силы, по ихъ концамъ и т. п. и все это играетъ существенную роль, облегчая или затрудняя построение многоугольниковъ равновѣсія. Весьма важную услугу приносятъ предложенный американскимъ инженеромъ Бау способъ обозначенія, котораго удобнѣе всего и придерживаться всегда при построении діаграммы усилій.

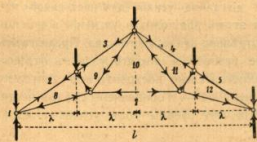
Способъ обозначенія Бау состоитъ въ томъ, что цифрами или буквами на чертежѣ фермы обозначаютъ пространства, какъ между стержнями, черт. 63, такъ и между силами. Силы и стержни читаются по цифрамъ, расположеннымъ по сторонамъ ихъ: такъ  $P_1$  есть сила 1—2, дальше  $P_2$  называется 2—3, затѣмъ силы 3—4 и 4—1 и стержни 1—5, 2—6, 3—6, 4—5 и наконецъ 5—6. Въ діаграммѣ усилій силы обозначаются цифрами по концамъ отрѣзковъ. При такомъ обозначеніи всякая сила, дѣйствующая на ферму, отыскивается на діаграммѣ



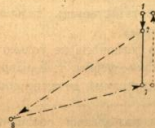
Черт. 63.

при одномъ взглядѣ на нее. Такъ какъ каждому узлу фермы долженъ на діаграммѣ соответствовать сомкнутый многоугольникъ; напр., узлу при  $P_1$ , т. е. 1, 2, 6, 5, на діаграммѣ соответствуетъ многоугольникъ

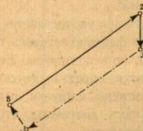
1—2—6—5—1 и каждому пространству на фермѣ соответствуетъ узелъ на діаграммѣ,—то нахожденіе такихъ многоугольниковъ также совершается быстро. При построении діаграммы, порядокъ перехода отъ одного узла къ другому и нахожденіе точекъ пересѣченія сторонъ чрезвычайно облегчается.



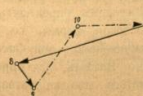
I.



II.

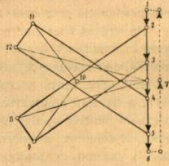


III.



IV.

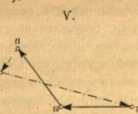
VII.



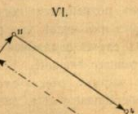
VII.



VIII.



IX.



X.

Черт. 64.

Построение діаграммы усилій, необходимо всегда начинать съ опредѣленія всѣхъ внѣшнихъ силъ, т. е. построить многоугольникъ

равновѣсія для силъ заданныхъ (активныхъ), т. е. нагрузокъ и сопротивлений опоръ (пассивныхъ). Этотъ многоугольникъ долженъ послужить основой для построения всей диаграммы. Затѣмъ начинаютъ построение отъ опорнаго узла и слѣдуютъ по периметру фермы, не перескакивая черезъ узелъ, а приставивая послѣдовательно многоугольники равновѣсія очередныхъ узловъ.

На чертѣжѣ 64 построена **диаграмма усилий для постоянной нагрузки** стропильной фермы. При этомъ для полнаго уясненія всего построения, оно сначала сдѣлано отдѣльно для каждого узла. Предлагаемъ читателю прослѣдить построение равновѣсія каждого узла въ отдѣльности, а затѣмъ попытаться самостоятельно построить всю диаграмму Толстыми линиями на диаграммѣ черт. 64—VII обозначены сжатые части фермы, а тонкими вытянутыя. На черт. фермы родъ усилия (т. е. + или —) указаны стрѣлками \*).

Построенная диаграмма должна удовлетворять слѣдующимъ условиямъ:

- 1) Каждой части фермы должна соответствовать только одна линия (сжатіе или растяженіе стержня фермы).
- 2) Диаграмма должна давать условия равновѣсія не только каждаго узла, но и цѣлыхъ выдѣленныхъ частей фермы, т. е. напр. если выдѣлить два сосѣднихъ узла, то имъ въ диаграммѣ долженъ соответствовать сомкнутый многоугольникъ.

Не лишнее еще замѣтить, что при пользованіи обозначеніями Бау удобнѣе чертить силы приложенныя къ узламъ не внутри фермы, а снаружи, текущими въ сторону фермы извнѣ.

Построение диаграммъ по способу Кремоны употребляется главнымъ образомъ въ тѣхъ случаяхъ, когда на ферму дѣйствуетъ только постоянная нагрузка, или хотя и временная, но неподвижная. Если же временная нагрузка подвижная, то приходится определять усилия въ стержняхъ рѣшетки при различномъ расположеніи нагрузки, и слѣдовательно потребуется построение нѣсколькихъ диаграммъ, что при большомъ ихъ числѣ уже представляетъ неудобство.

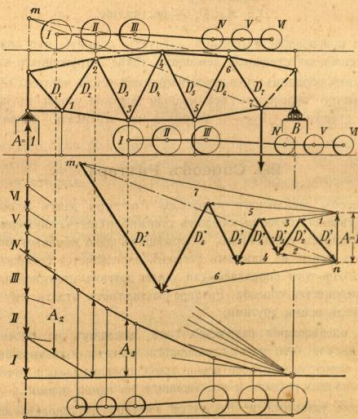
**Въ случаѣ подвижной нагрузки** диаграмму Кремоны строятъ для груза равнаго единицѣ. Если, напримѣръ, желаемъ определить усилия въ частяхъ рѣшетчатой балочной мостовой фермы, то усилия отъ собственного вѣса распределеннаго равномерно, получимъ, построивъ диаграмму, какъ только что указано. Затѣмъ, для опредѣленія усилий въ поясахъ можно, воспользовавшись тою же диаграммою, изменивъ масштабъ въ отношеніи  $r/g$ , гдѣ  $r$  временная, а  $g$  постоянная нагрузка. Дѣйствительно, усилия въ поясахъ получаютъ наибольшія

\* Обыкновенно для симметричныхъ фермъ съ симметричной нагрузкой чертится лишь диаграмма для половины фермы.

значенія при полной загрузкѣ фермы, поэтому если нагрузка равномерно распределена, то ея дѣйствіе подобно дѣйствію собственного вѣса. Можно было бы построить и одну диаграмму для груза равнаго единицѣ, а затѣмъ составить одну таблицу усилий отъ постоянной, а другую отъ временной нагрузокъ.

Если подвижная нагрузка въ видѣ системы сосредоточенныхъ грузовъ, то пользоваться диаграммою Кремоны для опредѣленія усилий въ поясахъ не цѣлесообразно. Для опредѣленія же усилий въ частяхъ рѣшетки строятъ диаграмму Кремоны для груза единица, слѣдующимъ образомъ:

Пусть имѣемъ рѣшетчатую ферму произвольнаго очертанія, напримѣръ, какъ указано на черт. 65. Вообразимъ, что послѣдній узелъ передъ опорой  $B$ , т. е. узелъ 7 нагруженъ такъ, что въ лѣвой опорѣ



Черт. 65.

возникаетъ сопротивление  $A = 1$ . Затѣмъ построимъ диаграмму усилий Кремоны. Если нагрузка, напр. при вздѣ поверху, продвинута отъ  $B$  до узла 2, или, точнѣе такъ, чтобы въ панели  $O_2$  получилась бы

мах  $S_1$  то соответственно этому получим и наибольшая по абсолютной величине усилия в диагоналях  $D_1$  и  $D_2$ . Величину поперечной силы, равной опорному сопротивлению  $A_2$  найдем из многоугольника опорных сопротивлений. Усилия  $D_1$  и  $D_2$  найдем из диаграммы Кремона, умноживем отрезков  $D_1'$  и  $D_2'$  на новое сопротивление опоры  $A_2$ , т. е.

$$\begin{aligned} D_1 &= A_2 \cdot D_1' \text{ — растяжение;} \\ -D_2 &= -A_2 \cdot D_2' \text{ — сжатие. *)} \end{aligned}$$

При ходьбе понизу и при положении грузов на протяжении от  $B$  до узла 3, вызываются наибольшая поперечная сила в панели 1—3 и усилия в диагоналях этой панели будут:

$$\begin{aligned} -D_2 &= -A_2 \cdot D_2' \text{ — сжатие,} \\ D_3 &= A_2 \cdot D_3' \text{ — растяжение.} \end{aligned}$$

При пользовании диаграммой следует помнить, что надо брать только усилия для стержней, лежащих левее нагруженного узла.

Таким образом, пользуясь диаграммой усилий чертежа 65 можно весьма быстро определить все крайние значения усилий в промежуточных стержнях. (Будь-то диагонали или вертикали—безразлично).

### 29. Способ Риттера.

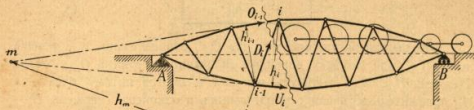
Способ германского профессора Риттера дает возможность для определения усилия в каждом стержне рашетчатой фермы пользоваться одним уравнением, содержащим одно неизвестное усилие. При этом, усилие в каждом стержне определяется совершенно независимо от того определены ли усилия других стержней или нет. Эти преимущества способа Риттера заставляют отдать ему предпочтение пред всеми другими.

В исследовании равновесия сил, лежащих на плоскости (I, 20), мы видели, что условие равновесия может быть выражено уравнениями моментов относительно трех произвольных точек, взятых в плоскости сил и не лежащих на одной прямой.

Этими условиями и пользуется Риттер для определения неизвестных усилий. Так как таких условий можно составить три, то очевидно, что как и раньше, выделяя часть системы и определяя ее равновесие, можно определить не больше трех усилий в разбеченных стержнях фермы.

\*) Знак следует из диаграммы или из изложенного выше правила.

Пусть имеем ферму  $AB$ , в которой желаем определить усилия стержней  $O_{i-1}$ ,  $D_i$  и  $U_i$ , причем указатели поясов соответствують противоположащим им узлам, а указатель диагонали узлу, ограничивающему стержень справа. Проведя через означенные стержни сечение, отбросив правую часть, приложив к отсеченным стержням неизвестная пока усилия, текущая как показано—разсмотрим равновесие левой части. За центры моментов выберем точки пересечения направлений разбеченных стержней. При этом,



Черт. 66.

определяя усилие в одном стержне, пишем условие равновесия моментов сил относительно точки пересечения двух прочих, тогда моменты сил действующих в этих последних обратятся в нули. Таким образом, если назовем через  $h_{i-1}$  перпендикуляр опущенный из узла  $i-1$  на стержень  $O_{i-1}$ , через  $h_i$  перпендикуляр из узла  $i$  на стержень  $U_i$  и наконец через  $h_m$  перпендикуляр из точки  $m$ , пересечения направлений стержней  $O_{i-1}$  и  $U_i$  на направление стержней  $D_i$ , то условия равновесия моментов всѣх сил, действующих по левую сторону сечения, будут:

$$\begin{aligned} M_{i-1} + O_{i-1} h_{i-1} &= 0; \\ M_m - D_i h_m &= 0; \\ M_i - U_i h_i &= 0; \end{aligned} \quad (47)$$

гдѣ  $M$  есть сумма моментов внешних сил левее сечения, и указатель при  $M$  показывает центр момента, а знаки перед вторыми слагаемыми соответствують условию считать положительными моментами тѣ, которых кажущееся вращение совпадает с вращением часовой стрѣлки, отрицательными—наоборот. Изъ исследования балки на двух опорах по концам известно: изгибающий момент левее сечения всегда положительный, почему перед выражением моментов сил левее сечения относительно узлов фермы, всегда будет знак +. Что касается до выражения  $M_m$ , т. е. выражения моментов сил относительно воображаемого узла (шарнира)  $m$ , то онъ въ

каждом частном случае будет иметь тот или другой знак. Из последних уравнений имеем\*):

$$\begin{cases} O_{i-1} = -\frac{M_{i-1}}{h_{i-1}}; \\ D_i = \frac{M_m}{h_m}; \\ U_i = \frac{M_i}{h_i}. \end{cases} \quad (48)$$

Эти выражения указывают, что  $O_{i-1}$  отрицательно, т. е. течение силы  $O_{i-1}$  было выбрано ошибочно и значит стержень  $O_{i-1}$  сжат. Стержень  $D_i$  будет вытянут или сжат, смотря потому будет ли  $M_m$  положительным или отрицательным и наконец стержень  $U_i$  — вытянут. Таким образом знак правой части равенства определяет род усилия, считая + соответствующим растяжению и — сжатию.

Если бы мы рассматривали равновесие правой части, то знаки вторых членов уравнения (48) пришлось бы изменить и тогда получили бы:

$$O_{i-1} = \frac{M_{i-1}}{h_{i-1}}; \quad D_i = \frac{M_m}{h_m}; \quad U_i = -\frac{M_i}{h_i}.$$

В этих выражениях величина  $M$  сама по себе отрицательна, так как изгибающий момент правее сечения отрицателен; поэтому найдем как и раньше, что  $O_{i-1} < 0$ , т. е. сжат, а  $D_i$  и  $U_i > 0$  или вытянуты.

Итак, по Риттеру, усилия в стержнях фермы выражаются по формуле уравнений моментов. Так как величина изгибающего момента зависит не только от величины грузов, но и от их положения, то отсюда наглядно видно, как усилия в стержнях решетчатой фермы изменяются вместе с перемещением грузов.

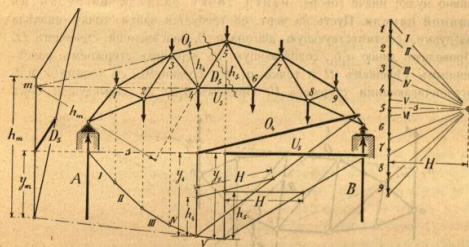
Графическое решение вопроса по Риттеру производится при помощи многоугольника моментов. Это бывает удобно лишь в частных случаях: именно — во-первых при постоянной нагрузке и во-вторых для ферм, в которых стержни поперек пересекаются в пределах чертежа. Это имеет место в фермах с криволинейным поясом напр. в фермах только что разобранных, а также в серповидных фермах, как на черт. 67.

\* Необходимо обратить внимание, что величины  $h$  в этом номере соответствуют величинам  $h \cos \beta$  или  $h \cos \gamma$  номера 27.

Построив многоугольник моментов известным способом\*), мы усилия  $O_i$  и  $U_i$  получим из выражений:

$$O_i = -H \frac{y_i}{h_i};$$

$$U_i = H \frac{y_m}{h_i}.$$



Черт. 67.

Величины эти на черт. 67 построены графически и нахождение их следует из пропорциональности параллельных линий в треугольнике; что касается нахождения количества  $M_m$ , определяющего величину  $D_i$ , то оно также находится из выражения  $\pm M_m = \pm H y_m$ .

Для определения ординаты  $y_m$ , продолжаем крайние бока вероугольного многоугольника построенного на силе  $A$  и грузах 1, 2, 3 и 4 — это будут замыкающая  $s$  и боковая  $v$  — до пересечения с вертикалью точки  $m$ , пересечения стержней  $O_i$  и  $U_i$ . Так как ордината  $y_m$  лежит, также как и ординаты  $y_i$  и  $y_s$ , ниже замыкающего бока  $s$ , то она имеет положительный знак, поэтому в выражении  $-D_i h_m + M_m = 0$ , количество  $M_m = H y_m > 0$ .

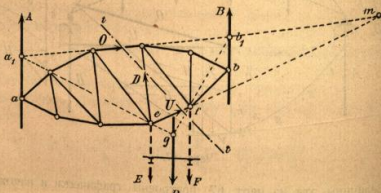
$$D_i = \frac{M_m}{h_m} = H \frac{y_m}{h_m}. \quad (49 \text{ bis})$$

Если бы ордината  $y_m$  располагалась выше замыкающего бока, то ее следовало бы считать отрицательной и тогда усилие  $D_i$  было бы сжатию.

\* Вследствие симметричности нагрузок, на чертеже построена лишь половина многоугольника моментов.

Наконец ордината  $u_m$  может обратиться в нуль и тогда  $M_m = 0$  и следовательно  $D_i = 0$ . Отсюда можно вывести весьма интересное следствие.

**Следствие.** Положим задано построить многоугольник моментов, соответствующий такому расположению нагрузки, при которой количество  $M_m$  обращается в нуль, т. е. когда усилие в данном раскосе равно нулю; иначе говоря: найти точку раздѣла нагрузки в данной панели. Пусть на черт. 68 требуется найти точку раздѣла нагрузки, соответствующую диагонали  $D$ , расчѣненной сѣчением  $tt$ . Проводим линию  $a_1b_1$ , совпадающую съ верхним стержнемъ, расчѣненнымъ сѣченіемъ  $tt$  и точки  $a_1, b_1$ , соединимъ съ узлами  $e$  и  $f$ , ограничивающими стержень  $U$ . Примемъ  $a_1b_1$  за замыкающей бокъ



Черт. 68.

веревочного многоугольника  $a_1efb_1$ , построенного на нѣкоторыхъ силахъ  $E$  и  $F$ . Если продолжимъ бока  $a_1e$  и  $b_1f$  до ихъ взаимнаго пересѣченія, то получимъ точку  $g$ , черезъ которую пройдетъ равнодѣйствующая сила  $E$  и  $F$ ; пусть это и будетъ сила  $P$ . Наконецъ продолжимъ стержни  $O$  и  $U$  до ихъ взаимнаго пересѣченія въ точкѣ  $m$ . Согласно построенію, количество  $M_m$  обратится в нуль, ибо ордината  $u_m$  многоугольника моментовъ, соответствующая точкѣ  $m$ , равна нулю, поэтому и  $D=0$ . Следовательно грузъ  $P$  не вызываетъ усилія въ раскосѣ  $D$ , т. е.  $g$  есть точка раздѣла нагрузокъ въ панели  $ef$ . Итакъ имѣемъ правило:

Для нахождения точки раздѣла нагрузки въ произвольной панели рѣшетчатой формы, слѣдуетъ продолжить расчѣненный стержень пояса, не несущаго груза до пересѣченія съ вертикалями опоръ и черезъ полученныя точки пересѣченія и смежныя опоры, ограничивающіе расчѣненный стержень пояса, несущаго грузы, провести линіи до ихъ взаимнаго пересѣченія. Полученная точка лежитъ на вертикали

точки раздѣла нагрузки, для разсматриваемаго промежуточного стержня.

Вернемся снова къ уравненіямъ Риттера и вообразимъ ферму съ параллельными поясами. Пользуясь правиломъ Риттера для верхняго и нижняго пояса получимъ:

$$M_i + O_i h = 0; O_i = -\frac{M_i}{h};$$

$$M_i - U_i h = 0; U_i = \frac{M_i}{h}.$$

Желая примѣнить то-же правило для диагонали  $D$ , мы найдемъ, что  $M_m + D_i h_m = 0$ . Но такъ какъ точка  $m$  пересѣченія верхняго и нижняго поясовъ лежитъ въ безконечности, то и  $h_m$ , разстояніе точки  $m$  до диагонали  $D$ , также  $=\infty$ , т. е. вопросъ становится неопредѣленнымъ; поэтому въ этомъ случаѣ приходится воспользоваться выраженіемъ для поперечныхъ силъ (см. стр. 79).

Какое бы сѣченіе мы ни проводили для опредѣленія усилій въ поясахъ фермы, мы всегда найдемъ выраженія вида (48), поэтому можно сказать, что: въ рѣшетчатой балочной фермѣ съ двумя опорами, верхній поясъ всегда сжатъ, а нижній всегда вытянутъ и что усиліе въ поясъ прямо пропорціонально изгибающему моменту относительно противоположнаго узла и обратно пропорціонально высотѣ фермы, что уже видѣли выше.

Что касается до нахождения точки раздѣла нагрузки въ фермѣ съ параллельными поясами, то она можетъ быть опредѣлена, согласно тому что изложеному правилу.

### 30. Способъ Кульмана.

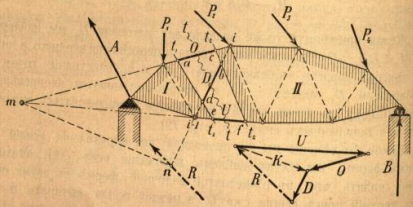
Всякіе три стержня фермы, направленія которыхъ пересѣкаются не меньше чѣмъ въ двухъ точкахъ, напр. стержни называемые нами вообще  $O, U$  и  $D$ , можно разсматривать, какъ стержни, соединяющіе два неизмѣняемыхъ тѣла, на которыя дѣйствуютъ внѣшнія силы. Проведемъ напр. сѣченіе  $tt$  отдѣляющее лѣвую часть фермы, черт. 69, отъ правой. Стержни  $O, D, U$ , расчѣненные такимъ сѣченіемъ удовлетворяютъ поставленному условию \*) и имѣютъ три точки пересѣченія  $i, i-1$  и  $m$ .

Проведемъ еще сѣченія  $t_1 t_1$  и  $t_2 t_2$ . Всю часть лѣвѣе  $t_1 t_1$  будемъ разсматривать какъ отдѣльное тѣло I, рѣшетчатое или сплошное — безразлично, всю часть правѣе  $t_2 t_2$  также, какъ отдѣльное тѣло II.

\*) Если-же сѣченіемъ выдѣлить узелъ, то поставленное условіе, что стержни соединяютъ два тѣла не выполняется ибо стержни пересѣкаются въ одной точкѣ и не служатъ соединеніемъ двухъ тѣлъ.

Въ точкахъ  $a, b, c, d, e$  и  $f$ , соединяющихъ концы стержней  $O, D$  и  $U$  съ частями I и II, предполагаются шарнирные соединения. Поставленное выше условие о существовании двухъ или трехъ точекъ пересѣченія направлений  $O, D$  и  $U$ , будетъ всегда удовлетворено, если только пересѣченны стержни не параллельны между собою.

Теперь точки пересѣченія  $i$  и  $i+1$ , а также точка  $m$  называются воображаемыми шарнирами \*).



Черт. 69.

Усилия въ стержняхъ  $O, U$  и  $D$  опредѣляются весьма просто. Пусть равнодѣйствующая всѣмъ внѣшнихъ силъ, приложенныхъ къ части I будетъ  $R$ ; тогда задача нахождения усилія въ стержняхъ сводится къ опредѣленію равновѣсія четырехъ силъ  $O, U, D$  и  $R$ , направления которыхъ извѣстны и величина одной изъ нихъ задана. Дѣй изъ названныхъ силъ напр.  $O$  и  $U$  соединимъ въ одну, которая пройдетъ черезъ точку ихъ пересѣченія  $m$  и пусть будетъ  $K$ ; три силы  $R, K$  и  $D$  для равновѣсія должны пересѣкаться въ одной точкѣ и, такъ какъ сила  $R$  и направленія  $D$  заданы, то эта точка будетъ точка  $n$ , пересѣченія силъ  $D$  и  $R$ ; соединивъ точку  $m$  съ  $n$ , найдемъ направленіе силы  $K$ , а построивъ треугольникъ на силахъ  $R, K$  и  $D$ , найдемъ и величину искомой силы  $D$  и равнодѣйствующую  $K$ ; остается разложить эту послѣднюю на составляющія  $O$  и  $U$ —и задача рѣшена. Теченіе стрѣлокъ—которое въ многоугольникѣ силъ должно быть непрерывнымъ—опредѣлитъ знакъ усилій  $O, U$  и  $D$ .

Въ частномъ случаѣ, когда силы, дѣйствующія лѣвѣ сѣченія, не имѣютъ равнодѣйствующей, а приводятся къ парѣ силъ, или точка  $m$  будетъ въ бесконечности, усилія въ стержняхъ этимъ способомъ опредѣлены быть не могутъ. Дѣйствительно, если внѣшнія силы привелись къ парѣ силъ, то три силы  $O, U$  и  $D$  не могутъ уравновѣситься

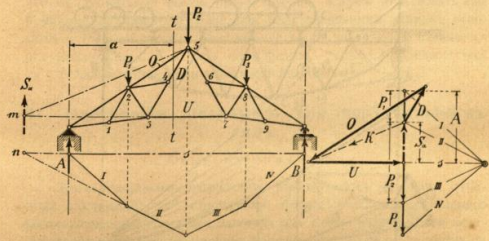
\* Шарнирами Фепля—гожъ.

пары силъ; однако въ томъ случаѣ, если стержни  $O$  и  $U$  будутъ между собою параллельны, то усилія  $O$  и  $U$  образуютъ пару силъ съ моментомъ равнымъ разстоянію между ними, а усиліе въ стержнѣ  $D$  равно нулю. Отсюда усилія  $O$  и  $U$  найдутся легко изъ условия  $Oh = M$ , гдѣ  $M$  моментъ силъ лѣвѣ сѣченія, а  $h$  высота формы.

Указанный способъ рѣдко употребляется для опредѣленія усилія во всѣхъ стержняхъ фермы, такъ какъ для каждой трехъ стержней необходимо опредѣлять силу  $R$ , изменяющуюся и по величинѣ и по направленію, какъ при переходѣ отъ одного сѣченія къ другому, такъ и при перемѣщеніи нагрузки. Когда на ферму дѣйствуютъ грузы, то сила  $R$  есть ни что иное, какъ поперечная сила и задача становится уже проще, особенно когда имѣется построенный веревочный многоугольникъ. Наконецъ, при подвижной нагрузкѣ, когда опредѣляются усилія въ стержняхъ  $D$ , принимающія наибольшія усилія при загрузкѣ части фермы правѣ сѣченія, т. е. когда напр. нагружена часть II только что рассмотрѣнной системы, то сила  $R$  будетъ сопротивление опоры  $A$ , положеніе котораго извѣстно и отысканіе точки  $m$  весьма легко, и слѣдовательно задача представляется чрезвычайно простою. Оба указанные случая мы и рассмотримъ.

Способъ Кульмана оказываетъ услуги при построеніи диаграммъ Крестона, когда въ фермѣ имѣются узлы, въ которыхъ входятъ вновь болѣе двухъ неизвѣстныхъ усилій въ стержняхъ (28).

Напр. если въ стропильной фермѣ, на которую дѣйствуетъ постоянная нагрузка, изслѣдованію помощью диаграммы Крестона на



Черт. 70.

стр. 91, прибавить подвѣски, т. е. взять ферму изображенную на черт. 70, то диаграмму Крестона, непосредственно построить не



удастся, ибо как бы мы ни начинали построение диаграммы, мы подойдем к узлам 2, 3, 5, 7 и 8, в которых вновь входят более двух неизвестных усилий. Если будем знать усилие в затяжке  $U$ , то построим равновесие узла 3, а затем определяются равновесия и дальнейших узлов.

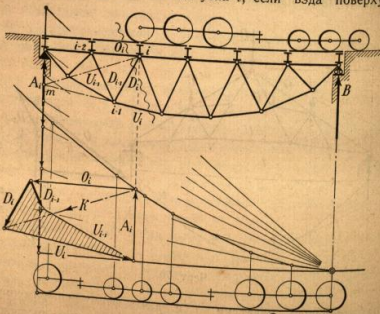
Построим веревочный многоугольник. Лѣвѣ сѣчения  $II$  дѣйствуют силы  $A$  и  $P$ ; продолжив бокъ  $II$  до пересѣченія съ замкающей  $s$ , найдемъ точку, черезъ которую пройдетъ поперечная сила  $S_a = A - P$ , которую найдемъ изъ многоугольника силъ.

Опредѣлимъ точку  $m$ , пересѣченіе силы  $U$ , съ  $S_a$  и найденную точку соединимъ съ узломъ 5; получимъ  $5-m$  направление равнодѣйствующую силу  $O$  и  $D$ , которая пусть будетъ  $K$ . Эта сила очевидно замѣнитъ собою дѣйствіе правой части фермы на шарниръ 5. Построивъ треугольникъ на силахъ  $S_a$ ,  $U$ ,  $K$  и разложивъ  $K$  на составляющія, параллельныя стержнямъ  $O$  и  $D$ , найдемъ усилія въ этихъ стержняхъ.

Теперь построение диаграммы Кремены не представляетъ затрудненія: въ узлѣ 1, два вновь входящихъ стержня, въ 3 и 4 тоже два.

**При подвижной нагрузкѣ**, способомъ Кульмана удобно пользоваться, въ связи съ построениемъ многоугольника опорныхъ сопротивленій—для опредѣленія усилій въ рѣшѣткѣ, такъ какъ усилія въ промежуточныхъ стержняхъ пропорциональны поперечнымъ силамъ.

Пусть имѣемъ рѣшетчатую ферму, черт. 71, въ которой всѣ промежуточные стержни наклонны. Для опредѣленія усилія  $D_i$  надо загрузить правую часть балки до узла  $i$ , если ѣзда поверху и до



Черт. 71.

$i-1$ , если ѣзда понизу (чтобы получить  $\max S = A$  въ панели  $i, i-2$  въ первомъ случаѣ и въ панели  $i-1, i-3$  во второмъ).—Предположимъ, что ѣзда поверху. Построимъ многоугольникъ опорныхъ сопротивленій, найдемъ наибольшую поперечную силу  $S$ , равную опорному сопротивленію  $A$ .

Теперь, продолживъ стержень  $U_i$  до пересѣченія съ сопротивленіемъ опоры  $A_i$ , найдемъ точку  $m$ , черезъ которую должна пройти равнодѣйствующая сила  $D_i$  и  $O_i$ , сила  $K$ ; соединивъ точку  $m$  съ узломъ  $i$ , опредѣлимъ направленіе этой равнодѣйствующей, а изъ треугольника, построеннаго на силахъ  $A_i$ ,  $U_i$  и  $K$ , найдемъ ея величину. Остается силу  $K$  въ треугольникѣ силъ разложить на составляющія, параллельныя стержнямъ  $O_i$  и  $D_i$ . Построивъ эти силы и снабдивъ многоугольникъ силъ  $A_i, O_i, D_i, U_i$  стрѣлками, указывающими общее теченіе, найдемъ силу  $D_i$ . Пользуясь тѣмъ-же треугольникомъ силъ, опредѣляемъ наибольшее усиліе въ стержнѣ  $D_{i-1}$ . Стержень  $D_{i-1}$ —вытянуть, а  $D_i$  сжать. Такимъ образомъ построение величины  $A_i$  даетъ возможность тотчасъ-же найти наибольшія усилія для стержней рѣшетки, заключающихся въ данной панели.

## § 7.

## Стропильныя фермы.

Для расчета стропильныхъ фермъ, главнымъ образомъ пользуются построениемъ диаграммъ усилій, по способу Кремены. Имѣя въ виду, что на стропильныя фермы, кромѣ грузовъ, могутъ дѣйствовать еще и наклонныя силы,—а также, что къ стропильнымъ фермамъ относятся и такія, у которыхъ расположеніе опоръ значительно отличается отъ рассмотрѣнныхъ до сихъ поръ фермъ—слѣдуетъ ознакомиться съ стропильными фермами нѣсколько подробнѣе.

## 31. Построение диаграммъ для вертикальныхъ силъ.

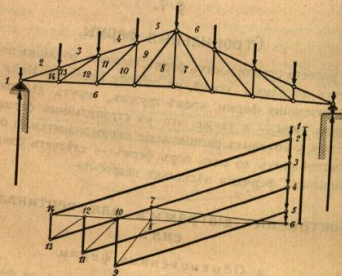
## а. Обыкновенныя фермы.

Къ вертикальнымъ нагрузкамъ, дѣйствующимъ на ферму относится собственный вѣсъ стропильной фермы, вѣсъ поддерживаемого фермою покрытия, временная нагрузка отъ снѣга. Нагрузка эта исчисляется обыкновенно на единицу площади горизонтальной проекціи кровли, напр. въ кг. на кв. метръ горизонтальной проекціи кровли.

Поэтому если напр. стропилами перекрывается пролѣтъ  $l$ , причѣмъ разстояніе между стропилами  $b$ , то полный вѣсъ поддерживае-

маго стропилами покрытия будет  $pb$ , если  $p$  есть вѣсь покрытия на 1 кв. м. гор. проекции. Расстояние между стропилами  $b$  въ среднемъ принимается отъ 2 до 4 м. Величина  $p$  указана въ приложении. Собственный вѣсъ стропиль  $g$  опредѣляется по эмпирическимъ формуламъ, дающимъ вѣсъ  $g$ , на погон. метръ пролета. Обыкновенно величина  $g$  составляетъ отъ 15 до 30 кгр./м.

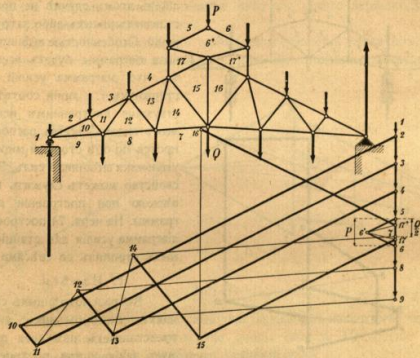
Что касается до величины нагрузки отъ дѣйствія снѣга, то ее принимаютъ равною для умѣренного климата въ 75 кгр. на кв. м. гор. проекции покрытия и въ 100 кгр. на кв. м. горизонтальной проекции покрытия, для болѣе суроваго климата, напр. сѣверной Россіи. По этимъ даннымъ опредѣляютъ нагрузку, дѣйствующую на каждый узелъ стропильной фермы, предполагая что вся нагрузка передается верхнимъ узламъ стропильной фермы. Исключение представляетъ тотъ случай, когда стропильная ферма кромѣ кровли удерживаютъ подвѣшенный потолокъ; тогда и собственный вѣсъ стропильной фермы можно распределить, какъ на верхній, такъ и на нижній узлы. Если, какъ это обыкновенно и бываетъ — панели равны, то обозначая грузъ, дѣйствующій на промежуточные узлы черезъ  $P$ , найдемъ, что на крайніе узлы дѣйствуютъ грузы  $\frac{1}{2}P$ .



Черт. 72.

Для расчета фермъ, обыкновенно изслѣдуютъ отдѣльно, вліяніе вертикальной нагрузки, а затѣмъ дѣйствіе вѣтра. При этомъ удобнѣе построить отдѣльную диаграмму для постоянной нагрузки, а другую для временной — т. е. при дѣйствіи снѣга, чтобы сравнить усилія, полученыя по этой диаграммѣ съ усиліями отъ вѣтра. Дальнѣйшія ука-

занія относительно построения диаграммы при вертикальной нагрузкѣ излишни. На черт. 72, построена диаграмма усилій въ стержняхъ англійской стропильной фермы, причѣмъ принять способъ обозначенія Бау. Эта ферма состоитъ изъ стропильныхъ ногъ, затяжки и рѣшетки изъ діагоналей и вертикалей. Когда вершины діагоналей каждой полуфермы уклонены къ середине, то ферма называется Англійской фермой съ вытнутыми діагоналями, когда же діагонали наклонены вершинами къ опорамъ, то получаются сжатія діагонали. Сжатіе на диаграммѣ обозначено толстыми линиями.



Черт. 73.

На черт. 73 построена диаграмма усилій для американской фермы, рѣшетка которой состоитъ изъ діагоналей, частью сжатыхъ, а частью вытянутыхъ. Ферма имѣетъ фонарь.

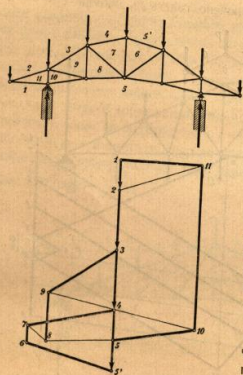
Кромѣ того предполагается, что грузы дѣйствуютъ и на нижніе узлы.

Чтобы проверить правильность построения многоугольника для внѣшнихъ силъ, лучше всего построить многоугольникъ внѣшнихъ силъ не для полуфермы, а для всей фермы, причѣмъ можно будетъ убедиться, что построение, сдѣланное на черт. 73, исполнено правильно.

Присутствіе фонаря, вліяетъ на уменьшеніе усилія 15—17, но увеличиваетъ усилія діагонали 14—15 и въ тягѣ 15—16.

Представленная выше на черт. 70 ферма есть основная фигура фермы Полонсо. Если каждая полуферма, соединенная затяжкой, состоит из более сложной рѣшетки, то появляются узлы съ пересѣченіемъ четырехъ—пяти стержней и такую систему нельзя изслѣдовать, пользуясь диаграммой Крeоны, безъ пособия дополнительныхъ построений. Такой случай разсмотрѣнъ былъ уже выше въ № 30.

б. Стропильныя фермы со свѣсами.

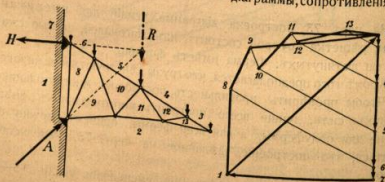


Черт. 74.

Построение диаграммъ усилий въ этомъ случаѣ не представляетъ какихъ-либо затрудненій. Особенностью внѣшняго вида диаграммы будетъ всегда то, что диаграмма усилий въ стержняхъ, т. е. линіи, соответствующія внутреннимъ искомымъ силамъ, всегда располагаются по обѣ стороны многоугольника внѣшнихъ силъ. Это свойство можетъ служить поѣвкой при построении диаграммы. На черт. 74 построена диаграмма усилия для станціонныхъ стропиль со свѣсами.

с. Навѣсы.

Въ разсмотрѣнныхъ случаяхъ многоугольникъ силъ представляетъ изъ себя прямую линію и при построении диаграммы, сопротивленія опоръ

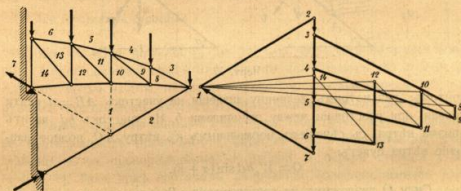


Черт. 75.

опредѣляются сами собою. Но когда приходится имѣть дѣло съ навѣсами, тогда сопротивленіе опоръ наклонно, или въ частномъ случаѣ одной изъ нихъ горизонтально, и для построения диаграммы, необходимо предварительно построить треугольникъ изъ трехъ силъ: равнодѣйствующей грузовъ и сопротивленіе каждой изъ опоръ.

На черт. 75 представленъ навѣсъ, въ которомъ верхній узелъ заѣланъ въ стѣну. Сопротивленіе опоры *A* опредѣляется изъ условия, что силы *R*, *A* и *H* должны пересѣкаться въ одной точкѣ. Построивъ треугольникъ на указанныхъ силахъ, затѣмъ можемъ продолжать построение диаграммы усилий, начиная либо съ лѣваго верхняго узла, либо съ праваго концеваго узла.

На черт. 76 представленъ навѣсъ, поддержанный подкосомъ. Сопротивленія опоръ навѣса и подкоса получимъ подобно предъидущему,



Черт. 76.

опредѣливъ точку пересѣченія равнодѣйствующей съ подкосомъ; черезъ эту точку пройдетъ сопротивленіе опоры навѣса. Построение диаграммы удобнѣе начать съ праваго крайняго узла.

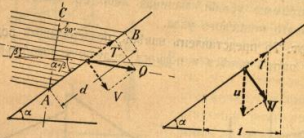
32. Построение диаграммъ усилий отъ вѣтра.

Для нахождения усилий, вызываемыхъ дѣйствіемъ вѣтра, опредѣляютъ составляющія, нормальныя къ скату кровли и по нимъ получаютъ силы, дѣйствующія на узлы. Затѣмъ сопротивленія опоръ находятъ, по сложении нормальныхъ составляющихъ помощью веревочнаго многоугольника въ одну равнодѣйствующую, способомъ, указаннымъ въ № 25. Диаграмму усилий въ этомъ случаѣ уже приходится строить для всей фермы, и при томъ при двухъ предположеніяхъ: при дѣйствіи вѣтра со стороны неподвижной опоры, и со стороны подвижной опоры, такъ какъ въ каждомъ изъ этихъ случаевъ получаются различныя значенія для сопротивленія опоръ. Иногда впрочемъ—для ускоренія расчета, опредѣляютъ не нормальныя къ скату, а вертикальныя составляющія.

вляющія, тогда можно воспользоваться уже построенной диаграммой усилия для вертикальныхъ силъ, изменивъ соответственнымъ образомъ масштабъ. Такой способъ расчета допустимъ однако лишь при пологихъ кровляхъ.

Нормальная или вертикальная составляющія давленій вѣтра опредѣляются слѣдующимъ образомъ.

Пусть  $W_0$  есть давленіе вѣтра на квадратную единицу плоскости, нормальной къ направленію вѣтра,  $\alpha$  уголъ, образуемый направлениемъ ската съ горизонтомъ и  $\beta$  уголъ между направлениемъ вѣтра и гори-



Черт. 77.

зонтомъ; рассмотримъ величину давленія на участокъ  $AB = d$  ската кровли, при разстояніи между стропилами  $b$ . На участокъ  $bd$  давитъ призма вѣтра, съ сѣченіемъ, нормальнымъ къ вѣтру  $AC$ ; полное давленіе вѣтра будетъ:

$$Q = W_0 b d \sin(\alpha + \beta).$$

Силу  $Q$  разложимъ на составляющія  $V$ , нормальную къ скату кровли и  $T$  параллельную этому скату; послѣдней можно пренебречь ввиду того, что треніе вѣтра о скатъ кровли ничтожно. Величина нормальной составляющей будетъ:

$$V = Q \cdot \sin(\alpha + \beta) = W_0 b d \sin^2(\alpha + \beta)^2.$$

Величину нормальной составляющей исчисляють обыкновенно на кв. единицу площади ската; обозначимъ эту величину черезъ  $W$ , тогда

$$W = \frac{V}{bd} = W_0 \sin^2(\alpha + \beta)^2. \tag{50}$$

Если же желаемъ разсматривать лишь вертикальную составляющую, то разлагая силу  $W$  на вертикальную и параллельную скату составляющія, пренебрегая второю, и называя первую черезъ  $u$ , найдемъ

$$u = \frac{W}{\cos \alpha},$$

причемъ  $u$  будетъ вертикальное давленіе на кв. единицу поверхности ската. Но такъ какъ остальная вертикальная нагрузка опредѣляется, согласно вышеизложенному, на кв. единицу горизонтальной проекціи кровли, то и вертикальную составляющую давленія вѣтра

удобнѣе также считать на кв. единицу площади горизонтальной проекціи кровли, тогда найдемъ.

$$W = \frac{u}{\cos \alpha} = \frac{W_0}{\cos^2 \alpha}. \tag{51}$$

Величины  $W_0$ , и  $\beta$  опредѣляются опытнымъ путемъ, причемъ можно положить:

**Давленіе вѣтра на кв. метръ плоскости, нормальной къ направленію вѣтра.**

Наименованіе строеній.	$W_0$	
	Суровый климатъ.	Средній климатъ.
Для отдѣльно стоящихъ строеній . . . . .	180	150
Для городскихъ строеній . . . . .	150	120

Что касается до угла  $\beta$ , то до сихъ поръ онъ полагался равнымъ  $10^\circ$ , но послѣдніе опыты Лиліенталя показывають что  $\beta^2 = 3^\circ$ , и если не смотря на это, нѣкоторые инженеры все-таки берутъ  $10^\circ$ , то руководствуясь только тѣмъ, что это дастъ больше значеніе для  $W$ .

Однако опытные данныя и нѣкоторые теоретическія изслѣдованія не подтверждаютъ правильности формулы (50) и показывають, что давленіе вѣтра пропорціонально не второй, а первой степени угла  $(\alpha + \beta)$ , \*). Такъ какъ при этомъ получается большее значеніе для  $W$ , то при расчетахъ слѣдуетъ принимать значеніе  $\sin(\alpha + \beta)$ , причемъ уже возможно принять во вниманіе и опыты Лиліенталя. Въ такомъ случаѣ получаемъ окончательную формулу:

$$W = W_0 \sin(\alpha^2 + 3^\circ) \tag{52}$$

Неправильность формулы  $W = W_0 \sin^2(\alpha + \beta)^2$  происходитъ вслѣдствіи неправильной постановки вопроса при ея выводѣ. На кровлю дѣйствуетъ не струя воздуха  $AC$  а цѣлый потокъ, распространяющійся на всю навѣтренную часть кровли. При разложеніи силы  $Q$  на составляющія  $T$  и  $V$ , первую изъ нихъ нельзя пренебрегать, такъ какъ вышележащія слои воздуха препятствуютъ обтеканію потока вдоль наклона кровли; это сопротивленіе даетъ нѣкоторую составляющую увеличивающую силу  $W$ . Формула (52) даетъ результаты хорошо совпадающіе съ опытными изслѣдованіями.

Въ этомъ отношеніи интересно упомянуть объ опытахъ Ирмингера, произведенныхъ въ 1894 году въ Копенгагенѣ. Ирмингеръ испы-

\*) По этому вопросу существуетъ довольно обширная техническая литература. Centr-bl. d. Bauverwaltung 1894, 1885, 1898 г. Zeitschr. d. Oest. Ing. 1881—82. Handbuch d. Arch. I. Band. Heft 2. 1899.

тываль величину давления вѣтра на тѣла различной формы. Для измѣренія величины давления, поверхности испытываемыхъ тѣлъ были снабжены, какъ съ навѣтренной, такъ и съ подвѣтренной сторонь мелкими отверстиями, снабженными внутри тѣла трубочками съ водою, оканчивающимися вертикальнымъ колѣномъ. По высотѣ столба воды въ колѣнѣ, можно было судить о величинѣ давления на единицу площади. Если обозначить площадь сѣченія тѣла, нормальную къ направлению вѣтра черезъ  $F$ , то полное давление вѣтра на тѣло будетъ:

$$\sum W = \mu F W_{01} \quad (53)$$

причемъ  $\mu$  есть отвлеченный коэффициентъ.

Весьма интереснымъ оказалось то обстоятельство, что полная величина давления вѣтра складается изъ сгущенія воздуха съ навѣтренной и разрѣженія съ подвѣтренной стороны тѣла. Этимъ и объясняется неудовлетворительность предположеній, положенныхъ въ основу формулы (50). Въ нѣкоторыхъ случаяхъ величина разрѣженія составляетъ до 77% отъ полной разности давления на тѣло, подверженное давлению вѣтра.

Формулою (53) весьма удобно пользоваться при опредѣленіи давленія вѣтра на отдѣльно стоящіе предметы. Для опредѣленія же давленія на кровлю, всего проще пользоваться формулою (52), которая дастъ результаты близкія къ опытамъ Ирмингера.

Въ приложеніи помѣщены численные значенія въ формулѣ (52) и къ опытнымъ даннымъ Ирмингера для пользованія формулою (53).

На чертѣхъ 78 построена диаграмма усилій отъ вѣтра для американской фермы. Усилія въ рѣшеткѣ съ подвѣтренной стороны равны нулю. (Последнее всегда имѣетъ мѣсто при прямолинейныхъ стропильныхъ ногахъ).

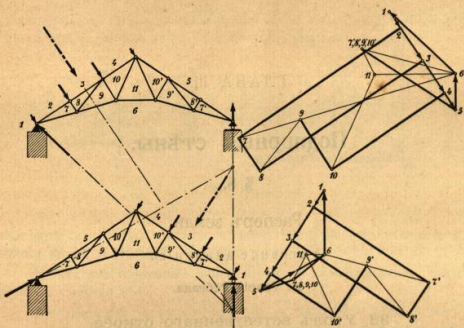
Если верхніе узлы не расположены на прямой, величину составляющихъ давленій отъ вѣтра по узламъ всего лучше опредѣлить графически, какъ то указано на черт. 79.

Сначала опредѣляемъ давленіе на каждую наклонную плоскость кровли между двумя узлами; для этого можно воспользоваться, составленными по формулѣ 52 въ приложеніи, таблицами и помножить приведенную въ таблицѣ цифру, соответствующую данному наклону ската на его длину  $d$  и на разстояніи между фермами  $b$ , т. е.

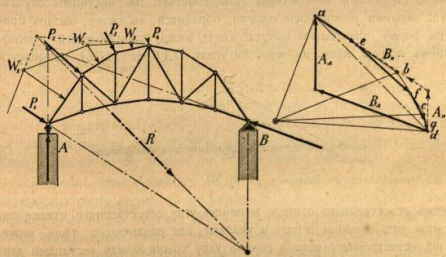
$$W_1 = W \cdot b \cdot d_1; \quad W_2 = W \cdot b \cdot d_2; \quad W_3 = W \cdot b \cdot d_3.$$

На данныхъ силахъ строимъ многоугольникъ силъ  $abcd$  и, выбравъ произвольную полюсь, соединяемъ силы  $W_1, W_2$  и  $W_3$  помощью веревочнаго многоугольника; найдя равнодѣйствующую  $R$ , сейчасъ же узнаемъ и сопротивленія опоръ  $A_2$  и  $B_2$ , когда вѣтеръ дѣйствуетъ

слѣва и  $A_2$  и  $B_2$ , когда вѣтеръ справа. Если теперь подѣлимъ пополамъ бока многоугольника силъ  $abcd$  и точки дѣленія  $e, f$  и  $g$  соединимъ между собою, то получимъ узловыя силы  $P_1 = ae, P_2 = ef$  и  $P_3 = gd$ . Затѣмъ остается построить по известнымъ правиламъ диаграмму усилій по Кремону.



Черт. 78.



Черт. 79.

ГЛАВА III.

Подпорныя стѣны.

§ 8.

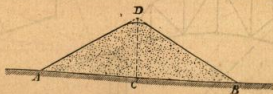
Распоръ земли.

(Активное давленіе).

А. Теорія Ребгана.

33. Уголъ естественнаго откоса.

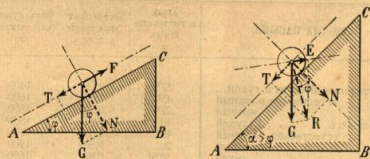
Идеально сыпучее тѣло, опирающееся на плоскость, всегда ограничено съ боковъ конической поверхностью. Въ частномъ случаѣ, когда верхняя поверхность насыпи обратится въ точку, насыпь приметъ форму правильного конуса. Уголъ между производящей и основаниемъ конуса, напр. на черт. 80 уголъ  $DAB$  или  $DBA$ , называется



Черт. 80.

угломъ естественнаго откоса; величина угла естественнаго откоса зависитъ отъ природы тѣла и указана для различныхъ тѣлъ ниже. Уголъ естественнаго откоса равенъ углу тренія между частицами даннаго тѣла. Дѣйствительно, изъ условія равновѣсія тѣла на наклонной плоскости, извѣстно, что частица  $G$ , черт. 81, побуждаемая къ скольженію, или перекатыванію на плоскости  $AB$ , составляющею  $T$ , останется еще неподвижною при такомъ наибольшемъ значеніи угла наклоненія, когда его величина, равная углу отклоненія силы  $G$  отъ нормали къ плоскости, приметъ значеніе  $\alpha = \varphi$ , гдѣ  $\varphi$  есть уголъ тренія. Если уголъ  $\alpha > \varphi$ ,

то для удержанія въ равновѣсіи скатывающихся частицъ необходимо приложить къ каждой изъ нихъ силу  $E$  такую, чтобы равновѣйстви-



Черт. 81.

чая этой силы и вѣса частицы составляла съ нормалію къ плоскости откоса уголъ, не большій угла тренія  $\varphi$ .

Въ статикѣ сооруженийъ земляной грунтъ разсматривается, какъ идеально сыпучее тѣло.

Для удержанія земляныхъ насыпей въ равновѣсіи подъ угломъ къ горизонту большимъ угла естественнаго откоса, сооружаются подпорныя стѣны. Равновѣствующая давленію, испытываемыхъ подпорною стѣнкою отъ частицъ насыпи называется распоромъ земли. Его будемъ называть буквою  $E_1$ . Кромѣ того подпорная стѣнка можетъ испытывать давленіе отъ нагрузки, расположенной на насыпи за стѣнкою; такое усиліе, передаваемое стѣнѣ, будемъ называть просто давленіемъ и изображать буквою  $E_2$ .

Изъ только что изложеннаго слѣдуетъ прежде всего, что, независимо отъ начертанія стѣны и формы насыпи, величина распора зависитъ непосредственно отъ природы насыпи, именно отъ вѣса единицы объема ея и отъ угла естественнаго откоса. Прилагаемая таблица содержитъ эти данныя для главнѣйшихъ случаевъ.

На самомъ дѣлѣ матеріалъ насыпи не обладаетъ идеальною сыпучестью и потому кромѣ тренія между частицами существуютъ еще сцѣпленіе и слипаніе. Поэтому уголъ естественнаго откоса всегда нѣсколько больше угла тренія, и значитъ распоръ земли на подпорную стѣнку меньше теоретическаго. Однако величины сцѣпленія и слипанія, какъ весьма измѣнчивыя, даже въ одномъ и томъ-же сооруженіи, не могутъ быть принимаемы во вниманіе, а получающаяся отъ этого разница въ величинѣ распора, лишь увеличиваетъ запасъ устойчивости сооружения.

Таблица углов естественного откоса, коэффициентов трения и веса единицы объема разных грунтов \*)

ПРИГОДА НАСЫПИ.	Угол естественного откоса $\varphi$	Коэффициент угла трения $f = \operatorname{tg} \varphi$	Вес кубического метра в кг
Растительный грунт сухой . . . . .	37°	0,75	1400
естественно влажный . . . . .	45°	1,00	1600
мокрый . . . . .	27°	0,50	1800
Суглинок . . . . . сухой . . . . .	40°	0,84	1500
естественно влажный . . . . .	45°	1,00	1700
мокрый . . . . .	29°	0,56	1900
Глина . . . . . сухая . . . . .	38,5°	0,80	1600
влажная . . . . .	50°	1,20	1700
мокрая . . . . .	17°	0,30	2000
Песок . . . . . сухой . . . . .	35°	0,70	1600
сырой . . . . .	42°	0,90	1700
насыщенный водой . . . . .	24°	0,45	1900
Гравий (галка) угловатая . . . . .	45°	1,00	1800
круглая . . . . .	38,5°	0,80	1700

### 34. Плоскость скольжения.

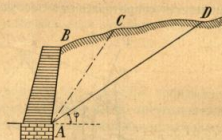
Пусть чертеж 82 представляет разрез насыпи, нормальный к внутренней поверхности стѣны. Для исследования выдѣлим двумя вертикальными плоскостями участок в единицу длины, считая по направлению протяженія стѣны и данный разрезъ будем рассматривать, какъ разрезъ по плоскости симметрии выдѣленного участка. Предполагается, что стѣна, поддерживающая насыпь, имѣетъ неограниченное протяженіе; насыпь состоитъ изъ однороднаго вещества. При такихъ условіяхъ, всякая плоскость, нормальная къ внутренней поверхности стѣны есть плоскость симметрии.

Всѣ силы, дѣйствующія на выдѣленный двумя вертикальными плоскостями элементъ, мы можемъ замѣнить равнодѣйствующими, расположенными въ плоскости симметрии, т. е. въ плоскости чертежа. Условія равновѣсія, составленныя для рассматриваемаго участка насыпи будутъ условіями равновѣсія всей насыпи.

Подпорная стѣнка поддерживаетъ откосъ насыпи по линіи  $AB$ , препятствуя ему принять положеніе, параллельное  $AD$ . При малѣй-

\*) Углы даны въ этой таблицѣ лишь какъ среднія величины, а коэффициенты трения и веса округлены. Точность въ данномъ случаѣ излишня, такъ какъ истинное значеніе указанныхъ величинъ можетъ быть установлено въ каждомъ частномъ случаѣ лишь путемъ опыта.

шемъ отодвиганіи стѣнки влѣво, произойдетъ сдвигеніе частицъ насыпи. Въ теоріи подпорныхъ стѣнокъ предполагается, что при этомъ отдѣлится часть призмы  $BCA$  \*), такъ, что сдвигеніе произойдетъ по нѣкоторой плоскости, какъ то показано на черт. 82 пунктиромъ. Плоскость эта называется плоскостью скольженія. Если положеніе этой плоскости извѣстно, то слѣдовательно извѣстна величина и вѣсъ призмы обрушенія  $BCA$ , и уголъ наклонной плоскости, по которой эта призма стремится скользя, при малѣйшемъ отодвиганіи стѣны, т. е. будутъ всѣ данныя, чтобы исследовать силы въ предѣльный моментъ равновѣсія системы.



Черт. 82.

Въ дальнѣйшемъ вопросъ исследовать преимущественно графическимъ путемъ, по способу Ребгана.

Пусть, на черт. 83,  $AB$  есть задняя плоскость подпорной стѣнки, поддерживающей насыпь, ограниченную произвольной поверхностью  $BD$ . Линія  $AD$ , составляющая съ горизонтомъ уголъ тренія  $\varphi$  показываетъ направленіе естественнаго откоса. Предположимъ, что положеніе плоскости скольженія извѣстно и она на черт. 83 изображается линією  $AC$ . Разсмотримъ условія равновѣсія призмы обрушенія  $ABC$ . На призму дѣйствуютъ слѣдующія силы:

1, вѣсъ призмы  $G$ , равный  $\gamma$ . пл.  $ABC$ , гдѣ  $\gamma$  есть вѣсъ единицы объема насыпи;

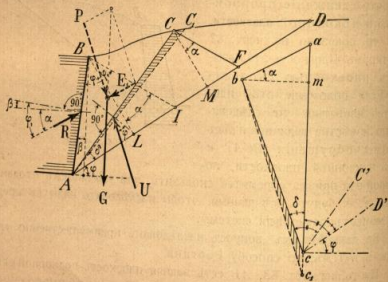
2, сопротивленіе плоскостей  $AB$  и  $AC$ ;

3, силы тренія призмы о подпорную стѣну и о плоскость обрушенія.

Вѣсъ призмы  $G$  проходитъ черезъ центръ тяжести призмы обрушенія. Сопротивленія плоскостей  $AB$  и  $AC$ , изображающіяся силами  $R$  и  $U$ , нормальныя въ случаѣ отсутствія тренія, въ присутствіи послѣдняго, въ предѣльный моментъ равновѣсія, отклоняются отъ нормалей въ сторону скольженія (т. е. внизъ) на углы тренія  $\varphi_1$  и  $\varphi_2$ . Три силы  $G$ ,  $R$  и  $U$ , по условію равновѣсія, должны пересѣкаться въ одной точкѣ и образовать сомкнутый треугольникъ; пусть это будетъ  $\triangle abc$ . Разложимъ силу  $G$  на составляющія  $E$  и  $P$ , образующія съ нормальми къ  $AB$  и  $AC$  углы  $\varphi_1$  и  $\varphi_2$ , отложенныя въ сторону обратную скольженію призмы. Составляющая  $E$ , есть распоръ

\*) Въ послѣдующемъ будемъ опускать множитель 1, изображающій весъ призмы (по направленію протяженія стѣны).

земли, уравнивающейся сопротивлением стѣнки  $R$ ; составляющая  $P$  есть равнодѣйствующая давленій призма обрушенія на насыпь и уравнивается сопротивленіемъ послѣдней  $U$ .



Черт. 83.

Предположимъ, что той-же величинѣ распора соответствуетъ плоскость скольженія  $AC_1$ , безконечно близкая къ плоскости  $AC$  и отличающаяся отъ нея на безконечно малый уголъ  $d\varphi$ ; тогда вѣсъ призмы будетъ  $G_1 = G + dG$ , гдѣ  $dC = \gamma$  пл.  $ACC_1$  и сопротивленіе опоры неподвижной насыпи измѣнится, какъ по величинѣ, такъ и по направленію. Условіе равновѣсія новой призмы можетъ быть выражено треугольникомъ силъ  $abc$ .

Имѣемъ:

$$\frac{\text{пл. } \triangle ABO}{\text{пл. } \triangle ACC_1} = \frac{ac}{c_1c};$$

точно также по равенству высотъ—

$$\frac{\text{пл. } \triangle abc}{\text{пл. } \triangle bec_1} = \frac{ac}{c_1c};$$

слѣдовательно можно составить пропорцію:

$$\frac{\text{пл. } \triangle ABO}{\text{пл. } \triangle abc} = \frac{\text{пл. } \triangle ACC_1}{\text{пл. } \triangle bec_1}. \quad (54)$$

Пусть поверхность  $BD$  такова, что при безконечной малости угла  $d\varphi$  стороны  $AC$  и  $AC_1$  отличаются между собою также на ве-

\*) Если плоскость  $AC$  будетъ касательною къ поверхности насыпи, то послѣднее не имѣетъ мѣста.

личину, безконечно малую \*). Въ треугольничкѣ  $bec_1$  стороны  $bc$  и  $bc_1$  тоже отличаются на безконечно малую величину. Значитъ въ треугольничкахъ  $ACC_1$  и  $bec_1$  между конечными сторонами заключены безконечно малые углы. При такихъ условіяхъ, если выберемъ такой масштабъ, что

$$AC = bc,$$

то и разность между  $AC_1$  и  $bc_1$  можетъ быть сдѣлана произвольно малою, а слѣдовательно разность между площадями треугольничковъ  $ACC_1$  и  $bec_1$ , имѣющихъ равные углы  $d\varphi$  и заключающихъ ихъ стороны, будетъ безконечно малою порядка высшаго (какъ площадь треугольника съ безконечно малыми сторонами), которымъ въ присутствіи б. м. низшаго порядка мы вправо пренебрегать; стало быть площади  $ACC_1$  и  $bec_1$  въ предѣлѣ будутъ равновѣсны. Итакъ въ предѣльномъ положеніи плоскости скольженія  $AC_1$ , т. е. когда  $AC_1$  сольется съ  $AC$ , отношеніе (54) обращается въ единицу, т. е. имѣетъ мѣсто равенство:

$$\text{пл. } \triangle ABC = \text{пл. } \triangle abc. \quad (55)$$

Для опредѣленія плоскости скольженія, строимъ вспомогательный треугольничекъ  $ACF$ , для чего проводимъ  $CF$  такъ, чтобы  $\angle FCA = \angle abc$ . Проведемъ изъ точки  $e$  линіи  $cC'$  и  $cD'$ , параллельныя плоскостямъ скольженія и естественнаго откоса, изъ чертежа найдемъ, что по построенію  $\angle acD' = 90 - \varphi$  и  $\angle bcC' = 90 - \varphi$ , (ибо  $bc \parallel U$ ), слѣдовательно

$$\angle CcD' = \angle CAD = \angle bca = \delta,$$

а тогда имѣемъ:

$$\angle CAF = \angle bca.$$

Отсюда слѣдуетъ согласно (55), что

$$\text{пл. } \triangle ABC = \text{пл. } \triangle ACF. \quad (56)$$

Это есть первая теорема Ребгана.

Назовемъ отрезокъ  $CF$ — базюю, тогда доказанная теорема прочитается такъ: плоскость скольженія дѣлитъ пополамъ призму, заключенную между подпорной стѣнкой, поверхностью насыпи, базюю и плоскостью естественнаго откоса.

Такимъ образомъ остается построить базу. Изъ вершины  $B$  подпорной стѣнки проводимъ линію  $BI \parallel CF$ . Линія  $BI$ , параллельная базю, называется направляющей. Опредѣлимъ уголъ, составляемый направляющей съ плоскостью стѣнки. Изъ точки  $B$  опустимъ вертикаль и изъ точекъ  $B$  и  $C$  перпендикулярно на плоскость естественнаго откоса. Черезъ вершину  $b$  въ  $\triangle abc$  проведемъ горизонталь. Назо-



вемь угол, образуемый силой  $R$  съ горизонтомъ черезъ  $\alpha$  и угломъ между стѣнкою и вертикалью черезъ  $\beta$ . Тогда

$$\varphi_1 = \alpha + \beta; \angle adm = \alpha;$$

уголъ между вертикалью и линіею  $BL = \angle \varphi$ ;  $\angle IBL = \angle \alpha$ , слѣдовательно уголъ между направляющею  $BI$  и стѣнкою,

$$\angle ABI = \varphi_1 + \varphi.$$

Обыкновенно принимается, что углы тренія  $\varphi_1$  и  $\varphi$  равны между собою, такъ какъ между подпорною стѣнкою и насыпью заключается слой частицъ, прилипшихъ къ матеріалу стѣнки и такимъ образомъ треніе происходитъ не между стѣнкою и насыпью, а между частицами земли. Такимъ образомъ направляющую проводятъ подъ угломъ  $2\varphi$  къ плоскости стѣнки.

Въ случаѣ плоской поверхности насыпи, выведемъ слѣдующія соотношенія.

Проведемъ  $FL \parallel AC$ , тогда найдемъ:

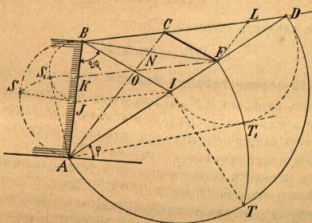
$$\frac{AF}{AD} = \frac{CL}{CD} = \frac{BC}{CD},$$

ибо  $CL = BC$ , по равенству высотъ равностороннихъ треугольниковъ, имѣющихъ равныя основанія  $AC$ , далье:

$$\frac{BC}{CD} = \frac{IF}{FD},$$

т. е.

$$\frac{AF}{AD} = \frac{IF}{FD};$$



Черт. 84.

$$IF = AF - AI \text{ и } FD = AD - AF.$$

Слѣдовательно

$$AF(AD - AF) = AD(AF - AI),$$

откуда

$$AF^2 = AD \cdot AI. \quad (57)$$

Это значитъ, что отръзокъ линіи естественнаго откоса отъ подошвы стѣны до базы есть среднее геометрическое между отръзкомъ, отсѣкаемымъ отъ линіи естественнаго откоса направляющею и всею длиною линіи естественнаго откоса.

На основаніи доказаннаго, плоскость скольженія строится слѣдующимъ образомъ, черт. 84.

Проводятся линіи: естественнаго откоса и направляющая. На линіи естественнаго откоса строимъ полукругъ; изъ точки  $I$ , пересѣченія направляющей съ линіею естественнаго откоса восстанавливаемъ перпендикуляръ  $IT$ , до пересѣченія съ построенной окружностью въ точкѣ  $T$ ; принявъ разстояніе между подошвою стѣны, засѣкаемъ на линіи естественнаго откоса точку  $F$ . Остается изъ  $F$  провести линію, параллельную направляющей, и вершину  $C$  полученной базы соединить съ подошвою стѣны—получимъ искомую плоскость скольженія.

Можно полукружность построить и на отръзкѣ  $ID$  и воспользоваться построеніемъ, указаннымъ пунктиромъ.

Если поверхность насыпи и плоскость скольженія пересѣкаются подъ очень острымъ угломъ, или точка ихъ пересѣченія лежитъ внѣ чертежа, то строить полукругъ на линіи стѣнки, какъ указано на черт. 84, опредѣляя точку  $J$ , проведемъ  $JI \parallel BD$ .

Если требуется только опредѣлить плоскость скольженія и нѣтъ надобности въ дальнѣйшихъ построеніяхъ, то можно и не строить базы, а найдя точку  $F$ , соединить ее съ вершиною стѣнки и очерченный отръзокъ раздѣлить пополамъ. (Это же рекомендуется дѣлать для повѣрки графической точности построенія). Черезъ эту точку дѣленія  $N$  пройдетъ плоскость скольженія. Это ясно изъ равенства подобныхъ  $\triangle BNO = \triangle FNC$ , въ которыхъ  $BO = CF$ .

### 35. Треугольникъ давленія.

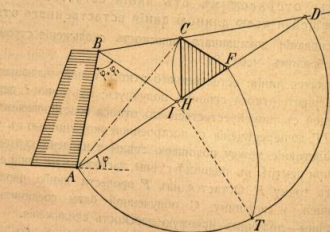
Построимъ на базѣ равносторонній треугольникъ, причѣмъ  $CF = HF$ , какъ показано на черт. 85. Площади треугольниковъ  $\triangle ACF$  и  $\triangle HCF$ , имѣющихъ равныя основанія, пропорціональны ихъ

высотам; а такъ какъ одинъ изъ боковъ ихъ совпадаетъ, то площади пропорциональны этимъ бокамъ, т. е.

$$\frac{\text{пл. } \triangle ACF}{\text{пл. } \triangle HCF} = \frac{AF}{HF}$$

Сравнивъ же съ треугольникомъ силъ *abc* (черт. 83) и припомнимъ, что  $HF = CF$ , —

$$\frac{\text{пл. } \triangle ACF}{\text{пл. } \triangle HFC} = \frac{G}{E_1}$$



Черт. 85.

$$E_1 = \text{пл. } \triangle HCF \cdot \frac{G}{\text{пл. } \triangle ACF}; \quad (58)$$

но по условію въсь призмы обрушенія измѣряется призмой  $ABC \cdot l = ACF \cdot l$ , т. е.  $G = \text{пл. } ACF \cdot \gamma$ .  
Такимъ образомъ, если назовемъ площадь треугольной призмы  $HCF \cdot l$  черезъ  $\omega_1$ , то выраженіе (58) даетъ:

$$E = \gamma \cdot \omega_1. \quad (59)$$

Треугольникъ *HFC* съ площадью  $\omega_1$ , служащей основаніемъ призмы *HCF*, *l* называется треугольникомъ давленія. Слѣдовательно: величина распора земли на подпорную стѣнку равна произведенію изъ всѣхъ единицъ объема насыпи на площадь треугольника давленія. Это есть вторая теорема Ребана.

Построеніе плоскости скользящей и треугольника давленія опредѣляетъ лишь величину распора. Извѣстнымъ также является и направленіе распора.

Изъ построенія плоскости скользящей видно, что ея положеніе зависитъ отъ величины угловъ тренія и отъ начертанія поверхности насыпи и стѣнки \*); поэтому, еслибы пожелали найти аналитическое выраженіе для величины распора, то необходимо ввести ограниченія относительно очертанія стѣнки и насыпи.

### 36. Распределеніе распора на стѣнку.

Опредѣленіе величины распора, какъ суммы давленій частицъ насыпи на стѣнку, еще не даетъ намъ всѣхъ данныхъ для опредѣленія устойчивости сооруженія, такъ какъ неизвѣстна точка приложенія этой равнодѣйствующей. Затѣмъ ввиду того, что стѣна не составляетъ сплошнаго тѣла, а состоитъ изъ отдѣльныхъ частей (слоевъ), необходимо знаніе величины давленія въ каждой точкѣ ея. Такимъ образомъ необходимо изслѣдованіе составляющихъ, уже найденной по величинѣ равнодѣйствующей. Иначе говоря, надо опредѣлить законъ измѣненія величины распора, в зависимости отъ глубины погруженія подошвы стѣны подъ поверхностью насыпи. Для этого, какъ выше указано, необходимо ввести въ предыдущее изслѣдованіе ограниченіе: опредѣлить очертаніе поверхности насыпи и стѣнки.

Примемъ, что *поверхности насыпи и стѣнки суть плоскости*. Выберемъ произвольную точку  $A_1$ , въ разстояніи  $z$  отъ вершины стѣнки и построимъ для этой точки, а также для подошвы *A*, плоскости скользящія; докажемъ лемму:

при прямолинейномъ очертаніи стѣнки и насыпи линіи скользящія, построенныя для любой части стѣнки, параллельны между собою:

Имѣемъ, по параллельности сторонъ, черт. 86.

$$\triangle CFD \sim \triangle C_1 F_1 D_1,$$

откуда

$$\frac{CF}{C_1 F_1} = \frac{FD}{F_1 D_1}.$$

Затѣмъ изъ подобія

$$\triangle ABD \sim \triangle A_1 B_1 D \text{ и } \triangle ABI \sim \triangle A_1 B_1 I^{**}.$$

$$\frac{AB}{A_1 B_1} = \frac{AD}{A_1 D_1} = \frac{AI}{A_1 I_1};$$

дальше

$$\frac{AF}{A_1 F_1} = \frac{AI}{A_1 I_1};$$

\*) Последнее непосредственно вліяетъ на положеніе направляющей.  
\*\*) На черт. 86 точка  $I_1$  случайно почти совпадаетъ съ точкою  $I_2$  и обозначена этою буквою.

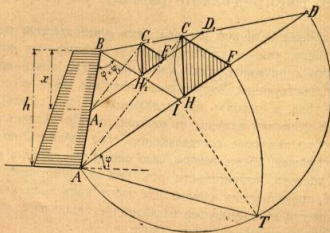
отсюда следует

$$\frac{AF}{A_1F_1} = \frac{AD}{A_1D_1} = \frac{AD - AF}{A_1D_1 - A_1F_1} = \frac{FD}{F_1D_1} = \frac{AB}{A_1B_1};$$

наконец, во первых:

$$\frac{CF}{O_1F_1} = \frac{AF}{A_1F_1},$$

т. е.  $\Delta ACF \sim \Delta A_1C_1F_1$  и при параллельности двух сходственных



Черт. 86.

сторон и третьи стороны должны быть между собою параллельны, т. е.

$$AC \parallel A_1C_1,$$

и лемма доказана; во вторых

$$\frac{CF}{O_1F_1} = \frac{h}{x}, \tag{60}$$

т. е. длина базы пропорциональна глубинѣ погруженія.

Назовем площади треугольников давленій  $CHF$  и  $C_1H_1F_1$  через  $\omega_1$  и  $\omega_2$  и величины распоровъ: полного через  $E_1$  и соответствующаго стѣнкѣ  $AB$  через  $E_2$ ; тогда можемъ написать:

$$\frac{E_1}{E_2} = \frac{\omega_1}{\omega_2}.$$

Площади подобныхъ треугольниковъ пропорциональны квадратамъ сходственныхъ боковъ, т. е.

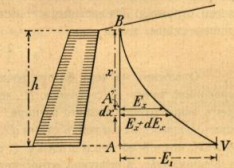
$$\frac{\omega_1}{\omega_2} = \frac{CF^2}{O_1F_1^2}.$$

Соединяя двѣ послѣднія пропорціи и принимая во вниманіе равенство (60), окончательно найдемъ:

$$E_2 = \frac{x^2}{h^2} E_1. \tag{61}$$

Такимъ образомъ мы нашли, что при прямолинейномъ очертаніи стѣнки и насыпи распоръ насыпи возрастаетъ пропорціонально квадрату глубины погруженія, считая отъ уровня вершины стѣнки, следовательно величина распора насыпи измѣняется по закону параболы.

Поэтому, если отложимъ отъ подошвы стѣнки отрѣзокъ  $AV$  и при вершинѣ  $B$  построимъ параболу со стрѣлкою  $AV = E_1$ , то абсциссы этой параболы дадутъ величины распора, соответствующаго глубинѣ погруженія данной точки  $A_1$  отъ уровня вершины стѣнки  $B$ .



Черт. 87.

Теперь легко опредѣлить и величину давленія въ данной точкѣ, т. е. относительный (или удѣльный) распоръ, равный величинѣ давленія на единицу площади, соответствующей данному погруженію; тогда будемъ знать давленіе на каждый слой стѣнки, т. е. каждую составляющую системы параллельныхъ силъ, равнодѣйствующая которымъ есть распоръ насыпи. Возьмемъ точку бесконечно близкую къ точкѣ  $A'$ , соответствующей глубинѣ погруженія  $x$ , тогда распоръ  $E_x$  въ точкѣ  $x + dx$  увеличится на бесконечно малую величину  $dE_x$  и составивъ  $E_x + dE_x$  и относительный распоръ на участокъ  $dx$  будетъ

$$\frac{E_x + dE_x - E_x}{dx} = \frac{(x + dx)^2 - x^2}{dx} \cdot \frac{E_1}{h^2}.$$

По сокращеніи найдемъ:

$$\frac{dE_x}{dx} = \frac{2x}{h^2} E_1 + \frac{dx}{h^2} E_1.$$

Обозначая предѣльное значеніе лѣваго отношенія при подведеніи  $dx$  къ нулю черезъ  $e_x$ , найдемъ выраженіе въ конечномъ видѣ:

$$e_x = \frac{2x}{h^2} E_1, \tag{62}$$

гдѣ  $e_x$  есть относительный или удѣльный распоръ въ данной точкѣ. Величина эта измѣняется въ единицахъ  $\frac{\text{вѣсь}}{\text{плос.}}$ , а такъ какъ рассматривается призма высотой равная единицѣ, то напряженіе рас-

пора выражается въ вѣсвыхъ единицахъ на погонную единицу высоты стѣны.

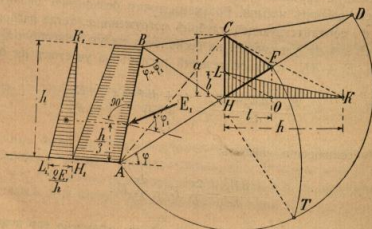
Изъ послѣдняго выраженія видно, что удѣльный распоръ измѣняется по высотѣ стѣны по линейному закону. Линія эта легко строится. Для вершины стѣны при  $x = 0$ , имѣемъ  $e_0 = 0$ ; для подошвы стѣны,  $x = h$ ,

$$e_h = 2 \frac{E}{h}. \quad (62 \text{ bis})$$

Отложивъ на черт. 88 отъ точки  $H_1$ , по горизонтали  $H_1L_1 = e_1$  и соединивъ точку  $L_1$  съ точкою  $K_1$ , лежащей въ уровнѣ вершины  $B$ , найдемъ линію относительнаго распора. Величина относительнаго распора, приходящагося на элементъ стѣны  $dx$ , выразится произведеніемъ изъ соответственной абсциссы  $e$  на  $dx$ , т. е. площадью элементарнаго прямоугольника  $edx$ , а величина относительнаго распора, соответствующаго всей стѣнѣ, т. е. величина полнаго распора, выразится полною площадью треугольника  $H_1L_1K_1$ . Дѣйствительно

$$\text{пл. } \Delta H_1L_1K_1 = 2 \frac{E_1}{h_1} \cdot \frac{h}{2} = E_1.$$

Площадь  $\Delta H_1K_1L_1$  назовемъ площадью распора, въ отличіе отъ треугольника давленія. Площадь распора опредѣляетъ распоръ по



Черт. 88.

величинѣ и даетъ точку приложенія распора. Эта площадь строится непосредственно пользуясь треугольникомъ давленія. Построеніе указано на черт. 88. Изъ него имѣемъ

но  $al = 2 E_1$ , т. е.

$$\frac{a}{h} = \frac{b}{l}; \quad al = b,$$

$$b = \frac{2E_1}{h} = e_h.$$

Стало бытъ задача сводится къ построению двухъ равнобѣдныхъ треугольниковъ по даннымъ основанію и высотѣ.

Точку приложенія распора найдемъ изъ выраженія для моментовъ параллельныхъ силъ, т. е. абсциссы  $e$  площади распора. Изъ условія, что моментъ равнодѣствующей относительно точки  $A$  равенъ суммѣ моментовъ составляющихъ относительно той же точки найдемъ:

$$\zeta = \frac{\sum e_p \zeta_p}{E_1}$$

Это выраженіе соответствуетъ выраженію для центра тяжести площади распоровъ; такъ какъ эта площадь есть треугольникъ, то

$$\zeta = \frac{1}{3} h. \quad (63)$$

Слѣдовательно точка приложенія распора на подпорную стѣнку лежитъ на  $\frac{1}{3}$  высоты подпорной стѣнки отъ ея основанія.

**В. Опредѣленіе распора въ частныхъ случаяхъ.**

**37. Подпорная стѣнка вертикальна, насыпь горизонтальна.**

а. Уголъ тренія о стѣнку равенъ нулю.

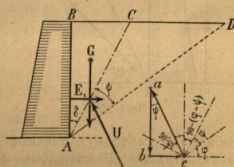
Такой случай имѣетъ мѣсто напр. при расчетѣ плотинъ, когда позади-лежащая насыпь настолько насыщена водою, что треніе о стѣнку весьма мало и имъ рекомендуется пренебрегать. Въ этомъ случаѣ можно вывести простую формулу, позволяющую обойтись безъ графическаго построения.

Вѣсъ призмы обрушенія

$$G = \frac{1}{2} \gamma h^2 \operatorname{tg} \delta,$$

гдѣ буквы соответствуютъ обозначеніямъ принятымъ на черт. 89. Опредѣлимъ уголъ  $bac$  въ  $\Delta abc$ . Этотъ уголъ назовемъ черезъ  $\psi$ . Изъ  $\Delta abc$

$$E_1 = G \operatorname{tg} \psi = \frac{1}{2} \gamma h^2 \cdot \operatorname{tg} \delta \cdot \operatorname{tg} \psi.$$



Черт. 89.

Произведение двух множителей, дающих в суммѣ определенное число, будет наибольшим, когда множители между собою равны, т. е. max.  $E_1$ , или предельное равновѣсіе будетъ при  $\text{tg } \delta = \text{tg } \varphi$ , откуда

$$\delta = \varphi = \frac{1}{2}(90^\circ - \varphi);$$

Слѣдовательно имѣемъ для распора значеніе:

$$E_1 = \frac{1}{2} \gamma h^2 \text{tg}^2 (45^\circ - \frac{1}{2} \varphi). \quad (64)$$

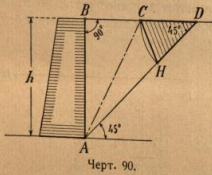
Это выраженіе въ частныхъ случаяхъ различныхъ грунтовъ даетъ легко запоминаемая формулы:

1. Растительный и глинистый грунты, естеств. влаж.: (при $\varphi \approx 45^\circ$ ).	$E_1 = \frac{\gamma h^2}{12}$
2. Неслежавший насыпной грунтъ: (при $\varphi \approx 30^\circ$ ).	$E_1 = \frac{\gamma h^2}{6}$
3. Въ плотинахъ, для грунта насыщеннаго водой: (при $\varphi \approx 20^\circ$ ).	$E_1 = \frac{\gamma h^2}{4}$
4. Для воды: (когда $\varphi = 0^\circ$ ).	$E_1 = \frac{\gamma h^2}{2}$

б. Трение о стѣнку принято во вниманіе.

Обратимся къ графическому построению.

1. При  $\varphi = \varphi_1 = 45^\circ$ , направляющая соетсяъ съ поверхностью насыпи какъ на черт. 90. Сравнивая этотъ чертежъ со всѣми предыдущими, замѣтимъ, что въ этомъ случаѣ точки  $I, F$  и  $D$  совпадаютъ въ одну точку  $D$ . Съ перваго взгляда вопросъ о построении базы и плоскости скольженія кажется неопредѣленнымъ, на самомъ дѣлѣ онъ рѣшается весьма просто. Въ этомъ случаѣ плоскость скольженія дѣлитъ свободную плоскость насыпи  $BD$  на двѣ равныя части; отръзокъ  $CD$  изобразить — базю. Дѣйствительно, первая теорема Ребана удовлетворена, ибо пл.  $\triangle ABC = \text{пл. } \triangle ACD$ , по равенству



Черт. 90.

нѣ дѣлится свободную плоскость насыпи  $BD$  на двѣ равныя части; отръзокъ  $CD$  изобразить — базю. Дѣйствительно, первая теорема Ребана удовлетворена, ибо пл.  $\triangle ABC = \text{пл. } \triangle ACD$ , по равенству

основаній и высотъ, причемъ  $\triangle ACD$  есть треугольникъ составленный линіями скольженія, естественнаго откоса и базы.

Величина распора для случая изображеннаго на этомъ чертежѣ будетъ

$$E_1 = \gamma \text{ пл. } \triangle CDH = \frac{1}{2} CD \cdot DH \sin 45^\circ.$$

Но  $CD = DH$  и по построению  $CD = \frac{h}{2}$ ,

слѣдовательно

$$E_1 = \gamma \left[ \frac{h}{2} \right]^2 \frac{\sqrt{2}}{2} = \gamma \left[ \frac{h}{4} \right]^2 \sqrt{2},$$

откуда, по вычисленіи

$$E_1 = 0,08839 \gamma h^2,$$

и послѣ округленія

$$E_1 = 0,09 \gamma h^2. \quad (65)$$

Горизонтальная проекція этого распора  $E_1 \cos 45^\circ = 0,063 \gamma h$ , что составляетъ 75% отъ величины даваемой формулой (64).

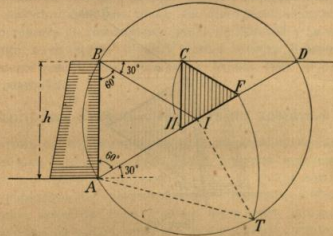
2. При  $\varphi = \varphi_1 = 30^\circ$ , т. е. для насыпнаго грунта имѣемъ:

$$h = AI = BI = ID = IT;$$

$$AD = 2h;$$

по формуль (57):

$$AF = \sqrt{AD \cdot AI} = h \sqrt{2}.$$



Черт. 91.

Вслѣдствіе этого—

$$CF = FD = AD - AF = 2h - h \sqrt{2};$$

$$CF = h(2 - \sqrt{2}) = d.$$

Треугольник давленія равносторонній, а слѣдовательно высота его  $d \cos 30 = d \frac{\sqrt{3}}{2}$ . Поэтому площадь треугольника давленія

$$\omega_1 = d^2 \frac{\sqrt{3}}{4} = h^2 (2 - \sqrt{2})^2 \frac{\sqrt{3}}{4};$$

откуда

$$\omega_1 = h^2 (4 - 4\sqrt{2} + 2) \frac{\sqrt{3}}{4} = (3 - 2\sqrt{2}) \frac{\sqrt{3}}{2} h^2 = 0,149 h^2.$$

Поэтому, округлив, получимъ

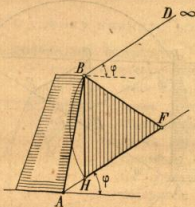
$$E_1 = 0,15 \gamma h^2. \quad (65 \text{ bis})$$

Горизонтальная составляющая  $E_1 \cos 30^\circ = 0,13 \gamma h^2$ , что составляет 77% отъ значенія, даваемого формулой (64).

Такимъ образом, вліяніе тренія насыпи о стѣнку уменьшаетъ горизонтальный распоръ на стѣну, въ обыкновенныхъ случаяхъ ( $\varphi = 20^\circ$  до  $45^\circ$ ) на 20—25%.

**38. Поверхность насыпи направлена под угломъ естественнаго откоса.**

Въ этомъ случаѣ направляющая совпадаетъ по величинѣ съ базой, такъ какъ послѣдняя можетъ быть прочерчена изъ любой точки линіи откоса и плоскости насыпи, пересѣкающихся въ безконечности. Построеніе треугольника давленія понятно изъ чертежа 92.

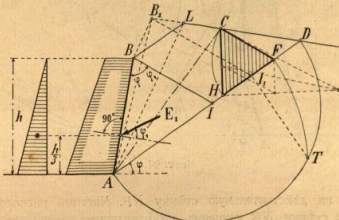


Черт. 92.

**39. Поверхность насыпи ограничена ломаной линіей.**

Задачу приводять къ основному случаю, замѣняя многогранную призму обрушенія треугольною ей равнорѣбною. Для этого строятъ

фигурную стѣнку, напр. на черт. 93, соединивъ точку  $L$  съ  $A$ , на основаніи  $AL$  строимъ треугольникъ  $ABL$  такой, чтобы пл.  $\Delta ABL$  = пл  $\Delta ABL$ , для чего проводимъ  $BB_1 \parallel AL$  и продолжаемъ  $DL$  до пересѣченія съ  $BB_1$  въ точкѣ  $B_1$ . Находимъ фиктивную стѣнку  $AB_1$ . Дальнѣйшія построенія производимъ, какъ указано выше, причѣмъ направляющую слѣдуетъ провести отсчитывая уголъ  $2\varphi$  или  $\varphi_1 + \varphi$  отъ дѣйствительной стѣнки. Что касается точки приложенія распора, то она располагается какъ и въ предыдущихъ случаяхъ на высотѣ  $\frac{1}{2}$



Черт. 93.

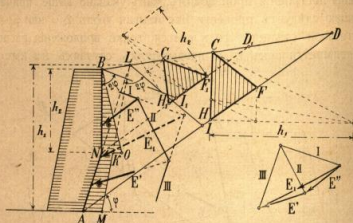
дѣйствительной стѣнки, и площадь давленія слѣдуетъ построить на отрѣзкѣ, соответствующемъ стѣнкѣ  $AB$ . Дѣйствительно, отлогость  $BL$  должна составлять съ горизонтомъ уголъ не большій угла естественнаго откоса, а во всѣхъ точкахъ такого откоса горизонтальный распоръ всегда равенъ нулю, такъ какъ откосъ самъ по себѣ находится въ равновѣсіи.

**40. Подпорная стѣнка очерчена по ломаной линіи.**

Въ этомъ случаѣ нужно найти площади давленія на каждый изъ прямолинейныхъ участковъ стѣнки. Тогда, получивъ величины, точки приложенія и направленіе частныхъ распоровъ, составляющихъ углы тренія съ нормальми къ соответствующимъ участкамъ стѣнки, останется сложить найденныя силы помощью веревочнаго многоугольника.

Продолживъ на черт. 94, линію  $AN$ , до пересѣченія съ поверхностью насыпи въ точкѣ  $L$ , найдемъ фиктивную стѣнку  $AL$ , нижняя часть которой будетъ дѣйствительная стѣнка. Затѣмъ строимъ направляющую, откладывая уголъ  $ALI = 2\varphi$ . Построивъ треугольникъ давленія, опредѣлимъ и основаніе площади давленія  $AM$ ; соединивъ точку  $M$  съ  $L$ , опредѣлимъ фиктивную площадь давленія. Очевидно, что нижняя часть этой

площади, соответствующая нижнему участку  $AN$ , стѣнки, будетъ дѣйствительною площадью давленія на нижній участокъ стѣнки и центръ тяжести этой трапеции опредѣлитъ точку приложенія частнаго распора  $E$ . Верхній-же участокъ долженъ быть замѣненъ площадью



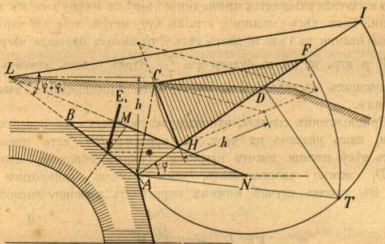
Черт. 94.

давленія на дѣйствительную стѣнку  $NB$ . Частный распоръ  $E'$  на участокъ стѣнки  $NB$  находимъ по извѣстнымъ правиламъ проведемъ линію откоса, соответствующаго этой стѣнкѣ— $ND$ . Двѣ силы  $E$  и  $E'$  сложены помощью веревочнаго многоугольника, причемъ получимъ полный распоръ  $E_1$ .

#### 41. Направляющая располагается внѣ насыпи.

Когда верхняя часть только что изслѣдованной подпорной стѣнки сильно отклонится вперед, то направляющая  $BI$  выйдетъ изъ насыпи вверхъ и точка  $I$  расположится правѣе точки  $D$ . Это происходитъ напр. при опредѣленіи давленія земли на забутку свода, составляющую острый уголъ съ поверхностью насыпи, какъ на черт. 95. Пусть требуется опредѣлить распоръ земли на грань  $AB$ . Только что видѣли, что давленіе на одну изъ граней ломаной стѣнки не зависитъ отъ давленія на выше или ниже лежащія грани, поэтому, будетъ ли выше точки  $B$  подпорная стѣнка или насыпь, давленіе на грань  $AB$  получится, построивъ площадь скольженія при точкѣ  $A$  для фиктивной стѣнки  $AL$  и вычтя изъ давленія на всю стѣнку  $AL$ , давленіе на участокъ  $BL$ . Направляющая  $LI$  располагается выше поверхности насыпи  $LD$ , т. е. точка  $I$  правѣе точки  $D$ . Если въ этомъ случаѣ построить полукругъ на діаметръ  $AD$ , то перпендикуляръ

возстановленный изъ точки  $I$  (см. построение плоскости скольженія) не пересѣкаетъ окружности, и положенія точки  $F$  мы не опредѣлимъ. По условію, для опредѣленія точки  $F$ , должно существовать отношеніе  $AF^2 = AD \cdot AI$ , а это отношеніе получимъ также построимъ полукругъ на діаметръ  $AD$ , возставимъ  $\perp DT$  и найдя радиусъ  $AT$ , ко-



Черт. 95.

торымъ слѣдуетъ засѣчь на линіи  $AI$  точку  $F$ . Черезъ эту точку пройдетъ база  $FC$ , параллельная направляющей  $LI$ , а точка  $C$  опредѣлитъ положеніе плоскости скольженія  $AC$  \*). Дѣйствительно площадь призмы обрушенія  $ACL$  = площади  $\triangle ACF$ , что необходимо и достаточно по теоремѣ Ребана, если стороны  $\triangle ACF$  суть линіи скольженія, естественнаго откоса и база.

Дальнѣйшія построенія произведены по извѣстнымъ правиламъ, причемъ получена трапеція давленія  $ABMN$ , опредѣляющая и величину и точку приложенія распора  $E_1$ .

### § 9.

#### Нагрузка, дѣйствующая на насыпь.

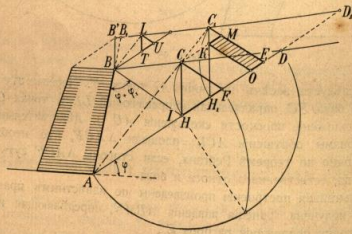
##### 42. Параллелограммъ давленія.

Примемъ, что дѣйствующая на насыпь нагрузка распределяется равномерно по нѣкоторой площади, причемъ эта площадь тянется безгранично вдоль стѣнки. Въ сѣчени вертикальною плоскостью, т. е.

\*) Ввиду того что уголъ  $DCF$  весьма острый, лучше соединитъ точку  $F$  съ  $L$  и провести плоскость  $AC$  черезъ середину  $FL$ .

в плоскости чертежа равномерно распределенная нагрузка выразится площадью прямоугольника. Эта площадь дает вѣсъ нагрузки на выдѣленную земляную призму съ высотой (вдоль стѣнки) равную единицѣ и очевидно, что можно выбрать такой масштаб, что единица площади нагрузки и насыпи будутъ выражать одинъ и тотъ-же вѣсъ. Выборъ такого масштаба называется приведениемъ вѣса нагрузки къ вѣсу насыпи. Если вѣсъ насыпи  $\gamma$  кгр. въ куб. метрѣ, т. е. на чертежѣ площадь насыпи въ 1 кв. м. даетъ вѣсъ  $\gamma$ , то высота площади нагрузки равной  $p$  кгр. на кв. м. будетъ  $\eta = \frac{p}{\gamma}$ . Итакъ будемъ помнить при послѣдующихъ изслѣдованіяхъ, что  $\eta$  есть приведенная высота нагрузки.

Предположимъ сначала, что нагрузка занимаетъ всю поверхность насыпи, какъ указано на черт. 96, причемъ  $BB'$  есть приведенная къ вѣсу насыпи высота нагрузки. Такимъ образомъ площадь  $ABB'D_1$  можно разсматривать, какъ площадь однородной насыпи. Въ такомъ случаѣ можемъ опредѣлить величину распора на



Черт. 96.

фигурную стѣнку  $AB$ . Въ действительности полное давленіе будетъ меньше, такъ какъ распору подвергается лишь стѣнка  $AB$ . Поэтому для получения окончательнаго результата, надо вычесть часть распора, приходящуюся на фигурную стѣнку  $BB'$  (\*). Оставшаяся часть распора будетъ представлять собою сумму распора отъ насыпи и отъ расположенной на ней нагрузки.

\*) Въ действительности если-бы, нагрузку произвести слоемъ сыпучаго тѣла, т. е. насыпью же, то эта насыпь будетъ ограничена естественнымъ откосомъ (пунктиръ) и слѣдовательно распоръ на фигурную стѣнку  $BB'$  будетъ уравновѣшенъ.

Построимъ плоскость скользянія  $A_1C_1$  и треугольникъ давленія  $C_1H_1F_1$  для фиктивной стѣнки  $AB$ . Построимъ также плоскость скользянія  $BL$  для точки  $B$  и треугольникъ давленія  $LUT$ . Плоскости  $BL$  и  $A_1C_1$ , согласно доказанной выше теоремы, (36) будутъ между собою параллельны, равно какъ и бока треугольниковъ  $\Delta LUT$  и  $\Delta C_1F_1H_1$ . Изъ той-же теоремы слѣдуетъ, что плоскость скользянія  $A_1C_1$  будетъ также плоскостью скользянія для точки  $A$  стѣнки  $AB$  и стороны треугольника давленія  $\Delta CFH$ , опредѣляющаго распоръ отъ насыпи на дѣйствительную стѣнку, будутъ соответственно параллельны сторонамъ  $\Delta C_1F_1H_1$  и  $\Delta LUT$ . Остается изъ площади треугольника давленія  $C_1F_1H_1$  вычесть площади  $\Delta CHF$  и  $\Delta LUT$ . Проведя  $CM \parallel AD$  и  $KO \parallel CF \parallel C_1F_1$ , найдемъ

$$\begin{aligned} \Delta KH_1O &= \Delta CHF; \\ \Delta C_1KM &= \Delta LUT. \end{aligned}$$

Дѣйствительно стороны этихъ треугольниковъ параллельны между собою и  $LU = C_1M$ , что видно изъ равенства

$$\Delta BLU = \Delta CC_1M,$$

въ которыхъ сторонъ,  $BL = CC_1$ , какъ отрезки параллельныхъ между параллельными.

Итакъ давленіе на дѣйствительную стѣнку  $A_1B$  можетъ быть выражено произведеніемъ изъ величины  $\gamma$  на площадь параллелограмма  $KMF_1O$ . Этотъ параллелограммъ назовемъ параллелограммомъ давленія. Если давленіе на стѣну отъ вліянія равномерно распределенной нагрузки на насыпь назовемъ черезъ  $E_2$ , а площадь параллелограмма давленія черезъ  $\omega_2$ , то можно написать:

$$E_2 = \gamma \omega_2. \quad (66)$$

Изъ чертежа видно, что для построения параллелограмма давленія достаточно знать величины боковъ двухъ треугольниковъ давленія: соответствующаго распору земли на дѣйствительную стѣнку и соответствующаго высотѣ приведенной нагрузки.

Между давленіемъ  $E_2$  при полной равномерно распределенной нагрузкѣ и распоромъ земли  $E_1$  существуетъ весьма интересная зависимость.

Примемъ за основанія треугольниковъ давленія на стѣнку  $AB$  и на стѣнку  $BB'$  стороны  $HF$  и  $KM = TU$  и обозначимъ ихъ черезъ  $b$  и  $b_1$ , а черъ  $b_2$  обозначимъ основаніе  $H_1F_1$  треугольника давленія на всю фиктивную стѣну. Треугольникъ давленія земли на стѣнку  $AB$  и трапеція полного давленія на ту-же стѣнку имѣютъ равныя высоты, поэтому

$$\frac{E}{E_1} = \frac{\text{пл. } KMF_1H_1}{\text{пл. } CFH} = \frac{b_2}{b} = \frac{b + 2b_1}{b}.$$



Но линии  $b$  и  $b_1$  как бока треугольников давлений пропорциональны высотам соответствующих участков подпорных стенок (60), т. е.

$$\frac{b_1}{b} = \frac{\eta}{h},$$

поэтому

$$E = \frac{h+2\eta}{h} E_1, \tag{67}$$

Вытя отсюда величину распора земли  $E_1$ , найдем давление от равномерно распределенной по всей поверхности насыпи нагрузки  $E_2 = E - E_1$ :

$$E_2 = \frac{2\eta}{h} E_1, \tag{68}$$

т. е. при прямолинейном очертании насыпи и стѣнки давление от полной равномерно распределенной нагрузки на насыпи равно величин распора земли, умноженной на отношение удвоенной высоты приведенной нагрузки к высотѣ подпорной стѣнки.

Примѣним эту формулу къ частному случаю, когда стѣнка вертикальна и поверхность насыпи горизонтальна и угол трения о стѣнку  $= 0$ , рассмотримъ выше (37).

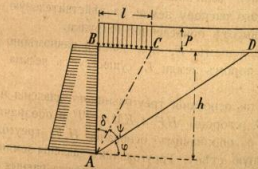
Пусть нагрузка будетъ  $p$  тоннъ на кв. метръ насыпи.

Для этого случая выведено (64):

$$E_1 = \frac{1}{2} \gamma h^2 \operatorname{tg}^2 \left( 45 - \frac{1}{2} \varphi \right),$$

руководствуясь формулой (68) и замѣняя  $\eta$  черезъ  $\frac{p}{\gamma}$ , найдемъ:

$$E_2 = ph \operatorname{tg}^2 \left( 45 - \frac{1}{2} \varphi \right) \tag{69}$$



Черт. 97.

Эту формулу можно вывести и непосредственно какъ (64).

Величины давлений отъ временной нагрузки при различныхъ грунтахъ будутъ:

1. Растительный и глинистый естеств. влажные грунты при $\varphi \cong 45^\circ$ .	$E_2 = \frac{ph}{6}$
2. Насыпные грунты въ среднемъ при $\varphi = 30^\circ$ .	$E_2 = \frac{ph}{3}$
3. Въ плотинахъ и при грунтахъ насыщенныхъ водой при $\varphi = 0^\circ$ .	$E_2 = \frac{ph}{2}$

43. Треугольникъ полного давленія.

Иногда вмѣсто трапеціи полного давленія на стѣнку, строятъ треугольникъ давленія, для чего опредѣляютъ новую высоту нагрузки  $y$ , при которой полная высота фиктивной стѣнки будетъ  $h + y$ .

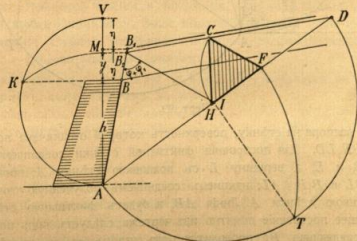
Величина  $y$  находится всего быстрее изъ только что выведенной зависимости между  $E$  и  $E_1$ . Имѣемъ согласно (61):

$$\frac{E}{E_1} = \frac{(h+y)^2}{h^2};$$

сравнивая это выраженіе съ (67), находимъ искомое отношеніе

$$(h+y)^2 = h(h+2\eta),$$

высота фиктивной стѣнки  $h+y$  есть средняя пропорциональная между высотой стѣнки и высотой стѣнки, сложенной съ удвоенной высотой приведенной нагрузки. На вер-

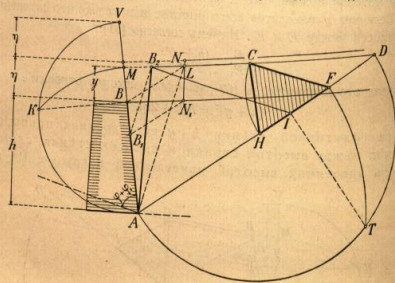


Черт. 98.

тикали  $AV$ , высота которой  $h+2r$  строим полуокружность  $AKV$ . Проведем к диаметру перпендикуляр  $BK$  на высоту  $h$ , определяем точку  $K$ ; засыпая дугою  $KM$  при радиусе  $AK$  точку  $M$ , находим искомую высоту  $y$  от вершины стѣнки до уровня фиктивной приведенной поверхности. Затѣм при *полной* равномерной распределенной нагрузке остается по известным правилам построить треугольник давления  $CFH$  для фиктивной стѣнки  $AB_2$  и фиктивной поверхности насыпи  $B_2D$ .

Пусть теперь равномерно распределенная нагрузка покрывает часть насыпи.

Въ этомъ случаѣ слѣдуетъ воспользоваться только что указаннымъ приемомъ для опредѣленія фиктивной высоты приведенной нагрузки  $y$ . После этого можно поступить, какъ было указано въ случаѣ ломаной поверхности насыпи. На чертежѣ 99 сначала построена полуокружность  $AKV$  для опредѣленія высоты насыпи  $y$  и найдена новая фиктивная поверхность насыпи  $LD$ . Первоначально площадь нагрузки соответствовала отрезку  $NN_1$ , теперь задача сведена къ опре-



Черт. 99.

дѣленю распора на стѣнку, поверхность которой ограничена ломаной линіей  $BN_1LD$ . Для построения фиктивной стѣнки соединяем вершины  $B$  и  $L$ , а вершину  $L$  съ подошвою стѣнки  $A$ ; проводимъ  $N_1B_2 \parallel BL$  и  $B_2B_1 \parallel AL$ ; наконецъ соединяемъ полученную точку  $B_2$  съ подошвою стѣнки  $A$ . Линія  $AB_2$  и будетъ фиктивную стѣнкою. Дальнѣйшее построение понятно изъ чертежа; слѣдуетъ лишь помнить, что направляющая  $BL$  проводится подъ угломъ  $\varphi + \varphi_1$  къ действительной стѣнкѣ.

Для доказательства, что  $AB_2$  будетъ действительно искомая фиктивная стѣнка обратимся къ пояснительному чертежу 99а.

Необходимо доказать, что площадь четырехугольника  $AB_2LN_1N_2A$  равна площади пятиугольника  $AB_2LN_1N_2A$ . Проведемъ вспомогательныя линіи  $B_1L$ ,  $B_2N_2$  и  $BN_2$ . Имѣемъ:

$$\text{пл. } \triangle AB_2N_2N_1A = \text{пл. } \triangle AB_2N_2 + \\ + \text{пл. } \triangle B_2BN_2 + \text{пл. } \triangle BN_1N_2$$

$$\text{пл. } \triangle AB_2LN_1N_2A = \text{пл. } \triangle AB_2N_2 + \\ + \text{пл. } \triangle B_2N_2L + \text{пл. } \triangle LN_1N_2.$$

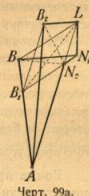
Согласно построенію, по равенству высоты:

$$\text{пл. } \triangle AB_2N_2 = \text{пл. } \triangle AB_2N_2$$

$$\text{пл. } \triangle B_2BN_2 = \text{пл. } \triangle B_2LN_2 = \text{пл. } \triangle B_2N_2L$$

$$\text{пл. } \triangle BN_1N_2 = \text{пл. } \triangle LN_1N_2.$$

Слѣдовательно равенство площадей фигуръ прочерченныхъ на чертежѣ 99а жирными линіями—доказано и  $AB_2$  на черт. 99 действительно фиктивная стѣнка.



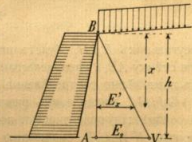
Черт. 99а.

**44. Распределение давления на подпорную стѣнку.**

Изъ предыдущаго слѣдуетъ, что параллелограммъ давления, построенный для различныхъ частей подпорной стѣнки всегда имѣетъ одно и то же основание, поэтому площади соответствующихъ параллелограммовъ давления пропорциональны базамъ треугольниковъ давленій для рассматриваемой плоскости скольженія, такъ какъ параллелограммъ имѣетъ своимъ бокомъ базу. Выше показано (60), что длина базы пропорциональна глубинѣ погруженія подошвы рассматриваемой части стѣнки, а слѣдовательно заключаемъ:

Давленіе на подпорную стѣнку отъ нагрузки на насыпь пропорціонально глубинѣ погруженія подошвы рассматриваемой части стѣнки подъ уровнемъ ея вершины.

Такимъ образомъ давленіе на стѣнку отъ нагрузки на насыпь, съ увеличеніемъ высоты стѣнки, возрастаетъ по линейному закону. Опредѣлимъ давленіе отъ временной нагрузки для произвольнаго участка стѣнки, глуби-



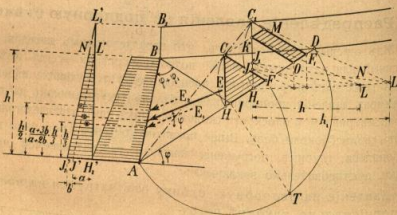
Черт. 100.

ною  $x$  отъ вершины. Отложимъ отъ точки  $AV = \gamma$ . пл. (парал. давлению); соединимъ точку  $V$  съ вершиною  $B$ , тогда абсцисса  $E_x$  линии  $AV$  дастъ величину давленія для участка стѣнки высотой  $x$ .

Относительное давленіе на стѣнку отъ временной нагрузки есть величина постоянная, что легко доказать, пользуясь только что построеннымъ чертежомъ. Для построения площади относительнаго давленія достаточно найти давленіе въ одной изъ точекъ стѣнки; отрѣзокъ, параллельный линіи стѣны, опредѣлитъ прямоугольникъ, площадь котораго и будетъ площадью давленій отъ временной нагрузки. Высота этого прямоугольника будетъ  $h$ , а основаніе  $\frac{E_2}{h}$ .

Точка приложенія давленія  $E_2$  на стѣнку опредѣлится центромъ тяжести прямоугольника давленія, т. е. лежитъ на половинѣ высоты стѣнки.

Графически площадь давленія отъ временной нагрузки строится слѣдующимъ образомъ. Пусть  $B, C_1$  есть фиктивная поверхность насыпи съ приведенною нагрузкой  $B_1B$ . Строимъ треугольникъ  $J_1L_1H_1$ , изображающій площадь давленій на фиктивную стѣнку  $AB$ , отложимъ  $J_1H_1 = \frac{2\sigma_1\gamma}{h_1}$ , гдѣ  $h_1 = h + \gamma$ . Изъ точки  $L_1$ , соответствующей вершинѣ дѣйствительной стѣнки, проводимъ  $L_1J_1 \parallel L_1J_1$  и  $L_1N_1 \parallel J_1H_1$ , тогда



Черт. 101.

треугольникъ  $L_1J_1H_1$  будетъ площадью распора земли на дѣйствительную стѣнку  $AB$ , а параллелограммъ  $N_1L_1J_1$  будетъ площадью давленій отъ равномерно распределенной нагрузки. Дѣйствительно, въ  $\Delta L_1J_1H_1$  и  $\Delta L_1L_1H_1$ , площади ихъ равны площадямъ треугольниковъ давленій на соответствующіе участки подпорной стѣнки, а въ такомъ случаѣ и площадь  $N_1L_1J_1$ , съ высотой равною высотѣ стѣнки, равна площади параллелограмма давленій.

Ордината точки приложенія давленія на стѣнку отъ нагрузки, расположенной на насыпи, опредѣлится какъ ордината центра тяжести площади параллелограмма  $N_1L_1J_1$ . Итакъ:

точка приложенія давленія на прямолинейную стѣнку отъ равномерно распределенной нагрузки на насыпи лежитъ на половинѣ высоты стѣнки.

Точка приложенія полного распора  $E = E_1 + E_2$  опредѣлится центромъ тяжести заштрихованной площади трапеціи полного распора  $N_1L_1J_1H_1$ .

Изъ чертежа, согласно известнымъ правиламъ, найдемъ разстояніе центра тяжести трапеціи давленія:

$$\zeta = \frac{h}{3} \left( \frac{a+3b}{a+2b} \right).$$

Удобнѣ величины  $a$  и  $b$  замѣнить пропорціональными имъ величинами: высотой приведенной нагрузки  $\gamma$  и высотой  $h$ . Эти величины известны заранее и слѣдовательно для опредѣленія величины  $\zeta$  нѣтъ необходимости строить площади давленія. Такимъ образомъ

$$\zeta = \frac{h}{3} \left( \frac{h+3\gamma}{h+2\gamma} \right). \quad (71)$$

§ 10.

Расчетъ подпорныхъ стѣнокъ.

45. Общія указанія.

Для устойчивости подпорной стѣнки, силы на нее дѣйствующія должны удовлетворять общимъ условіямъ равновѣсія. Такъ какъ въ предыдущемъ мы свели вопросъ къ изслѣдованію силъ на плоскости, то для устойчивости ея, необходимо существованіе трехъ условій:

- 1, сумма вертикальныхъ составляющихъ должна равняться нулю;
- 2, сумма горизонтальныхъ составляющихъ должна равняться нулю;
- 3, сумма моментовъ силъ относительно произвольной точки плоскости есть нуль.

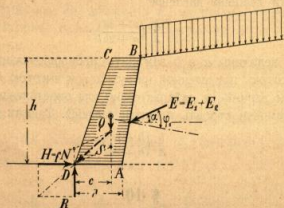
Первое условіе, препятствующее погруженію стѣнки въ грунтъ опредѣляется равенствомъ

$$N = E \sin \alpha + Q = R, \quad (72)$$

гдѣ  $N$  есть сумма вертикальныхъ составляющихъ силъ,  $E = E_1 + E_2$  полный распоръ на стѣнку,  $\alpha$  уголъ наклоненія полного распора къ горизонту,  $Q$  вѣсъ стѣны и  $R$ —сопротивленіе грунта (или фундамента). Последняя величина опредѣляется на основаніи указаній «сопротивленія матеріаловъ»; она выражается произведеніемъ величины прочнаго

сопротивления опоры на площадь опоры, т. е.  $R = \sigma \cdot d$  если  $\sigma$  есть прочное сопротивление и  $d$  ширина подошвы стѣны. Кроме того изъ сопротивления материаловъ известно, что если равнодѣйствующая  $S$  силъ  $E$  и  $Q$  не будетъ проходить въ средней трети, то сопротивление опоры по одну сторону центра тяжести сѣченія подошвы будетъ положительнымъ, а по другую на протяженіи ея большей или меньшей части отрицательнымъ, т. е. появятся вытягивающія напряжения, чего въ кладкѣ допускать нельзя.

Если равнодѣйствующая  $S$  пройдетъ черезъ центръ тяжести сѣченія подошвы, то вся подошва будетъ испытывать равномерное на-



Черт. 102.

пряженіе, величина котораго опредѣлится изъ предыдущей формулы, гдѣ вмѣсто  $R = N$  подставимъ  $\sigma \cdot d$  и опредѣлимъ величину  $\sigma$ , т. е.

$$\sigma = \frac{N}{d} \quad (73)$$

или по данному  $\sigma = \sigma_0$ , ширину подошвы  $d$ . Если равнодѣйствующая не проходитъ черезъ центръ тяжести сѣченія подошвы, то напряжения  $\sigma_1$  и  $\sigma_2$  сжимающія и вытягивающія въ крайнихъ ребрахъ сѣченія, найдутся по формулѣ (73), къ которой слѣдуетъ придать членъ, зависящій отъ эксцентриситети нагрузки, т. е.

$$\sigma = \frac{N}{d} \pm \frac{M}{W} = \frac{N}{d} \pm 6 \frac{Ne}{d^2}, \quad (74)$$

гдѣ верхній знакъ соотвѣтствуетъ величинѣ  $\sigma_1$ , а нижній  $\sigma_2$ , а  $e$  есть разстояніе точки приложенія силы  $N$  отъ центра тяжести разсматриваемаго сѣченія. Во всякомъ случаѣ равнодѣйствующая  $N$  должна проходить внутри средней трети шва, ибо иначе въ швъ получатся вытягивающія напряжения. Очевидно, что этому условію должны удовлетворять силы, дѣйствующія въ каждомъ горизонтальномъ сѣченіи стѣнки.

Болѣе подробныя указанія см. въ № 53.

Величины напряженій, даваемыхъ этой формулой весьма легко построить графически. Для этого изъ середины сѣченія возставляемъ перпендикуляръ и откладываемъ на немъ величину перваго члена формулы (74), т. е. величину среднего давления на шовъ  $so = \sigma_0$ . Затѣмъ точки  $k_1$  и  $k_2$ , лежащія на разстояніи  $\frac{1}{6}$  ширины шва, соединяетъ съ вершиною перпендикуляра  $os$ , причѣмъ получаемъ наклонныя  $k_1q$  и  $k_2p$ . Точки пересеченія этихъ линій съ нормальною составляющею  $N$  т. е. точки  $m$  и  $n$  проектируемъ на вертикали реберъ шва и получаемъ  $mr = \sigma_1$  и  $nr = \sigma_2$ . Дѣйствительно изъ подобія:

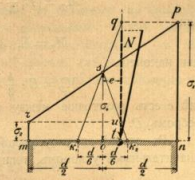
$$\Delta k_1qt \propto \Delta k_2so;$$

$$\Delta k_2nt \propto \Delta k_2so,$$

имѣемъ:

$$\frac{qt}{so} = \frac{\sigma_1}{\sigma_0} = \frac{d + e}{d};$$

$$\frac{nt}{so} = \frac{\sigma_2}{\sigma_0} = \frac{d - e}{d};$$



Черт. 103.

отсюда подставляя вмѣсто  $\sigma_0$  величину  $\frac{N}{d}$  найдемъ,

$$\sigma_1 = \frac{N}{d} \left( 1 + \frac{6e}{d} \right); \quad \sigma_2 = \frac{N}{d} \left( 1 - \frac{6e}{d} \right).$$

Второе условіе, условіе устойчивости противъ скользящаго тренія:

$$E \cos \alpha \leq fN. \quad (76)$$

Если пренебречь вертикальную составляющую распора или положить уголъ  $\alpha = 0$  и замѣтить, что при  $\varphi = 33 - 35^\circ$ , какъ это обыкновенно принимается, будетъ  $f = \infty 0,7$ , то получимъ:

$$E \leq 0,7 Q. \quad (77)$$

При прямоугольной или трапециoidalной стѣнкѣ  $Q = \gamma_1 \cdot hd$ , гдѣ  $\gamma_1$  есть вѣсъ куб. метра кладки, а  $d$  толщина стѣны (при трапециoidalной — средняя толщина). Выразивъ распоръ въ зависимости отъ величины треугольника давленія и замѣтивъ, что отношеніе  $\frac{1}{\gamma_1}$  всегда близко къ 0,7 найдемъ приближенное легко запоминаемое выраженіе для толщины стѣны, обезпечивающее устойчивость противъ скользящаго,

$$d \leq \frac{w}{h}, \quad (78)$$

т. е. толщина стѣны должна быть не меньше площади треугольника давленія, дѣленнаго на высоту стѣны.

Если воспользуемся формулами для  $E$ , приведенными на стр. 126,

то получим, что толщина  $d$ , в зависимости от грунта насыпи, не должна быть меньше  $\frac{1}{12}$  до  $\frac{1}{4}$  высоты стѣны.

Третье условие, устойчивость против опрокидывания требует, чтобы равнодѣйствующая  $S$  пересѣкала подошву опоры. Условие равновѣсія въ предѣльный моментъ, когда равнодѣйствующая  $S$  проходитъ черезъ ребро стѣнки  $D$ , выразится условиемъ равновѣсія моментовъ силъ относительно точки  $D$ .

$$M_D = \left( E_1 \frac{h}{3} + E_2 \frac{h}{2} \right) \cos \alpha = Qc,$$

или

$$M_D = E_1 \cdot \left( \frac{h}{3} + \eta \right) \cos \alpha = Qc,$$

или наконецъ

$$M_D = E \cdot \frac{h}{3} \cdot \frac{h + 3\eta}{h + 2\eta} \cos \alpha = Qc, \quad (79)$$

гдѣ  $c$  есть разстояние между вертикалью центра тяжести стѣны и ребромъ  $D$ .

Въ случаѣ прямоугольной стѣнки или трапециoidalной съ незначительнымъ уклономъ, толщина стѣны найдется изъ выраженія \*).

$$d \cong \sqrt{\frac{\gamma}{\gamma_1} \left( \frac{2}{3} \omega_1 + \omega_2 \right) \cos \alpha}, \quad (80)$$

гдѣ  $\omega_1$  и  $\omega_2$  площади давленій насыпи и временной нагрузки (треугольника и параллелограмма давленій); или же

$$d \cong 1,414 \sqrt{\frac{\gamma}{\gamma_1} \left( \frac{h}{3} + \eta \right) \cos \alpha}. \quad (80 \text{ bis})$$

Если равномерно-распределенной нагрузки нѣтъ, или она пренебрегаема сравнительно съ вѣсомъ насыпи, то для примѣрныхъ подсчетовъ имѣемъ приближенное выраженіе:

$$d \cong 0,7 \sqrt{\omega}, \quad (81)$$

т. е. для устойчивости противъ опрокидыванія, ширина подошвы стѣны должна быть не меньше 0,7 корня квадратнаго изъ площади (треугольника) давленія.

При проектированіи стѣны, рекомендуется придерживаться слѣдующаго порядка вычисленій:

1. Построить площадь давленій, или опредѣлить величину распора  $E$  по формуламъ (64) и (69).

2. Опредѣлить приближенные размѣры ширины подошвы по указаннымъ формуламъ (78), (80) или (81) и помножить большую изъ полученныхъ величинъ для  $d$  на коэффициентъ устойчивости

$$\mu = 1,25 \text{ до } 1,50,$$

послѣ чего получимъ ширину опоры  $d$ .

\* ) Для трапециoidalнаго сѣченія это выраженіе будетъ приближеннымъ.

Примѣчаніе. Точное опредѣленіе ширины опоры изъ выраженій (72), (76) и (79), возможно только путемъ попытокъ,—такъ какъ величина  $Q$  заранее неизвѣстна,—излишне, ибо послѣдующія вычисления могутъ снова измѣнить найденную уже величину  $d$ .

3. Опредѣлить вѣсъ стѣны и найти точку пересѣченія равнодѣйствующей  $S$  съ подошвою стѣны. Если эта равнодѣйствующая пересѣкаетъ подошву въ средней трети, то выбранная толщина стѣны возможна.

4. Вычислить наибольшее напряженіе въ основаніи по формулѣ (74); если это напряженіе превосходитъ допускаемое, то изъ той-же формулы, вставивъ вмѣсто  $\max \sigma$  допускаемое напряженіе  $\sigma_2$  и вычислить требуемую для этого напряженія ширину стѣны.

5. Исправить по точной величинѣ  $d$ , вычисленія указанныя въ п.п. 3 и 4.

## § 11.

### Отпоръ земли.

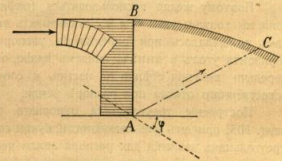
(Пассивное давленіе).

#### 46. Треугольникъ отпора.

До сихъ поръ предполагалось, что на подпорную стѣну дѣйствовали лишь силы со стороны поддерживаемой стѣною насыпи, такъ что стѣна должна была оказывать противодѣйствіе опусканію призмы обрушенія. Можетъ однако случиться, что часть насыпи, лежащая непосредственно за подпорною стѣною будетъ стремиться быть приподнятою; это произойдетъ въ томъ случаѣ,

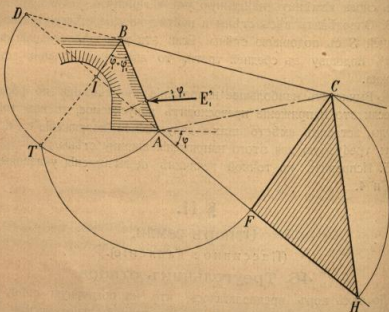
когда на стѣну будутъ дѣйствовать горизонтальныя силы со стороны противоположной насыпи, напр. горизонтальный распоръ отъ поддерживаемого стѣною свода. Подъ вліяніемъ такого распора, стѣнка будетъ прижиматься къ насыпи

и когда величина горизонтальнаго распора презоодеть горизонтальную составляющую распора  $E$ , часть насыпи перемѣстится такимъ образомъ, что произойдетъ подниманіе призмы сдвигенія по нѣкоторой поверхности скользянія, черт. 104. Полагая, какъ и въ случаѣ распора земли, что эта поверхность будетъ плоскостью, мы вопросъ о равновѣсіи системы рѣшимъ согласно предыдущему.



Черт. 104.

Действительно, в этом случае, в предельный момент равновесия, равнодействующая сопротивления отпорной стѣны и насыпи, приложенная къ призѣмъ, стремящейся перемѣститься вверхъ, отклоняется отъ



Черт. 105.

соответственныхъ нормалей, на углы трѣнія первая вверхъ, а вторая, следовательно отпоръ  $E_1$ , — внизъ, т. е. противоположно тому, какъ это было указано въ изслѣдованіи равновѣсія призмы обрушенія.

Поэтому желая воспользоваться графическимъ способомъ Ребона, мы должны углы  $\varphi$  и  $\varphi'$ , откладывать въ стороны обратныя тѣмъ, какъ то дѣлалось при опредѣленіи распора земли. Отложивъ отъ горизонта уголъ  $\varphi$  внизъ, найдемъ линію, опредѣляющую направление передачи давленія стѣнки на насыпь и соответствующую плоскости естественнаго откоса при распорѣ земли.

Построеніе треугольника отпорнаго давленія произведено на черт. 105, причемъ для наглядности, буквы соответствуютъ построенію треугольника давленія для распора земли черт. 85.

Точка приложенія отпора  $E_1$  расположена на разстояніи  $\frac{1}{3}$  высоты стѣнки отъ давленія. Это можно доказать подобно тому какъ было указано на стр. 125.

Можно воспользоваться для опредѣленія величины отпора и аналитическимъ выраженіемъ, (64), но въ немъ необходимо передъ  $\varphi$  измѣнить знакъ. Такимъ образомъ получимъ:

$$E_1' = \frac{1}{2} \gamma h^2 \operatorname{tg}^2 \left( 45 + \frac{1}{2} \varphi \right) \quad (82)$$

Для различныхъ грунтовъ получимъ слѣдующія значенія:

1. Растительный и глинистый грунты естеств. влажн. когда $\angle \varphi \cong 45^\circ$ . . . . .	$E_1' = 3,0 \gamma h^2$
2. Неслежавшійся насыпной грунтъ, когда $\angle \varphi \cong 30^\circ$ . . . . .	$E_1' = 1,5 \gamma h^2$
3. Въ плотинахъ для грунта насыщеннаго водой когда $\angle \varphi \cong 20^\circ$ . . . . .	$E_1' = 1,0 \gamma h^2$

Изъ этой таблицы видно, что величина отпора земли всегда значительно больше величины распора и иногда, напримѣръ для хорошаго слежавшагося грунта, отпоръ насыпи въ 36 разъ больше распора, а для насыпнаго въ 9.

Для увеличенія отпора насыпи, ее загружаютъ равномерно распределенною нагрузкою. Построеніе величины отпора въ этомъ случаѣ можетъ быть произведено, какъ указано, воспользовавшись приведенною поверхностью насыпи и фиктивной стѣнкою.

Точка приложенія полного отпора опредѣлится положеніемъ центра тяжести трапеціи давленій насыпи на стѣну при отпорѣ и будетъ:

$$r = \frac{h}{3} \cdot \frac{h+3\eta}{h+2\eta},$$

считая отъ основанія стѣнки.

Если воспользоваться аналитической формулою (69) выведенной для распора, то въ случаѣ отпора она приметъ видъ:

$$E_2' = p h \operatorname{tg}^2 \left( 45 + \frac{1}{2} \varphi \right). \quad (83)$$

Для различныхъ грунтовъ получимъ слѣдующія значенія.

1. Растительный грунтъ естественно влажный, при $\varphi \cong 45^\circ$ . . . . .	$E_2' = 3,6 ph$ .
2. Насыпные грунты въ среднемъ, при $\varphi \cong 30^\circ$ . . . . .	$E_2' = 3,0 ph$ .
3. Въ плотинахъ для грунта насыщеннаго водой, при $\varphi \cong 20^\circ$ . . . . .	$E_2' = 2,0 ph$ .

Изъ сравненія этой таблицы съ таблицею стр. 135 видно, что величина отпора отъ вліянія равномерно распределенной на насыпь нагрузки для слежавшагося грунта въ 21,6, а для насыпнаго въ 9 разъ больше распора.

## ГЛАВА IV.

### Цилиндрический сводъ.

#### § 12.

#### Равновѣсіе свода.

#### 47. Общія замѣчанія.

Простѣйшею и весьма распространенною формою сводчатого перекрытія является цилиндрический сводъ. Къ тому же, изслѣдованіе сводовъ другихъ видовъ, напр. купольнаго, крестоваго, можетъ быть произведено, пользуясь данными теоріи цилиндрическаго свода, почему послѣдняя и должна быть рассмотрѣна, какъ основная теорія сводовъ.

Цилиндрический сводъ мы будемъ предполагать безграничной длины (считая по производящей) и потому для изслѣдованія условій равновѣсія свода будемъ, какъ это дѣлалось при изслѣдованіи подпорныхъ стѣнокъ, рассматривать часть свода, выдѣленную двумя вертикальными плоскостями, перпендикулярными къ производящей свода и длиной равною единицѣ. Такой участокъ свода въ дѣйствительности представляетъ собою арку и слѣдовательно дальнѣйшія изслѣдованія могутъ быть отнесены къ изученію арокъ, или арочныхъ фермъ. Въ послѣднемъ случаѣ однако предполагается, что ферма или состоитъ изъ сплошнаго тѣла, или изъ системы тѣлъ между собою связанныхъ какъ напр. въ рѣшетчатыхъ фермахъ. Мы же рассмотримъ лишь сводъ, состоящій изъ одного или двухъ монолитныхъ (сплошныхъ) тѣлъ, или наконецъ изъ системы тѣлъ лишь соприкасающихся между собою. Въ такихъ условіяхъ именно и находится сводъ, состоящій изъ клиньевъ. Хотя отдѣльные клинья и соединяются между собою на практикѣ растворомъ (извѣстковымъ, цементнымъ), но такую связь нельзя считать дѣйствительной въ той мѣрѣ, чтобы систему клиньевъ принимать за сплошное однородное тѣло, тѣмъ болѣе, что полное отверднѣніе и наибольшая прочность раствора проявляются лишь по истеченіи болѣе или менѣе значительнаго срока послѣ постройки свода.

Прежде чѣмъ изслѣдовать равновѣсіе свода, скажемъ нѣсколько словъ о нагрузкѣ, дѣйствующей на сводъ. Такая нагрузка можетъ быть рассматриваема, какъ сосредоточенная, равномерная, постоянная и т. п., какъ это сдѣлано выше, въ главѣ первой. Но въ данномъ вопросѣ преимущественное значеніе приобретаетъ нагрузка непрерывно распределенная, такъ какъ своды покрываются кромѣ слоя забутки еще и насыпью и съ непосредственной сосредоточенной нагрузкой на практикѣ не приходится имѣть дѣла. Непрерывно распределенная нагрузка, дѣйствующая на сводъ, складается изъ собственнаго вѣса свода, забутки и насыпи и кромѣ того изъ временной нагрузки. Нагрузка, дѣйствующая на сводъ, можетъ быть изображена грузовой площадью, которая опредѣлитъ собою, какъ величину нагрузки, такъ и законъ измѣненія величины этой нагрузки съ измѣненіемъ абсциссы  $x$ ; послѣднюю всегда будемъ отсчитывать отъ такой либо определенной точки слѣва направо. Въ изслѣдованіи сводовъ, непрерывно распределенная нагрузка уже не будетъ въ большинствѣ случаевъ равномерною и площадь этой нагрузки уже не будетъ прямоугольникомъ, почему здѣсь объ ней и упомянули. Вѣсъ добавочной (кромѣ собственнаго вѣса свода) нагрузки отъ забутки, насыпи и временной нагрузки приводится обыкновенно къ вѣсу кладки свода, какъ это дѣлалось и въ предыдущей главѣ, т. е. ордината площади нагрузки  $= \frac{\gamma}{T}$ , гдѣ  $\gamma$  вѣсъ кубической единицы матеріала свода а  $T$ , вѣсъ равномерно распределенной нагрузки на квадратную единицу, (въ томъ случаѣ если мы рассматриваемъ участокъ свода въ единицу длины).

Грузовую площадь рассматриваютъ при вертикально дѣйствующей нагрузкѣ, но кромѣ того на сводъ могутъ дѣйствовать и силы, имѣющія горизонтальную составляющую, напримѣръ давленіе насыпи, принимаемое во вниманіе въ подвѣсистыхъ сводахъ; въ пологихъ сводахъ обыкновенно принимаютъ во вниманіе лишь насыпь, соответствующую пролету свода и рассматриваютъ ее какъ нагрузку. Впрочемъ принятіе во вниманіе силъ, дѣйствующихъ на сводъ не вертикально, а наклонно, не представляетъ какихъ либо затрудненій въ изслѣдованіи равновѣсія свода.

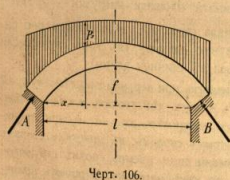
Необходимо остановиться еще на терминахъ, употребляемыхъ при изученіи сводовъ.

Вершина свода, т. е. верхній клинь свода называется замкомъ, нижніе клинья, соприкасающіеся съ опорами называются пятами. Расстояніе отъ уровня опоръ (или отъ хорды, стягивающей опредѣленныя точки въ опорахъ) до уровня нижней поверхности замковаго клина, или до определенной точки въ замкѣ называется подъемомъ свода, или стѣлкою подъема свода. Эту величину будемъ называть черезъ  $f$ . Расстояніе между

внутренними поверхностями пята, или между определенными точками пятавых швов называют пролетом свода, ее назовем через  $l$ . По величин отношения  $f$  к  $l$  подразделяют своды на подъяемые, когда  $\frac{f}{l} > \frac{1}{2}$  и пологие, когда это отношение  $< \frac{1}{2}$ . Затем по форм образующей кривой, своды называются полуциркульными (круговыми), эллиптическими, коробовыми, параболическими.

#### 48. Статическая определенность, сопротивление опор, горизонтальный распор.

Рассмотрим равновесие внешних сил, действующих на свод. При этом очевидно безразлично, будет ли свод состоять из клиньев, или представлять из себя сплошное тело. Внешние силы, действующие на свод будут: 1) равнодействующая собственного веса свода и веса нагрузки, изображенной на черт. 106 грузовой площадью; и 2) сопротивления опор  $A$  и  $B$ , приложенные к плоскостям пята и направленные или по нормальям к этим плоскостям, или отклоняющиеся от нормалей на углы не большие углов трения материалов пята и опор, в одну или другую сторону. Первая из

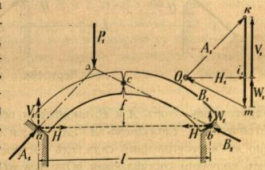


Черт. 106.

перечисленных сил задана, когда дан чертеж свода и известна нагрузка на него действующая, а силы  $A$  и  $B$  как силы пассивные, должны быть определены. Все перечисленные силы располагаются в одной плоскости—в плоскости симметрии рассматриваемого элемента свода, совмещенной с плоскостью чертежа. Для исследования равновесия сил на плоскости мы располагаем тремя условными уравнениями. Число неизвестных, которых требуется определить для решения  $2 \cdot 3 = 6$ , так как сила определяется тремя элементами: величиной точкою приложением, и направлением. Итак трех уравнений статик недостаточно для определения всех неизвестных и задача будет  $(6 - 3 = 3)$  трижды статически неопределимой. Поэтому для исследования сводов при помощи статик сооружений, задают две точки приложения сопротивлений опор и еще одну точку в своде. Такое задание дается или в действительности, т. е. выполняется при помощи конструктивных мѣръ, заменяя пятавые и обыкновенно зам-

ковый швы шарнирами \*) и вследствие этого заменяя соприкосновение по плоскости соприкосновением в точкѣ (или линии)—или эти точки задаются лишь фиктивно, т. е. дѣлаются известными предположения о точках приложения опор и третьей определенной точкѣ, на основании известных соображений. В таком случае очевидно решение задачи уже не будет математически правильным и потому статическая теория сводов без шарниров или с числом шарниров меньшим трех есть теория приближенная. Для точного решения вопроса, необходимо добавление уравнений, характеризующих деформацию свода. Такое решение вопроса помимо своей сложности, не всегда может быть признано правильным, ввиду значительной неоднородности и даже изменчивости материала свода.

Когда три точки в своде заданы, то сопротивления опор находятся весьма просто, разложив на две пересѣкающихся составляющих, т. е. построением треугольника сил. Пусть напр. на свод с тремя шарнирами действует одна сила  $P$ , лѣвое шарниров  $c$  и  $b$ , и эти сопротивления могут взаимно уравновешиваться лишь в том случае, если будут между собою равны и направлены по прямой  $bc$ . Поэтому одна из составляющих на которую разложится сила  $P$ , для уравновешивания с сопротивлениями опор, будет направлена по  $cb$ , а следовательно направление другой определится линией  $as$ , так как для равновесия трех сил, онѣ должны пересѣкаться в одной точкѣ. Величина сил  $A$  и  $B$  определится из треугольника сил  $kmO$ . Точку  $O$ , можно принять за полюс, а  $mO$  и  $nO$  будут лучи, тогда  $as, b$  будет веревочный многоугольник, построенный на силѣ  $P$ . Полные сопротивления опор  $A_1$  и  $B_1$  можно разложить на вертикальные и горизонтальные составляющие, для чего в треугольник сил  $mkO$ , проведем горизонтальную линию из вершины  $O$ . Эта линия  $i_1O_1$  будет также полюсным расстоянием для веревочного многоугольника  $as, b$ . Вертикальные составля-



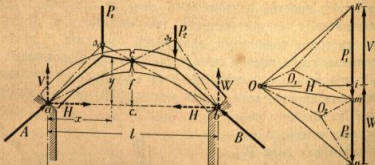
Черт. 107.

\*) Шарнирным, соединеніе двух тѣлъ называется тогда, когда два связанных подвижнымъ образомъ или лишь опирающихся тѣла, соприкасаются между собою—или при посредствѣ третьего тѣла—(напр. цапфа) по кривой поверхности, или по линии (напр. опирающаяся на ребро призма).



ция будут: для левой опоры  $V_1 = ki_1$ , а для правой— $W_1 = i_1 m$ ; горизонтальная составляющая, называемая распором свода будет  $O_1 i_1 = H$ .

Если мы теперь вообразим что и на правую часть свода действует некоторая сила  $P_2$ , черт. 108, то такой случай можно рассматривать, как общий случай нагрузки, ибо всегда активные силы, действующие на каждый полусвод можно заменить равнодействующими. Сопротивления опор, вызываемая силой  $P_2$  найдем, как указано выше, построив треугольник на силе  $P_2$  и определив полюс  $O_2$  из условия, что лучи  $mO_2 \parallel s_2 a$ , и  $nO_2 \parallel s_2 b$  и найдем, как только что указано, сопротивления опор  $A_2$  и  $B_2$ , а также горизонтальный распор  $H_2$  и вертикальные составляющие  $V_2$  и  $W_2$ . Полная



Черт. 108.

сопротивления опор  $A$  и  $B$ , вызываемы обоими грузами найдем геометрическим сложением  $A = A_1 + A_2$  и  $B = B_1 + B_2$ . Это произведено в многоугольнике сил, где построены  $\triangle kO_1O$  и  $\triangle nO_2O$ , причём получены составляющие  $kO = A$  и  $nO = B$  и полюс  $O$ . Из построения следует, что полюс  $O$  определяется построением параллелограмма  $O_1 m O_2 O$ . Полюсу  $O$  соответствует полное расстояние  $H$ .

Полное расстояние для веревочного многоугольника, построенного на силах  $P_1$  и  $P_2$  и проходящего через точки  $a$ ,  $b$  и  $c$ , представить собою величину горизонтального распора, вызываемого совокупностью сил  $P_1$  и  $P_2$ . Вертикальные составляющие будут  $V = ki$  и  $W = im$ .

Что веревочный многоугольник, построенный по лучам  $Ok$ ,  $Om$  и  $On$  и проходящий через точку  $a$ , пройдет и через точки  $b$  и  $c$ , было доказано в курск Статике ч. I стр. 50 и 51.

Весьма просто величины  $V$ ,  $W$  и  $H$  определить и численно

Теперь представим себе, что силы  $P_1$  и  $P_2$  действуют на воображаемую балку  $ab$ . Тогда силы  $V$  и  $W$  найдем, как указано в

главѣ I, по формулѣ (2). Затѣм составим выраженіем изгибающаго момента, какъ для простой балки:

$$M = Hy, \quad (84)$$

гдѣ  $y$  ордината многоугольника моментовъ, нами только что построеннаго и имѣющаго замыкающимъ бокомъ линію  $ab$ . Чтобы воспользоваться этимъ выраженіемъ независимо отъ чертежа веревочнаго многоугольника, определимъ величину  $M$  для точки  $c$ , лежащей на вертикали средняго шарнира. Для этой точки ордината  $y$  обращается въ  $cc_1 = f$  и известна заранѣе. Такимъ образомъ найдемъ

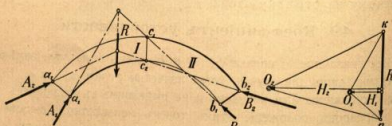
$$H = \frac{M_c}{f}. \quad (85)$$

Итакъ, величина горизонтальнаго распора равна изгибающему моменту, определенному какъ для простой балки, относительно сѣченія, проходящаго черезъ данную въ замкѣ точку, дѣленному на стрѣлку свода.

#### 49. Коэффициентъ устойчивости.

Все сказанное о силахъ  $A$ ,  $B$  и  $H$ , какъ было уже замѣчено, справедливо лишь для случая, когда известны точки  $a$ ,  $b$  и  $c$ . Но въ сводѣ, состоящемъ изъ клинцевъ и не имѣющимъ въ указанныхъ точкахъ шарнировъ, положеніе этихъ точекъ неизвѣстно. Точками  $a$  и  $b$  можетъ быть принята не только въ произвольномъ мѣстѣ шва, но и положеніе шва, въ которомъ слѣдуетъ предположить точку  $c$ , заранѣе неизвѣстно. Такимъ образомъ, для безшарнирнаго свода можетъ быть бесчисленное множество равновѣсныхъ состояній. Чтобы ограничить нѣсколько неопредѣленность задачи, можно прибѣгнуть къ слѣдующимъ соображеніямъ. При обрушеніи свода онъ раздѣлится на части. Такихъ частей будетъ во всякомъ случаѣ не меньше двухъ; между этими частями и неподвижными опорами будетъ три раскрывшіеся шва, наконецъ, въ моментъ раскрытія этихъ швовъ, касаніе между двумя частями свода и опорами произойдетъ въ трехъ точкахъ: по одной въ каждомъ изъ пятыхъ швовъ и третья въ среднемъ изъ раскрывшихся швовъ. Послѣдній шовъ будетъ гдѣ либо близъ середины пролета. Если имѣемъ дѣло съ симметричнымъ сводомъ, нагруженнымъ также симметрично, то естественно принять замковый шовъ за наиболее вѣроятный шовъ разрушенія, если же сводъ не симметриченъ или нагрузка не симметрична, то точныхъ указаній дать нельзя. Этотъ средній, изъ раскрывающихся въ предѣльный моментъ равновѣсія, шовъ назовемъ главнымъ швомъ разрушенія.

Изложенное ясно из чертежа 109. Пусть равнодействующая внешних сил будет сила  $R$ , действующая на левую часть свода I, отдаленную от правой части II главным швом разрушения  $c_1c_2$ . На часть II действуют лишь сопротивление правой опоры  $B$ . Если сила  $B$  перескажет шов  $c_1c_2$ , то часть II может быть в равновесии, но если сила  $B$  пройдет вне шва  $c_1c_2$ , то произойдет вращение части II вокруг одного из ребер  $c_1$  или  $c_2$ , смотря потому, с какой стороны прошла сила  $B$ . В тот момент, когда сопротивление опоры  $B$  пройдет непосредственно выше  $c_1$ , произойдет раскрытие шва  $c_1c_2$  с нижней стороны и в тот же момент левые швы раскроются снаружи и произойдет обрушение свода внутрь. Предельному равновесному состоянию в этом случае будут соответствовать сопротивления опор  $B_1$  и  $A_1$ . Наоборот, в предельный момент равновесия свода, перед его опрокидыванием наружу, будут сопротивления опор  $A_2$  и  $B_2$ . Между этими предельными значениями сопротивлений опор может заключаться бесчисленное мно-



Черт. 109.

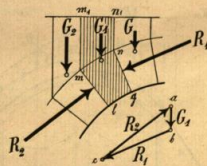
жество значений  $A$  и  $B$ ; всё лучи, соответствующие в треугольнике сил этим промежуточным значениям сопротивлений опор, будут заключены внутри площади  $knO_1O_2$ . Чем величина этой площади (при данном значении  $B$ ) больше, тем устойчивее будет свод. Значения  $A_1$  и  $B_1$  соответствуют величине горизонтального распора  $H_1$ , а значения  $A_2$ ,  $B_2$ , распору  $H_2$ . При этом, при опрокидывании свода внутрь, будет  $H_1 = \text{minimum } H$ , а при опрокидывании наружу  $H_2 = \text{maximum } H$ . О степени устойчивости свода можно судить по величине отношения  $H$  max к  $H$  min. Такое отношение называют коэффициентом устойчивости свода. Впрочем в настоящее время это понятие утратило свое значение, так как величины  $H$  max и  $H$  min находятся различным образом и тогда очевидно и коэффициент устойчивости не есть величина определенная. Например, некоторые исследователи совершенно не рассматривают точки  $c_2$  и предполагают, что давление части II на I всегда происходит в верхней части шва  $c_1c_2$ . Тогда предельные значения для  $A$  и  $B$  будут иныя,

и отношение  $H$  max к  $H$  min также изменится. Далее, если принять во внимание свойства материалов, то не всякое из положений сил  $A$  и  $B$ , заключающихся между предельными значениями  $A_1$ ,  $A_2$  и  $B_1$ ,  $B_2$  безопасно для свода. Если материал свода не допускает вытягивающих напряжений, то точки приложения сил, действующих на швы должны заключаться в средней трети швов (см. сопротивление материалов). При таком условии получим новые предельные значения для  $A$ ,  $B$  и для  $H$  min. и  $H$  max.

50. Кривая давлений.

До сих пор мы рассматривали равновесие свода в его целом и интересовались лишь давлениями в трех швах свода. Теперь посмотрим, каким образом можно всего нагляднее определить давление в любом шве свода. Для этого рассмотрим равновесие отдельного клина в своде. Выделим один из клиньев, напр. клин  $mtlg$  и изследуем условия его равновесия. На этот клин действуют следующие силы:

1. Давление непрерывно распределенной нагрузки, приходящейся на этот клин. Величина этой нагрузки определится грузовой площадью  $mtm_1n_1$ .
2. Собственный вес клина, определяемый грузовой площадью  $mtlg$ . Об эти силы вертикальны и равнодействующая их  $G_1$  пройдет через общий центр тяжести площадей  $mtm_1n_1$  и  $mtlg$ , если только непрерывная нагрузка приведена к весу кладки свода.
3. Давление на шов  $nl$ , или что тоже — действие левого клина на рассматриваемый. Это давление заменим равнодействующей  $R_2$ .
4. Давление на шов  $ml$ , или действие правого клина на рассматриваемый. Это давление выразим равнодействующей  $R_1$ .



Черт. 110.

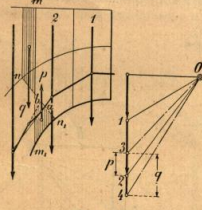
Три силы  $R_1$ ,  $R_2$  и  $G_1$ , как лежащая в одной плоскости, должны пересекаться в одной точке и многоугольник сил, на них построенный, должен быть сомкнутый. Положим, что сила  $R_1$  дана, как по величине, так и по течению. Тогда сила  $R_2$  определится помощью треугольника сил; затем, переходя к исследованию следующего (левого клина), мы подобно предыдущему будем знать

тяжести каждого клина и к каждому из них приложим вѣсь соответствующаго клина. На многоугольникъ силу отложимъ отъ точки  $d$  внизъ въ порядкѣ силы  $g_1, g_2, g_3$  и  $g_4$  и проведемъ  $eo \parallel as$ , а затѣмъ остальные лучи. Наконецъ черезъ точку  $e$  проведемъ веревочный многоугольникъ, послѣдняя сторона котораго должна пройти черезъ точку  $a$ . Этотъ многоугольникъ и будетъ многоугольникомъ давленій въ сводѣ.

Чтобы не затемнять чертежа, веревочный многоугольникъ можно строить сначала отдѣльно внизу, а затѣмъ перенести параллельно самому себѣ такъ, чтобы бокъ  $l$  прошелъ черезъ точку приложенія горизонтальнаго распора.

Если бы на сводѣ дѣйствовала добавочная нагрузка, то послѣ приведенія ея къ вѣсу кладки свода, раздѣлили бы на отдѣльныя части (клинья) сводъ съ вышележащей нагрузкой. Обыкновенно въ этомъ случаѣ принимаютъ швы вертикальными, что облегчаетъ нахождение общаго центра тяжести каждая участка, клина и грузовой площади. (По способу 5, ч. I, стр. 113, 114).

Въ дѣйствительности для расчета свода необходимо знать давленіе не на вертикальные швы, а на наклонные. Для перехода отъ давленія на вертикальный шовъ  $mn$ , къ давленію на дѣйствительный шовъ  $m_1n_1$ , какъ видно изъ чертежа 113, необходимо изъ давленія на вертикальный шовъ вычесть силу  $p$ , равную вѣсу треугольной призмы съ основаніемъ  $m, n, b$  и прибавить  $q$  вѣсъ призмы  $m_1n_1b$ . Для этого въ многоугольникъ силу отъ точки 2, конца силы 2, откладываемъ вверхъ отръзокъ 2—3, равный силѣ  $p$  и отъ точки 3 внизъ отръзокъ 3—4, изображающій силу  $q$ ; изъ точки 3 и 4 проводимъ къ полюсу лучи 3—0 и



Черт. 113.

4—0; остается исправить построеніе веревочнаго многоугольника, включивъ въ многоугольникъ силу силы  $p$  и  $q$ . Лучъ 4—0 опредѣлитъ величину и направленіе и точку приложенія  $b$  давленія на шовъ  $m_1n_1$ .

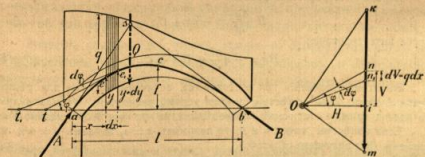
Пользуясь однако многоугольникомъ давленій для опредѣленія давленій въ сѣченихъ, проведенныхъ между двумя сосѣдними швами, мы уже не получаемъ непосредственно величины давленія въ сводѣ, а потому очевидно, что точность всей задачи зависитъ отъ числа клиньевъ, которое было принято при построеніи многоугольника давленій. При безграничномъ числѣ клиньевъ, многоугольникъ давленій обратится въ кривую линію, касательную къ многоугольнику давленій,

причемъ точки касанія расположены на вертикаляхъ участковъ, на которые была подраздѣлена грузовая площадь. Это было доказано на стр. 46. Такая кривая, соединяющая точки приложенія давленій въ швахъ свода, называется **кривою давленій** или **линіею давленій** въ сводѣ.

Когда построена кривая давленій, то направленіе давленія въ любомъ швѣ свода опредѣлится касательной къ кривой давленія въ точкѣ пересѣченія этой кривой съ даннымъ швомъ, а величина давленія опредѣлится, когда въ многоугольникъ силу проведемъ лучъ, параллельный построенной касательной.

Постоянне кривой давленія, какъ касательной къ многоугольнику давленій всегда проще и быстрее чѣмъ ея опредѣленіе аналитическимъ путемъ, такъ какъ въ послѣднемъ случаѣ приходится имѣть дѣло съ дифференціальнымъ уравненіемъ, которое не всегда можно представить въ конечномъ видѣ.

Уравненіе кривой давленія должно связывать между собою величины  $x, y$ , абсциссу и ординату линіи давленій и  $q = f(x)$ , т. е. нагрузку на погонную единицу пролета свода. Пусть эта зависимость выражается иѣкоторою грузовой площадью, какъ на черт. 114. Построимъ равнодѣйствующую всей нагрузкѣ въ видѣ многоугольника силъ, который выразится иѣкоторою прямою  $km = Q$ , такъ какъ нагрузка дѣйствуетъ вертикально. Выберемъ полюсъ  $O$  при полномъ разстояніи  $H$ .



Черт. 114.

Этотъ полюсъ опредѣлится если мы изъ точки  $m$  проведемъ лучъ  $mO$  параллельно касательной  $ba$  и изъ точки  $k$  лучъ  $kO$ , параллельно касательной  $as$ , такъ какъ эти касательныя опредѣляютъ положеніе равнодѣйствующей  $Q$ . Абсцисса  $x$  и ордината  $y$  соответствуютъ точка  $e$  кривой давленія. Направленіе давленія въ этой точкѣ опредѣлится касательной  $et$ ; пусть эта касательная составляетъ уголъ  $\varphi$  съ горизонтомъ. Величина этой силы найдетъ, когда проведемъ лучъ  $oO = H$  подъ угломъ  $\varphi$  къ горизонту. Силу  $H$  разложимъ на составляющія  $V$  и  $H$ , тогда найдемъ

$$\operatorname{tg} \varphi = \frac{V}{H}.$$

Теперь определим такую точку  $e$ , кривой давления, которая соответствует абсциссе  $x + dx$ . Касательная в точку  $e_1$  образует с касательной в точку  $e$  угол  $d\varphi$ . Построим луч, параллельный этой касательной. Из дифференциального исчисления имеем:  $tg \varphi = \frac{dy}{dx}$ , следовательно

$$\frac{dy}{dx} = \frac{Y}{H}.$$

Для получения  $d(tg \varphi)$  надо это выражение продифференцировать

$$d \left( \frac{dy}{dx} \right) = d \left( \frac{Y}{H} \right).$$

Здесь величина  $H$  постоянная, а  $dY$  есть величина нагрузки, приходящейся на элемент свода  $ee_1$  и равна заштрихованной площадке, т. е.  $dY = -q dx$ . Знак — определяется течением силы  $dY$ . Перенес  $H$  в левую часть,

$$H d \left( \frac{dy}{dx} \right) = -q dx,$$

а по разделению на  $dx$ ,

$$H \frac{d^2y}{dx^2} = -q. \quad (86)$$

это есть дифференциальное уравнение кривой давления. Когда  $q$  задано в функции от  $x$ , то после двойного интегрирования, найдем уравнение кривой давления в конечном виде, если только входящие при интегрировании произвольные постоянные могут быть определены.

Для случая когда величина  $q$  постоянна, задача доводится до конца весьма просто.

Первое интегрирование дает:

$$H \frac{dy}{dx} = -qx + C_1;$$

второе интегрирование:

$$Hy = -q \frac{x^2}{2} + C_1x + C_2. \quad (87)$$

В этом уравнении три постоянных величины, которые для решения задачи должны быть известны помимо условий равновесия. Отсюда видим, что задача трижды статически неопределима, на что уже было указано выше.

Если известны точки  $a$  и  $b$ , то положив  $x = 0$ , найдем  $y = 0$  и из уравнения (87) получаем  $C_2 = 0$ .

Когда  $x = l$  то  $y = 0$  и то же уравнение даст:

$$C_1 = \frac{ql}{2}.$$

Уравнение кривой давления, которое в этом случае есть парабола, можно представить в виде:

$$y = \frac{q}{2H} (lx - x^2). \quad (88)$$

Величина  $y$  будет определена когда задана и третья постоянная — точка кривой давления, напр. когда известна стрелка подъема  $f$ . В этом случае, если положить  $y = f$ , при  $x = \frac{l}{2}$ , найдем

$$H = \frac{qf^2}{8f}. \quad (89)$$

и ординаты кривой давлений определяются из выражения

$$y = H \int_1^f \left( x - \frac{x^2}{l} \right) \quad (90)$$

Когда положение трех точек  $a$ ,  $b$  и  $c$  в своде не задано, т. е. в своде не имеется трех шарниров, то каждому равновесному состоянию свода соответствует некоторая кривая давления. Таким образом в своде можно построить бесчисленное множество кривых давлений, удовлетворяющих условиям равновесия. Все такие кривые должны обладать следующими свойствами.

1. Все кривые давления должны заключаться в толще свода, т. е. кривая давления ни в одной точке не должна пересекать образующих свода.

2. Касательная к кривой давления должна составлять с нормалью к любому шву угол, меньший угла трения.

Нарушение первого условия влечет за собою опрокидывание клиньев свода вокруг ребра, соответствующего точке пересечения кривой давления с образующей; это было уже указано выше (49); Если же давление в каком либо шве свода составляет с нормалью к этому шву угол больший угла трения, т. е. когда не соблюдено второе из перечисленных условий, то произойдет скольжение смежных клиньев друг по другу. Этими двумя условиями и исчерпываются статические требования, предъявляемые к начертанию той или другой из произвольного числа кривых в своде.

Значения предельных углов трения и соответствующих им коэффициентов трения, для различных материалов и состояний их поверхности соприкосновения, сведены в нижеприводимой таблице. При этом данные в этой таблице лишь круглые, так как точность в данном случае не имеет значения.

Таблица коэффициентов и углов трения материалов кладки сводов.

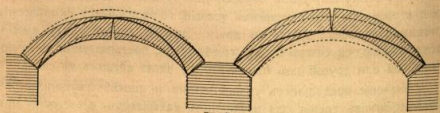
Материал клиньев.	Состояние их поверхностей.	$f = tg \varphi$	$\varphi$
Гранит	Гладкая поверхность по грубоотес	0,65	33°
	Поверхность связана раствором	0,50	26°
Известняк	Чистоотесанная сухая	0,60	30°
	Грубоотесанная "	0,80	38°
Песчаник	Чистоотесанная "	0,70	35°
	" " с раствором	0,65	33°
Бутовый камень по глинян.	Сухая "	0,50	27°
	Размягченный водою грунт	0,33	19°

### 51. Главныя кривыя давленія.

Изъ всевозможныхъ кривыхъ давленій въ сводѣ, для его расчета и для расчета опоръ, имѣютъ особое значеніе три кривыя: кривая давленія, соответствующая наименьшему и наибольшему горизонтальному распору, или кривыя наименьшихъ и кривыя наибольшихъ давленій, а въ статистически неопредѣленномъ сводѣ и вѣроятная кривая давленій, т. е. та, которая отвѣчаетъ дѣйствительному равновѣсному состоянію свода. Эти три кривыя въ бесшарниромъ сводѣ проводятся различными специалистами различнымъ образомъ. Поэтому не обходимо упомянуть хотя бы нѣсколько словъ о главнѣйшихъ указаніяхъ, служащихъ для построения этихъ линий, а затѣмъ остановимся на одномъ изъ нихъ.

О наибольшемъ и наименьшемъ распорахъ уже упомянуто выше. Поэтому на основаніи чисто геометрическихъ соображеній можно замѣтить что:

Кривая наименьшихъ давленій проходитъ черезъ верхнее ребро въ замкѣ и черезъ нижнее въ пятѣ и служитъ предѣльнымъ положеніемъ кривой давленія передъ его опрокидываніемъ внутрь и кривая



Черт. 115.

наибольшихъ давленій проходитъ черезъ нижнее ребро въ замкѣ и черезъ верхнее въ пятѣ и есть предѣльное положеніе кривой давленія передъ его опрокидываніемъ наружу.

Такое положеніе предѣльныхъ кривыхъ давленій даетъ весьма широкія предѣлы для возможныхъ равновѣсныхъ состояній свода; при такихъ условіяхъ коэффициентъ устойчивости, повѣряемаго расчетомъ свода будетъ всегда весьма значительнымъ.

Если принять указанное положеніе предѣльныхъ кривыхъ давленія, то о положеніи вѣроятной кривой давленія сказать ничего нельзя. Можно только быть увѣреннымъ, что она будетъ лежать между указанными предѣльными значеніями и самое простое взять для этого среднее положеніе, т. е. принять такую величину горизонтального распора, при которой кривая давленій будетъ наименѣе всего отклоняться отъ оси свода; полученная кривая и будетъ, вѣроятно, кривою

давленія. Это положеніе было подтверждено Винклеромъ—доказательствомъ, выведеннымъ при условіи незначительной толщины свода въ сравненіи съ пролетомъ. Многие (преимущественно въ Германіи) инженеры придерживаются такого начертанія вѣроятной кривой давленія и до сихъ поръ, т. е. проводятъ кривую давленія черезъ середины замкового и пятового швовъ.

Впервые опредѣленный взглядъ на положеніе кривой давленія въ сводѣ былъ высказанъ англійскимъ инженеромъ Мозелеемъ въ 1837 г. Его теорія, распространенная въ Германіи Шеффлеромъ: «принципъ наименьшихъ сопротивленій», давала, казалось, опредѣленный отвѣтъ на положеніе дѣйствительной кривой давленія. Сущность соображеній этой теоріи относительно точки приложенія и величины горизонтального распора заключается въ слѣдующемъ:

Разсмотримъ равновѣсіе полу свода. Если мы къ замковому шву будемъ прикладывать нѣкоторую силу  $H$ —горизонтальный распоръ, возрастающую отъ нуля, то полу сводъ до тѣхъ поръ не будетъ уравновѣженъ, пока сила  $H$  не достигнетъ наименьшей возможной величины горизонтального распора; это будетъ та величина при которой кривая давленія касается верхняго ребра въ замкѣ и нижняго въ пятѣ, т. е. то, что выше названо  $H_{\min}$ . Полу сводъ начнетъ опрокидываться внаружу при такомъ наименьшемъ изъ возможныхъ распоровъ, которому соответствуетъ кривая давленія, приложенная въ той же верхней точкѣ замка и касающаяся верхняго же ребра въ пятѣ. Теорія Мозелейя (Шеффлера) въ настоящее время совершенно оставлена, и если здѣсь о ней упомянуто, то только потому, что еще и въ самое послѣднее время нѣкоторые инженеры проводили объ предѣльныхъ кривыхъ давленія черезъ верхнее ребро въ замкѣ. При этомъ способѣ разннца въ  $H_{\min}$  и  $H_{\max}$  меньше чѣмъ при проведеніи  $H_{\max}$  черезъ нижнее ребро замка и потому для достиженія опредѣленной величины коэффициента устойчивости, каковой обыкновенно колеблется въ предѣлахъ 1,25—2, требуется большая толщина свода, т. е. такой способъ служить въ пользу устойчивости свода.

Принципъ наименьшихъ сопротивленій пытался разрѣшить задачу, исходя изъ положенія объ абсолютной твердости клинѣвъ свода. Въ дѣйствительности это не имѣетъ мѣста и, при созданіи теоріи о положеніи кривой давленія, надо считаться съ данными сопротивленія матеріаловъ.

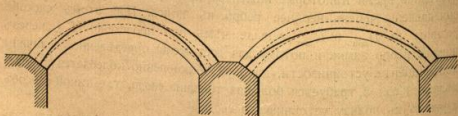
Если клинья свода и представляютъ изъ себя матеріалъ значительной твердости, то промежутки между ними—швы, заполняются матеріаломъ или весьма малой твердости, или во всякомъ случаѣ твердости незначительной. Поэтому ни одна изъ кривыхъ давленія въ дѣйствительности не можетъ касаться верхнихъ или

нижних ребер клиньев. Действительно, проще всего принять что напряжения в ребрах клина следуют линейному закону, т. е. распределяются по закону Бернулли (Навье), а тогда, как известно, при эксцентричном действии нормальной к сечению, т. е. к шву силы (когда кривая давления не проходит через середину шва) возможно появление вытягивающих напряжений, (45, 53), а таких напряжений материал, заполняющий швы свода, не выдерживает, или напряжения могут быть лишь весьма малы. Если кривая давления приближается к одному из наружных ребер свода, напряжения в нем значительно возрастают и когда кривая коснется этого ребра, то напряжения будут бесконечно большими. Другими словами материал, заполняющий шов свода, сожмется и следовательно кривая давления сейчас же отойдет от наружного ребра внутрь. Далее, на том же основании, как только кривая давления выйдет из ядра сечения, т. е. из средней трети свода, в противоположной крайней точке шва должна появиться трещина. Из этих соображений вытекает важное заключение для сводов, построенных из материалов, в которых не допускается вытягивающих напряжений:

3. Все кривые давлений должны заключаться в средней трети свода.

Это правило должно быть прибавлено к первым двум указанным на стр. 159, для начертания кривой давления, почему и помечено цифрой 3.

Таким образом предельное положение кривых давлений в бесшарнирном своде соответствует чертежу 116. Линия наиболь-



Черт. 116.

ших давлений будет самой плоской, а линия наименьших давлений самой выпуклой из кривых давлений, начерченных в средней трети свода.

Теперь, для положения вбройной кривой давления, имеем больше данные предель. Правило германских инженеров, для начертания кривой давления, упрощает расчет, но существуют соображения по которым такую вбройную кривую следует проводить несколько иным образом, причем получается большая обезпеченность в прочности свода, поэтому этот способ и принять в дальнейшем

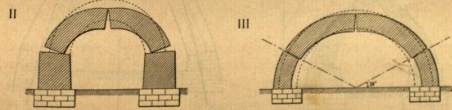
изложить. Основанием для начертания вбройной кривой давления служат видимая деформация сводов и наблюдение над их разрушением. При раскружаливании сводов, как известно, происходит их оседание,

обусловливаемое сжатием еще не вполне отвердевших швов. Если бы действительная (вбройная) кривая давлений совпала с осью свода, или от нее мало бы отклонялась, то сжатие всех швов было бы одинаковым. В действительности этого не наблюдается. Средняя часть свода понижается всего больше, причем наиболее всего сжимаются верхние швы снаружи. Затем весьма часто появляются видимые трещины вблизи наружной поверхности свода на высоте  $\frac{1}{3} - \frac{1}{2}$ , считая от пят, наконец пятые швы также сжимаются замбтным образом. Таким образом картина сжатия швов может быть ясно усмотрена из чертежа 117.

Из него следует, что кривая давления отклоняется от оси свода в замк и между пятами и замком.

Наблюдение над разрушением сводов вполне подтверждают это положение. Типичные случаи разрушения сводов представлены на чертежах 118.

В полуциркульных сводах разрушение происходит чаще всего так: верхняя часть свода опускается вниз, взаимно упираясь

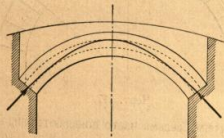


Черт. 118.

у верхней точки замка и вращаясь около внутренних ребер боковых швов, открывающихся наружу; швы эти соответствуют цен-

тральному углу около  $120^\circ$ . В других случаях происходит часто скольжение средней части вниз, вдоль боковых швов (III), причем нижняя часть свода опрокидывается наружу, вращаясь около ребра пяты. Иногда части свода опрокидываются внутрь, причем раскрывается замковый шов, а пяты или опоры скользят наружу (II).

Изложенные наблюдения показывают, что опасными швами (швами разрушения) следует признать швы замковый, пятовый и средний. А так как выше уже было замечено, что выход кривой давления из ядра сечения обуславливает собою появление трещин,

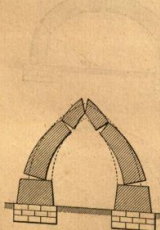


Черт. 119.

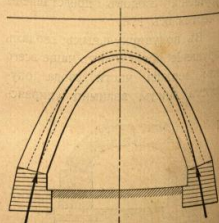
то следует признать, что вьюрчатая кривая в швах разрушения касается средней трети свода; при этом в замк она стремится выйти наружу, а в среднем шве разрушения, который назовем швом перелома — внутрь.

Черт. 119.

Сказанное не относится к готическим или подъямистым параболическим сводам, в особенности, когда они подвержены боковым давлениям, напр., давлениям от насыпи, если над самим сводом толщина этой насыпи незначительна. В этом случае замковый шов может раскрыться наружу, а шов перелома, внутрь как указано на черт. 120.



Черт. 120



Черт. 121.

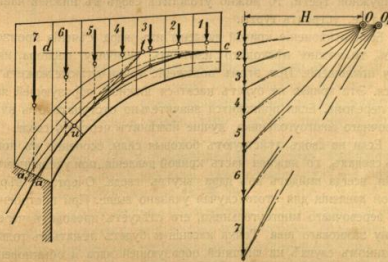
Поэтому кривая давления соответствует чертежу 121.

## 52. Построение вьюрчатой кривой давления.

Общее правило для построения вьюрчатой кривой давления заключается в следующем. Первоначально строят на данной грузовой площадке первый веревочный многоугольник, при произвольном полюсе. Изучение фигуры этого многоугольника (т. е. и кривой давления, ему соответствующей), отклоняющейся более или менее от кривой, характеризующей очертание свода, дает указания на положение вьюрчатых швов разрушения. Остается согласно этим данным выбрать на линиях, ограничивающих ядро сечения (т. е. среднюю треть) несколько точек и через них провести второй веревочный многоугольник — по которому и получим вьюрчатую кривую давлений. Таких точек, соответствующих швам разрушения необходимо выбрать три, и тогда положение вьюрчатой кривой давления определено, ибо через три точки можно провести лишь один веревочный многоугольник, соответствующий данным силам.

### 1. Симметричный свод с симметричной нагрузкой.

Разматривается равновесие полусвода. Первый бок первого веревочного многоугольника, проводится горизонтально, т. е. представляет собою горизонтальный распор и точка приложения совпадает



Черт. 122.

с верхней гранью ядра сечения, т. е. бок 1 проходит через точку  $c$ . Пусть выбранному горизонтальному распору соответствует полюс  $O$ . Разматривая полученный веревочный многоугольник, замечаем, что

къ нижней образующей средней трети свода, ближе всего подходит бокъ VI, (бока названы нумерами силъ ограничивающихъ бока слева а въ многоугольникъ силъ тѣми же нумерами должны называться лучи, ограничивающіе силы сверху). Поэтому въроятнѣе всего, что при соответственномъ измѣненіи полюснаго разстоянія, т. е. въ данномъ случаѣ при уменьшеніи  $H_1$  этотъ бокъ VI, будетъ первымъ, который коснется нижней образующей ядра \*). Продолживъ бокъ VI до пересѣченія съ горизонтальною  $cd$ , совпадающей съ направлениемъ бока I, найдемъ точку  $t$ ; изъ этой точки проведемъ къ нижней образующей ядра касательную  $tu$ . Точка  $u$  опредѣлитъ собою положеніе шва перелома, а касательная  $tu$  покажетъ истинное направленіе бока VI, соответствующее искомой въроятной кривой давленія. Остается найти новое положеніе полюса и ему соответствующій горизонтальный распоръ. Для этого въ многоугольникъ силъ слѣдуетъ измѣнить направленіе луча  $O_1-6$ , на  $O-6$ , причемъ въ пересѣченіи съ горизонтальною получимъ новый полюсъ  $O$  и искомый горизонтальный распоръ  $H$ . Указанное построеніе снова на теоремѣ о перемѣщеніи полюса. (I, стр. 49).

Если нижняя часть кривой давленія значительно выйдетъ изъ средней трети свода, то можно принять конструктивныя мѣры, или приличнымъ образомъ измѣнить начертаніе свода.

Напр., если послѣдній бокъ, т. е. сопротивление опоры пройдетъ въ наружной трети, то можно утолстить сводъ въ нижней части снаружи, т. е. устроить гурты.

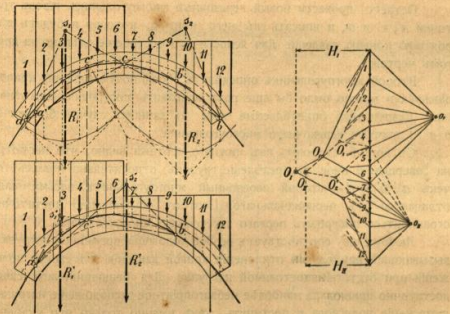
Если отклоненіе кривой давленія изъ ядра сѣченія произойдетъ внутри, то можно нѣсколько измѣнить величину распора, или его точку приложенія. При этомъ положеніе точки  $u$  также можетъ измѣниться. Эта кривая не будетъ касаться нижней образующей ядра въ швъ перелома. Если приходится значительно отступать отъ второго веревочнаго многоугольника, лучше измѣнить чертежъ свода.

Если на сводъ дѣйствуютъ боковые силы, особенно въ повышенныхъ сводахъ, то нижняя часть кривой давленія, при указанномъ построеніи, всегда выйдетъ изъ ядра внутрь свода. Очертаніе въроятной кривой давленія для этого случая указано выше. При построеніи перваго веревочнаго многоугольника, его слѣдуетъ проводить черезъ середину замковаго шва. Точка касанія  $u$  будетъ лежать въ только что указанномъ случаѣ на внѣшней образующей ядра и обыкновенно выше. Можетъ оказаться, что для вмѣщенія кривой давленія въ среднюю треть свода, ее придется провести въ замкъ даже ближе къ нижней образующей ядра.

\*) Нижней и верхней образующими ядра будемъ условно называть дуги, выдѣляющія среднюю треть свода.

## II. Односторонняя нагрузка симметричнаго свода.

Самымъ невыгоднымъ случаемъ несимметричной нагрузки можно считать загрузку одного полу свода; тогда кривая давленія наиболее отклоняется отъ своего нормальнаго положенія. Въ этомъ случаѣ замковый шовъ уже не будетъ главнымъ швомъ разрушенія, такъ какъ



Черт. 123.

вершина кривой давленія отклонится отъ оси свода въ сторону нагруженной части. Это видно изъ черт. 123. Положеніе вершины кривой давленія опредѣлится если первый веревочный многоугольникъ построить черезъ три симметричныя точки, напр. черезъ середину и подошвы геометрической оси свода.

Пусть на черт. 123 загрузенъ лѣвый полу сводъ. Раздѣливъ весь сводъ на участки и опредѣливъ силы, дѣйствующія на каждый участокъ, далѣе поступаемъ какъ указано въ № 50.

Изъ рассмотрѣннаго чертежа 123 находимъ, что положеніе вершины въроятной кривой давленія должно соответствовать боку \*) 6 перваго веревочнаго многоугольника; далѣе бокъ 5 наиболее приближается къ верхней образующей ядра. Затѣмъ бокъ 10 наиболее приближается къ нижней образующей ядра. Такимъ образомъ положеніе вѣрно шовъ разрушенія выяснилось и въроятную кривую слѣдуетъ провести черезъ точки  $b'$  и  $c'$ . Что касается до третьей точки, то ее надо предпо-

\*) Номеръ бока назвать номеромъ груза ограничивающаго бокъ справа.



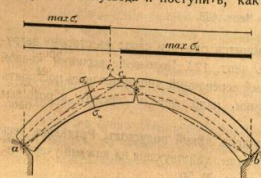
жить в среднем шве перелома лѣваго полу свода и если имѣем дѣло съ не слишкомъ подъемистымъ сводомъ, то этотъ шовъ будетъ весьма близокъ къ пятѣ свода; такъ что третью точку можно выбрать въ пятовомъ шве, на нижней образующей ядра. Въ данномъ случаѣ взята точка  $a'$ . Въ подъемистомъ сводѣ эта точка поднимется выше и можно ее опредѣлить по очертанію перваго веревочнаго многоугольника.

Остается провести новый веревочный многоугольникъ черезъ три точки  $a'$ ,  $c'$  и  $b'$ , и висать въ него кривую, которая и будетъ вѣроятною кривою давленій. Для ясности это построение сдѣлано на другомъ чертежѣ.

Второй многоугольникъ опредѣлитъ собою новую вершину кривой давленія и можно было бы еще разъ исправить построение, намѣтивъ швы разрушенія, опредѣляемые напр. въ данномъ случаѣ боками 2, 6 и 11 второго веревочнаго многоугольника.

Съ другой стороны, изъ нижняго чертежа видно, что несмотря на совершенно иное распреденіе грузовъ, относительно новыхъ точекъ  $a'$ ,  $b'$  и  $c'$  — второй веревочный многоугольникъ весьма мало отличается отъ первоначальнаго. Поэтому обыкновенно достаточно ограничиться построеньемъ перваго веревочнаго многоугольника.

Любому шву соотвѣствуетъ особое положеніе временной нагрузки, вызывающей наибольшія отклоненія кривой давленія отъ своего положенія при отствїи постоянной нагрузки. Для безшаририаго свода достаточно принять за наиболѣе неблагоприятное расположеніе нагрузки загрузеніе полу свода и поступить, какъ именно только что указано.



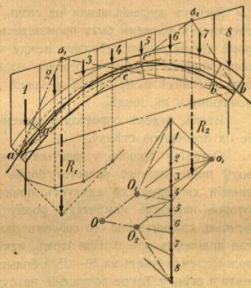
Черт. 124.

Въ трехшарнирномъ сводѣ можно опредѣлить наиболѣе неблагоприятную одностороннюю нагрузку для каждаго шва. Если поставлено условіемъ, что кривая давленія должна заключаться въ средней трети свода, то предѣльная положенія временной нагрузки, вызывающія наибольшія отклоненія кривой давленія отъ своего положенія при отствїи постоянной нагрузки, будутъ найдутся слѣдующимъ образомъ. Строимъ предѣльные направленія опорныхъ сопротивленій для груза дѣйствующаго на одинъ полу сводъ какъ указано въ № 48 для двухъ крайнихъ точекъ ядра. Когда грузъ пройдетъ черезъ точку  $a'$ , сопротивление лѣвой опоры пройдетъ черезъ верхнюю точку ядра. Всякій грузъ лежащій лѣвѣе точки  $a'$ , вызоветъ уже отрицательное значеніе для напряженія  $\sigma$  въ противоположномъ

ребрѣ, а всякій грузъ правѣе  $a'$ , положительное значеніе напряженія  $\sigma$ . Точка  $c'$  будетъ точкою раздѣла нагрузки; для полученія наибольшаго отклоненія кривой, давленія вверхъ надо загрузить лѣвую часть свода, вплоть до точки раздѣла нагрузки. Обратнo для полученія наибольшаго отклоненія кривой давленія внизъ, надо грузить правую часть, причѣмъ точка раздѣла нагрузки будетъ  $c''$ . Дальнѣйшія поясненія къ этому см. въ № 53.

### III. Несимметричный сводъ.

Первый веревочный многоугольникъ проводимъ черезъ вершину и основанія геометрической оси свода. Вершина опредѣляется точкою касанія, касательной, параллельной хордѣ, стягивающей основанія оси. Когда первый веревочный многоугольникъ полученъ, то опредѣляемъ новыя три точки въ средней трети свода, какъ указано выше и черезъ нихъ проводимъ вѣроятную кривую давленія.



Черт. 125.

На черт. 125 первый веревочный многоугольникъ проведенъ черезъ точки  $a$ ,  $b$  и  $c$ , причѣмъ оказалось, что его бока приближаются къ образующимъ ядро сѣченія въ точкахъ  $a'$ ,  $b'$  и  $c'$ ; черезъ эти точки и проведена кривая давленія.

При односторонней нагрузкѣ, необходимо изслѣдовать два случая: загрузеніе части свода лѣвѣ полученнаго главнаго шва разрушенія и загрузеніе части свода правѣ этого шва.

### IV. Своды подъ насыпями.

Въ этомъ случаѣ кромѣ вертикальныхъ силъ являются и наклонныя. Веревоочный многоугольникъ строится на равнодѣйствующихъ, изъ которыхъ каждая представляетъ изъ себя вертикальную силу — грузъ клина и наклонную — давленіе земли на этотъ клинъ.

Если вся насыпь по отношенію къ своду незначительна, то давленіе на клина можно опредѣлить, какъ на подпорную стѣнку (см. давленіе на ломаную стѣнку); если же наоборотъ размѣры свода по отношенію къ насыпи незначительны, или глубина погруженія свода велика, то такая постановка вопроса была бы ошибочна. Дѣй-

ствительно при большой глубинѣ, мы получили бы чудовищные размеры давления земли, между тѣмъ, какъ изъ практики известно, что наоборотъ чѣмъ глубже отъ поверхности мы зарываемся, тѣмъ большую встречаемъ связь между частицами земли, такъ что является возможность отрывать галереи, пользуясь весьма слабою одеждою стѣнокъ и верхняго покрытия. Такимъ образомъ трактовать насыпь какъ идеально сыпучее тѣло можно лишь вблизи поверхности земли. Поэтому мы и не распространяли выше теоріи давления земли на подпорную стѣнку, для случая давления въ неограниченной насыпи подъ свободною поверхностью, какъ то иногда дѣлается \*).

Расчетъ давления земли на сводъ, лежащій вдали отъ свободной поверхности долженъ быть произведенъ въ предположеніи существованія кромѣ тренія еще и сдѣлленія между частицами земли. Такая постановка вопроса требуетъ особаго изслѣдованія и потому въ настоящемъ учебникѣ и не дается указаній для расчета сводовъ глубоко засыпанныхъ въ землѣ.

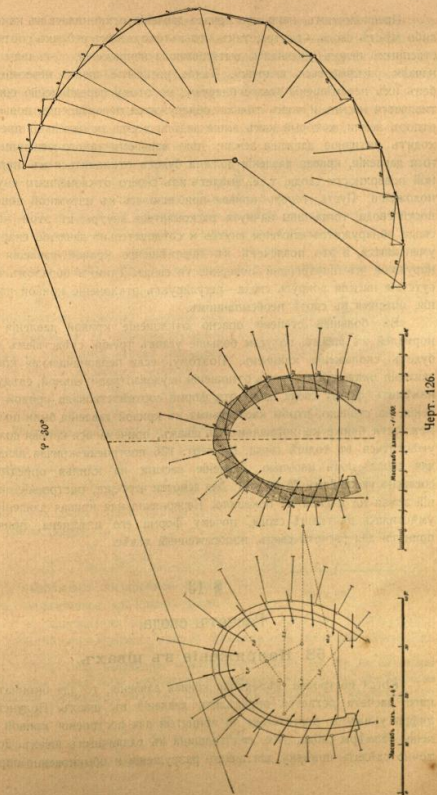
Итакъ, будемъ опредѣлять давление земли на сводъ, какъ давление на подпорную стѣнку.

Остается только условиться относительно угла  $\varphi$ . Такъ какъ сводъ подъ насыпью является болѣе уравновѣшеннымъ чѣмъ сводъ, стоящій свободно, то слѣдуетъ принять такое направленіе давления, которое наиболѣе измѣняетъ форму кривой давления въ сводѣ подъ насыпью, сравнительно со сводомъ свободно стоящимъ, а это будетъ если положимъ  $\varphi = 0$ . При этомъ, какъ видѣли выше (37), величина давления земли будетъ на 20—25% болѣе, нежели въ присутствіи тренія земли о стѣнку. Такое допущеніе не будетъ въ противорѣчій и сдѣйствительностью. Вода, заключенная въ грунтѣ, обсыпавшемъ сводъ, задерживается при своемъ движеніи сводомъ, непроницающимъ или мало пропускающимъ влагу и такимъ образомъ поверхность свода, окружена прослойкою грунта, насыщеннаго водою и слѣдовательно коэффициентъ тренія насыпи о сводъ долженъ быть весьма малъ.

При начертаніи кривой давления въ сводѣ, обсыпанномъ землею, не слѣдуетъ добиваться умѣщенія кривой давления въ средней трети свода, что весьма часто можетъ оказаться затруднительнымъ и повлечь къ принятію излишней толщины свода. Насыпь, окружающая сводъ, сама препятствуетъ опаснымъ отклоненіямъ кривой давления, что можно себѣ объяснить слѣдующимъ образомъ.

\*) Въ послѣднемъ случаѣ возникаетъ слѣдующее противорѣчіе. Если размеры сооруженія въ насыпи весьма незначительны по сравнению съ самою насыпью, то едва ли правильно пренебрегать сдѣлленіемъ, а если наоборотъ размеры засыпаннаго сооружения таковы, что наибольшее переищеніе сооружения влечетъ переищенію всей насыпи, то насыпь нельзя принять неограниченною и достаточно пользоваться приемами указанными въ подпорныхъ стѣнкахъ.

## § 12. РАВНОВѢСІЕ СВОДА.



Предположим, напр. что кривая давления отклонилась в каком либо мѣстѣ свода,—внутри, так что въ наружныхъ ребрахъ соответственныхъ швовъ появились вытягивающія напряжения, т. е. швы эти начали раскрываться внаружу. Такое раскрытiе швовъ невозможно безъ ихъ перемѣщенiя также внаружу; но этому перемѣщенiю сопротивляется насыпь и, какъ только обнаружится перемѣщенiе, появится отпоръ земли, который какъ выше видѣли всегда значительно превосходитъ активное давленiе земли; подъ влiянiемъ такого увеличившагося давленiя, кривая давленiя должна будетъ отклониться къ наружной поверхности свода, т. е. выйдетъ изъ своего отклоненнаго внутрь положенiя. Пусть теперь кривая приблизилась къ наружной поверхности свода, тогда швы начнутъ раскрываться внутрь, въ этой части свода обнаружится движенiе внутрь и слѣдовательно давленiе снаружи уменьшится, а это повлечетъ къ перемѣщенiю кривой давленiя отъ наружной къ внутренней поверхности свода. Такимъ образомъ присутствие насыпи вокругъ свода—регулировать отклоненiе кривой давленiя, опасная въ сводѣ необысланномъ.

Въ большей степени опасно отклоненiе кривой давленiя отъ нормали къ швамъ, на углы большiе угловъ тренiя, слѣдствiемъ чего будетъ скольженiе клинѣвъ. Поэтому, если первоначальная кривая давленiя окажется въ этомъ отношенiи неудовлительной, слѣдуетъ измѣнить форму свода, чтобы касательныя къ кривой давленiя были по возможности ближе къ нормалямъ къ швамъ, причемъ вся кривая должна умѣститься въ толщѣ свода. На черт. 126 построена кривая давленiя для свода подъ насыпью. Давленiе насыпи на клинья опредѣлено согласно указанiямъ № 40 и 41. Для ясности чертежа, построене давленiя земли на клинья не показано. Первоначальная кривая давленiя не умѣстилась въ толщѣ свода, почему форма его измѣнена, причемъ принять для расчета сводъ, изображенный лѣвъѣ.

### § 13.

#### Расчетъ свода.

#### 53. Напряженiе въ швахъ.

Когда построена вѣроятная кривая давленiя, то для окончательнаго расчета остается опредѣлить давленiя въ швахъ. Полученныя цифры укажутъ достаточны ли принятыя для построения кривой давленiя размеры свода, т. е. его толщина въ различныхъ швахъ. Достаточно сдѣлать повѣрку для швовъ разрушенiя и обыкновенно опредѣ-

ляется давленiе въ замкѣ, швахъ перелома и въ пятахъ. Хотя указанный расчетъ относится къ предмету сопротивленiя материаловъ, но обыкновенно для полноты статическаго изслѣдованiя сводовъ, вопросъ о напряженияхъ въ швахъ, какъ вытекающiй естественно вслѣдъ за полученiемъ кривой давленiя, разсматриваютъ попутно.

Распределенiе давленiя предполагаютъ линейнымъ и потому для опредѣленiя напряженiя служатъ извѣстная формула Бернулли-Навъѣ, для эксцентрическаго сжатiя:

$$\sigma = \frac{N}{F} \pm \frac{M}{W} \quad (91)$$

гдѣ  $N$  есть нормальная составляющая давленiя въ данномъ сѣченіи,  $F$  площадь сѣченiя, а  $M$  моментъ сопротивленiя сѣченiя.

Такъ какъ въ данномъ случаѣ сѣченiе  $F$  есть прямоугольникъ, коего высота есть длина шва  $d$ , а ширина равна единицѣ,

то  $W = \frac{d^2}{6}$ ; назовемъ разстоянiе точки приложенiя (кривой) давленiя отъ ц. т. сѣченiя, т. е. отъ его середины черезъ  $e$ , въ такомъ случаѣ находимъ напряженiя въ крайнихъ ребрахъ \*).

$$\sigma = \frac{N}{d} \pm \frac{6Ne}{d^2} = \frac{N}{d} \left( 1 \pm \frac{6e}{d} \right). \quad (92)$$

Диаграмма напряженiй, опредѣленныхъ по этой формулѣ имѣетъ видъ, указанный на черт. 127.

Когда  $e = \frac{1}{6}d$ , т. е. кривая давленiя проходитъ черезъ границу средней трети (ядра), то

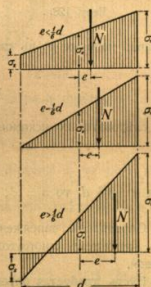
$$\sigma_1 = 2 \frac{N}{d}; \quad \sigma_2 = 0, \quad (93)$$

гдѣ  $\sigma_1$  напряженiе въ крайней точкѣ ребра, ближайшаго къ кривой давленiя, а  $\sigma_2$  напряженiе въ противоположной крайней точкѣ ребра. При дальнѣйшемъ удаленiи кривой давленiя отъ середины сѣченiя, въ

\* Такъ какъ напряженiя обыкновенно даются въ кгр. на см<sup>2</sup>, а для изслѣдованiя свода была выдѣлена арка шириною въ 1 м., то, для удобства пользования формулою, часто въ знаменателѣ прибавляютъ множитель 100, т. е. имѣемъ

$$\sigma = \frac{N}{100d} \left( 1 \pm \frac{6e}{d} \right) = \frac{\text{кгр.}}{\text{см.}} \quad (92 \text{ а})$$

если  $e$  и  $d$  опредѣлены въ м.



Черт. 127.

противоположной части шва появляются вытягивающаия напряжения, и в этом случае площадь напряжений расположится по объём стороны оси абсцисс. Если материал не может сопротивляться вытягиванию, то давление  $N$  должно быть распределено лишь на части шва. Так как площадь давления изобразится треугольником с основанием равным наибольшему давлению в сжатом ребре и вершиною в той точке где  $\tau_2 = 0$ , то размеры этого треугольника определяются из условия, что сила  $N$  должна проходить через его центр тяжести. Расстояние силы  $N$  от основания треугольника (от сжатого ребра шва)  $u = \frac{d}{2} - e$ , а следовательно высота  $3\left(\frac{d}{2} - e\right)$  и основаніе равно напряженію в сжатом ребре  $\sigma$ . Поэтому находим

$$N = \frac{3\left(\frac{d}{2} - e\right)\sigma}{2}; \tag{94}$$

следовательно искомое наибольшее напряжение

$$\sigma = \frac{2}{3} \cdot \frac{N}{0,5d - e}.$$

Когда  $e = 0,5d$ , то  $\sigma = \infty$ , чему соответствует полное раскрытие шва.

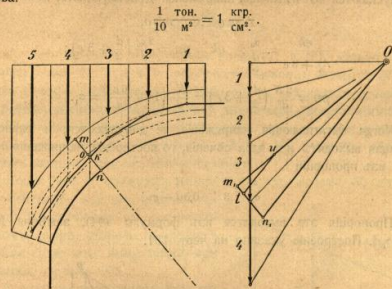
Определение напряжений удобно производить графически, пользуясь чертежом многоугольника сил, путем весьма простого построения.

Пусть требуется определить давление на шов  $mn$  — черт. 129. Давление на шов выражается лучем 4-м и приложено в точке  $k$ , на расстоянии  $ok = e$  от середины шва  $mn$ . Через вершину силы 4 проводим  $m_1n_1 \parallel mn$  и на полученную линию опускаем из  $O$  перпендикуляр  $Om_1$ ; из полученной точки  $m_1$  откладываем  $m_1n_1 = mn$ . Линия  $Om_1$  изобразит нормальную составляющую  $N$  полного давления на шов. Найдем среднее давление на шов  $mn$ .

$$\sigma_0 = \frac{N}{d} = \frac{Om_1}{m_1n_1} = \frac{\text{тонна}}{\text{метр}}.$$

Обыкновенно величина сила выражается в тоннах, т. е.  $Om_1$  дает величину давления в тоннах; ширина шва  $d$  также выражается

в метрах; между тем напряжения выражают преимущественно в клгр. на кв. см. Зависимость между давлением в тон./м<sup>2</sup>. и клгр./см.<sup>2</sup> такова:



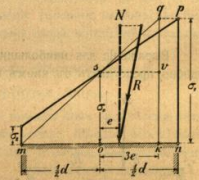
Черт. 129.

Поэтому если отложим  $m_1l = 0,1$  метра и проведем  $tu \parallel n, O$ , то найдем

$$m_1u = \frac{1}{10} \frac{Om_1}{m_1n_1} = \sigma_0 \cdot \frac{\text{кгр.}}{\text{см.}}$$

т. е. отрезок  $m_1u$  выразит среднее напряжение  $\sigma_0$  на шов  $mn$  в кгр. на кв. см.

Дальнейшее построение указано уже на черт. 103 в № 45, а также на черт. 133. Можно также поступить так: из середины шва  $mn$  поставим перпендикуляр и отложим  $os = \tau_0$ ; на расстоянии  $e$  проведем направление нормальной составляющей давления на шов. Затем от середины шва отложим в сторону силы  $N$ , отрезок  $ok = 3e$  и из полученной точки  $kq \perp mn$ , наконец проводим линии  $ms$  до пересечения с  $kq$  в точке  $q$  и из этой точки  $qr \parallel mn$ . Остается соединить точку  $r$  с  $s$  и продолжить линию  $rs$  до пересечения с перпендикуляром в точке  $m$ ; площадь, очерченная жирной линией, будет площадью давлений на шов  $mn$  и напряжения в крайних ребрах будут  $\tau_1$  и  $\tau_2$ .



Черт. 130.

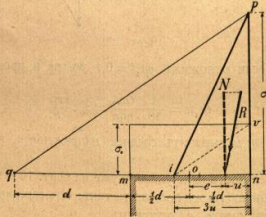
Указанное построение соответствует тому случаю, когда кривая давления проходит въ ядрѣ сѣченія, а также если она лежитъ и внѣ ядра, но допускаются вытягивающія напряжения. Дѣйствительно, изъ подобія

$$\begin{aligned} \Delta m q k &\sim \Delta m s o, \\ \frac{qk}{\frac{d}{2} + 3e} &= \frac{\sigma_0}{2}; \quad qk = pn = \frac{2\sigma_0}{d} \left( \frac{d}{2} + 3e \right); \\ pn &= \frac{2N}{d^2} \left( \frac{d}{2} + 3e \right) = \frac{N}{d} \left( 1 + \frac{6e}{d} \right) = \sigma_1. \end{aligned}$$

Когда вытягивающія напряжения не допускаются, и равнодѣйствующая выходитъ изъ ядра сѣченія, то построение, напряжения сѣлѣдуетъ изъ пропорцій

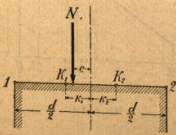
$$\frac{\sigma}{\sigma_0} = \frac{2}{3} \cdot \frac{d}{0,5d - e}.$$

Пропорція эта выводится изъ формулы (94), замѣняя  $N$  черезъ  $\sigma_0 d$ . Построение указано на черт. 131.



Черт. 131.

Выраженіе для наибольшіхъ напряженій въ ребрахъ шва иногда удобно представить въ иномъ видѣ. Если въ формулѣ (90) вмѣсто  $W$  подставить  $W = kF$ , гдѣ напр. для прямоугольнаго сѣченія  $k = \frac{d}{6}$ , затѣмъ величину  $M$  замѣнимъ черезъ  $M = Ne$ , то находимъ:



Черт. 132.

$$\begin{aligned} \sigma_1 &= \frac{N}{k_2 F} (k_2 + e); \\ \sigma_2 &= \frac{N}{k_1 F} (k_1 - e); \end{aligned}$$

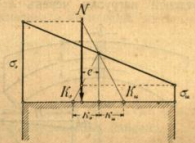
что можно написать болѣе кратко такъ:

$$\begin{aligned} \sigma_1 &= \frac{M_{K_2}}{W}; \\ \sigma_2 &= \frac{M_{K_1}}{W}; \end{aligned} \quad (95)$$

гдѣ  $M_{K_2}$  есть моментъ относительно точки  $K_2$ , а  $M_{K_1}$ , моментъ относительно точки  $K_1$ . Знакъ  $\sigma$  опредѣляется знакомъ момента  $M$ , при условіи считать положительнымъ моментъ съ кажушимся вращеніемъ отъ ребра, соответствующаго данной точкѣ ядра—вверхъ и къ центру шва. Если сила  $N$  приложена внутри ядра, то,  $\sigma_1$  и  $\sigma_2$  всегда положительны и при вычисленіи моментовъ  $M_{K_1}$  и  $M_{K_2}$  слѣдуетъ обращать вниманіе лишь на ихъ численную величину.

Когда сила  $N$  проходитъ черезъ одну изъ точекъ  $K_2$  или  $K_1$ , то моменты  $M_{K_2}$  или  $M_{K_1}$  обращаются въ нуль и напряженіе въ противоположномъ ребрѣ сѣченія принимаетъ значеніе нуля; это ясно также изъ диаграммы чертежа 133.

Всѣ указанія настоящаго № даютъ возможность повѣрить прочность уже существующаго свода или повѣрить правильность принятыхъ для расчетовъ размѣровъ.



Черт. 133.

### 54. Толщина свода.

Формулы, опредѣляющія толщину свода можно подраздѣлить на математически обоснованныя и на эмпирическія, но и тѣ и другія имѣютъ лишь приблизительное значеніе.

Такимъ образомъ этотъ номеръ подраздѣлимъ на двѣ части: сначала укажемъ формулы для опредѣленія толщины сводовъ, затѣмъ дадимъ указанія для проектированія формы свода, когда она не задана.

#### А. Формулы, математически обоснованныя.

##### а) Произвольная форма свода.

Величина горизонтальнаго распора можетъ быть опредѣлена, какъ указано выше, или по предварительному эскизу. Полагая, что вѣроятная кривая касается ядра въ замковомъ швѣ и задаваясь допускаемымъ напряженіемъ шах.  $\sigma = \sigma_1$ , найдемъ

$$d_0 = \frac{2H}{\sigma_1},$$

причемъ приблизительную величину  $H$  возьмемъ по формулѣ (85).

Точно также для ширины пятового шва

$$d_1 = \frac{2A}{\gamma_k},$$

гдѣ сопротивление  $A$  опредѣляется, какъ указано выше: стр. 150, 153.

Если выборъ формы свода можетъ быть произволенъ, то рекомендуется построить предварительный эскизъ и опредѣлить приблизительно кривую давленія, а затѣмъ измѣнить форму свода такимъ образомъ, чтобы его ось совпала съ кривой давленія. Такой сводъ называется сводомъ, очерченнымъ по кривой давленія.

б) Сводъ очерченъ по кривой давленія.

Если назовемъ ширину замкового клина черезъ  $b$ , высоту принятой нагрузки черезъ  $h$  и вѣсъ материала куб. м. свода  $\gamma$ , то грузъ, дѣйствующій на первый клинъ будетъ  $q = \gamma bh$ . Изъ чертежа слѣдуетъ, что два треугольника съ основаниями  $b$  и  $\gamma bh$ , въ предѣлѣ, будутъ между собою подобны и слѣдовательно имѣемъ:

$$\frac{H}{\gamma bh} = \frac{r}{b},$$

гдѣ  $r$  есть радиусъ кривизны свода. Отсюда имѣемъ

$$H = \gamma h r. \quad (96)$$

Черт. 134.

Этотъ формулу можно пользоваться какъ приближенно и въ тѣхъ случаяхъ, когда сводъ и не очерченъ по кривой давленія. Напр. для полуциркулярнаго свода, можно положить  $r = r$  — радиусъ свода.

Если кривая давленія подходит близко къ оси свода, т. е. касательная въ кривой давленія нормальна къ швамъ, то толщину свода всего лучше опредѣлить изъ условия, чтобы напряжения во всѣхъ швахъ были одинаковы, тогда получимъ сводъ равнаго сопротивления.

Ширина любого шва опредѣлится изъ пропорции.

$$\frac{d}{d_0} = \frac{R}{H'}$$

для любого шва имѣемъ:

$$\frac{R}{H} = \frac{1}{\cos \alpha},$$

Черт. 135.

гдѣ  $\alpha$  есть уголъ образуемый силой  $R$  съ горизонтомъ.

Изъ этихъ пропорцій находимъ:

$$d = \frac{d_0}{\cos \alpha} \cdot d \cos \alpha = d_0 \quad (97)$$

Т. е. вертикальная проекція шва должна равняться замковому шву.

Болѣе точное изслѣдованіе для свода, очерченнаго по кривой давленія заключается въ слѣдующемъ:

Выше имѣли (86):

$$H = q \frac{1}{dx^2} y.$$

Съ другой стороны изъ дифференціального исчисленія извѣстно:

$$r = \frac{\left[1 + \left(\frac{dy}{dx}\right)^2\right]^{3/2}}{d^2y/dx^2}. \quad (98)$$

Замѣняя числитель этого выраженія черезъ  $\sec^3 \varphi$ , гдѣ  $\varphi$  есть уголъ, образуемый радиусомъ кривизны съ вертикалью, найдемъ:

$$H = q r \cos^3 \varphi; \quad (99)$$

для вершины свода найдемъ, какъ уже видѣли выше (96):

$$H = q_0 r_0.$$

Если  $\sigma_s$  есть допускаемое напряженіе, то

$$\sigma_s d_s = q_0 r_0. \quad (100)$$

Здѣсь величина  $r_0$  неизвѣстна. Обыкновенно при проектированіи свода, задается величина радиуса кривизны внутренней образующей свода. Пусть она будетъ  $r'$ . Выведемъ соотношеніе между величинами  $r_0$  и  $r'$ . Проведемъ оси абсциссъ  $x$  и  $x'$ , какъ указано на чертѣжѣ 137. Имѣемъ:

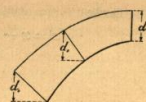
$$r' = \frac{\left[1 + \left(\frac{dy'}{dx'}\right)^2\right]^{3/2}}{(d^2y')^2}. \quad (98a)$$

Согласно (97) найдемъ

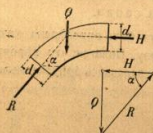
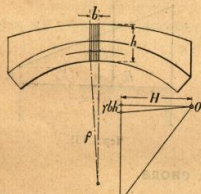
$$y - \frac{d_0}{2} = y' - \frac{d \cos \varphi}{2} = y' - \frac{d_s}{2}, \quad (101)$$

или

$$y = y'.$$

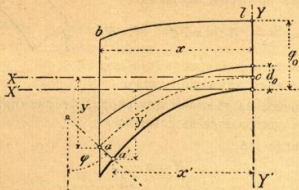


Черт. 136.



Далѣ

$$x' = x - \frac{d_0}{2} \operatorname{tg} \varphi, \text{ или } x' = x - \frac{d_0}{2} \frac{dy}{dx};$$



Черт. 137.

Продифференцируемъ это выраженіе, тогда

$$dx' = dx - \frac{d_0}{2} \frac{d^2y}{dx^2} = dx \left( 1 - \frac{d_0}{2} \frac{d^2y}{dx^2} \right). \quad (102)$$

Для вершины свода изъ (98), принимая во вниманіе, что  $\frac{dy}{dx}$  обращается въ нуль и  $\rho$  обращается въ  $\rho_0$ , находимъ

$$\rho_0 = \frac{1}{d^2y}; \quad \rho' = \frac{1}{(dx)^2};$$

но  $(dy')^2 = dy^2$ , а также (102)

$$(dx')^2 = dx^2 \left( 1 - \frac{d_0}{2\rho_0} \right)^2.$$

Подставляя эти значенія въ предыдущее равенство, найдемъ

$$\rho' = \rho_0 \left( 1 - \frac{d_0}{2\rho_0} \right)^2;$$

членъ  $\left( \frac{d_0}{2\rho_0} \right)^2$  весьма малъ, поэтому можно написать

$$\rho' = \rho_0 - d_0; \quad \rho_0 = \rho' + d_0, \quad (103)$$

поэтому согласно (100)

$$\sigma_0 d_0 = q_0 (\rho' + d_0);$$

отсюда получаемъ

$$d_0 = \frac{q_0 \rho'}{\sigma_0 - q_0}. \quad (104)$$

Для практическаго пользованія этой формулой, предположимъ, что внутренняя кривая свода есть парабола, радиусъ кривизны которой въ вершинѣ равенъ ея параметру. Положимъ

$$\rho' = \frac{l_0^2}{8f_0},$$

сдѣ  $l_0$  и  $f_0$  пролетъ и стрѣла свода въ свѣту; тогда

$$d_0 = \frac{q_0 l_0^2}{8f_0(\sigma_0 - q_0)}. \quad (105)$$

Чѣмъ больше отношеніе  $\frac{f_0}{l_0}$ , тѣмъ больше внутренняя кривая свода отличается отъ параболы. Чтобы принять это обстоятельство во вниманіе, профессоръ Мертенсъ совѣтуетъ къ последней формулѣ прибавить членъ  $0,20 \left( 1 + \frac{f_0}{l_0} \right)$ , съ тѣмъ чтобы для весьма малыхъ отверстій наименьшая толщина свода въ замкѣ получалась  $d_0 = 0,25$  м. Наконецъ выразимъ  $q_0$  въ высотѣ приведенной нагрузки  $h_0$  и вѣсъ  $\gamma$  куб. м. кладки, тогда окончательная формула напишется такъ

$$d_0 = \frac{\gamma h_0 l_0^2}{8f_0(\sigma_0 - \gamma h_0)} + 0,2 \left( 1 + \frac{f_0}{l_0} \right) \quad (106)$$

Эта формула, какъ математически обоснованная, можетъ быть особенно рекомендована.

Формулы Толкмитта для сводовъ, очерченныхъ по кривой давления выведены математическимъ путемъ, при избыточныхъ предположеніяхъ и допущеніяхъ. Знакомство съ выводами этихъ формулъ требуетъ разсмотрѣнія всей теоріи Толкмитта, почему и не можетъ быть здѣсь приведено. Слѣдуетъ лишь замѣтить, что формулы Толкмитта весьма часто употребляются при самыхъ строгихъ расчетахъ.

Толщина свода въ замкѣ \*).

$$d_0 = \frac{0,5 \gamma f}{x + 0,15 f} \quad (107)$$

здѣсь  $x = x_1 + d_0 + 0,5$  гдѣ  $x_1$  высота забутки, а  $\gamma$  приведенная высота временной нагрузки

$$d_0 = 0,000014 \frac{\gamma f^2}{\sigma_0} (x + 0,2 f) \quad (108)$$

гдѣ  $\sigma_0$  среднее давленіе въ замковомъ швѣ.

Величина  $e/f$  выражена въ метрахъ, и  $\sigma_0$  въ кгр. на кв. см., а  $\gamma$  вѣсъ куб. м. матеріала въ кгр. Величина  $d_0$  должна быть вычислена по обѣимъ формуламъ (107, 108). Первое условіе должно быть соблюдено, для того, чтобы кривая

\* Эта формула даетъ наиболѣе правильные результаты, когда площадь нагрузки ограничена горизонтальною линіею. Вѣсто коэффициентовъ 0,5 и 0,15 въ числитель и знаменатель можно брать соответственно 0,4 и 0,1.

давления при самой невыгодной односторонней нагрузке не выходили из внутренней трети сечения свода, а второе—для того чтобы напряжение  $\sigma_{max}$  не превосходило наибольшего допустимого, причем при соблюдении второго условия наибольшее напряжение не превышает  $2 \tau_0$ . Из двух значений полученных для  $d_0$  следует брать наибольшее.

Если известна величина горизонтального распора, то

$$d_0 = 0,06 \frac{p l^2}{H}, \quad (109)$$

где  $H$  можно определить как указано выше, для свода очерченного по кривой давления, а  $p$  временной нагрузки на погон. м. пролета.

### В. Эмпирические формулы.

**Формулы Кавена** для железнодорожных и уличных сводов. Свод сложен из тесаного камня (песчаник, известняк), насыпь сводом насыпь от 0 до 1,0 метра. Пролет  $l = 30$  м.

$$d_0 = 0,25 + l \left( 0,025 + 0,0034 \frac{l}{l} \right), \quad (110)$$

где  $l, f$  и  $d_0$  в метрах.

Для указанных пролетов формула Кавена дает весьма хорошие результаты.

Если высота насыпи  $\gamma_1 \leq 10 \leq 30$  м и при пролет  $l \geq 10$  м, для полукруглого свода

$$d_0' = \gamma d_0,$$

$$\text{где для железнодорожных сводов } \gamma = \sqrt{1 + \frac{\gamma_1 - 1}{4,5}};$$

$$\text{» » уличных » } \gamma = \sqrt{1 + \frac{\gamma_1 - 1}{7}}.$$

Для сводов из кирпича на цементном растворе

$$d_0'' = \mu d_0$$

$$\text{где для клинкерного кирпича } \mu = \frac{1}{3} (3 - d_0)$$

$$\text{» » обыкновенного » } \mu = \frac{1}{2} (3,3 - d_0)$$

Если в этом случае высота насыпи  $\gamma_1 > 1$  м, то полученные значения следует умножить на коэффициент  $\chi$ .

**Формулы Ханеля** для сводов из бутовой кладки и также при высоте насыпи  $\gamma_1 \geq 1,0$  м для сводов, в которых  $f = \frac{1}{4}$  до  $\frac{1}{6}$ , т. е. для сводов со средним подъемом

$$d_0 = m \sqrt{l} + 0,1, \quad (111)$$

в метрах, причем коэффициент  $m$  имеет значение:

$$\text{для железнодорожных мостов } m = 0,25;$$

$$\text{» уличных » } m = 0,20.$$

Этой формулой лучше всего пользоваться при пролетах  $l = 10$  до 30 м. Формулы Кавена и Ханеля по своей простоте весьма удобно применять при предварительных расчетах, когда не может еще быть речи о точной необходимой толщине свода.

Еще более простая, но и менее точная формула Рондела (в метрах).

1) Для полукруглых кирпичных сводов:

$$d_0 = 0,02 l \text{ до } 0,03 l;$$

2) для бутовых ненагруженных сводов:

$$d_0 = 0,01 l + 0,1;$$

(112)

3) для бутовых и гранитных нагруженных сводов:

$$d_0 = 0,04 l + 0,3$$

### 55. Начертание свода.

Под начертанием свода мы будем подразумевать, определение формы свода. Первоначальные размеры подбираются или на основании существующих сооружений, или на основании приближенных формул, определяющих толщину свода обыкновенно в замках и пятах, или только в замке, как указано в № 54.

Когда начертание формы свода зависит от проектирующего, весьма выгодно совмещать ось свода с кривой давления. Это можно произвести графически, или аналитически, послѣ первого приближения. Для этого первоначально очерчивают ось свода по произвольной кривой, по известному способу строят многоугольник давлений, проводя его через шарниры,  $d$  в безшарнирном своде через точки  $a, b$  и  $c$ , лежащая на оси свода. Затем полученный многоугольник служит для начертания оси нового свода; послѣ вторичного построения многоугольника давления уже для вновь начерченного свода, кривая давления будет весьма близка к оси свода. В исключительных случаях построение понадобится повторить еще раз.

Если желательно получить ординаты кривой давления численно, то, разбив свод на участки и определив их весь, находим ординаты кривой давления из выражения

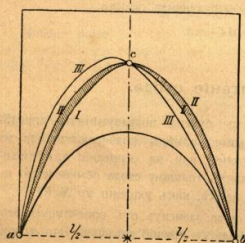
$$y = \frac{M_0}{H},$$

где  $M_0$  есть момент как для простой балки,  $H$  горизонтальный распор, определяемый по формулѣ (85). Второе приближение получается подобным же образом.



Таким образом мы получим кривую давления, совпадающую с осью свода, при данной грузовой площади, т. е. при данном состоянии нагрузки. При ином расположении временной нагрузки, произойдет отклонение кривой давления от оси свода. Вопрос заключается в том: при каком способе загрузки свода следует произвести совмещение кривой давления с осью свода, чтобы отклонения кривой давления от оси свода, при действии подвижной нагрузки — были наименьшими?

На чертеже 138 построены, при увеличенном вертикальном масштабе, следующие три кривые давления, проходящие через шарниры  $a$ ,  $b$  и  $c$  (действительные или лишь воображаемые).



Черт. 138.

Линия I, наиболее крутая из симметричных кривых давлений, соответствует нагруженному состоянию свода; линия II более плоская, — кривая давления для разгруженного свода; наконец линия III, соответствует одностороннему загрузению. Из чертежа видно что наименьшее отклонения кривых давления будут при таком начертании оси свода, когда ось свода пройдет по средине заштрихованных на чертеже площадок; а кривая давления, проходящая по средине между кривыми I и II, получится при величине грузовой площади средней между  $G$  и  $G'$ , если  $G$  есть грузовая площадь, равная постоянной нагрузке, а  $G'$  есть приведенная высота временной нагрузки. Величина средняя между этими двумя грузовыми площадями будет:

$$G + \frac{G'}{2}. \tag{113}$$

Итак, наименьшее отклонение кривой давления от оси свода получится при таком начертании оси свода, когда она совпадает с кривой давления, построенной при грузовой площади, соответствующей постоянной нагрузке и половине временной, распределенной равномерно по всему пролету.

Для дальнейшего расчета рекомендуется руководствоваться формулами (105, 106) или формулами Толкмитта.

В трехшарнирных сводах, где кривая давления может быть определена строго точно, можно добиться наибольшей экономии ма-

териала, если определить форму свода и толщину свода по способу проф. Мёрша. Пусть кривая давления от постоянной нагрузки определена или графически или найдена ее ордината из выражения  $Hu = M_0$ ; тогда известно расстояние  $e$  кривой давления от оси свода в любом сечении.

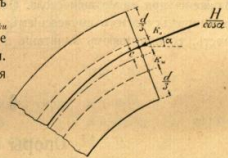
При загрузении левой или правой части свода, считая от соответствующих точек раздѣла (стр. 168), будут происходить наибольшие отклонения кривой давления вверх или вниз, причѣм будут соответственно возрастать напряжения в верхнем или нижнем ребрах шва. Найдем такое положение кривой давления, соответствующей постоянной нагрузке, а также такую толщину шва  $d$ , при которых наибольшие напряжения в крайних ребрах при невыгоднѣйшем расположении нагрузки будут между собою равны.

В выражениях (95) можно положить:

$M_{ko} = M'_{ko} + M''_{ko}$ ;  $M_{ku} = M'_{ku} + M''_{ku}$ , где  $M'_{ko}$  и  $M'_{ku}$  моменты относительно точек  $K_o$  и  $K_u$  от постоянной нагрузки, а  $M''_{ko}$  и  $M''_{ku}$  моменты, относительно тѣх же точек, от временной нагрузки. Согласно чертежу 139 и не обращая внимания на знаки, имѣем:

$$M'_{ko} = \frac{H}{\cos \alpha} \left( \frac{d}{6} - e \right);$$

$$M'_{ku} = \frac{H}{\cos \alpha} \left( \frac{d}{6} + e \right).$$



Черт. 139.

Поэтому имѣем изъ выражения (95), положив  $W=1 \cdot \frac{d^2}{6}$  и  $\sigma_o = \sigma_u = \sigma$ :

$$\frac{H}{\cos \alpha} \left( \frac{d}{6} + e \right) + M''_{ku} = \sigma \frac{bd^2}{6}; \tag{114}$$

$$\frac{H}{\cos \alpha} \left( \frac{d}{6} - e \right) + M''_{ko} = \sigma \frac{bd^2}{6};$$

исключая отсюда  $e$ , т. е. складывая уравнения, найдем квадратное уравнение для определения  $d$ , при данной величине допущенного напряжения  $\sigma$

$$\frac{H}{\cos \alpha} \cdot \frac{d}{3} + M''_{ku} + M''_{ko} = \sigma \frac{bd^2}{3}. \tag{115}$$

В это уравнение слѣдует подставить лишь численные значения  $M''$  такъ какъ по условию истинная кривая давления пройдетъ внутри ядра сѣчения. Величины  $M''$  могутъ быть вычислены по формулѣ

$$M''_i = M''_{io} - H'u_i, \tag{116}$$

где  $M'_{ok}$  есть изгибающий момент относительно точек  $k$ , как для простой балки,  $H$  горизонтальный распор, вызываемый временной нагрузкой, по формул (85).

Таким образом получим величину  $d$  для каждого сечения.

Для определения действительного положения кривой давления, найдем величину  $e$  из уравнений (114):

$$e = \frac{M_{ko} - M_{kn}}{2H} \cos \alpha, \quad (117)$$

или по вертикальному направлению найдем эксцентриситет  $\xi$ :

$$\xi = \frac{M_{ko} - M_{kn}}{2H}. \quad (118)$$

Зная теперь ординаты  $y$  оси свода, величину эксцентриситета  $\xi$  и толщины швов  $d$ , имеем все данные для определения первого приближения при начертании свода. Обычно достаточно ограничиться этим вычислением; если же требуется особая точность, то повторяют вычитание  $d$  и  $\xi$  по найденной величине  $e$ .

### § 14.

#### Опоры сводов.

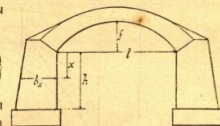
##### 56. Устой.

Устой (береговая опора) может быть рассчитан как стѣнка, подверженная кроме вертикальных еще и горизонтальным силам, напр. как подпорная стѣнка; поэтому для расчета устоев пригодны указания № 45. Если за устоем имѣется насыпь, то устой должен быть рассчитан в отдельности на давление земли, т. е. как подпорная стѣнка и как устой, при отсутствии позади него насыпи. Если желаем изслѣдовать совокупное дѣйствие на устой распора насыпи и распора свода, то слѣдует поступить, как указано ниже, для расчета быка.

Силы, дѣйствующія на устой, заданы, когда рассчитан свод, опирающийся на устой, т. е. когда известны: вѣсъ свода съ вышележащей нагрузкой (полная грузовая площадь съ ея ц. т.), горизонтальный распор и размеры опоры. Имѣя эти данныя можем составить условие равновѣсія системы, выразив его в уравнении моментов

относительно ребра опрокидыванія и помножив выведенную из этого условия ширину устоя на коэффициентъ устойчивости  $\mu=1,2$  до 1,5. Въ составленное условное уравнение войдетъ, неизвѣстная заранее, определяемая величина  $b$ —ширина устоя,—поэтому вопросъ рѣшается попытками. Ввиду этого вопросы по расчету устоя всегда проще рѣшать графическимъ путемъ, попутно съ расчетомъ свода. Для приблизительной же оцѣнки и первоначальной попытки, можно воспользоваться эмпирическими формулами. Это является удобнымъ еще и въ томъ случаѣ, когда расчета самого свода не производится, а известны лишь его главные размеры.

Весьма удобна слѣдующая формула (113), определяющая толщину устоя при данномъ пролетѣ и подъемѣ свода и для любой высоты устоя, см. черт. 140



Черт. 140.

$$b = \sqrt{l \cdot \left\{ 0,6 + n \left( \frac{l}{f} - 2 \right) + 0,04 x \right\}}$$

значенія буквъ  $b, l, f$  и  $x$  видны на чертежѣ; значенія коэффициента  $n$  таковы:

- |                                    |             |       |
|------------------------------------|-------------|-------|
| 1. для плоского (лучкового) свода: | $n = 0,10;$ |       |
| 2. для коробового свода:           | $n = 0,05;$ | (113) |
| 3. для полуциркулярнаго свода:     | $n = 0.$    |       |

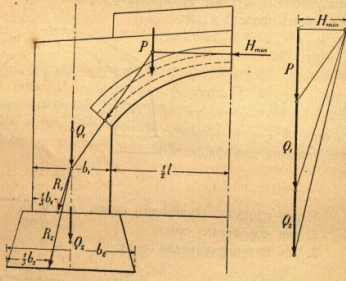
При графическомъ рѣшеніи вопроса, задача заключается въ томъ, чтобы, пользуясь имѣющимися уже для расчета свода многоугольникомъ силъ съ прибавленными къ нему грузами — вѣсомъ опоры и ея основанія, получить нѣсколько точекъ приложенія линии давленія въ опорѣ; обыкновенно достаточно бываетъ найти давленіе въ нижнемъ швѣ опоры, и давленіе отъ фундамента на основаніе. Построеніе производится начертаніемъ веревочнаго многоугольника и вполнѣ ясно изъ разсмотрѣнія чертежей 141, 142 и 143 \*).

Остается поближе разсмотрѣть какой способъ загрузенія свода слѣдуетъ принять для расчета опоры, какую величину горизонтальнаго распора надо взять для начертанія веревочнаго многоугольника и

\* Иногда устой дѣлать вертикальными швами на участки и производить построение, какъ бы продолжая построение многоугольника давленій, полученнаго въ сводѣ — въ предѣлахъ опоры. При подъемистыхъ сводахъ и широкихъ опорахъ это неудобно.

наконец каким условиям должна удовлетворять равнодействующая давления в швах опоры.

Наиболее опасным для расчета опоры является всегда ее разгрузе-ние, что объясняется наибольшим в этом случае отклонением кривой давления от оси устоя, хотя давление на шов устоя при его разгрузении и может оказаться несколько меньшим. В практикѣ известны случаи обрушения сводчатого покрытия от замены тяжелой кирпичной стѣнки, нагружающей опору — легкой деревянною. Что касается до нагрузки на свод, то, так как последняя увеличивает вертикальную составляющую давления на опору, то обыкновенно для

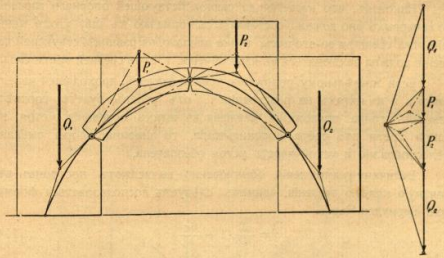


Черт. 141.

расчета устоя располагают временную нагрузку — над перекрываемым сводом отверстием. Впрочем это может оказаться и не наименьшим нагружением свода для его устойчивости. На черт. 142, построена кривая давления для трехшарнирного свода с относительно большою временною нагрузкою, расположенною лишь над правым полусводом. При этом оказывается, что лѣвый устой находится в менее устойчивом положеніи, нежели правый, ибо кривая давления в лѣвой опорѣ проходит ближе къ наружному ребру устоя, нежели в правой.

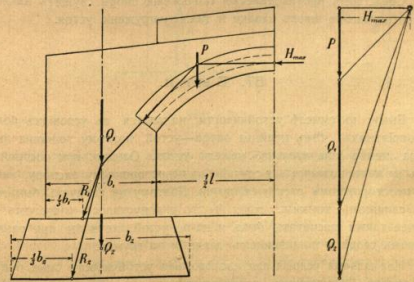
Принятіе для расчета наибольшего или наименьшаго горизонтальнаго распора зависит от условий в коих находится свод, относительно возможности его обрушения. Свод отдѣльно стоящій, и подверженный дѣйствию грузов может разрушиться лишь обрушениемъ внутри, чему будетъ соответствовать, какъ то указано выше, кривая

наименьшихъ давлений. При этомъ способѣ расчета ширина устоя получается сравнительно небольшая, см. черт. 141. Съ другой стороны,



Черт. 142.

если прилегающему къ устоя своду может грозить раскрытіе швовъ внаружу, напр. при обрушеніи многопролетнаго арочнаго моста, или



Черт. 143.

при давленіи на устой позади лежащей насыпи, безопаснѣе принять для расчета кривую наибольшихъ давлений въ сводѣ, какъ это сдѣ-

лано на черт. 143, причемъ этомъ случаѣ получится всегда болѣе значительная ширина опоры.

Наконецъ, что касается до равнодѣйствующей опорнаго давления то во первыхъ оно должно составлять съ нормалью къ шву уголъ менѣйшій угла тренія, и во-вторыхъ, точка приложенія равнодѣйствующей давленія должна заключаться въ ядрѣ сѣченія, т. е. въ средней трети свода.

Если предѣльному положенію кривой давленія, проходящей черезъ замокъ и въ пятахъ на разстояніи  $\frac{1}{3}$  отъ реберъ, будетъ соответствовать точка приложенія давленія въ швахъ основанія устоя въ одной трети отъ ребра опрокидыванія, то ширина опоры выбрана цѣлесообразно и устойчивость устоя обезпечена.

Величину напряженія обыкновенно вычисляють построивъ въроятную кривую давленія, причемъ слѣдуетъ воспользоваться формулою Бернулли-Навье.

$$\sigma = \frac{N}{b} \left( 1 + \frac{6e}{b} \right). \quad (114)$$

Графическое построение величины  $\sigma$  указано въ №№ 45 и 53.

Средствомъ для уменьшенія напряженія, кромѣ уширенія опоры, служить также ея нагруженіе, что помогаетъ въ томъ случаѣ, когда кривая давленія чуть только не выходитъ изъ ядра.

Средствомъ противодѣйствія скольженію опоры служитъ наклонное расположеніе швовъ кладки и также нагруженіе устоя.

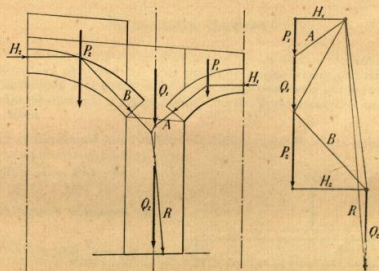
## 57. БЫКИ.

Быкъ, въ смыслѣ устойчивости, находится въ условіяхъ болѣе благоприятныхъ, чѣмъ крайняя опора—устой, поэтому толщина быка всегда менѣе значительна, нежели устоя. Однако, при постройкѣ, быкъ можетъ подвергаться случайному одностороннему распуру, напр., при неосторожномъ раскруживаніи. Поэтому не слѣдуетъ быкъ дѣлать слишкомъ тонкимъ, хотя бы то и допускалось расчетомъ. Не лишнее также рассчитать быкъ и какъ устой, хотя бы при разгруженномъ сводѣ и повышенномъ давленіи на грунтъ.

Нормальная условія для изслѣдованія устойчивости быка будутъ при такомъ невыгодномъ расположеніи временной нагрузки, когда сводъ, перекрывающій большій изъ пролетовъ, прилегающихъ къ быку, будетъ нагруженъ временною нагрузкою, а сводъ будетъ имѣть стремленіе скользить или опрокинуться въ сторону разгруженнаго пролета. Слѣдствіемъ такого перемѣненія быка будетъ обрушеніе разгруженнаго

свода внаружу. Предѣльному состоянію равновѣсія передъ обрушеніемъ будутъ соответствовать: для нагруженнаго свода — кривая наименьшихъ давленій, а слѣдовательно значеніе  $H_{\min}$ , а для ненагруженнаго свода — кривая наибольшихъ давленій и значеніе  $H_{\max}$ . Такимъ образомъ, активныя силы, дѣйствующія на устой, являются заданными и остается найти равнодѣйствующую двухъ сопроотивленій опоръ сводовъ и вѣса быка. Вопросъ всегда слѣдуетъ рѣшать графическимъ путемъ, причемъ получается болѣе наглядное рѣшеніе.

Пусть на черт. 144 лѣвый пролетъ нагруженъ, а правый разгруженъ; строимъ для праваго свода  $H_{\max}$  и  $A_{\max}$ . Направленіе сопроотивленія  $A$  продолжаемъ до пересѣченія съ осью быка, гдѣ складываемъ



Черт. 144.

съ вѣсомъ головы быка; затѣмъ прибавляемъ силу  $B$ . Силы  $H_1, P_1, Q_1$  сложены въ многоугольникъ силъ, причемъ получена равнодѣйствующая, какъ крайній лучъ многоугольника силъ  $P_1$  и  $Q_1$ , при полнѣй, соответствующемъ полному разстоянію  $H_1 = H_{\max}$ . Давленіе на шовъ, отдѣляющій голову быка получимъ продолживъ бокъ вервочнаго многоугольника, соответствующій крайнему лучу многоугольника силъ  $P_1, Q_1$ . Треугольникъ силъ  $B, H_{\min}$  и  $P_2$  пристраиваемъ къ многоугольнику силъ  $H_{\max}, P_1$  и  $Q_1$  и затѣмъ къ этому треугольнику пристраиваемъ силу  $Q_2$ ; наконецъ получаемъ равнодѣйствующую всѣхъ силъ, какъ лучъ  $R$ .

Полное давленіе  $R$ , не должно выходить изъ ядра сѣченія быка и слѣдовательно напряженія опредѣляются по формулѣ (114).

Указанное построение приложимо къ различнымъ случаямъ, конечно измѣняя его сообразно обстоятельствамъ. Напр., если ось свода пересѣкается сопротивленіемъ  $B$  выше чѣмъ сопротивленіемъ  $A$ , то удобнѣе начать построение кривой давленія съ силы  $H_2$ , т. е. сначала построить многоугольникъ силъ  $P_2, Q_1$ , затѣмъ прибавить треугольникъ силъ  $P, A$  и  $H$  и т. д.

## ПРИЛОЖЕНИЕ I.

### Задачи и примѣры

КЪ ГЛАВАМЪ I и II.

#### Балочная ферма.

1. Балка  $AB$  перекрываетъ пролетъ  $l=5$  м. и несетъ на себѣ грузъ  $P=1000$  кгр. въ разстояніи  $a=3$  м. отъ лѣвой опоры. Найти сопротивленія опоръ, наибольшій изгибающій моментъ и поперечныя силы для различныхъ сѣченій аналитическимъ и графическимъ путемъ, пренебрегая собственнымъ вѣсомъ балки.

Для сопротивленій опоръ имѣемъ выраженія для изгибающихъ моментовъ относительно противоположныхъ опоръ.

$$M_A = Al - P(l - a)$$

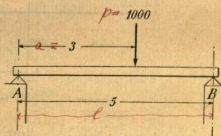
$$M_B = -Bl + Pa$$

Изъ перваго выраженія находимъ:

$$A = P \frac{l - a}{l} = 1000 \frac{2}{5} = 400 \text{ кгр.}$$

Изъ втораго:

$$B = P \frac{a}{l} = 1000 \frac{3}{5} = 600 \text{ кгр.}$$



Черт. 145.

Наибольшій изгибающій моментъ будетъ подъ грузомъ  $P$ . Проведя здѣсь вертикальное сѣченіе и взявъ моментъ всѣхъ внѣшнихъ силъ, дѣйствующихъ лѣвѣе этого сѣченія, напишемъ:

$$M = Aa = 400 \cdot 3 = 1200 \text{ кгр. м.}$$

Перерѣзывающая сила между опорою  $A$  и даннымъ грузомъ будетъ:

$$S = A = 400.$$

Въ сѣченіи гдѣ расположенъ грузъ —

$$S_x = A - P = 400 - 1000 = -600 \text{ кгр.}$$

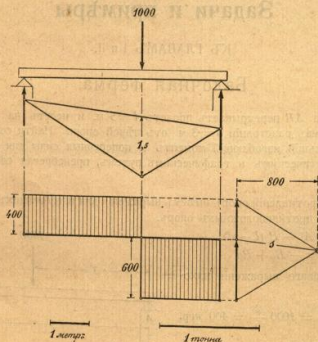
Въ сѣченіяхъ между  $x=3$  и  $x=l$  будетъ:

$$S_{x-l} = A - P = S_x = -600 \text{ кгр.}$$

При графическом решении строим многоугольник Вариньона, выбираем полюс, для чего проводим из концов многоугольника лучи до взаимного пересечения. По данному многоугольнику строим веревочный многоугольник и проводим между его точками пересечения с вертикалями опоры замыкающую. После этого в многоугольнике Вариньона проводим дугу, параллельно только что найденной замыкающей стороной и таким образом находим сопротивление опоры. Для данной силы  $P$  отложено 2,5 см., поэтому

$$A = 1 \text{ см.} = 400 \text{ нгр.}$$

$$B = 1,5 \text{ см.} = 600 \text{ нгр.}$$



Черт. 146.

Изменив ординату между боками веревочного многоугольника под грузом, найдем  $y = 1,5$  см., что при принятом масштабе выражает собою 1,5 м. Приняв во внимание, что полюсное расстояние  $H = 2,0$  см. и выразив его в тоннах, что при принятом масштабе даст 0,8 тонны, найдем:

$$M = Hy = 1,5 \cdot 0,8 = 1,2 \text{ тон. нгр.} = 120000 \text{ нгр. см.}$$

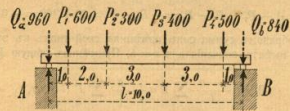
Для определения перерывающих сил, из точки раздѣла сопротивлений опоры в многоугольнике Вариньона проводим горизонтальную линию, на которую проектируем данную балку с точкой приложения груза. Затем проводим из верхнего конца многоугольника Вариньона горизонтальную линию до пересечения ее с вертикалью данного груза. Ординаты четырехугольника, заключенного между проведенной линией, линией балки и вертикалями лѣвой опоры и данного груза дают перерывающую силу  $S_{0,5} = 400$  для любого сѣчения, расположенного между лѣвою опорой и данным грузом. Проведя из нижнего конца многоугольника Вариньона горизонтальную линию

найдем также, что ординаты четырехугольника, заключенного между вертикалями груза и правой опоры и линией балки и только что проведенной дугу перерывающую силу

$$S_{0,5} = 600$$

для сѣчений между грузом и правой опорой; эта сила отрицательна, так как ординаты расположены ниже линии балки.

2. На балку  $AB$  пролетом  $l = 10$  м. дѣйствуют четыре груза, как показано на черт. 147. Найти сопротивления опоры и изгибающие моменты для



Черт. 147.

сѣчений  $x = 1,5$  м. и для опасного сѣчения и поперечную силу для сѣчений под грузами как аналитическим, так и графическим путем.

Для сопротивлений опоры имѣем выражения

$$A = \sum_1^4 P_i \frac{l - a_i}{l};$$

$$B = \sum_1^4 P_i \frac{a_i}{l}.$$

Подставляя численные значения найдем:

$$A = \frac{1}{10} \{ 600 \cdot 9 + 300 \cdot 7 + 400 \cdot 4 + 500 \cdot 1 \} = \frac{9600}{10} = 960 \text{ нгр.}$$

$$B = \frac{1}{10} \{ 600 \cdot 1 + 300 \cdot 3 + 400 \cdot 6 + 500 \cdot 9 \} = \frac{8400}{10} = 840 \text{ нгр.}$$

Дѣйствительно  $A + B = 960 + 840 = 1800$  нгр. = суммѣ грузов:

Для определения изгибающего момента относительно сѣчения  $x = 1,5$  м. проеце всего взять сумму моментов вѣнших сил, дѣйствующих лѣвѣе данного сѣчения, так как таких сил имѣется всего двѣ: сопротивление опоры  $A$  и груз  $P_1$ .

$$M_{1,5} = A \cdot 1,5 - P_1 \cdot 0,5 = 960 \cdot 1,5 - 300 \cdot 0,5 = 1290 \text{ нгр./м.}$$

Опасное сѣчение, т. е. то, для которого изгибающий момент имѣет наибольшее значение, по приближительному взгляду, может быть расположено или под грузом  $P_3$ , т. е. для  $x = 3$  или для  $x = 6$  под грузом  $P_4$ . Вопрос можно было бы решить попытками но так как требуется кроме того определить и перерывающую силу для различных сѣчений, то найдем для которого из сказанных двух сѣчений величина  $S$  имѣет свой знак.

Имеем в общем случае

$$S_x = A - \sum_1^x P.$$

Для данного случая, для сечения вправо от  $P_1$ :

$$S_x = A - P_1 - P_2 = 960 - 600 - 300 = 60 \text{ кг.}$$

Эта же перерывающая сила имеет место и для сечений между грузами  $P_2$  и  $P_3$ , т. е. между  $x=3$  и  $x=6$ . Для сечения чуть правее груза  $P_3$  будет:

$$S_x = A - P_1 - P_2 - P_3 = -S_3 - P_3 = 60 - 400 = -340.$$

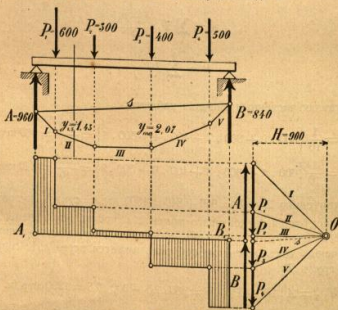
Таким образом сумма сил изменила свой знак в этом сечении, а потому  $M_{max}$  имеет значения для  $x=6$ . Применив общую формулу —

$$M = \frac{l-a}{l} \sum_1^a P a + \frac{a}{l} \sum_a^l P (l-a),$$

напишем, отнеся  $P_3$  к левым грузам:

$$M_{max} = M_6 = \frac{4}{10} (600 \cdot 1 + 300 \cdot 3 + 400 \cdot 6) + \frac{6}{10} 500 \cdot 1 = 1860 \text{ кг. м.}$$

Графическое решение вопроса изображено на черт. 148, где всё построено сделано как объяснено в предыдущей задаче.



Черт. 148.

Величины изгибающих моментов, вычисленных графически будут:

$$M_{1,5} = 900 \cdot 1,43 = 1287 \text{ кг. м.}$$

$$M_6 = 900 \cdot 2,07 = 1863 \text{ кг. м.}$$

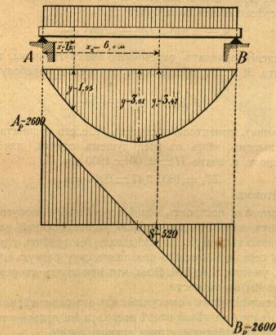
3. Исследовать тот же случай, принимая во внимание и собственный вес балки равный 70 кг. на погонный метр ее длины, если она совместно с другими балками поддерживает покрытие, весящее 500 кг. на квадратный метр его площади и расстояние между балками 0,9 м.

Полная равномерно распределенная нагрузка приходящаяся на 1 погонный метр балки

$$p = 70 + 0,9 \cdot 500 = 520 \text{ кг./м.}.$$

Сопrotивление опор, вызываемое этой нагрузкой будет:

$$A_p = B_p = \frac{pl}{2} = \frac{520 \cdot 10}{2} = 2600.$$



Черт. 149.

Это сопротивление опор будет суммироваться с найденным прежде и таким образом полное сопротивление опор будет:

$$A = 960 + 2600 = 3560;$$

$$B = 840 + 2600 = 3440.$$

Изгибающий момент для сечения  $x=1,5$  м. найдем по выражению:

$$M_{1,5} = A_p x - p \cdot x \cdot \frac{x}{2} = 2600 \cdot 1,5 - 520 \cdot 1,5 \cdot \frac{1}{2} = 3510.$$

Для сечения  $x=6$  м. изгибающий момент найдем по формуле

$$M_6 = p \cdot x \cdot \frac{(l-x)}{2} = 520 \cdot \frac{6 \cdot 4}{2} = 6240 \text{ кг./м.}$$

Прибавив эти величины к найденным в предыдущей задаче от влияния сосредоточенных грузов, найдем:

$$M_{1,5} = 1200 + 4200 = 5380 \text{ кг. м.}$$

$$M_2 = 1800 + 6240 = 8100 \text{ кг. м.}$$

Перерезывающая сила от равномерно распределенной нагрузки найдется по выражению

$$S_x = A_p - px,$$

что для сечения, напр.  $x = 6$ , будет иметь значение:

$$S_6 = 2600 - 520 \cdot 6 = - 520.$$

Принимая же во внимание найденную в предыдущем примѣрѣ величину, полная перерезывающая сила будет:

$$S_6 = - 340 - 520 = - 860 \text{ кг.}$$

Для нахождения ординат вервочного многоугольника, входящихъ въ выражение момента  $M = Hy$ , проще всего построить параболу со стрѣлкою.

$$y'_{\max} = \frac{pl^2}{8H} = 3,61.$$

Многоугольникъ моментовъ построить (т. е. его ордината) въ масштабѣ въ два раза меньшемъ, чѣмъ въ предыдущемъ случаѣ, для чего полюсное расстояние удвоено т. е. взято  $H = 2 \cdot 900 = 1800$  кг.

$$M_2 = 1800 \cdot 3,47 = 6246 \text{ кг.}$$

т. е. ошибка ничтожна.

Еслибъ пожелали построить общій вервочный многоугольникъ для изгибающаго момента, какъ отъ равномерно распределенной нагрузки, такъ и отъ сосредоточенныхъ грузовъ, то слѣдовало бы разбить грузовую площадь на участки и къ серединамъ каждаго приложить силу равную его площади, т. е. напр. длину его, умножить на 520. Ясно, что при этомъ вторымъ способомъ, рѣшене страдало бы въ точности.

Для построения диаграммы для суммы силъ отъ равномерно распределенной нагрузки откладываемъ на лѣвой опорѣ вверхъ, а на правой внизъ  $A_2 = B_2 = - 2600$  и соединяемъ найденныя точки прямою линіею.

4. Балка  $AB$  пролетомъ  $l = 8$  м. нагружена въ точкѣ  $C$ , отстоящей отъ лѣвой опоры на 1,5 м., сосредоточеннымъ грузомъ  $P = 2100$  кг., а отъ точки  $D$  вплоть до правой опоры нагружена равномерно по 120 кг. на погонный метръ. Построить линіи моментовъ и поперечныхъ силъ.

Построение произведено въ масштабѣ 1:200, масштабъ силъ принять 1:3000, полюсное расстояние  $H = 4500$  кг. Для сосредоточеннаго груза и равномерно распределенной нагрузки построены общій многоугольникъ силъ, по которому найдемъ вервочный многоугольникъ, представляющій на участкахъ  $D_1 B_1$  стороны касательныя къ кривой действительнаго вервочнаго многоугольника. Значенія найденныя графически.

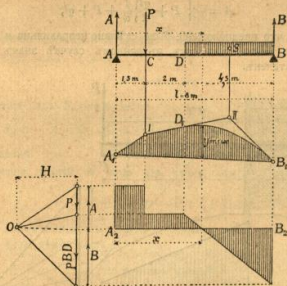
$$A = 3225 \text{ кг. } B = 4275 \text{ кг.}$$

Расстояние опаснаго сечения отъ лѣвой опоры

$$x_n = 4,45 \text{ м.}$$

Соответствующая этому сечению ордината кривой моментовъ

$$y_{\max} = 1,7 \text{ м.}$$



Черт. 150.

Наибольшій изгибающій моментъ

$$M_{\max} = 4,5 \cdot 1,7 = 7,65 \text{ тонно метровъ}$$

Примѣчаніе. Если бы требовалось опредѣлить величину изгибающаго момента для сеченій около середины  $DB$  то слѣдовало бы раздѣлить этотъ участокъ нагрузки на отдѣльныя части и для нихъ построить вервочный многоугольникъ и тогда уже вписывать кривую.

Б. Балка  $AC$  задрѣлана однимъ концомъ въ стѣну, гдѣ имѣетъ двѣ опоры  $A$  и  $B$  у краевъ стѣны. Кроме собственнаго вѣса  $q$  кг. на погонный метръ на балку дѣйствуетъ грузъ  $P$ , расположенный на ея правомъ концѣ. Опредѣлить реакціи опоръ наибольшій изгибающій моментъ и поперечную силу.

Для опредѣленія сопротивленія опоры  $B$  возьмемъ сумму моментовъ вѣшнихъ силъ относительно опоры  $A$ , полагая что сопротивленіе опоры  $B$  направлено вверхъ.

$$M_A = Pl + ql \cdot \frac{l}{2} - B \cdot d = 0,$$

откуда

$$B = \left\{ P + \frac{ql}{2} \right\} \frac{l}{d}$$

Знакъ плюсъ показываетъ, что сопротивленіе опоры  $B$  направлено дѣйствительно вверхъ.

Для опредѣленія сопротивленія опоры  $A$  беремъ сумму моментовъ вѣшнихъ силъ относительно опоры  $B$ .

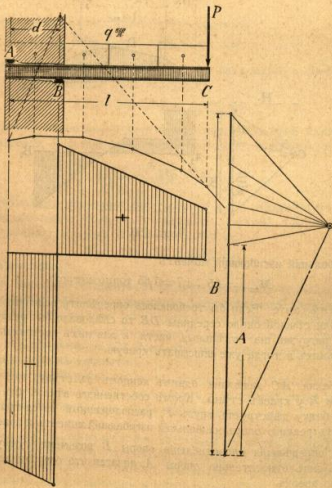
$$M_B = P(l-d) + ql \left( \frac{l}{2} - d \right) + Ad,$$



гдѣ предположено сначала, что сопротивление опоры  $A$  течетъ въ одну сторону съ сопротивленіемъ опоры  $B$ . Изъ послѣдняго уравненія находимъ:

$$A = - \left\{ P + \frac{ql}{2} \right\} \frac{l}{d} + P + ql,$$

откуда видимъ, что предположеніе было сдѣлано неправильно и сопротивленіе опоры  $A$  течетъ внизъ, такъ какъ въ данномъ случаѣ знакъ передъ выраженіемъ отрицателенъ.



Черт. 151.

Изъ послѣдняго уравненія видно, что сопротивленіе опоры  $A$  измѣнитъ свой знакъ, т. е. будетъ направлено въ одну сторону съ  $B$ , если окажется

$$\frac{l}{d} < \frac{P + Q}{P + \frac{1}{2}Q},$$

гдѣ  $Q$  есть собственный вѣсъ балки, т. е.  $Q = ql$ , что будетъ при большомъ  $d$  и маломъ  $l$ , т. е. когда балка, задѣланная однимъ концомъ, обратится въ балку на двухъ опорахъ съ консолью.

Найдемъ величину поперечной силы.

Для сѣченія надъ  $A$  перерѣзывающая сила будетъ

$$S_A = -A,$$

т. е. отрицательна, такъ какъ  $A$  есть абсолютная величина.

Для сѣченія между  $A$  и  $B$

$$S_x = -A - qx,$$

для сѣченія надъ  $B$ , она будетъ

$$S_B = -A + B - ql = P + ql - ql = P + q(l - d),$$

т. е. положительна.

Для сѣченія правѣе  $B$ , напр. для точки, лежащей отъ  $A$  на  $x$ , она будетъ

$$S_x = A + B - qx = P + q(l - x),$$

т. е. остается положительнымъ вплоть до праваго конца, гдѣ она въ точкѣ, лежащей чуть лѣвѣе силы  $P$ :

$$S_x = A + B - ql = P,$$

а для самаго конца

$$S_x = A + B - ql - P = 0,$$

Итакъ перерѣзывающая сила измѣнила свой знакъ въ сѣченіи надъ опорой  $B$ , а потому изгибающій моментъ въ этомъ сѣченіи будетъ наибольшій (для силъ лѣвѣе этого сѣченія).

$$M_{\max} = M_B = -Ad,$$

т. е.

$$M_x = \left\{ P + \frac{ql}{2} \right\} l - Pl - ql \cdot d,$$

что нашли бы взяли и моментъ силъ правѣе даннаго сѣченія.

Графическое рѣшеніе ясно изъ чертежа 151.

3. На балку  $AB$  пролетомъ  $l = 12$  м. дѣйствуетъ равномерно распределенная нагрузка постоянная по 400 кгр. на погонный метръ длины балки и временная по 600 кгр. на погонный метръ ее длины. Найти величину наибольшей поперечной силы для сѣченія отстоящаго отъ лѣвой опоры на расстояніи  $x = 4$  м. аналитическимъ и графическимъ путемъ и сѣченіе, для котораго въ этомъ случаѣ имѣетъ мѣсто  $M_{\max}$ .

Наибольшее значеніе перерѣзывающей силы получится, когда подвижная нагрузка займетъ положеніе отъ разсматриваемаго сѣченія до праваго опоры, какъ показано на черт. 152. Въ этомъ случаѣ для разсматриваемаго сѣченія будетъ:

1) Перерѣзывающая сила отъ постоянной нагрузки (сумма силъ дѣйствующихъ лѣвѣе даннаго сѣченія).

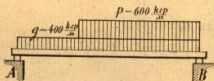
$$S' = A' - gx = \frac{gl}{2} - gx = g \left( \frac{l}{2} - x \right). \quad (1)$$

## 2) Перерывающая сила от подвижной нагрузки.

$$S_x^v = A_x^v \quad (2)$$

где  $A_x^v$  есть сопротивление опоры, вызываемое данным расположением нагрузки; оно будет:

$$A_x = p \frac{(l-x)^2}{2l} \quad (3)$$



Черт. 152.

Таким образом полная величина поперечной силы

$$S_x = S_x^q + S_x^p = g \left( \frac{l}{2} - x \right) + p \frac{(l-x)^2}{2l} \quad (4)$$

Подставляя данные значения, найдем:

$$S_x = 400(6-4) + 300 \frac{64}{12} = 800 + 1600 = 2400. \quad (5)$$

Для нахождения, соответствующего этому расположению нагрузок, опасного сечения, следует найти такое сечение, в котором перерывающая сила изменит свой знак. Так как в данном случае имеем дело с нагрузкой, изменяющейся непрерывно, то меняя свой знак, перерывающая сила должна пройти через значение равно нулю. С другой стороны очевидно, что это сечение расположено где-либо правее сечения  $x = 4 \text{ м} = a$ , так как левее этого сечения перерывающая сила от временной нагрузки остается неизменной (2) и (3) а от постоянной возрастает (1) и (4). Поэтому возьмем некоторое сечение  $x > a$  и найдя для него выражение для перерывающей силы, приравняем его нулю.

$$S_x = 0 = g \left( \frac{l}{2} - x \right) + p \left\{ \frac{(l-a)^2}{2l} - (x-a) \right\} \quad (6)$$

где первый член выражает сумму сил от постоянной нагрузки, а второй от временной. Определив из этого уравнения  $x$ , найдем:

$$x = \frac{p}{2l} (l-a)^2 + pa + g \frac{l}{2} \cdot \frac{1}{p+g}$$

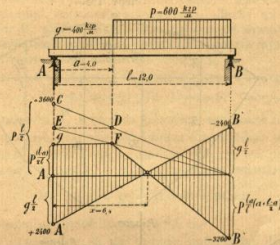
Подставляя численные значения:

$$x = \frac{25 \cdot 64 + 2400 + 2400}{1000} = 6,4 \text{ м.}$$

Всяма наглядное решение получается графическим путем. Сначала проводим линию  $A_1 B_1$  — перерывающей силы от постоянной нагрузки, для

чего откладываем над опорами в противоположные стороны ординаты  $AA_1$  и  $BB_1 = \frac{gl}{2} = 2400$ .

Затем находим ординату перерывающей силы от временной нагрузки для сечения  $x = a$ , для чего откладываем на левой опоре  $AB = \frac{pl}{2}$ , проводим  $BC$ , находим точку  $D$  ее пересечения с ординатой данного сече-



Черт. 153.

ния, проводим  $DE \parallel AB$ , потом  $EB$  и находим искомую ординату. Перерывающая сила от временной нагрузки левее этого сечения не изменяется, почему проводим  $FG \parallel AB$ . Остается найти еще одну точку правее сечения  $x = a$ , через которую пройдет искомая линия. Проще всего найти ее конечную ординату над опорой  $B$ . Сопротивление этой опоры будет:

$$B = p \frac{l-a}{l} \left( a + \frac{l-a}{2} \right) = 600 \frac{8}{12} \left( 4 + \frac{8}{2} \right) = 3200.$$

Отложив  $B = 3200$ , соединим точку  $B$  с  $F$ . Для удобства складывания ординат двух полученных линий они отложены в противоположные стороны от оси абсцисс. Пересечение этих линий между собою в точке  $K$  определит искомое сечение  $x = 6,4 \text{ м}$ , так как в нем ордината перерывающей силы равна нулю.

7. На балке с узловой передачей  $a, b, c, d, e, f$  расположена система подвижных грузов от  $P_1$  до  $P_5$ ; кроме того на балку действует равномерно распределенная нагрузка  $Q$ , не показанная на чертеже. Определить наибольший изгибающий момент для узлов балки.

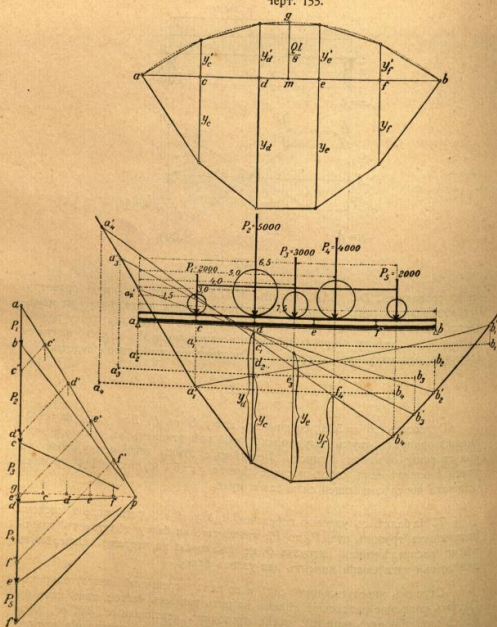
Строим многоугольник сил и по нему веревочный многоугольник. Затем полное расстояние делим на пять равных частей, так как в балке пять равных панелей; далее проводим вертикали  $cc', dd', ee', ff'$  и  $cc'', dd'', ee'', ff''$  — по известным правилам. Из этого построения прежде всего оказывается, что над узлом  $c$ , для получения в этом сечении балки

наибольшего изгибающего момента, надо поставить груз  $P_2$ . И действительно аналитическая поправка даёт:

$$\frac{P_2}{\sum P} = \frac{2000}{14000} < \frac{\lambda}{l} = \frac{1,5}{6}, \text{ или } \frac{1}{7} < \frac{1}{4},$$

т. е. систему следует продвинуть против своего первоначального положения

Черт. 155.



Черт. 154.

влѣво. И такъ, если придать балкѣ положеніе  $a_1b_1$ , такъ чтобы точка  $c_1$  пришлась на вертикали силы  $P_2$  и черезъ точки  $a_1$  и  $b_1$  опустить вертикали до пересѣченія съ боками веревочнаго многоугольника, въ точкахъ  $a'_1$  и  $d'_1$  то линія  $a_1b'_1$  будетъ замыкающимъ бокомъ многоугольника моментовъ и ордината  $y_c$  представитъ собою величину наибольшаго изгибающаго момента въ сѣчени  $c$ , если принять что поперечное разстояніе равно единицѣ. Въ сѣчени  $d$  наибольшій изгибающій моментъ вызывается также силою  $P_2$ , чему соответствуетъ положеніе балки  $a_2b_2$  и для многоугольника моментовъ замыкающей бокъ  $a_2b'_2$  и величина изгибающаго момента  $y_d$ . Далѣе въ сѣчени  $e$  надо поставить грузъ  $P_3$ , тогда получимъ наиб. изгибающій моментъ  $y_e$ . Наконецъ въ сѣчени  $f$  наибольшій изгибающій моментъ вызывается грузомъ  $P_4$  и равенъ  $y_f$ . Наибольшій изъ всѣхъ моментовъ будетъ  $y_d$ .

Равномерно распределенная нагрузка вызывается въ серединѣ балки изгибающій моментъ  $\frac{ql}{8}$  (при непосредств. передачѣ). Построивъ на балкѣ  $ab$  параболу со стрѣлкою  $\frac{ql}{8}$  и проведя въ узлахъ вертикали до пересѣченія съ построенной параболой, получимъ для сѣченія  $d$  изгибающій моментъ  $y'_d$ .

И такъ полный наибольшій изгибающій моментъ отъ подвижной и постоянной нагрузокъ будетъ  $y_d + y'_d$ . По измѣренію оказывается

$$M_{H=1} = y_d + y'_d = 83 + 13 = 46 \text{ мм.}$$

что при выбранномъ масштабѣ составитъ 4,6 см.

Поперечное разстояніе = 30 мм., что при выбранномъ масштабѣ составляетъ 30,200 = 6000 кгр. Поэтому полный изгибающій моментъ будетъ

$$M = 4,6 \cdot 6000 = 27.601 \text{ кгр. м.}$$

На чертѣжѣ 155 построена эпюра моментовъ.

**В.** Система подвижныхъ грузовъ движется по балкѣ  $ab$  отъ  $b$  къ  $a$ . Определить наибольшую поперечную силу въ панели  $cd$ . Величины грузовъ и разстоянія между ними указаны на чертѣжѣ 156.

Когда система грузовъ продвинется такимъ образомъ, что грузъ  $P_1$  становится надъ узломъ  $d$ , то, согласно графическому построенію, величина поперечной силы въ панели  $d$  будетъ:

$$S_d = dg = 23 \text{ мм.} = 4600 \text{ кгр.}$$

Если теперь подвинемъ систему дальше влѣво такъ, чтобы грузъ  $P_1$  сошелъ съ узла  $d$ , то получимъ отношеніе

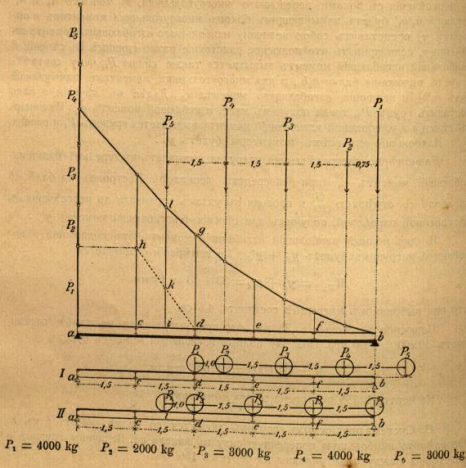
$$\frac{\sum P}{P_1} = \frac{16000}{4000} = 4,$$

между тѣмъ отношеніе

$$\frac{l}{\lambda} = \frac{7,5}{5,5} = 5.$$

Вслѣдствіе этого согласно (14 стр. 33), при второмъ положеніи системы, указанномъ на нижнемъ чертѣжѣ (II) поперечная сила въ панели  $d$  будетъ

иметь уже меньшее значение. Так оно получается и из графического построения, так как отрезок  $kl=20$  мм, т. е. меньше отрезка  $dq$ .



9. Балка на двух опорах пролетом  $l$ , с двумя консолями длиной  $a$ , нагружена равномерно распределенной нагрузкой по  $p$  кгр. на погонный метр ее длины; кроме того на концах балки действуют сосредоточенные грузы  $P$ . Найти сопротивления опор поперечную силу и изгибающий момент для любого сечения.

Для нахождения сопротивления опор поступим по общему правилу, взвьем момент вблизих сил относительно противоположной опоры.

$$M_B = -P(a+l) - p(a+l) \frac{a+l}{2} + Al + Pa + pa \frac{a}{2}, \quad (1)$$

откуда

$$A = P + p \left( a + \frac{l}{2} \right) = B, \quad (2)$$

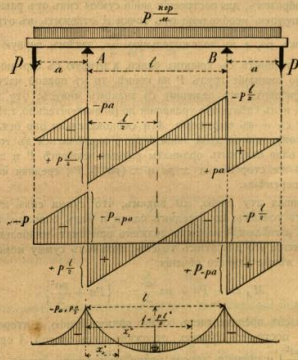
так как нагрузка симметрична.

Для нахождения поперечной силы для любой точки, всего лучше построить диаграмму сумм сил по нескольким точкам. Сначала построим сумму сил лишь от равномерно распределенной нагрузки, т. е. полагая  $P=0$ . Для левого конца балки будет:

$$S_{-a} = 0 \quad (3)$$

За начало координат принята точка  $A$ , так как в этой точке никакого груза еще не действует. В некоторой точке  $m$  удаленной от опоры  $A$  на расстояние  $-x$  будет

$$S_{-x} = -p(a-x) \quad (4)$$



Над опорой  $A$  чуть лѣвѣе ее, когда  $-x$  приблизится къ нулю, будет

$$S'_A = -pa \quad (5)$$

Сейчас же перейдя опору къ этой величинѣ прибавится сопротивление самой опоры.

$$S_A = S'_A + A = -pa + p \left( a + \frac{l}{2} \right) = p \frac{l}{2}, \quad (6)$$

т. е. такъ же какъ и для балки безъ консолей.

Для середины балки будет:

$$S_l = S_A - p \frac{l}{2} = 0 \quad (7)$$

Далѣе она перейдет снова въ отрицательную сторону и надъ правой опорой со стороны середины балки ея будетъ

$$S_B = S_A - pl = -\frac{pl}{2}; \quad (8)$$

со стороны же консоли будетъ

$$S'_B = S_B - B = -p \frac{l}{2} + p \left( a + \frac{l}{2} \right) = pa \quad (9)$$

и наконецъ въ правомъ концѣ

$$S_{l+a} = 0 \quad (10)$$

Такимъ образомъ, для построения лини суммы силъ отъ равномерно распределенной нагрузки, необходимо отъ точки  $A$  отложить въ отрицательную сторону отрезокъ  $pa$ , а въ положительную  $\frac{pl}{2}$ , затѣмъ первую изъ этихъ двухъ точекъ соединить съ концомъ балки, а вторую съ серединою. Теперь, если принять во внимание грузъ  $P$  на концѣ, то къ правой части уравненія надо прибавить въ слѣдующемъ выраженіи со знакомъ минусъ; эту же величину надо прибавить и въ слѣдующемъ уравненіи до (6) включительно, гдѣ кромѣ того войдетъ еще  $P$  съ  $+$  въ выраженіи  $A$  и слѣдовательно оно останется неизмѣннымъ. Поэтому отличіе этой лини будетъ заключаться въ томъ, что отъ концовъ балки надо отложить ординаты равныя величинѣ  $P$  и затѣмъ надъ опорами въ тѣ же стороны на  $\pm pa$  и  $\pm (pa + P)$ , средняя часть лини  $S$  остается безъ переменъ.

Разсматривая эту линію, мы видимъ, что сумма силъ мѣняетъ свой знакъ въ трехъ точкахъ; по серединѣ балки и надъ опорами, а потому въ этихъ точкахъ изгибающій моментъ долженъ принимать наибольшее значеніе. Найдемъ выраженіе его для этихъ точекъ. Возьмемъ сумму моментовъ силъ дѣйствующихъ лѣвѣ данного сѣченія.

$$M_A = -Pa - pa \frac{a}{2} = -\left\{ Pa + \frac{pa^2}{2} \right\}.$$

Первый членъ представляетъ собою прямую линію, а второй параболу, поэтому легко построить кривую, отложивъ надъ опорой  $A$  ординату равную  $-\left( Pa + \frac{pa^2}{2} \right)$  и принявъ конецъ балки за вершину кривой. Точно также для правой опоры:

$$M_B = -P(a+l) - pa \left( \frac{a+l}{2} \right) - pa \frac{l^2}{2} + Al = -\left\{ Pa + \frac{pa^2}{2} \right\}. \quad (11)$$

Для середины балки будетъ

$$M_{\frac{l}{2}} = -P \left( a + \frac{l}{2} \right) - pa \left( \frac{l}{2} + \frac{a}{2} \right) - p \frac{l}{2} \cdot \frac{l}{4} + Al. \quad (12)$$

Подставивъ сюда значеніе  $A$  изъ (2), послѣ надлежащихъ сокращеній, получимъ:

$$M_{\frac{l}{2}} = -Pa - \frac{pa^2}{2} + \frac{pl^2}{8}. \quad (13)$$

Сравнивъ это уравненіе съ (11), найдемъ, что первая два числа представляютъ собой опорный моментъ, а послѣдній моментъ отъ равномерно

распределенной нагрузки для середины простой безконсольной балки. Т. е. Можно написать.

$$M_{\frac{l}{2}} = M_A + M_{\frac{pl}{2}} \quad (13 \text{ bis})$$

Поэтому для построения моментовъ для средняго участка балки надо построить параболу со стрѣлкою  $\frac{p^2 l^3}{8}$  отсчитанной отъ хорды, соединяющей вершины кривой опорныхъ моментовъ, что ясно на чертежѣ.

Какъ изъ послѣдняго уравненія, такъ и изъ чертежа видно, что моментъ  $M_{\frac{l}{2}}$  можетъ быть какъ положительнымъ, такъ и отрицательнымъ и наконецъ частнымъ случаѣ можетъ обратиться въ 0. Последнее произойдетъ, когда будетъ:

$$M_A = M_{\frac{pl}{2}}$$

что произойдетъ, когда отношеніе величинъ грузовъ сосредоточеннаго и равномерно распределеннаго а также длины консолей и средняго пролета таково, что

$$\frac{P}{p} = \frac{1}{2} \left\{ \frac{l^2}{4} - a^2 \right\} \quad (14)$$

Если  $M_{\frac{l}{2}}$  получается отрицательнымъ, то кривая моментовъ пересѣченія

осъ абсциссъ въ двухъ точкахъ, и слѣдовательно для этихъ точекъ изгибающій моментъ равенъ нулю. Чтобы найти эти точки, найдемъ сначала выраженіе изгибающаго момента для какой-либо изъ точекъ между опорами. Руководствуясь только что найденнымъ свойствомъ найденной кривой и уравненіемъ (13 bis) напишемъ.

$$M_x = M_A + M_{\frac{pl}{2}} \quad (15)$$

что можно и вывести непосредственно какъ и для середины балки.

Подставляя въ это уравненіе соответственныя значенія, найдемъ

$$M_x = -\left\{ Pa + \frac{pa^2}{2} \right\} + \frac{p}{2} x(l-x) \quad (15 \text{ bis})$$

Для искомымъ точекъ значеніе этого момента обращается въ нуль, а потому приравнявъ послѣднее уравненіе нулю и опредѣливъ значеніе для  $x$ , получимъ

$$x_0 = \frac{pl}{2} \pm \sqrt{\frac{p^2 l^2}{4} - (2Pa + pa^2)}, \quad (16)$$

гдѣ для  $x_0$  получается два значенія  $x'_0$  и  $x''_0$ , соответствующихъ двумъ знакамъ передъ корнемъ. Корень получается минимымъ, когда

$$\frac{pl^2}{8} < Pa + \frac{pa^2}{2}$$

т. е.

$$M_{\frac{pl}{2}} < M_A$$

тогда как уже сказано выше линия моментов не пересѣкаетъ оси  $x$ -совъ. Если знакъ неравенства обращается въ  $=$ , то получаемъ

$$x'_0 = x''_0 = \frac{l}{2}$$

т. е. кривая касается оси  $x$ -овъ въ серединѣ пролета.

Ю. На балку пролетомъ  $l$  съ двумя равными консолями  $a$  дѣйствуютъ по серединѣ равномерно распределенная нагрузка по  $p$  кгр. на погонный метръ на участкѣ длиною  $C$  и на концахъ равныя силы  $P$ . Построить лини поперечныхъ силъ и изгибающаго момента.

Руководствуясь предыдущимъ примѣромъ и симметрией расположенія, напомнимъ сразу сопротивленіе опоры.

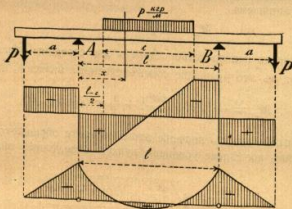
$$A = B = P + \frac{pc}{2}$$

Для построения лини перерѣзывающей силы примемъ ординату опоры  $A$  за начальную, тогда для всякаго сѣченія взятаго на протяжении всей консоли, т. е. для  $x = -a$  до  $x = 0$ , найдемъ:

$$S_{-a} = -P, S'_0 = -P.$$

Для сѣченія вправо отъ опоры  $A$ , къ этому прибавится сопротивленіе опоры  $A$ .

$$S_0 = -P + A = \frac{pc}{2}$$



Черт. 158.

Эта величина сохранится на всемъ протяженіи до точки, гдѣ начинается равномерно распределенная нагрузка, т. е. лини перерѣзывающей силы будетъ горизонтальна, откуда лини начнетъ уклоняться, такъ какъ будетъ вступать отрицательный грузъ.

$$S_x = p \left( \frac{l}{2} - x \right);$$

$$\text{для } x = \frac{l}{2}:$$

$$S_l = S_0 - pc = 0;$$

$$\text{для } x = \frac{1}{2}l + \frac{1}{2}c:$$

$$S \frac{l}{2} + \frac{c}{2} = -\frac{pc}{2}.$$

Для сѣченія лѣвѣ опоры  $B$  будетъ тоже. Наконецъ для сѣченія вправо отъ опоры  $B$  вплоть до праваго конца будетъ

$$S_B = -\frac{pc}{2} + B = P$$

Для построения лини моментовъ, сначала вспомнимъ правило, выведенное въ предыдущемъ примѣрѣ, т. е. моментъ для сѣченія консоли зависитъ лишь отъ грузовъ на консоли  $M_a$ , а моментъ для сѣченія между опорами равенъ суммѣ опорнаго момента и момента какъ для простой балки, поэтому общій видъ кривой (черт. 158) сразу понятенъ; остается опредѣлить ординаты. Надъ опорами, когда  $x = 0$  будетъ:

Для сѣченія лѣвѣ опоры

$$M_{-a} = P(a-x),$$

что выражаетъ собою ординаты прямой лини.

$$M_A = M_B = -Pa;$$

для сѣченія между опорами:

$$M_x = M_A + M_{ог};$$

второй же членъ равенъ:

$$M_{ог} = Ax - p \left\{ x^2 - \frac{1}{2}(l-x)^2 \right\}$$

и представляетъ собою параболу, стрѣлку которой слѣдуетъ отложить отъ хорды соединяющей концы опорныхъ ординатъ.

Предлагаемъ читателю произвести изслѣдованія этой кривой, какъ въ предыдущемъ примѣрѣ.

КЪ ГЛАВѢ II.

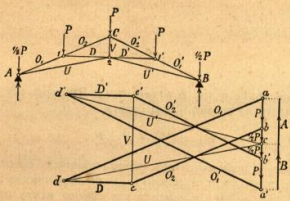
## Рѣшетчатая балочная ферма.

Диаграммы Времона \*).

11. На стропильную ферму, указанную на черт. (159), дѣйствуетъ нагрузка, передающаяся узлахъ по  $P$  на каждый узелъ. Построить диаграмму.

\*) Предлагаемъ читателю построить каждую диаграмму самостоятельно, воспользовавшись обозначеніями Bow's; затѣмъ сравнить результаты съ чертежами — задачъ.

На чертеж 159 исполнена эта диаграмма. Сжатия части на диаграмм прочерчены толстыми линиями, а вытянутая — тонкими. Построение проще всего начать с опорного узла.

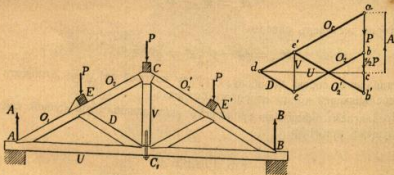


Черт. 159.

Ферма эта называется немецкою.

12. Построить диаграмму усилий от вертикально действующих сил для деревянной подвешной фермы.

Применяя для расчета деревянных стропильных ферм построение диаграммы усилий по Кремону следует весьма осторожно. Деревянные фермы удовлетворяют основным условиям математической фермы еще меньше, чем



Черт. 160.

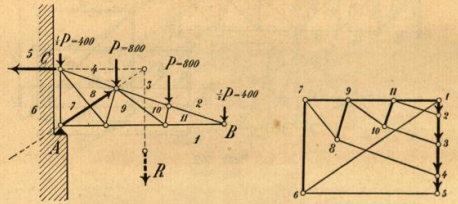
металлическая. Получение усилий указанными в курсъ способами может дать лишь приближительную оценку напряжений в частях, да и то лишь для простейших типовъ.

Построение исполнено на черт. 160 и не требует особыхъ пояснений.

13. На навѣсъ черт. 161 действуют вертикальные силы от собственного вѣса в 33 кгр. и от вѣса снега 100 кгр. на квадрат метръ горизонтальной ея проекции. Фермы расставлены на расстоянии 3 мет. одна от

другой. Найти усилия в ея частях, а также вѣсты ея задѣлки в стѣну въ точкѣ C.

На каждый изъ средних узловъ действуетъ сила P.  $l = 133.23.800$ , гдѣ  $l = 2.0$  м. есть горизонтальная проекция панели; крайніе узлы нагружены половиной нагрузкой, т. е. по 400 кгр.



Черт. 161.

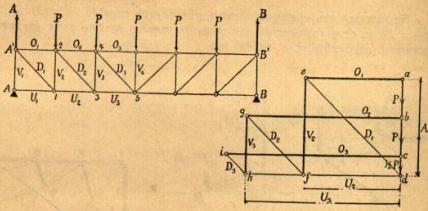
Построение диаграммы проще всего начать с концевго узла B. При переходѣ къ узлу C горизонтальное напряжение H определять изъ того условия, что сила H должна находиться въ равновѣсїи съ равнодѣйствующею  $\Sigma P = 2400$  кгр. и сопротивленіемъ опоры A. Усилия прописаны по бокамъ диаграммы.

Стержни.	Усилия.	Стержни.	Усилия.
1 — 21	— 1150 кгр.	8 — 9	— 1050 кгр.
1 — 9	— 2320 >	9 — 10	+ 1150 >
1 — 7	— 3400 >	10 — 11	— 700 >
6 — 7	— 2400 >	2 — 11	+ 1200 >
6 — 8	+ 1300 >	3 — 10	+ 1450 >
		4 — 8	+ 2750 >

14. Ферма съ параллельными поясами, постоянные грузы действуют на верхніе узлы.

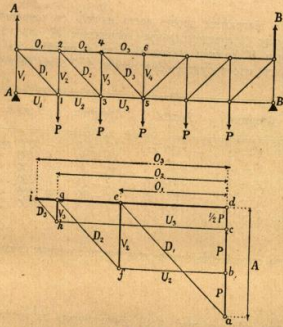
Если ферма какъ на черт. (162) симметрична, то достаточно построить диаграмму усилий для ея половины. Однако иногда можетъ оказаться, что необходимо принять во внимание и нѣкоторые стержни другой половины. Такъ напр. при дѣйствїи грузовъ по верху на ферму черт. ( ) для опредѣленія усилия въ средней стойкѣ необходимо опредѣлить усилие и въ стержняхъ четвертой верхней панели, т. е. построить диаграммы какъ для верхняго, такъ и нижняго среднихъ узловъ.

впрочем ясно что усилие  $V_4 = P$ , почему можно ограничиться построением диаграммы указанным на чертеже.



Черт. 162.

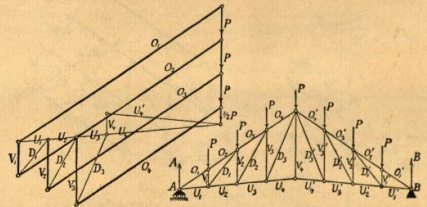
15. Та-же ферма, но постоянные грузы дѣйствуют на нижне узлы.



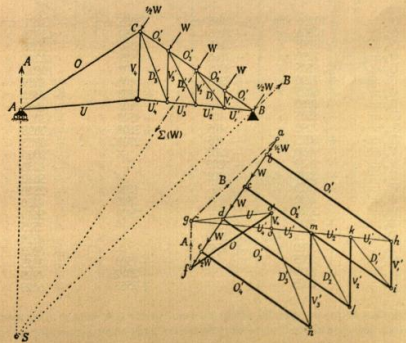
Черт. 163.

Въ этомъ случаѣ нѣтъ необходимости при построении диаграммы принимать во вниманіе верхній средней узелъ, такъ какъ средняя стойка не испытываетъ никакого усиія.

16. Расчитать усиія въ английской стропильной фермѣ, на узлы которой дѣйствуютъ узловыя нагрузки  $P =$  и усиія отъ вѣтра  $W =$

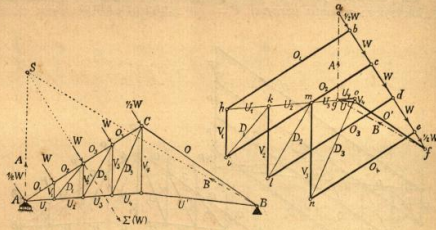


Черт. 164.



Черт. 164 а.





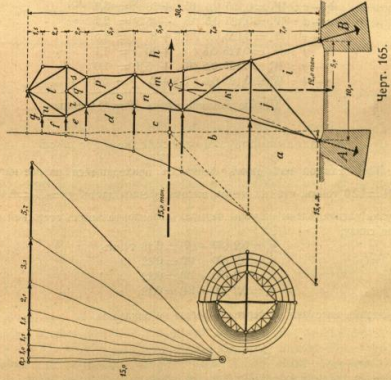
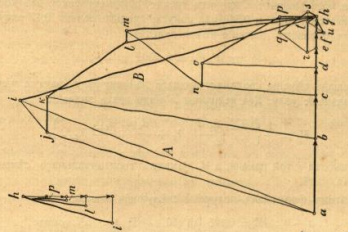
Черт. 164 б.

УСИЛИЯ ВЫЗЫВАЕМЫЕ:

Стержни.	собственнымъ вѣсомъ и давленіемъ сѣбѣ.	давленіемъ вѣтра съ лѣвой стороны.	давленіемъ вѣтра съ правой стороны.	сложными усиліи.
$O_1''$	- 10206 кгр.	- 2166 кгр.	- 3085 кгр.	- 13291 кгр.
$O_2''$	- 10206 »	- 2166 »	- 3752 »	- 13958 »
$O_3''$	- 8748 »	- 2166 »	- 3340 »	- 12088 »
$O_4''$	- 7290 »	- 2166 »	- 2927 »	- 10217 »
$U_1''$	+ 8505 »	+ 2295 »	+ 1808 »	+ 10800 »
$U_2''$	+ 7290 »	+ 1395 »	+ 1808 »	+ 8685 »
$U_3''$	+ 6075 »	+ 495 »	+ 1808 »	+ 7883 »
$U_4''$	+ 4860 »	+ 405 »	+ 1808 »	+ 6668 »
$V_1''$	+ 8505 »	- 405 »	+ 4508 »	+ 13013 »
$V_2''$	+ 7290 »	- 405 »	+ 3608 »	+ 10898 »
$V_3''$	+ 6075 »	- 405 »	+ 2708 »	+ 8783 »
$V_4''$	- 1620 »	- 1200 »	- »	- 2820 »
$V_5''$	- 2430 »	- 1800 »	- »	- 4230 »
$V_6''$	- 3240 »	- 2400 »	- »	- 5640 »
$V_7''$	- 1620 »	- »	- 1200 »	- 2820 »
$V_8''$	- 2430 »	- »	- 1800 »	- 4230 »
$V_9''$	- 3240 »	- »	- 2400 »	- 5640 »
$D_1''$	+ 2025 »	+ 1500 »	- »	+ 3525 »
$D_2''$	+ 2717 »	+ 2012 »	- »	+ 4729 »
$D_3''$	+ 3460 »	+ 2563 »	- »	+ 6023 »
$D_4''$	+ 2025 »	- »	+ 1500 »	+ 3525 »
$D_5''$	+ 2717 »	- »	+ 2012 »	+ 4729 »
$D_6''$	+ 2025 »	- »	+ 2563 »	+ 6023 »

17. Маякъ съ высотой въ 30,0 м. имѣетъ въ планѣ видъ круга черт. 165 и состоитъ изъ двухъ рѣшетчатыхъ фермъ, расположенныхъ по двумъ взаимно

перпендикулярнымъ діаметрамъ круга; вспомоگательныя фермочки соединяють узлы главныя фермы и несутъ желѣзную листовую обшивку маяка. Соб-



Черт. 165.

ственный вѣсъ маяка 24,0 тонны; давленіе вѣтра 250 кгр. на кв. м. нормальной къ вѣтру плоскости. Расчитать усилія въ главныя фермы и ихъ опорахъ.

Расчетъ произведенъ графически. Для этого вычислены первоначально узловыя нагрузки отъ дѣйствія вѣтра и отъ собственнаго вѣса.

## а) Узловая нагрузки от дѣйствия вѣтра.

Давление вѣтра определено по даннымъ опытовъ Irminger'a (см. стр. 109), причемъ за коэффициентъ  $\lambda$  принято среднее арифметическое изъ коеф. 0,57 — для длиннаго цилиндра и 0,38 — для конуса; среднее арифм. 0,47 округлено до 0,5. Такимъ образомъ давление вѣтра будетъ

$$W = \mu W_0 F = 0,5 \cdot 250 F = 25 F,$$

гдѣ  $F$  площадь сѣченія соответствующаго данному узлу участка маяка, передающаго давление узлу. Для величины  $F$  надо взять значеніе

$$F_i = \frac{1}{2} \left( \frac{d_{i-1} + d_i}{2} \lambda_i + \frac{d_i + d_{i+1}}{2} \lambda_{i+1} \right),$$

здѣсь  $\lambda_i$  высота  $i$  той панели, а  $d_i$  діаметръ горизонтальнаго сѣченія маяка въ данномъ узлѣ.

По этимъ формуламъ получены слѣдующія значенія:

$$\begin{aligned} a-b: W_0 &= 0,125 \cdot 0,5 (56 + 35) = 5,7 \text{ тоннъ;} \\ b-c: W_0 &= 0,125 \cdot 0,5 (35 + 18) = 3,3 \text{ „} \\ c-d: W_0 &= 0,125 \cdot 0,5 (18 + 15,5) = 2,1 \text{ „} \\ d-e: W_0 &= 0,125 \cdot 0,5 (15,5 + 8) = 1,5 \text{ „} \\ e-f: W_0 &= 0,125 \cdot 0,5 (8 + 10) = 1,1 \text{ „} \\ f-g: W_0 &= 0,125 \cdot 0,5 (10 + 5,3) = 1,0 \text{ „} \\ g-h: W_0 &= 0,125 \cdot 0,5 (5,3 + 0) = 0,3 \text{ „} \end{aligned}$$

Полное давление вѣтра  $W = 15,0$  тоннъ.

## б) Узловая нагрузки отъ собственного вѣса.

Вѣсъ каждой изъ двухъ фермъ съ приходящейся на нее нагрузкой 0,5 · 24 = 12,0 тоннъ, что на метръ высоты фермы даетъ  $g = \frac{12}{30} = 0,4$  тонны. Нагрузки распределены на узлы четырехъ горизонтальныхъ стержней фермы, считая снизу;

$$\begin{aligned} g_1 &= 0,2 (30 - 7) = 0,46 \text{ тоннъ} \\ g_2 &= 0,2 (30 - 14) = 0,32 \text{ „} \\ g_3 &= 0,2 (30 - 19) = 0,22 \text{ „} \\ g_4 &= 0,2 (30 - 24) = 0,12 \text{ „} \end{aligned}$$

эти узловые нагрузки на чертежѣ фермы не показаны.

## в) Определеніе усилий.

Для определѣнія усилий построены диаграммы по Кремону съ обозначеніями Боуэ.

Хотя обѣ опоры задѣланы въ кладку, ферма статически опредѣлена: роль подвижной опоры выполняетъ стержень  $i-h$ ; направленіе сопротивленія опоры  $B$  опредѣляется этимъ стержнемъ; остается найти силу вѣтра  $W_0$ , что исполнено построениемъ веревочнаго многоугольника — и третью вѣтвию

силу—сопротивленіе опоры  $A$ . Последняя сила найдена изъ условія, что три силы  $W_0$ ,  $B$  и  $A$  должны пересѣкаться въ одной точкѣ. По этимъ даннымъ построена диаграмма усилий въ масштабѣ 1 см. = 3 тонны. Усилия отъ собственного вѣса находятсѣ графически весьма просто проведеніемъ изъ одной точки пучка лучей параллельныхъ стойкамъ фермы; на этихъ лучахъ отложены отрѣзки, вертикальные проекціи которыхъ равны соответствующей данному стержню нагрузкамъ; горизонтальная отрѣзки ограничивающіе лучи — даютъ усилия въ горизонтальныхъ стержняхъ. Построеніе сдѣлано въ масштабѣ въ полтора раза большемъ предыдущаго. Диагонали отъ собственного вѣса фермы не напряжены, ибо моментъ вертикальныхъ силъ, дѣйствующихъ на любую часть фермы, отсѣченную горизонтальнымъ сѣченіемъ, относительно вертикальной оси фермы, на которой и пересѣкаются стойки, равенъ нулю.

Результаты графическаго расчета помѣщены въ прилагаемой таблицѣ.

Усилия въ стержняхъ въ тоннахъ.

1	2	3	4	5	6	7	8
Стер- жив.	Отъ вѣтра.	Отъ собств. вѣса.	Наибольш. сумма.	Стержив.	Отъ вѣтра.	Отъ собств. вѣса.	Наибольш. Сумма.
$a-j$	$\pm 21,475$	} -4,800	} -26,3	$i-j$	$\pm 3,225$	} -	} -3,2
$i-h$	$\pm 23,850$			$j-k$	$\pm 2,700$		
$b-k$	$\pm 21,075$	} -3,300	} -24,4	$k-l$	$\pm 7,350$	} -	} -7,4
$l-h$	$\pm 14,925$			$l-m$	$\pm 0,900$		
$c-n$	$\pm 8,850$	} -2,225	} -11,1	$m-n$	$\pm 7,275$	} -	} -7,3
$n-h$	$\pm 13,500$			$n-o$	$\pm 2,400$		
$d-o$	$\pm 8,800$	} -1,200	} -10,0	$o-p$	$\pm 0,412$	} -	} -7,0
$p-h$	$\pm 2,888$			$p-q$	$\pm 7,000$		
$q-r$	$\pm 2,888$	} -	} -0,8	$q-r$	$\pm 2,660$	} -	} +2,7
$r-h$	$\pm 0,788$			$q-s$	$\pm 2,660$		
$t-u$	$\pm 0,600$	} -	} -0,6	$r-t$	$\pm 2,325$	} -	} -2,3
$g-u$	$\pm 1,100$			$t-s$	$\pm 0,788$		
$t-h$	$\pm 0,825$	} -	} -0,8	$t-u$	$\pm 1,500$	} -	} +1,5

Если вѣтеръ дѣйствуетъ справа, то въ этомъ случаѣ стержень  $j-k$  сжатъ, когда стойки  $a-j$  и  $b-k$  сжаты. Величины сжатія находятсѣ изъ условія  $X = 5,70 = -2,70$ ; гдѣ 5,7 узловая нагрузка; отсюда  $X = +3,0$  при вѣтрѣ слѣва и  $X = -3,0$  при вѣтрѣ справа. Точно также стержень  $l-m$  при вѣтрѣ справа растягиваетъ силою 0,9, т. е. сжимается узловой нагрузкой въ 3,3 м., слѣдовательно  $X = -3,3 + 0,9 = -2,4$ . Наконецъ стержень  $n-o$   $X = 2,1 = -1,7$ ;  $X = 0,412$  при вѣтрѣ слѣва и  $X = -0,412$  при вѣтрѣ справа.

Всѣ остальные цифры столбцовъ 2 и 6 при дѣйствіи вѣтра справа мѣняютъ свой знакъ, почему передъ цифрами и поставлено два знака: верхній при вѣтрѣ слѣва, нижній при вѣтрѣ справа. На основаніи этого и получены наибольшія по абсолютной величинѣ значенія, указанная въ столбцахъ 3 и 8.

д) Сопротивлення опорь.

Объ опоры слѣдуетъ закрѣпить въ кладкѣ и рассчитать объемъ кладки, необходимый какъ противовѣсъ.

Сопротивление опоры *B* равно усилию стержня *i*<sub>8</sub>, но знакпротивоположно съ нимъ, т. е.  $B_1 = -(+21,475 - 4,800) = -16,675$  тоннъ, вытягиваніе.

$$B_2 = -(-21,475 - 4,800) = +26,275 \text{ тоннъ, сжатіе.}$$

Сопротивление опоры *A* получимъ изъ діаграммы, но прибавляя или вычитая составляющую отъ вѣса.

Ее получимъ изъ діаграммы для вѣса, т. е. возьмемъ какъ и для правой опоры 4,800 тоннъ.

$$A_1 = -(+24,450 - 4,800) = -19,650 \text{ тоннъ вытягиваніе.}$$

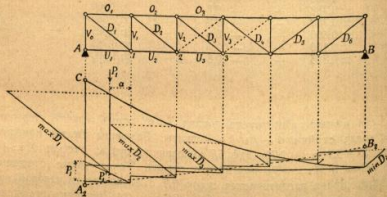
$$A_2 = -(-24,450 - 4,800) = +29,250 \text{ тоннъ сжатіе.}$$

Такимъ образомъ, полагая вѣсъ куб. метра кладки 2,2 тоннъ, найдемъ необходимый объемъ кладки подъ каждую изъ 4 опоръ не меньше  $\frac{19,650}{2,200} \approx 9$  куб. метровъ.

КЪ ГЛАВЪ II.

Мостовыя фермы.

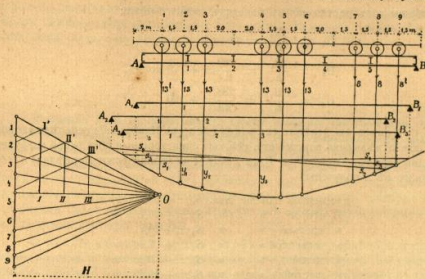
IV. Ферма съ параллельными поясами для двухколейнаго желѣзнодорожнаго моста со стойками и вытнутыми раскосами чр. 166 имѣетъ основные размѣры: пролетъ  $l = 19,2$  м.; высота фермы  $h = 2,4$  м. и длина панели  $\lambda = 3,2$  м.



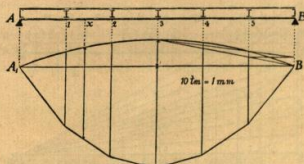
Черт. 166.

Мостъ состоитъ изъ двухъ главныхъ фермъ, а потому каждая изъ нихъ принимаетъ нагрузку отъ одной колеи.

Разстояніе между осями и нагрузка на ось видна изъ чрт. 167 а, гдѣ найдены наибольшія значенія изгибающихъ моментовъ по способу Кульмана.



Черт. 167 а.



Черт. 167 б.

Пользуясь данными этого чр. построена эпюра наибольшихъ моментовъ. Полныя величины моментовъ въ узловыхъ точкахъ выразятся такъ:

а) Усилия въ стержняхъ поясовъ. Значенія моментовъ для узловыхъ точекъ найдены на чрт. 167 а, въ круглыхъ числахъ они будутъ:

$$M_1 = 189 \text{ т.-м.}; \quad M_2 = 288 \text{ т.-м.}; \quad M_3 = 322 \text{ т.-м.}$$

Отсюда получимъ величины силъ сжатія для верхняго пояса:

$$O_1 = -\frac{M_1}{h} = -\frac{189}{2,4} = -79 \text{ тоннъ.}$$

$$O_2 = -\frac{M_2}{h} = -\frac{288}{2,4} = -120 \text{ "}$$

$$O_3 = -\frac{M_3}{h} = -\frac{322}{2,4} = -134 \text{ тонн.}$$

и величины сил растяжения в панелях нижнего пояса:

$$U_1 = \frac{M_1}{h} = 0$$

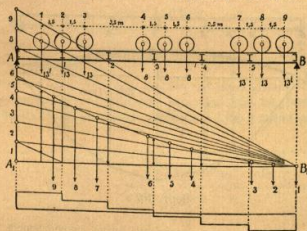
$$U_2 = \frac{M_2}{h} = \frac{189}{2,4} = +79 \text{ тонн.}$$

$$U_3 = \frac{M_3}{h} = \frac{288}{2,4} = +120 \text{ "}$$

б) Усилия в диагоналях (раскосах). Наибольшие перерывающие силы для отдельных панелей от действия односторонней подвижной нагрузки (передвигающегося от точки В к точке А железнодорожного поезда) и собственного веса получены:

для первой панели:	max. $S_1 = +55,2$	тонны.
» второй »	» $S_2 = +33,7$	»
» третьей »	» $S_3 = +20,7$	»
» четвертой »	» $S_4 = +7,8$	»
» пятой »	» $S_5 = -3,2$	»
» шестой »	» $S_6 = -11,2$	»

Веревочный многоугольник, представленный на черт. 168 для перерывающих сил, вызываемых подвижной нагрузкой, и построенная под ним



Черт. 168.

ступенчатая линия перерывающих сил от собственного веса так соединены, что с получающейся диаграммы можно прямо брать отрезки, соответствующие полной нагрузке.

Для нахождения max.  $S_4$  надо поместить паровоз так, чтобы его вторая ось приходилась над узловой точкой 1, и из общей ординаты, соответствующей положению первой оси паровоза, вычесть составляющую силы  $P_1$ , приложенную в точку опоры А и имеющую значение:

$$P_1' = P_1 \cdot \frac{c}{h}$$

Усилия в диагоналях получаются без труда из произведенного на черт. 168 построения поперечных сил, если через верхнюю конечную точку ординат, представляющих собой поперечные силы, провести горизонталь, а через нижнюю—линию, параллельную диагоналиам. Находим таким образом следующие числа, округленные до целых тонн:

$$\begin{array}{ll} D_1 = +92 \text{ тонны} & D_2 = +13 \text{ тонны} \\ D_3 = +60 \text{ "} & D_4 = -5 \text{ "} \\ D_5 = +35 \text{ "} & D_6 = -19 \text{ "} \end{array}$$

Диагонали  $D_3$  и  $D_4$  испытывают сжатие. Если бы мы пожелали, чтобы все диагонали испытывали только растяжение, то должны были бы диагоналям в пятой и шестой панелях дать уклон справа налево.

При движении железнодорожного поезда на мосту от точки А к точке В, для сохранения во всех диагоналях одного только растягивающего напряжения, следует, наоборот, придать диагоналям двух средних панелей уклон слева направо. Отсюда ясно, что две средние панели должны иметь перекрестные диагонали (кресты).

с) Усилия в вертикалях (стойках). При определении напряжений в поясах и диагоналях безразлично, находится нагрузка в узловых точках верхнего и нижнего пояса; при определении же напряжений в вертикалях необходимо разбить оба эти случая нагрузки.

Напряжение в вертикали всегда противоположно по знаку с вертикальной составляющей напряжения той диагонали, которая сходится с вертикалью в ненагруженной узловой точке. При растянутых диагоналях вертикали всегда сжаты. Замечая, что в данном случае вертикальная составляющая напряжения диагонали равна действующей в этой панели наибольшей перерывающей силе  $S$ , получим в круглых числах:

при нагруженном нижнем поясе (при вьезде понизу):

$$\begin{array}{l} V_1 = -\text{max. } S_1 = -55 \text{ тонн} \\ V_2 = -\text{max. } S_2 = -36 \text{ "} \\ V_3 = -\text{max. } S_3 = -21 \text{ "} \\ V_4 = -\text{max. } S_4 = -8 \text{ "} \end{array}$$

при нагруженном верхнем поясе (при вьезде поверху):

$$\begin{array}{l} V_1 = -\text{max. } S_1 = -55 \text{ тонн} \\ V_2 = -\text{max. } S_2 = -36 \text{ "} \\ V_3 = -\text{max. } S_3 = -21 \text{ "} \end{array}$$

Крайняя вертикаль, при нагруженном верхнем поясе, воспринимает все давление опоры, которое представляется на черт. 163 отрезком  $A_2C$

Находим поэтому:

$$V_6 = -\text{max. } S_6 = -73 \text{ тонны.}$$

Так как обыкновенно рывк идет о нахождении лишь наибольших напряжений в отдельных стержнях, то наименьших напряжений, обнаруживающихся в диагоналях и вертикалях, могут быть оставлены без внимания.

Строго говоря, не только нагруженные узлы, как было раньше предположено, являются точками приложения собственного веса, но часть его при-

ходится также и на ненагруженные узлы и влечет известным образом на величины напряжений в вертикалях. Однако, влиянием этого факта, выражающимся в немного-большой нагрузке вертикалей при фэдъ понизу и настолько же меньшей нагрузке их при фэдъ поверху, слѣдует пренебрегать (как не имѣющим особаго значенія) при разрѣшеніи практическихъ вопросовъ.

19. Ферма съ параллельными поясами, съ грузами дѣйствующими на верхніе узлы пролетомъ  $l = 12$  м., высотой  $h = 2$  м., съ панелями  $\lambda = 2,0$  м. имѣть наклонные къ серединѣ раскосы и подвержена дѣйствию постоянной нагрузки  $g = 600$  кгр. на погонный метръ ея длины и временной по  $p = 800$  кгр. на погонный метръ. Определить наибольшія усилія во всѣхъ частяхъ фермы.

На каждый средний узелъ дѣйствуетъ:

Отъ постоянной нагрузки 2.600 = 1200 кгр.  
 » временной » 2.800 = 1600 »

Всего же на средний узелъ нагрузка составляетъ

$$Q = Q_p + Q_v = 1200 + 1600 = 2800 \text{ кгр.}$$

Сопротивленіе опоры будетъ: отъ постоянной нагрузки

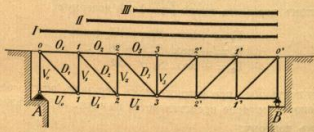
$$A_p = \frac{gl}{2} = \frac{600 \cdot 12}{2} = 3600 \text{ кгр.}$$

отъ временной

$$A_v = \frac{pl}{2} = \frac{800 \cdot 12}{2} = 4800 \text{ кгр.}$$

Полное сопротивленіе опоры:

$$A = A_p + A_v = 3600 + 4800 = 8400 \text{ кгр.}$$



Черт. 169.

Обозначим стержни какъ то указано въ курсѣ на стр. 84.

Найдемъ сначала усилія въ поясахъ.

Такъ какъ усилія эти пропорциональны изгибающему моментомъ, то наибольшія усилія получаются при полной загрузкѣ фермы, т. е. когда временная

нагрузка будетъ дѣйствовать на всѣ узлы фермы по схемѣ I. Воспользуемся способомъ Риттера.

$$O_1 = -\frac{M_1}{h};$$

$$O_2 = -\frac{M_2}{h};$$

$$O_3 = -\frac{M_3}{h};$$

Для нижняго пояса  $U$ :

$$U_0 = \frac{M_0}{h};$$

$$U_1 = \frac{M_1}{h};$$

$$U_2 = \frac{M_2}{h};$$

Остается теперь найти значенія количествъ  $M$ .

Находимъ:

$$M_0 = 0;$$

$$M_1 = A \cdot \lambda - \frac{1}{2} Q \cdot \lambda = 8400 \cdot 2 - 1400 \cdot 2 = 14000 \text{ кгр. м.}$$

$$M_2 = A \cdot 2\lambda - \frac{1}{2} Q \cdot 2\lambda - Q\lambda = 2\lambda \left\{ A - Q \right\} = 2 \cdot 2 \left\{ 8400 - 2800 \right\} = 22400 \text{ кгр. м.}$$

$$M_3 = A \cdot 3\lambda - \frac{1}{2} Q \cdot 3\lambda - Q \cdot 2\lambda = Q \lambda = 3\lambda \left\{ A - \frac{3}{2} Q \right\} = 3 \cdot 2 \left\{ 8400 - 4200 \right\} = 25200 \text{ кгр. м.}$$

Итакъ искомыя усилія будутъ: для верхняго пояса—

$$O_1 = -\frac{14000}{2} = -7000 \text{ кгр.}$$

$$O_2 = -\frac{22400}{2} = -11400 \text{ кгр.}$$

$$O_3 = -\frac{25200}{2} = -12600 \text{ кгр.}$$

пояса сжаты.

Для нижняго пояса

$$U_0 = \frac{0}{2} = 0;$$

$$U_1 = \frac{14000}{2} = 7000 \text{ кгр.} = -O_1;$$

$$U_2 = \frac{22400}{2} = 11400 \text{ кгр.} = -O_2;$$

пояса вытянуты.

Усилія въ раскосахъ зависятъ отъ поперечныхъ силъ.

Назовем через  $\alpha$  угол составляемый раскосом с вертикалью, тогда найдем:

$$\begin{aligned} \max D_1 &= \frac{S_1}{\cos \alpha}; \\ \max D_2 &= \frac{S_2}{\cos \alpha}; \\ \max D_3 &= \frac{S_3}{\cos \alpha}; \\ \max D_4 &= \frac{S_4}{\cos \alpha}. \end{aligned}$$

Остается найти (выражения для  $S_i$  max.

$$\max S = S_y + \max S_p$$

Руководствуясь выведенными в (№№ 10 и 13) значениями найдем

$$S = \frac{\lambda}{2} \left\{ g(n+1-2m) + p \frac{(n-m)^2}{n-1} \right\}$$

В данном случае  $n=6$ ;  $g=600$  и  $p=800$ .

$$S_1 = 600(7-2) + 800 \frac{25}{5} = 3000 + 4000 = 7000 \text{ кгр.}$$

$$S_2 = 600(7-4) + 800 \frac{16}{5} = 1800 + 2560 = 4360 \text{ кгр.}$$

$$S_3 = 600(7-6) + 800 \frac{9}{5} = 600 + 1440 = 2040 \text{ кгр.}$$

$$S_4 = 600(7-8) + 800 \frac{4}{5} = (-600 + 640) = -40 \text{ кгр.}$$

Подставляя эти величины в только что найденные выражения для усилий в раскосах, найдем:

$$\left. \begin{aligned} \max D_1 &= \frac{7000}{0,707} = 9901 \text{ кгр.} \\ \max D_2 &= \frac{4360}{0,707} = 6167 \text{ кгр.} \\ \max D_3 &= \frac{2040}{0,707} = 2885 \text{ кгр.} \\ \min D_4 &= \frac{-40}{0,707} = -56 \end{aligned} \right\} \begin{array}{l} \text{раскосы растянуты.} \\ \text{раскос сжат и вытнут.} \end{array}$$

Для определения усилий в стойках проводим наклонное сечение через стержни, снабженные одинаковыми указателями и взяв сумму проекций на вертикальную ось сил, действующих на левую часть фермы, получим

$$\left. \begin{aligned} V_4 &= -A = -8400 \\ V_1 &= -S_1 = -7000 \\ V_2 &= -S_2 = -4360 \end{aligned} \right\} \text{стойки сжаты.}$$

Для определения усилия в средней стойке  $V_3$ , вырезаем средней верхней узел и из проекции сил в вертикальную ось, находим

$$V_3 = -Q_3 = -2800.$$

20. Определить усилия в частях фермы, перекрывающей тот же пролет, но в которой узлы нижнего пояса лежат на дуге параболы со стрелкою равную высотъ предыдущей фермы и при тѣх же нагрузкахъ.

Для нахождения усилий во всѣхъ стержняхъ можно было бы воспользоваться, какъ и въ предыдущемъ случаѣ, способомъ Риттера. Опредѣляя усилие въ раскосахъ пришлось бы искать переѣвѣнія стержней верхняго и нижняго поясовъ, что графически сдѣлать трудно, вследствие остроты угла; при аналитическомъ же рѣшеніи въ случаѣ равномерно распределенной нагрузки интереснѣе прибѣгнуть къ нѣсколькимъ инымъ разсужденіямъ.

Найдемъ усилия въ стержняхъ верхняго пояса по Риттеру. Они будутъ выражаться уравненіями.

$$O_i = - \frac{M_i}{h_i} \quad (1)$$

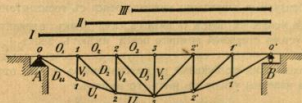
Для нахождения  $M_i$ , т. е. изгибающаго момента относительно вертикальнаго сѣченія проходящаго черезъ узелъ  $i$ , замѣтимъ, что въ случаѣ равномерно распределенной нагрузки онъ выражается ординатою параболы со стрелкою по серединѣ пролета.

$$f = \frac{qP^2}{8},$$

$$\text{гдѣ } q = p + g,$$

что было выведено выше. Въ данномъ случаѣ, когда нагрузка передается только въ узловыхъ точкахъ, параболу обратится въ многоугольникъ, вписанный въ параболу. Вершины этого многоугольника, лежаща на вертикаляхъ узловъ, будутъ имѣть общія ординаты съ ординатами параболы и будутъ имѣть значенія:

$$M_i = q \frac{x_i(1-x_i)}{2}. \quad (3)$$



Черт. 170.

Найдемъ теперь выраженіе для знаменателя  $h_i$  выраженія (1) т. е. ординаты параболы, на которой лежатъ узлы фермы. Назовемъ стрѣлку параболы по серединѣ пролета, т. е. длину вертикаль  $V_s$  черезъ  $f_s$ , тогда изъ выраженія параболы имѣемъ.

$$f_s = \frac{P^2}{2a}, \quad (4)$$

гдѣ  $2a$  есть параметръ параболы. Подберемъ нѣкоторую величину  $P$  такую, чтобы она удовлетворяла равенству

$$\frac{8}{P} = 2a,$$

тогда выражение для стрѣлки будетъ:

$$f_0 = \frac{Pl^2}{8}, \quad (6)$$

а слѣдовательно выражение для любой ординаты:

$$h_i = p \frac{x_i(l-x)}{2} \quad (7)$$

Выразивъ эту ординату въ зависимости отъ стрѣлки  $f_0$ , т. е. раздѣливъ последнее выраженіе на предпоследнее, находимъ:

$$\frac{h_i}{f_0} = \frac{4x_i(l-x)}{p} \quad \text{и} \quad h_i = \frac{4f_0}{p} x_i(l-x). \quad (8)$$

Теперь можемъ въ уравненіе для  $O_i$  подставить найденныя выраженія для числителя и знаменателя и тогда находимъ

$$O_i = -\frac{q \frac{x_i(l-x)}{2}}{4f_0 \frac{x_i(l-x)}{p}} = -\frac{qp}{8f},$$

т. е.

$$O_i = \text{const.}$$

и значить усилія во всѣхъ стержняхъ верхняго пояса между собою одинаковы.

Проведя теперь наклонныя сѣченія черезъ стержни съ одинаковыми указателями и взявъ сумму проекцій внѣшнихъ силъ, дѣйствующихъ на лѣвую часть, находимъ:

$$O_i = O_k = O = U_i \cos \varphi_i = -U_k \cos \varphi_k, \quad (10)$$

гдѣ  $\varphi$  углы, образуемые стержнями нижняго пояса съ горизонтомъ.

Такъ какъ усилія въ поясѣ  $O$  имѣютъ сами знакъ отрицательный, то слѣдовательно усилія стержней нижняго пояса имѣютъ знакъ +, и дѣйствительно извѣстно что нижніе стержни растянуты. Если обозначить длину стержней нижняго пояса тѣми-же буквами но маленькими въ отличіе отъ большихъ, черезъ которыя названы усилія въ нихъ, то имѣемъ:

$$\cos \varphi_i = \frac{\lambda}{u_i}, \quad (11)$$

гдѣ  $\lambda$  есть длина панели. Въ такомъ случаѣ найдемъ:

$$U_i = -\frac{O_i}{\cos \varphi_i} = -\frac{1}{\lambda} \frac{qp}{8f} \cdot u_i \quad (12)$$

а такъ какъ длина нижнихъ стержней увеличивается отъ середины къ концамъ, то въ фермѣ съ параболическимъ поясомъ, въ отличіе отъ фермы съ прямолинейными поясами, усилія въ поясахъ возрастаютъ отъ середины къ концамъ.

Пусть нагрузка остается пока равномерно распределенной и найдемъ усилія въ раскосахъ. Для этого вырѣжемъ произвольный узелъ, въ которомъ

пересѣкается какой-либо раскосъ (т. е. значить кромѣ узловъ опорныхъ и верхняго средняго) и рассматривая условія его равновѣсія, возьмемъ проекцію силъ на горизонтальную ось.

$$-O_{i-1} + O_i + D_i \sin \alpha_i = 0, \quad (14)$$

откуда

$$D_i \sin \alpha = 0,$$

для чего необходимо

$$D_i = 0. \quad (15)$$

Итакъ въ фермѣ съ параболическимъ поясомъ усилія въ раскосахъ отъ равномерно распределенной нагрузки равны нулю. Такимъ образомъ остается найти усилія въ раскосахъ отъ временной нагрузки, занимающей часть пролета.

Для опредѣленія усилій въ раскосахъ придется загрузить часть пролета и найти усилія въ раскосахъ изъ выраженій вида

$$D_2 = \frac{1}{\sin \alpha_2} \{O_2' - O_1'\};$$

$$D_3 = \frac{1}{\sin \alpha_3} \{O_3''' - O_2'''\}; \quad (16)$$

гдѣ верхніе знаки при  $O$  показываютъ, что усилія въ верхнемъ поясѣ взяты при частичной загрузкѣ фермы по схемѣ II и III. Усилія въ стойкахъ найдемъ изъ условій равновѣсія верхнихъ узловъ.

$$-V_1 - D_2 \cos \alpha_2 - Q_1 = 0; \quad V_1 = -\{D_2 \cos \alpha_2 + Q_1'\};$$

$$-V_2 - D_3 \cos \alpha_3 - Q_2 = 0; \quad V_2 = -\{D_3 \cos \alpha_3 + Q_2'''\};$$

$$-V_3 - Q_3 = 0; \quad V_3 = -Q. \quad (17)$$

Подставляя въ первую изъ этихъ выраженій значенія  $D$  изъ (16), окончательно найдемъ

$$V_1 = -\left\{ \frac{(O_2' - O_1')}{\text{tg} \alpha_2} + Q_1' \right\};$$

$$V_2 = -\left\{ \frac{O_3''' - O_2'''}{\text{tg} \alpha_3} + Q_2''' \right\}. \quad (17 \text{ bis})$$

Опредѣлимъ теперь численныя величины всѣхъ найденныхъ величинъ.

$$\text{Ординаты узловъ} \quad h_1 = \frac{4 \cdot 2}{144} \cdot 2 \cdot 10 = 0,655 \cdot 90 = 1,111;$$

$$\text{нижняго пояса:} \quad h_2 = \frac{4 \cdot 2}{144} \cdot 4 \cdot 8 = 0,655 \cdot 32 = 1,776.$$

Длины стержней нижняго пояса

$$u_1 = \sqrt{\lambda^2 + h_1^2} = \sqrt{4 + 1,234} = 2,287 \text{ м.};$$

$$u_2 = \sqrt{\lambda^2 + (h_2 - h_1)^2} = \sqrt{4 + 0,442} = 2,107 \text{ м.};$$

$$u_3 = \sqrt{\lambda^2 + (h_3 - h_2)^2} = \sqrt{4 + 0,0501} = 2,012 \text{ м.}$$

Синусы углов наклона раскосовъ

$$\sin \alpha_2 = \cos \beta_2 = \frac{\lambda}{a_2} = \frac{2}{\sqrt{4+3,167}} = \frac{2}{2,678} = 0,747;$$

$$\sin \alpha_3 = \cos \beta_3 = \frac{\lambda}{a_3} = \sin 45^\circ = 0,707.$$

Тангенсы угловъ наклона раскосовъ

$$\operatorname{tg} \alpha_2 = \frac{0,747}{\sqrt{0,255}} = 1,124;$$

$$\operatorname{tg} \alpha_3 = 1,000.$$

Усилия въ поясахъ.

Верхній поясъ

$$O_1 = \frac{qF}{8f} = \frac{1400 \cdot 144}{8 \cdot 2} = 12600 \text{ кгр.}$$

Нижній поясъ.

$$D_u = \frac{O_d u_d}{\lambda} = \frac{12600}{2} \cdot 2,287 = 14408 \text{ кгр.}$$

$$U_1 = \frac{O_u u_1}{\lambda} = \frac{12600}{2} \cdot 2,107 = 13274 \text{ кгр.}$$

$$U_2 = \frac{O_u u_2}{\lambda} = \frac{12600}{2} \cdot 2,012 = 12676 \text{ кгр.}$$

Точки раздѣла нагрузокъ расположены отъ лѣвой опоры въ разстояніи.

$$2\text{-я панель: } \frac{n\lambda}{n-1} = \frac{6}{5} \cdot 2 = 2,4 \text{ м.}$$

$$3\text{-я панель: } \frac{n\lambda}{n-1} \cdot 2 = 2,4 \cdot 2 = 4,8 \text{ м.}$$

Величины  $M$ , т. е. моменты при частичной загрузкѣ

$$M_1^* = \frac{q}{2} \times (l-x) + p + A_p' \cdot x = 300 \cdot 2,10 + 800 \cdot \frac{4,8}{12} \cdot 2 \cdot 9,6 = 6000 + 6144 = 12144 \text{ кгр. м.}$$

$$M_2^* = \frac{q}{2} \cdot x(l-x) + A_p' \cdot x = 300 \cdot 4,8 + 800 \cdot \frac{4,8}{12} \cdot 4 \cdot 9,6 = 9600 + 12288 = 21888 \text{ кгр. м.}$$

Величины  $M''$ .

$$M''_1 = \frac{q}{2} \cdot x(l-x) + A_p' \cdot x = 300 \cdot 4 \cdot 8 + 800 \cdot 7,2 \cdot \frac{3,6}{12} \cdot 4 = 9600 + 6912 = 16512.$$

$$M''_2 = \frac{q}{2} \cdot x(l-x) + A_p' \cdot x = 300 \cdot 6 \cdot 6 + 800 \cdot 7,2 \cdot \frac{3,6}{12} \cdot 6 = 10800 + 10368 = 21168 \text{ кгр. м.}$$

Усилия  $O''$ .

$$O''_1 = \frac{M_1}{h_1} = \frac{12144}{1,111} = 10930 \text{ кгр.}$$

$$O''_2 = \frac{M_2}{h_2} = \frac{21888}{1,776} = 12324 \text{ кгр.}$$

Усилия  $O''$ .

$$O''_1 = \frac{M''_1}{h_1} = \frac{16512}{1,776} = 9297;$$

$$O''_2 = \frac{M''_2}{h_2} = \frac{21168}{2} = 10584.$$

$$\text{Величина } Q''_1 = q\lambda + p \frac{(\lambda-x)^2}{2\lambda} = 1200 + 800 \cdot \frac{0,8}{2} \cdot 1,6 = 1200 + 800 \cdot 0,96 = 1200 + 512 = 1712.$$

$$\text{Величина } Q''_2 = q\lambda + p \frac{(\lambda-x)^2}{2\lambda} = 1200 + 800 \cdot \frac{0,6}{2} \cdot 1,2 = 1200 + 320 = 1520.$$

Усилия въ раскосахъ.

$$D_2 = \frac{1}{\sin \alpha_2} \{ O''_2 - O''_1 \} = \frac{1}{0,747} \{ 12324 - 10930 \} = \frac{1394}{0,747} = +1866.$$

$$D_1 = \frac{1}{\sin \alpha_3} \{ O''_3 - O''_2 \} = \frac{1}{0,707} \{ 10584 - 9297 \} = \frac{1287}{0,707} = +1820.$$

Усилия въ стойкахъ.

$$V_1 = - \left( \frac{O''_2 - O''_1}{\operatorname{tg} \alpha_2} + Q''_1 \right) = - \left( \frac{1394}{1,124} + 1712 \right) = 1240 + 1712 = -2952.$$

$$V_2 = - \left( \frac{O''_3 - O''_2}{\operatorname{tg} \alpha_3} + Q''_2 \right) = - \left( \frac{1287}{1,000} + 1520 \right) = -2807 \text{ кгр.}$$

$$V_3 = -2800 \text{ кгр., какъ и раньше.}$$

Сравнивая цифры усилий въ послѣдней фермѣ съ фермой съ прямолинейными поясами найдемъ, что въ параболической фермѣ въ общемъ (кромя поясовъ) усилия менѣе значительны, а такъ какъ отъ величины усилий непосредственно зависитъ вѣсъ фермы, то параболическія фермы выходятъ вообще говоря легче фермъ съ параллельными поясами.

## КЪ ГЛАВѢ III.

## Подпорныя стѣнки.

21. Стѣна, ограждающая прудъ, имѣетъ слѣдующіе размѣры:

$$AB = 3,0 \text{ метра}$$

$$BC = 1,2 \text{ "}$$

$$AD = 1,95 \text{ "}$$

$$AE = FG = 2,4 \text{ "}$$

$$GA = AA_1 = A_2A_1 = A_1B = 1 \text{ метръ.}$$

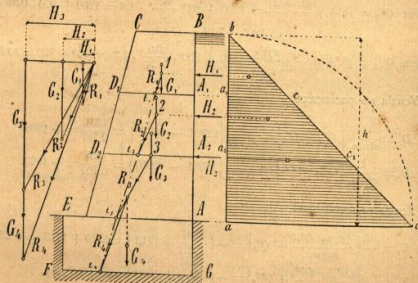
Вѣсъ 1 куб. метра кладки  $\tau_1 = 2000$  килограммъ.

Требуется построить линію давленія въ стѣнѣ (линейный масштабъ 1:20, масштабъ силы: 1000 килограммъ. = 15 см.).



Весь отдельных объемных частей ствѣи:

- $G_1 = A, BCD \cdot \gamma_1 = 1,325 \cdot 2000 = 2650$  кгр.
- $G_2 = A, BCD \cdot \gamma_2 = 2,900 \cdot 2000 = 5800$  "
- $G_3 = ABCD \cdot \gamma_1 = 4,725 \cdot 2000 = 9450$  "
- $G_4 = AEFg \cdot \gamma_1 = 2,400 \cdot 2000 = 4800$  "



Черт. 171.

Давленіа воды:

- $H_1 = a_1 b c_1 \cdot \gamma = 0,5 \cdot 1000 = 500$  кгр.
- $H_2 = a_2 b c_2 \cdot \gamma = 2,0 \cdot 1000 = 2000$  "
- $H_3 = a b c \cdot \gamma = 4,5 \cdot 1000 = 4500$  "

Силы, дѣйствующія на швы  $AE, A_2D_2, A_1D_1$  и  $FG$ , измѣряются по многоугольнику силъ разстояніе ихъ отъ противоположной точки ядра пусть  $r_i$ . Такимъ образомъ получаемъ:

- $R_1 = 2700$  килогр.;  $r_1 = 24$  см,
- $R_2 = 6150$  "  $r_2 = 38$  "
- $R_3 = 10450$  "  $r_3 = 57$  "
- $R_4 = 14950$  "  $r_4 = 74$  "

Послѣ того, по данной на стр. 171 формулѣ — (95) рассчитываемъ давленія въ крайнихъ ребрахъ сѣченій:

- въ ребрѣ  $D_1 \dots a_1 = \frac{6 \cdot 2700 \cdot 24}{100 \cdot 145^2} = 0,18$  килогр.
- "  $D_2 \dots a_2 = \frac{6 \cdot 6150 \cdot 38}{100 \cdot 170^2} = 0,5$  "
- "  $D \dots a_3 = \frac{6 \cdot 10450 \cdot 57}{100 \cdot 195^2} = 0,94$  "
- "  $F \dots a_4 = \frac{6 \cdot 14950 \cdot 74}{100 \cdot 240^2} = 1,15$  "

Направленіе силы  $R_1$  встрѣчаетъ шовъ  $A_1D_1$  какъ разъ въ его серединѣ, и слѣдовательно, завѣсь имѣетъ мѣсто равномерное распредѣленіе давленія; и потому величина этого давленія  $\sigma_0$  на единицу площади можетъ быть получена и проце:

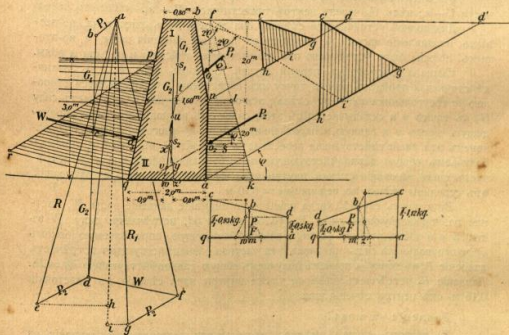
$$\sigma_0 = \frac{G_1}{100 \cdot A_1 D_1} = \frac{2650}{100 \cdot 145} = 0,18 \text{ килогр.}$$

Линія давленій нигдѣ не выходитъ за предѣлы средней трети ствѣи. Углы, образуемые направленіями силъ  $R_1, R_2, \dots, R_4$  съ нормальми къ соответственнымъ швамъ:

$$\left. \begin{aligned} a_1 &= 10^{\circ} 12'; & a_2 &= 25^{\circ} 1/2' \\ a_3 &= 19^{\circ}; & a_4 &= 17^{\circ} 1/2' \end{aligned} \right\} \text{ что } < \text{ угловъ тренія.}$$

23. Набережная стѣнка, изображенная на черт. 172 служитъ одновременно и подпорной стѣнкой устойчивости стѣнки. Вѣсь куб. м. земли 1600 кгр., кладки 2000 кгр.

Сначала определяемъ давленіе земли  $P_1$  и  $P_2$  на участки стѣнки  $bn$  и  $an$ ; затѣмъ давленіе воды  $W$  на плоскость  $pq$ .



Черт. 172.

Если наивысшій уровень горизонта воды опредѣляется точкою  $p$ , то величина давленія воды на стѣнку  $pq$  равна вѣсу призмы, которой основаніе есть треугольникъ  $pqr$ , причѣмъ линія  $qr$  равна глубинѣ погруженія  $= 3$  м. Давленіе  $W$  приложено въ точкѣ  $o$ , опредѣляемой условіемъ, что  $qo_2 = \frac{1}{3} pq$ . Величина давленія воды будетъ:

$$W_1 = \frac{3,05 \cdot 3,0}{2} \cdot 1000 = 4600 \text{ кгр.}$$

где 3,05 есть длина  $ap$ .

Давление земли на участок стѣнки  $nb$  равно вѣсу призмы съ основаніемъ равнымъ пл.  $\triangle cyb = \frac{1}{2} \cdot 1,25 \cdot 1,95 = 0,844 \text{ м}^2$ .

$$P_1 = 0,844 \cdot 1600 = 1350 \text{ кгр.}$$

Давление земли на участок стѣнки  $an$  опредѣляется площадью трапеціи  $akln = \frac{1}{2} \cdot (1,2 + 0,6) \cdot 2 = 1,8 \text{ м}^2$ .

$$P_2 = 1,8 \cdot 1600 = 2880 \text{ кгр.}$$

Вѣсъ стѣнки опредѣляется слѣдующимъ расчетомъ.

$$\text{Вѣсъ части I} = G_1 = \frac{0,8 + 1,60}{2} \cdot 2000 \cdot 2 = 4800 \text{ кгр.}$$

$$\text{Вѣсъ части II} = G_2 = \frac{1,60 + 2,0}{2} \cdot 2000 \cdot 2 = 7200 \text{ кгр.}$$

Вѣсъ  $G_1$  направленъ по вертикали и проходитъ черезъ центръ тяжести части I —  $s_1$ ; вѣсъ  $G_2$  черезъ центръ тяжести части II —  $s_2$ .

Для полной устойчивости стѣнки, она должна быть рассчитана, во-первыхъ, на давление насыпи, не принимая во вниманіе давления воды, и во-вторыхъ, должна быть устойчивою при совместномъ дѣйствіи и насыпи и воды.

Сначала рассмотримъ первый случай. Сложимъ силы  $P_1$  и  $G_1$ ; равнодѣйствующая пройдетъ черезъ точку  $ix$  пересѣченія  $t$  и опредѣлится стороной  $ae$  треугольника  $ade$  (черт. слѣва); эта равнодѣйствующая встрѣчается силу  $G_2$  въ точкѣ  $u$  и складывается съ этою силою въ равнодѣйствующую проходящую черезъ  $u$  и равную и параллельную линію  $ad$  многоугольника силъ, наконецъ эта равнодѣйствующая пересѣкаетъ давление  $P_2$  въ точкѣ  $v$ , причемъ получаемъ общую равнодѣйствующую  $ae = H$ . Равнодѣйствующая  $R$  встрѣчаетъ шовъ основания стѣнки внутри ядра сѣченія въ точкѣ  $ie$ , отстоящій отъ середины стѣнки на величину  $e = 0,10 \text{ м}$ .

Во второмъ случаѣ, когда принято во вниманіе давление воды  $W$ , частная равнодѣйствующая сила  $P_1$ ,  $G_1$ ,  $G_2$  равная  $ad$ , встрѣчаетъ силу  $W$  въ точкѣ  $x$  и даетъ вторую частную равнодѣйствующую, опредѣляемую бокомъ  $af$  многоугольника силъ, наконецъ эта частная равнодѣйствующая встрѣчаетъ давление  $P_2$  въ точкѣ  $y$ , причемъ получаемъ общую равнодѣйствующую  $ag = H_1$ . Давленіе  $H_1$  встрѣчаетъ шовъ  $aq$  также внутри ядра сѣченія въ разстояніи  $0,16 \text{ м}$  отъ центра сѣченія шва.

Давленіе на шовъ.

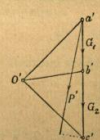
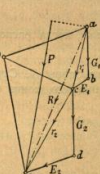
Въ первомъ случаѣ имѣемъ: вертикальная составляющая давления на шовъ будетъ  $ad = 71,5 \text{ мм}$ . при масштабѣ 1 мм = 200 кгр. найдемъ:

$$N = 71,5 \cdot 200 = 14300 \text{ кгр.}$$

Ширина шва  $d = 200 \text{ см}$ ;  $e = 10 \text{ см}$ .

$$\sigma_1 = \frac{N}{d \cdot 100} \left\{ \frac{d + 6e}{d} \right\} = \frac{14300 \cdot 260}{20000 \cdot 200} = 0,715 \cdot 1,3 = 0,93 \text{ кгр./см}^2$$

$$\sigma_2 = \frac{N}{d \cdot 100} \left\{ \frac{d - 6e}{d} \right\} = \frac{14300 \cdot 140}{20000 \cdot 200} = 0,715 \cdot 0,7 = 0,50 \text{ кгр./см}^2$$



Во второмъ случаѣ вертикальная составляющая  $al = 76 \text{ мм}$ .

$$N_1 = 76 \cdot 200 = 15200.$$

Расстояние  $e = 16 \text{ см}$ .

$$\sigma_1 = \frac{15200}{20000} \cdot \frac{200 + 96}{200} = \frac{15200 \cdot 296}{20000 \cdot 200} = 0,76 \cdot 1,48 = 1,12 \text{ кгр./см}^2$$

$$\sigma_2 = \frac{15200}{20000} \cdot \frac{200 - 96}{20000 \cdot 200} = \frac{15200 \cdot 104}{20000 \cdot 200} = 0,76 \cdot 0,52 = 0,40 \text{ кгр./см}^2$$

Величина напряженій построена графически на черт. 172, справа.

24. Требуется отыскать давленіе въ точкѣ  $D$  скошенной подпорной стѣнки, при слѣдующихъ данныхъ:

Уклонъ лицевой стороны  $CD$  стѣны 1:6;  $BA_1$ —вертикальна:  $A_1A \parallel CD$ ,  $AD = CD$ .

$$\begin{aligned} \text{Высота стѣны} & h = 4 \text{ метр.} \\ BC & = 0,6 \text{ " } \\ AD & = 0,9 \text{ " } \end{aligned}$$

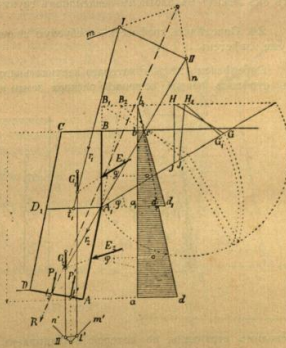
Поверхность насыпи — горизонтальна; равномерно распределенная нагрузка на грунтъ 600 килограм. на 1 кв. метр.

Вѣсъ 1 куб. метра земли . . . . .  $\gamma = 1600$  килограм.

» 1 » » кладки . . . . .  $\gamma_1 = 2000$  »

Уголъ естественнаго откоса . . . . .  $\varphi = 30^\circ$

Линейный масштабъ 1:20; масштабъ силъ: 1000 килограм.=1,5 см.



Черт. 173.

Нагрузка, равномерно-распределенная по поверхности насыпи, замѣнена слоемъ земли, толщиной въ  $\frac{600}{1600} = 0,375$  м. Находимъ:

$$G_1 = 2740 \text{ килогр.} \quad E_1 = 1140 \text{ килогр.}$$

$$G_2 = 8860 \text{ " } \quad E_2 = 2720 \text{ " }$$

Равнодѣйствующая всѣхъ этихъ силъ пересѣкаетъ подошву  $AD$  въ точкѣ, разстояніе которой отъ ребра  $D$ :

$$x = 21 \text{ см}$$

Составляющая  $P$  силы  $R_1$  съ направлениемъ, перпендикулярнымъ къ  $A, D$

$$P = 8600 \text{ килогр.,}$$

вызываетъ въ  $D$  давленіе:

$$d = \frac{2 \cdot P}{800 \cdot x} = \frac{2 \cdot 8600}{300 \cdot 21} = 2,73 \text{ килогр.}$$

Направленіе равнодѣйствующей  $R$  образуетъ уголъ въ  $14^\circ$  съ нормалью къ  $AD$ .

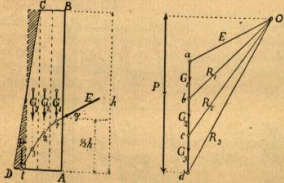
Давленіе, вызываемое въ  $A$  только собственнымъ вѣсомъ стѣны, при отсутствіи земли:

$$d = 2,73 \text{ килогр.}$$

Для уменьшенія напряженій въ грунтѣ, подпорная стѣна, въ большинствѣ случаевъ, снабжаютъ уширяющимся книзу фундаментомъ, который можетъ быть скошенъ на задней поверхности сальтѣе, чѣмъ сама стѣна, такъ какъ онъ лежитъ въ плотномъ ненасыпномъ грунтѣ.

**24.** Определить графически требуемую ширину стѣнки, когда распоръ  $E$  уже извѣстенъ.

Опредѣляемъ вѣсъ иѣкотораго вертикальнаго участка стѣны  $G$ . Строимъ отрѣзокъ равной величины распора земли и изъ нижняго конца его



Черт. 174.

проводимъ вертикаль, по которой откладываемъ силы  $G_1, G_2, G_3$  и т. д. Затѣмъ проводимъ лучи и наконецъ строимъ веревочный многоугольникъ, принимая за первый бокъ силу  $E$ . Точка пересѣченія бока этого веревочнаго

многоугольника съ подошвою стѣны опредѣлить сколько въ действительности надо взять вертикальныхъ участковъ стѣны. Если лицевая поверхность стѣны скошена, замѣняютъ крайній (последній) прямоугольный участокъ стѣны равнобѣрнымъ ему треугольникомъ.

## КЪ ГЛАВѢ IV.

## Цилиндрической сводъ.

**25.** На быкъ арочнаго моста, имѣющей видъ, какъ указано на черт. 175, дѣйствуютъ давленія  $P_1 = 36,0$  тоннъ и  $P_2 = 50$  тоннъ. Проверить устойчивость быка и найти точки кривой давленій въ швахъ основаній тѣла быка и его фундамента.

Примемъ вѣсъ каменной кладки  $\gamma = 2,0$  тоннъ въ кубич. м.; найдемъ вѣсъ быка.

$$\left. \begin{aligned} \text{Вѣсъ головы быка} &= 3 \cdot 4 \cdot 2,0 = 24,0 \\ \text{" тѣла " } &= \frac{3+6}{2} \cdot 8 \cdot 2,0 = 72,0 \\ \text{" фундамента быка} &= 8 \cdot 2,5 \cdot 2,0 = 40,0 \end{aligned} \right\} I + II = Q_1 = 136,0 \text{ тоннъ.}$$

$$\text{Полный вѣсъ быка} \quad Q = 136,0 \text{ тоннъ.}$$

Сначала находимъ равнодѣйствующую  $R_1$  или  $P_1$  и  $P_2$  и складываемъ ее съ вѣсомъ головной части быка  $I$ . Находимъ равнодѣйствующую  $R_2$ , пересѣкающую шовъ фундамента  $lm$  въ точкѣ  $q$ . Разстояніе этой точки отъ середины устоя около  $0,5$  м., а потому здѣсь линия давленій проходитъ въ средней трети шва, что необходимо для прочности устоя (см. сопротивленіе матеріаловъ).

Далѣе равнодѣйствующая  $R_3$  сила  $R_2$  и  $Q_1$  пересѣкаетъ основаніе устоя въ точкѣ  $i$ , отстоящей отъ середины устоя также меньше чѣмъ на  $\frac{1}{6}$  его ширины.

Горизонтальная составляющая сила  $H = 5$  тоннъ и разстояніе ея отъ подошвы основанія  $h = 10,2$  м., поэтому опрокидывающій моментъ

$$M_H = 5 \cdot 10,2 = 51,0 \text{ тоннъ-метр.}$$

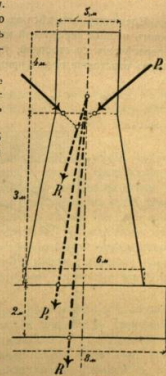
Моментъ отъ собственного вѣса относительно ребра  $n$

$$M_G = 136,0 \cdot 4,0 = 544,0$$

Поэтому коэффициентъ устойчивости

$$\mu = \frac{544}{51} = 10,7.$$

**26.** Статическое изслѣдованіе симметричнаго цилиндрическаго свода съ односторонней нагрузкой въ  $p = 800$  кгр. на кв. метръ (черт. 176).



Черт. 175.

(Примѣръ заимствованъ изъ сочиненія: «Kircher, Vorlagen für den gewerblichen Fachunterricht an technischen Lehranstalten».)

Вѣсъ 1 куб. метра кладки  $\gamma = 1600$  килогр.

Удѣльный вѣсъ надутки свода равенъ удѣльному вѣсу каменной кладки: а потому, линия нагрузки  $DE$  есть горизонтальная прямая. Переменная нагрузка можетъ быть замѣнена каменной кладкой, имѣющей высоту:

$$h = \frac{P}{\gamma} = \frac{800}{1600} = 0,5 \text{ метра.}$$

Линейный масштаб 1:20; масштабъ силы: 1000 килогр. = 2,5 см.

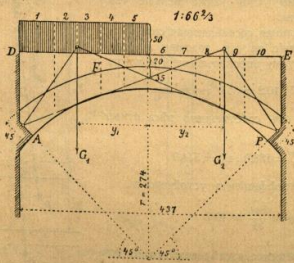
Вѣсъ свода раздѣленъ на 10 частей, изъ которыхъ 8 среднихъ имѣють каждая ширину по 40 см., а двѣ крайнія — по  $\frac{1}{2}$  (437—8.40) = 58,5 см. Вѣса ихъ даны въ слѣдующей таблицѣ:

Нагруженная половина свода.		Ненагруженная половина свода.	
Части.	Вѣсъ въ килогр.	Части.	Вѣсъ въ килогр.
1	1610 килогр.	6	358 килогр.
2	928 »	7	397 »
3	800 »	8	480 »
4	717 »	9	608 »
5	675 »	10	1142 »
G <sub>1</sub> = 4733 кил.		G <sub>2</sub> = 2985 кил.	

Соединивъ эти вѣса въ планъ силъ и выбравъ произвольно полюсъ  $O$ , строимъ первый веревочный многоугольникъ. Продолжая крайнія его стороны до пересѣченія со стороны, приходящейся какъ разъ подъ замкомъ свода, найдемъ разстоянiе точекъ приложения грузовъ  $G_1$  и  $G_2$  отъ средней оси свода:

$$y_1 = 119,5 \text{ см.}$$

$$y_2 = 138,5 \text{ »}$$



Черт. 176.

Затѣмъ, черезъ середину замкового шва и шовъ въ пятахъ проведемъ двѣ пересекающіяся прямая, точки встрѣчи которыхъ съ направленiями силъ  $G_1$  и  $G_2$  соединимъ, въ свою очередь, со срединами швовъ въ пятахъ.

Построимъ въ многоугольникѣ силъ указаннаго выше параллелограмма опредѣлимъ новый полюсъ  $O_1$ , пользуясь которымъ и построимъ линию давленiй, проходящую черезъ середину замкового шва и шовъ въ пятахъ. Окажется, что линия давленiй всюду остается внутри ядра сѣченiя.

Изъ многоугольника силъ находимъ давленiя въ пятахъ:

$$A = 5920 \text{ килогр.}$$

$$B = 5280 \text{ »}$$

и затѣмъ наибольшiя напряженiя давленiй въ пятовыхъ швахъ  $A$  и  $B$ , при ширинѣ послѣднихъ  $b = 45$  см.

$$\text{въ швъ } A: \sigma_A = \frac{A}{100 \cdot b} = \frac{5920}{100 \cdot 45} = 1,32 \text{ килогр.}$$

$$\text{въ швъ } B: \sigma_B = \frac{B}{100 \cdot b} = \frac{5280}{100 \cdot 45} = 1,17 \text{ килогр.}$$

Въ нагруженной сторонѣ свода линия давленiй больше всего приближается къ внѣшней поверхности свода около мѣста  $F$  (между 3-ю и 4-ю частями). Для этого шва  $F$ :

Разстоянiе точки давленiя отъ средней линии свода:  $l = 5$  см.

Ширина шва въ радиальномъ направленiи:  $d = 36,6$  см.

Сила, дѣйствующая на шовъ:  $P = 4160$  килогр.

Напряженiе давленiя, вызываемаго въ швъ около крайняго внѣшняго его ребра:

$$\sigma = \frac{P}{100 \cdot d} \left( 1 + \frac{6 \cdot e}{d} \right) = \frac{4160}{100 \cdot 36,6} \left( 1 + \frac{6 \cdot 5}{36,6} \right) = 2,07 \text{ килогр.}$$

Тѣмъ-же точно путемъ можно найти давленiя, появляющiяся въ швъ между 7 и 8 частями ненагруженной стороны свода, т. е. — въ томъ мѣстѣ, гдѣ линия давленiй больше всего приближается къ внутренней поверхности свода.

Предварительно линия давленiй выстраивается такъ, чтобы средины швовъ  $a$  и  $b$  были точками приложения давленiй въ пятахъ. Напряженiя въ этихъ швахъ распределяются въ такомъ случаѣ равномерно по всему поперечному сѣченiю и могутъ быть представлены графически въ видѣ прямоугольника; во всѣхъ-же остальныхъ (за исключенiемъ замка) мѣстахъ свода, гдѣ линия давленiй отклоняется отъ средней его линiи, графическимъ представлениемъ напряженiй служатъ трапецiя или треугольникъ. Вообще говоря, въ различныхъ точкахъ свода имѣють мѣсто различныя величинны напряженiй. Такъ напр., напряженiя  $\sigma_a, \sigma_b, \sigma_7, \sigma_8$ , существенно отличаются другъ отъ друга.

На самомъ дѣлѣ, линия давленiй, при односторонней нагрузкѣ свода, не проходитъ черезъ средины швовъ въ пятахъ его, а принимаетъ такое положенiе, при которомъ наибольшiя напряженiя въ швахъ  $A, B$  и  $F$  (давленiя въ крайнихъ ребрахъ) приблизительно равны между собой, такъ какъ всего вѣроятнѣе предполагать, что наиболее выгодная кривая давленiй и есть кривая давленiй действительная. При наимыгоднѣйшемъ положенiи кривой

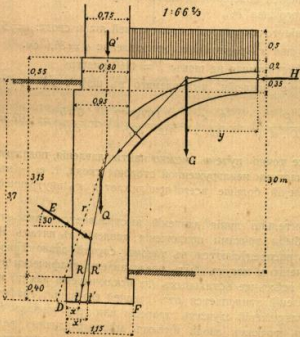
давлений напряжение в трех швах *A*, *B* и *F* получается, как среднее из трех:

$$\sigma = \frac{\sigma_a + \sigma_b + \sigma_f}{3} = \frac{1,32 + 1,17 + 2,07}{3} = 1,52 \text{ килогр.}$$

Зная это среднее напряжение, можно определить положение точек приложения давлений в швах *A*, *B* и *F*, а следовательно и новое положение линии давлений, очень близкое к действительному. Этот способ, называемый перемещением линии давлений, применяется в том случае, если первая построенная линия давлений, проходящая через середины замкового шва и шов в пятах, выходит некоторыми своими точками за пределы ядра свода. Если же и перемещенная линия давлений продолжает выходить за пределы ядра, то свод следует усилить.

27. Опора свода, имевшая размеры, показанные на черт. 177. Требуется определить давление в точках ребра *D*, сначала не принимая во внимание давления земли, а затем принимая это давление во внимание.

- Весь 1 куб. метра кладки свода . . . . .  $T_1 = 1600$  килогр.
- » — » » » опоры и фундам. . . . .  $T_2 = 2000$  »
- » — » » » земли . . . . .  $T_3 = 1800$  »



Черт. 177.

Нагрузка *Q* состоит из веса кладки верхних этажей, непосредственно приходящейся над опорой (оконная отверстие при этом вычитаются) далее, из веса полов, передающегося с помощью балок, и наконец, из веса крыши. Вся эта нагрузка:

$$Q = 12800 \text{ килогр.}$$

Точка приложения пружа *Q* лежит на средней линии стѣны, шириною в 0,75 метр.

Собственный вес *Q* опорной стѣны, включая сюда вес фундамента:

$$Q = (0,8 \cdot 0,55 + 0,05 \cdot 3,15 + 1,15 \cdot 0,4) \cdot 2000 = 7785 \text{ килогр.}$$

Весь нагруженной половины свода (см. стр. 238).

$$G = 4733 \text{ килогр.}$$

и горизонтальное расстояние послѣдняго от средней оси свода:

$$y = 119,5 \text{ см.}$$

Давление земли *E* получается графически, при  $\varphi = 30^\circ$  и  $h = 3,7$  метр., равным:

$$E = 3670 \text{ килогр.}$$

Принимая, въ соответствии линии наименьших давлений, точку приложения горизонтального распора *H* совпадающей въ замковом швѣ съ верхней точкой ядра и точку приложения давленія *k* въ пятѣ совпадающей съ нижней точкой ядра пятового шва, получимъ изъ многоугольника силъ измѣняемъ:

$$H = 4400 \text{ килогр.}$$

$$K = 6530 \text{ »}$$

Направление равнодѣйствующей *r* силъ *k* и *Q* не прѣсѣкаетъ вовсе подошвы *DF*, а проходитъ вѣд ее, за точкою *D*, что указываетъ на неустойчивость опоры при отсутствіи нагрузки *Q*. Направление равнодѣйствующей *R* силъ *r* и *Q* (или силъ *k*, *Q* и *E*) прѣсѣкаетъ подошву *DF* въ точкѣ *t*, расстояние которой отъ ребра *D*:

$$x = 24 \text{ см.}$$

Такъ какъ величина силъ, дѣйствующей вертикально на шовъ *DF*:

$$P = G + Q + E = 4733 + 7785 + 12800 = 25318 \text{ килогр.}$$

то въ точкѣ на ребрѣ *D* появляется давленіе (при отсутствіи давленія земли):

$$\sigma = \frac{Q \cdot P}{300 \cdot x} = \frac{2 \cdot 25318}{300 \cdot 24} = 7 \text{ килогр.}$$

Складывая силу *R* съ давленіемъ земли *E*, находимъ равнодѣйствующую *R'*, направление которой прѣсѣкаетъ подошву *DF* въ точкѣ *t'*. Расстояние  $t'D = x'$  получается при этомъ равнымъ:

$$x' = 38 \text{ см.}$$

Нормальная ко шву *DF* силу *P* слгаается изъ силъ *P* и вертикальной составляющей давленія земли. Изъ многоугольника силъ:

$$P' = 27360 \text{ килогр.}$$

Давленіе въ точкѣ на ребрѣ *D* (при существованіи давленія земли):

$$\sigma = \frac{2 \cdot P'}{300 \cdot x'} = \frac{2 \cdot 27360}{300 \cdot 38} = 4,8 \text{ килогр.}$$

Руководствуясь полученными результатами и выше принятыми нагрузками, слѣдовало бы опору ильскою утолстить.

**28. Расчет одноколейного железнодорожного моста \*)**

Все сооружение состоит из одного главного свода и из двух пар примыкающих к нему с каждой стороны боковых сводов полуциркулярной формы, из которых ближайший к среднему, с каждой стороны, опирается одною пятою непосредственно на главный свод.

Пролетъ главного свода (взятый на высотѣ фундамента) = 20,3 м, стрѣла его подъема = 6,6 м. Толщина свода въ замкѣ = 1,2 м; толщина въ пятахъ = 2,4 м.

Фундаментъ своей подошвой покоится на твердой скалѣ, которая въ данномъ случаѣ играетъ роль естественной опоры. Верхній вывѣтрившійся слой скалы удаленъ.

Толщина боковыхъ сводовъ: въ замкахъ = 0,4 м., въ пятахъ = 0,7 м. Средне устои ихъ, толщиной вверху въ 0,7 м., стоятъ своими подошвами на особыхъ площадкахъ, выдѣленныхъ вмѣстѣ съ пятами главного свода.

Свободные концы крайнихъ сводовъ покоятся на береговыхъ устояхъ, снабженныхъ на нагорномъ берегу ручья вертикальными, а на долинномъ берегу — наклонными крыльями.

Вѣсъ 1 куб. м. земли. . . . .  $\gamma = 1600$  килограм.

» 1 » » кладки . . . . .  $\gamma_1 = 2000$  »

Уголъ естественнаго откоса грунта . . . . .  $\varphi = 40^\circ$  »

Нагрузка железнодорожнаго полотна . . . . .  $p = 1600$  килограм. на

1 кв. метръ, замѣнена вѣсомъ каменной кладки высотой.

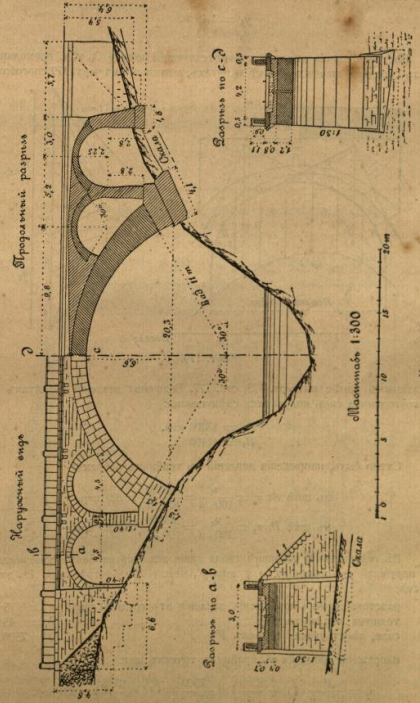
$$h = \frac{p}{\gamma_1} = \frac{1600}{2000} = 0,8 \text{ м.}$$

**А. Боковой сводъ.** Нагруженный съ одной стороны сводъ разбить вертикальными сѣченіями на 8 частей; толщина каждой изъ шести среднихъ частей = 0,65 м., каждой изъ крайнихъ = 0,6 м. Разсматривая участокъ свода шириною въ 1 метръ, получимъ для вѣсовъ этихъ частей слѣдующія значенія.

Нагруженная сторона.		Ненагруженная сторона.	
Части.	Вѣсъ въ килограм.	Части.	Вѣсъ въ килограм.
1	3420 кгр.	5	1456 кгр.
2	3354 »	6	1716 »
3	2756 »	7	2314 »
4	2496 »	8	2460 »
$G_1 = 12026$ кгр.		$G_2 = 7946$ кгр.	

Положенія вѣсовъ  $G_1$  и  $G_2$  определяются изъ перваго веревочнаго многоугольника, соответствующаго произвольному полюсу  $O$ , продолженіемъ крайнихъ сторонъ его до пересѣченія со стороны, лежащей непосредственно подъ замкомъ свода.

\*) Проектъ путепровода черезъ ручей, впадающій въ рѣку Аду.



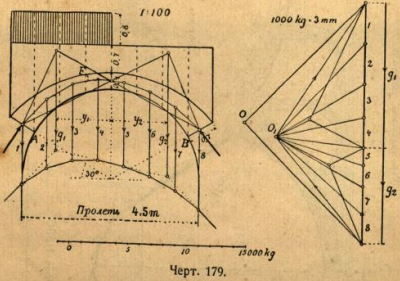
Черт. 178.

Изъ черт. получены слѣдующія величины для разстояній точек приложения сил  $g_1$  и  $g_2$  отъ средней оси свода:

$$y_1 = 1,40 \text{ м.}$$

$$y_2 = 1,44 \text{ ,,}$$

Построение линии давлений, соответствующей полюсу  $O_1$ , т. е. проходящей через середину швовъ въ замкѣ и пятахъ, выполнено на черт. 179 способомъ,



Черт. 179.

указаннымъ ранѣе на черт. 123, стр. 177. Величины давлений въ пятахъ изъ многоугольника силъ получаются слѣдующими:

$$A_1 = 13300 \text{ кгр.}$$

$$B_1 = 11400 \text{ ,,}$$

Стало быть, напряжения давлений въ крайнихъ ребрахъ:

$$\text{въ швъ } A: \sigma_a = \frac{\sigma_1}{100 \cdot d} = \frac{13300}{100 \cdot 70} = 1,9 \text{ кгр.}$$

$$\text{въ швъ } B: \sigma_b = \frac{\sigma_2}{100 \cdot d} = \frac{11400}{100 \cdot 70} = 1,63 \text{ кгр.}$$

Въ нагруженной половинѣ свода линия давлений наиболее приближается къ наружной его поверхности у шва  $F$ , между 3 и 4 отръзками. Въ этомъ мѣстѣ:

расстояние точки приложения давлений отъ середины шва.  $e = 5$  см.  
толщина шва по радиусу  $b = 45$  »  
сила, дѣйствующая на шовъ  $F$   $P = 7500$  кгр.

напряженіе давлений въ крайнихъ точкахъ шва:

$$\sigma_r = \frac{P}{100 \cdot b} \cdot \left(1 + \frac{6 \cdot e}{d}\right) = \frac{7500}{100 \cdot 45} \cdot \left(1 + \frac{6 \cdot 5}{45}\right) = 2,8 \text{ кгр.}$$

Линія давлений проходить асоду внутри ядра.

**29. Опора бокового свода.**

Давление земли (согласно стр. 126).

$$E = \gamma \cdot \frac{h^3}{2} \cdot \operatorname{tg}^2 \left( \frac{90^\circ - \varphi}{2} \right).$$

При  $\varphi = 40^\circ$ :

$$E = \gamma \cdot \frac{h^3}{2} \cdot \operatorname{tg}^2 25^\circ.$$

Если его представить въ видѣ вѣса земляной призмы, треугольнаго (высота =  $h$ , основание =  $b$ ) поперечнаго сѣченія, то:

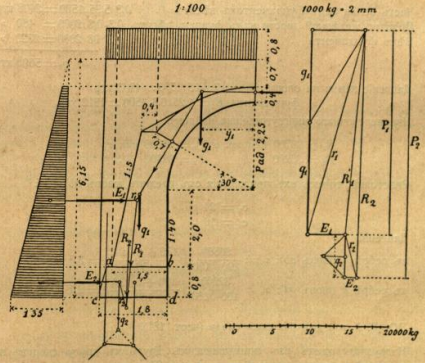
$$\gamma \cdot \frac{h \cdot b}{2} = \gamma \cdot \frac{h^3}{2} \cdot \operatorname{tg}^2 25^\circ,$$

откуда;

$$b = h \cdot \operatorname{tg}^2 25^\circ = 0,22 h.$$

На черт. 180  $h = 6,15$  м. Слѣдовательно, основание треугольника:

$$b = 0,22 \cdot 6,15 = 1,35 \text{ м.}$$



Черт. 180.

Предполагая часть свода, примыкающую къ опортѣ, нагруженной, выстраиваемъ въ этомъ предположеніи линію наименьшихъ давлений. Зная уже (см. стр. 242 и 244) вѣсъ  $g_1 = 12026$  килограммъ и разстояніе точки его приложения отъ середины свода  $y_1 = 1,40$  м., получаемъ изъ многоугольника силъ давленіе въ пятѣ  $\sigma_1 = 14000$  килограммъ.

Последнее соединяем съ равнодѣйствующей  $q_1$  вѣса опоры, вѣса лежащей на ней части земляной насыпи и нагрузки полотна желѣзной дороги въ общую равнодѣйствующую  $r_1$  (положеніе силы  $q_1$  легко находится съ помощью многоугольника силъ и веровочнаго многоугольника). Сложениемъ силы  $r_1$  съ давлениемъ земли  $E_1$  получаемъ послѣ того силу  $R_1$ , дѣйствующую на шовъ  $ab$ .

Вѣсъ фундамента соединяемъ на черт. 180 съ вѣсомъ покоящейся непосредственно на немъ части насыпи и съ нагрузкою желѣзнодорожнаго полотна въ равнодѣйствующую  $q_2$ , положеніе которой выясняется съ помощью многоугольника силъ и веровочнаго многоугольника. Слагаясь съ давлениемъ земли  $E_2$ , она даетъ равнодѣйствующую  $r_2$ ; сила же  $r_2$ , соединяясь съ  $R_1$ , даетъ силу  $R_2$ , дѣйствующую на шовъ  $cd$ .

Для перечисленныхъ силъ въ данномъ случаѣ получаемъ слѣдующія значенія:

Часть земли надъ опорой вѣсить:  $(1,1 \cdot 1,87 + \frac{1}{2} \cdot 0,7 \cdot 3,5) \cdot 1500 = 4923$  кгр.  
 Полотно желѣзной дороги надъ опорой вѣсить:  $1,1 \cdot 0,8 \cdot 2000 = 1760$  »  
 Вѣсъ опоры . . . . .  $(1,25 \cdot 2 + 0,87 \cdot 1,5 + \frac{1}{2} \cdot 0,75 \cdot 0,3) \cdot 2000 = 7835$  »  
 $q_1 = 14518$  кгр.

Часть земли надъ фундаментомъ вѣсить . . . . .  $0,3 \cdot 5,35 \cdot 1500 = 2408$  кгр.  
 Полотно желѣзной дороги надъ фундам. вѣсить  $0,3 \cdot 0,8 \cdot 2000 = 480$  »  
 Вѣсъ фундамента . . . . .  $1,7 \cdot 0,8 \cdot 2000 = 2720$  »  
 $q_2 = 5608$  кгр.

Давленіе земли на опору:  $E_1 = 0,7 \cdot 4,65 \cdot 1500 = 4883$  кгр.  
 » » » фундамента:  $E_2 = 1,26 \cdot 0,8 \cdot 1500 = 1512$  кгр.

Изъ веровочнаго многоугольника найдемъ:

$R_1 = 26700$  килогр. и  $P_1 = 26500$  килогр.  
 $R_2 = 32200$  " "  $P_2 = 32200$  "

Разстоянія точекъ ихъ приложенія отъ среднѣй шовъ  $ab$  и  $cd$ :

$e_1 = 24$  см.  
 $e_2 = 16$  "

Давленія:

въ ребрѣ  $a$  (шовъ  $ab$ ):  $\sigma_1 = \frac{26500}{100 \cdot 150} \left( \frac{150 + 6 \cdot 24}{150} \right) = 3,5$  кгр./см<sup>2</sup>  
 въ ребрѣ  $c$  (шовъ  $cd$ ):  $\sigma_2 = \frac{32200}{100 \cdot 180} \left( \frac{180 + 6 \cdot 16}{180} \right) = 2,7$  кгр./см<sup>2</sup>

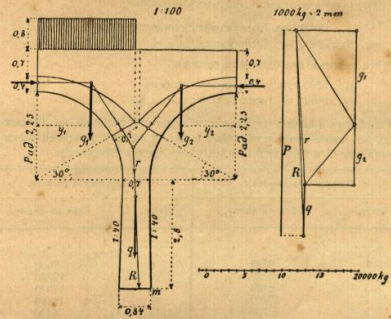
**30. В. Устой для боковаго свода (черт. 181).**

Нагрузимъ одинъ изъ примыкающихъ другъ къ другу сводовъ полностью, другой оставимъ вовсе безъ нагрузки. Вѣса  $g_1$  и  $g_2$ , а равно и разстоянія точекъ ихъ приложенія  $y_1$  и  $y_2$  отъ среднѣй сводовъ, были уже указаны въ задачѣ 28. Тамъ было найдено:

$g_1 = 12026$  килогр.  $y_1 = 1,40$  м.  
 $g_2 = 7946$  " "  $y_2 = 1,44$  "

Линія давленій для нагруженнаго свода имѣетъ относительно крутое положеніе; она пересѣкаетъ замковый и пятовый швы въ точкахъ, лежащихъ

между срединой шва и крайней точкой ядра, то есть, не вполне принимаетъ положеніе линіи наименьшихъ давленій.



Черт. 181.

То же справедливо и для сравнительно пологой линіи давленій въ ненагруженномъ сводѣ; но послѣдняя пересѣкаетъ замковый и пятовый швы въ точкахъ, лежащихъ нѣсколько ближе къ границѣ ядра, чѣмъ это имѣетъ мѣсто въ нагруженномъ сводѣ.

Давленія въ пятахъ получаются изъ многоугольника силъ:

$B_1 = 14500$  кгр.  
 $B_2 = 10300$  "

Равнодѣйствующая ихъ слагается съ вѣсомъ устоя —

$q = 6640$  кгр.

въ силу  $L_1$  дѣйствующую на подошву устоя.

Изъ многоугольника силъ находимъ:

$R = 26700$  кгр.,  $P = 26900$  кгр.

Сила  $R$  пересѣкаетъ подошву въ разстояніи  $e = 8$  см. отъ среднѣй шва; и слѣдовательно при ширинѣ подошвы  $d = 84$  см., давленіе въ точкахъ ея ребра:

$$\sigma = \frac{26900}{100 \cdot 84} \left( \frac{84 + 6 \cdot 8}{84} \right) = 5,0 \text{ кгр./см}^2$$

**31. С. Главнѣйшій сводъ (черт. 182).**

Нагрузимъ одну половину всего моста полностью, другую же его половину оставимъ свободною отъ нагрузки. Кривая давленій въ боковыхъ сво-



дажь, вслѣдствіе симметричнаго распредѣленія нагрузокъ, проходятъ черезъ середины швовъ въ замкѣхъ и пятахъ. При  $g_1 = 12026$  кгр. и  $g_2 = 7946$  кгр. (см. задачу 28) давленія въ пятахъ боковыхъ сводовъ:

$A = 15100$  кгр. (нагруженная сторона моста).

$B = 9800$  » (ненагруженная » » ).

Вѣса устоевъ для боковыхъ сводовъ:

$q_1 = 6800$  кгр. (нагруженная сторона).

$q_2 = 6640$  » (ненагруженная » » ).

Разобьемъ главный сводъ вертикальными сѣченіями на 10 частей (съ 3 по 12), къ нимъ прикинемъ слѣва и справа по двѣ фундаментныхъ части (1 и 2—слѣва; 13 и 14—справа); вѣса этихъ частей слѣдующіе:

Нагруженная сторона.		Ненагруженная сторона.	
Части.	Вѣсъ въ килогр.	Части.	Вѣсъ въ килогр.
1	9880	8	9600
2	8320	9	12240
3	6400	10	19930
4	10400	11	10400
5	23700	12	6400
6	16080	13	8320
7	13440	14	9880

Соединимъ всѣ силы по порядку черт. 182 въ общую линію силъ отъ  $a$  до  $e$ .

Построимъ прежде всего для главнаго свода линію давленій, проходящую черезъ середины швовъ въ замкѣхъ и пятахъ. Вблизи шва  $F$  (между 5 и 6 частями) она выйдетъ за предѣлы ядра и потому придется произвести ея передвиженіе (см. задачу 26).

При прохожденіи линіи давленій черезъ середины швовъ въ замкѣхъ и пятахъ:

Давленіе на лѣвую пятю  $A = 99000$  кгр.; ширина шва  $d_1 = 240$  см.

» » правую »  $B = 97000$  » » »  $d_2 = 240$  »

» » шовъ  $F$ :  $P = 76000$  » » »  $d = 138$  »

Расстояніе точки приложенія силы  $P$  отъ внѣшняго края свода:

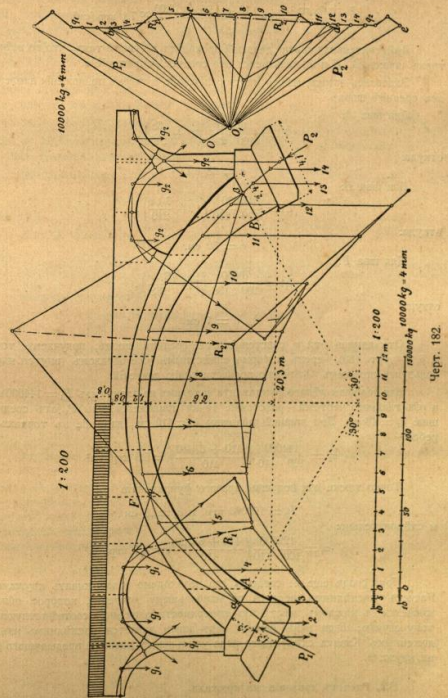
$$x = 39 \text{ см.}$$

При этомъ, давленія въ крайнихъ ребрахъ швовъ получаютъ слѣдующіи:

$$\sigma_a = \frac{A}{100 \cdot d_1} = \frac{99000}{100 \cdot 240} = \approx 4,13 \text{ кгр.}$$

$$\sigma_b = \frac{B}{100 \cdot d_2} = \frac{97000}{100 \cdot 240} = \approx 4,05 \text{ »}$$

$$\sigma_f = \frac{2P}{300 \cdot x} = \frac{2 \cdot 76000}{300 \cdot 39} = \approx 13,00 \text{ »}$$



Черт. 182.

Среднее напряжение:

$$\sigma_0 = \frac{\sigma_a + \sigma_b + \sigma_f}{3} = \frac{4,13 + 4,05 + 13,00}{3} \approx 7,1 \text{ кгр./см}^2$$

Действительная кривая давлений проходит в свод так, что во всех трех швах  $A$ ,  $B$  и  $F$  появляется это среднее напряжение  $\sigma$ .

Задаваясь этим, можно найти расстояние  $e$  точек приложения давлений от средин швов.

Для шва  $A$ :

$$7,1 = \frac{96000}{100 \cdot 240} \left(1 + \frac{6e}{240}\right),$$

откуда:

$$e = 28 \text{ см.}$$

Для шва  $B$ :

$$7,1 = \frac{97000}{100 \cdot 240} \left(1 + \frac{6 \cdot e}{240}\right),$$

откуда:

$$e = 30 \text{ см.}$$

Для шва  $F$ :

$$7,1 = \frac{76000}{100 \cdot 138} \left(1 + \frac{6 \cdot e}{138}\right),$$

откуда:

$$e = 7 \text{ см.}$$

Откладывая эти  $e$  расстояния от средин швов, получаем точки  $\alpha$ ,  $\beta$ ,  $\gamma$  (черт. 180), через которые известным уже образом (внутри ядра), пользуясь полюсом  $O_1$ , можно провести линию давлений.

Для подошвы левого фундамента находим по плану силу  $P_1 = 144000$  кгр. и из главного чертежа — расстояние точки приложения силы  $P_1$  от средин шва:  $e_1 = 40$  см. При ширине подошвы  $b = 410$  см., давление в точках ее ребра —

$$\sigma_1 = \frac{144000}{100 \cdot 410} \left(\frac{410 + 6 \cdot 40}{410}\right) = 5,5 \text{ кгр./см}^2$$

Точно также для подошвы правого фундамента:

$$P_2 = 129000 \text{ кгр. и } e_2 = 20 \text{ см.,}$$

и следовательно:

$$\sigma_2 = \frac{129000}{100 \cdot 410} \left(\frac{410 + 6 \cdot 20}{410}\right) = 4,1 \text{ кгр./см}^2$$

Пока свод еще не сведен, его необходимо поддерживать кружалами. Расчет последних ведется по наибольшему давлению, которое обнаруживается в каждом мѣстѣ их поверхности, а именно — соответствующему тому случаю, когда ряд камней над ним является последним из положенных. Кладка следующего ряда уменьшает давление предыдущего ряда на кружала.

### 32. Расчет давлений на кружала.

Рассматривая последний (самый верхний) из положенных ряд камней в предположении, что направление шва образует с горизонтом угол  $\alpha$ ,

разложим его вѣсъ  $G$  на составляющія силы:  $G \cdot \sin \alpha$  — по направлению шва и  $G \cdot \cos \alpha$  — по направлению перпендикулярному.

Под влиянием силы  $G \cdot \sin \alpha$ , при достаточно большом угле  $\alpha$ , произошло бы соскальзывание ряда камней вниз, если бы этому, кромѣ трения  $f \cdot G \cdot \cos \alpha$ , не противодействовала какая-либо другая сила. Для существованія равновѣсія ряда необходима, такимъ образом, сила, противодействующая силѣ  $G \cdot \sin \alpha$ , и по величинѣ равная:

$$R = G \cdot (\sin \alpha - f \cdot \cos \alpha).$$

Этой силой является давление со стороны кружала на ряд давящихся на него камней.

Послѣ замѣны:

$$f = \operatorname{tg} \varphi = \frac{\sin \varphi}{\cos \varphi},$$

получим:

$$R = G \cdot \left( \sin \alpha - \frac{\sin \varphi}{\cos \varphi} \cdot \cos \alpha \right) = G \cdot \left( \frac{\sin \alpha \cdot \cos \varphi - \cos \alpha \cdot \sin \varphi}{\cos \varphi} \right),$$

или:

$$R = G \cdot \frac{\sin(\alpha - \varphi)}{\cos \varphi}$$

Введемъ обозначенія:

 $d$  — средняя толщина ряда в метрахъ. $\gamma$  — вѣсъ 1 куб. м. кладки свода.Для участка свода в 1 метр ширинок:  $G = \gamma \cdot d$ , и следовательно:

$$R = \gamma \cdot d \cdot \frac{\sin(\alpha - \varphi)}{\cos \varphi}$$

Величина давления в направлении шва:

$$p = d \cdot \frac{\sin(\alpha - \varphi)}{\cos \varphi}$$

Выражене это легко представить графически, а именно: проводимъ (черт. 184) прямую  $CA$ , подъ угломъ трения  $\varphi$  къ горизонту и черезъ точку  $a$ , — прямую  $ab \parallel CA$ , до пересѣченія въ точкѣ  $b$  съ вертикалью, проходящею черезъ точку  $a$ . Треугольникъ  $aa_1b$  дастъ соотношеніе:

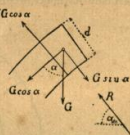
$$\frac{ab}{aa_1} = \frac{\sin(\alpha - \varphi)}{\cos \varphi},$$

откуда, замѣняя  $aa_1$  черезъ  $d$ , получимъ

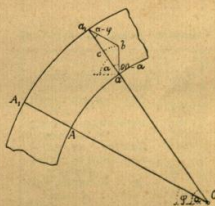
$$ab = d \cdot \frac{\sin(\alpha - \varphi)}{\cos \varphi}.$$

Описывая изъ точки  $a$ , какъ центра, дугу радиусомъ  $= ab$ , до пересѣченія ея въ точкѣ  $c$  со швомъ  $aa_1$ , получимъ:

$$ac = p.$$

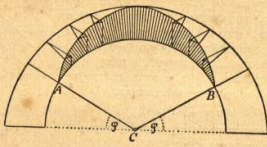


Черт. 183.



Черт. 184.

Поступая совершенно так же и для других швов и соединя точки радиально идущих отрезков  $p$  кривою, получим всю грузовую площадь.



Черт. 185.

При  $\alpha = \varphi$  величина  $p = 0$  (а следовательно, и  $R = 0$ ), такъ что сводъ въ нижней своей части ниже точекъ  $A$  и  $B$ , не нуждается въ поддержкѣ кружалами.

Уголъ тренія  $\varphi$  камня по камню принимаютъ равнымъ  $20^\circ - 30^\circ$ . Наибольше употребительное значеніе для коэффициента тренія  $f$ :

$$f = \tan \varphi = 0,5,$$

чему соответствуетъ:

$$\varphi = 28^\circ 40'.$$

Данныя о нагрузкахъ сооружений.

Таблицы собственныхъ вѣсовъ и нагрузокъ различныхъ сооружений.

I. Собственный вѣсъ строительныхъ материаловъ въ килограммахъ въ 1 куб. метрѣ.

A. Дерево.

	Сухое.	Препит. водой.
Дубъ . . . . .	800	1100
Букъ . . . . .	750	1000
Сосна . . . . .	650	900
Ель . . . . .	600	800
Пихта . . . . .	650	850

B. Металлы.

Сварочное желѣзо . . . . .	7800
Литое желѣзо . . . . .	7850
Чугунъ . . . . .	7250
Красная мѣдь . . . . .	8900
Цинкъ . . . . .	7100
Олово . . . . .	7300
Свинецъ . . . . .	11400
Латунь . . . . .	8500

C. Кладка.

Изъ обыкновеннаго кирпича . . . . .	1600
Изъ пористаго или пустотѣлаго кирпича . . . . .	1200
Изъ клинкера . . . . .	1800
» валуновъ . . . . .	1850
Бутовая кладка . . . . .	2000
Кладка изъ песчаника . . . . .	2400
» » известняка . . . . .	2600
Гранитъ . . . . .	2800
Базальтъ . . . . .	3200

D. Различныя другіе металлы.

Песокъ и гравій . . . . .	1600
Черноземъ и глина . . . . .	1600
Известковый растворъ . . . . .	1700
Цементный растворъ . . . . .	1800
Бетонъ . . . . .	2400
Асфальтъ (чистый) . . . . .	1100
Литой асфальтъ съ гравіемъ . . . . .	1600
Прессованный асфальтъ . . . . .	1800
Гипсъ . . . . .	1150
Стекло . . . . .	2650
Кирпичный ломъ (щебень) . . . . .	1400

II. Собственный вѣсъ и нагрузка крышъ.

A. Собственный вѣсъ желѣзныхъ фермъ на 1 кв. метръ горизонтальной проекции.

	Килограммъ.
Простые навѣсы и односкатная крыши — до 10 м. пролетомъ . . . . .	10—15
Небольшія двускатная и шатровая крыши . . . . .	15—20
Большія французскія и англійскія крыши . . . . .	20—30

Можно тоже пользоваться формулою

$$g = 2,7l + 1,5l$$

въ кгр. на 1 кв. м. горизонт. проекции, при длинѣ пролета *l*.

B. Собственный вѣсъ покрытiя со включенiемъ вѣса обрѣшетки и стропилъ въ килограммахъ на кв. метръ горизонтальной проекции.

Строп. плав.	ПОДЪЕМЪ КРОВЛИ (отъ всего пролета).	1	1	1	1	1	1	1	1	
		2	3	4	5	6	7	8	9	10
На дер. стропилѣхъ.	Одиночная черепичная кровля . . . . .	144	123	114	—	—	—	—	—	—
	Двойная . . . . .	180	153	142	—	—	—	—	—	—
	Голевая кровля . . . . .	42	36	34	32	32	31	31	31	31
	Кровля изъ цинка или желѣзн. лист. на досчатой обрѣшкѣ . . . . .	58	49	46	44	43	43	42	42	42
На металлическихъ стропилѣхъ.	Кровля изъ гладк. лист. желѣза . . . . .	37	31	29	28	27	27	27	27	27
	Кровля изъ волн. лист. желѣза . . . . .	31	26	25	24	23	23	23	23	22
	Кровля изъ волн. лист. цинка . . . . .	34	29	27	26	25	25	25	25	24
	Стеклянная кровля на желѣз. обрѣшкѣ . . . . .	42	36	34	32	32	—	—	—	—
	Асфальтовый войлокъ на деревянной обрѣшкѣ $\left(\frac{h}{1} = \text{ок. } \frac{1}{12}\right)$ . . . . .	Квадр. 40								
Мѣдные листы на деревянной обрѣшкѣ $\left(\frac{h}{1} = \frac{1}{8} - \frac{1}{12}\right)$ . . . . .	55—85									

Свинцовые листы на деревянной обрѣшкѣ  $\left(\frac{h}{1} = \text{ок. } \frac{1}{12}\right)$  . . . . . 65—100  
 Дровеси. цем. на дер. общ. съ засып. грав.  $\left(\frac{h}{1} = \frac{1}{20} - \frac{1}{40}\right)$  . . . . . 180

C. Нагрузка крышъ на 1 кв. метръ площади сната или горизонтальной проекции.

1. Грузъ отъ снѣга на кв. м. горизонт. проекции . . . . . 75 кгр.
2. Давленiе вѣтра опредѣляется слѣдующимъ образомъ:

Если обозначимъ через *l* полной пролетъ стропиль, *h* подъемъ, то для различныхъ значенiй  $\frac{h}{l}$ , получимъ слѣдующiя значенiя для *W* и *W<sub>v</sub>*.

1. Таблица величинъ нормальной къ плоскости сната составляющей давленiя вѣтра, приходящейся на кв. м. площади сната.

<i>W<sub>0</sub></i>	$\frac{h}{l} = \frac{1}{2}$	$\frac{1}{3}$	$\frac{1}{4}$	$\frac{1}{5}$	$\frac{1}{6}$	$\frac{1}{7}$	$\frac{1}{8}$	$\frac{1}{9}$	$\frac{1}{10}$
120	89	72	59	50	44	39	35	32	30
150	112	86	74	62	55	50	44	40	37
180	134	107	89	75	66	59	53	48	45

2. Таблица величинъ вертикальной слагающей давленiя вѣтра, приходящейся на кв. м. горизонтальной проекции кровли.

<i>W<sub>v</sub></i>	$\frac{h}{l} = \frac{1}{2}$	$\frac{1}{3}$	$\frac{1}{4}$	$\frac{1}{5}$	$\frac{1}{6}$	$\frac{1}{7}$	$\frac{1}{8}$	$\frac{1}{9}$	$\frac{1}{10}$
120	199	112	78	60	51	44	38	34	32
150	251	134	98	75	64	56	48	43	39
180	300	166	118	91	76	66	58	51	48

Относительно пользования второй таблицей, слѣдуетъ замѣтить, что въ этомъ случаѣ слѣдуетъ уменьшить величину одновременной нагрузки отъ снѣга, принявъ въ  $\frac{2}{3}$  указанной въ № 32 величины.

D. Значенiе коэффициентовъ  $\mu$  къ формулѣ Ирмингера.

Какъ указано на стр. 110 полное давленiе на произвольное тѣло по Ирмингеру выражается формулою  $\sum W = \mu F W_0$

гдѣ *F* площадь поперечнаго сѣченiя тѣла, а *W<sub>0</sub>* давленiе на кв. м. нормальной къ вѣтру плоскости.

1. Таблица значений коэффициентов  $\mu$  для различных тѣлъ.

НАИМЕНОВАНИЕ ТѢЛА.	$\mu$	Въ %.	
		Отношеніе съ наветренной стороны.	Разрѣженіе съ подветренной стороны.
Призма обращенная гранью къ вѣтру.	0,95	57	43
» » ребромъ » »	0,56	24	76
Цилиндръ длинный	0,57	28	72
» короткий	0,47	50	50
Кубъ, обращенный гранью къ вѣтру	0,80	78	22
» » ребромъ » »	0,47	45	55
Конусъ съ основаніемъ — высотью	0,38	50	50
Шаръ	0,31	23	77

2. Таблица значений давленій вѣтра на кровлю.

Уголъ кровли въ °.	Полное давленіе.	Въ %.	
		Отношеніе съ наветренной стороны.	Разрѣженіе съ подветренной стороны.
90°	1,00 $W_0$	55	45
60°	0,90 $W_0$	44	56
30°	0,65 $W_0$	17	83
20°	0,52 $W_0$	6	94
10°	0,26 $W_0$	0	100

## III. Нагрузка междуэтажныхъ перекрытій въ килограммахъ на 1 кв. метръ.

## а) Переменная нагрузка перекрытій.

Въ обыкновенныхъ жилыхъ помѣщеніяхъ . . . . .	250 кгр.
» танцевальныхъ залахъ и залахъ для собраній . . . . .	400 »
» сѣнавалахъ . . . . .	450 »
» амбарахъ . . . . .	500 »
» складахъ для торговыхъ товаровъ . . . . .	760—1200—1500 »
Перекрытій подъ проѣздами или подъ проѣздами двора . . . . .	400 »
Нагрузка отъ толпы людей . . . . .	400 »

## б) Собственный вѣсъ перекрытій \*)

## а) Деревянные перекрытія.

Расстояніе между серединами балокъ = 1 метръ, сѣченіе балокъ = 24 × 26 см.

\*) По циркуляру Строительнаго отдѣла Прусскаго Министерства общественныхъ работъ, отъ 16 мая 1890 г.

Рядъ балокъ съ поперечнымъ настиломъ (толщ. 3,5 см.) . . . . .	70 кгр.
Рядъ балокъ въ накатомъ (толщ. въ 3 см.) и смазкой изъ глины (толщ. въ 10 см.) . . . . .	210 »
Рядъ балокъ съ настильнымъ чернымъ поломъ и глиняной смазкой (толщ. въ 10 см.) . . . . .	230 »
Рядъ балокъ съ наборнымъ чернымъ поломъ, глиняной смазкой до низа пола (толщ. въ 11 см.) и чистымъ поломъ . . . . .	220 »
Какъ въ предыдущемъ случаѣ, но съ прибавленіемъ штукатурки по деревянной подшивкѣ (толщ. въ 2 см.) . . . . .	250 »
Рядъ балокъ съ наборнымъ чернымъ поломъ, глиняной смазкой (толщ. въ 11 см.) и слоемъ гнса или глины (толщ. 5—7 см.) . . . . .	310 »
Какъ въ предыдущемъ случаѣ, но съ прибавленіемъ деревянной оштукатуренной подшивки (толщ. въ 2 см.) . . . . .	340 »
Рядъ балокъ съ настильнымъ чернымъ поломъ, полной смазкой до низа балки и чистымъ поломъ (толщ. въ 3,5 см.) . . . . .	360 »

## в) Сводчатые перекрытія.

Подъемъ свода =  $\frac{1}{8}$ . Засыпка пескомъ или коксовой золой, причемъ забутовка доведена до высоты ключа. Поперечные прогоны 10 × 10 см. удалены отъ центра на 0,8 м.; толщина чистаго пола 3,5 см. Вѣса приведены безъ вѣса желѣзныхъ балокъ.

Сводъ пролетомъ до 2 м., толщиной въ $\frac{1}{2}$ кирпича, изъ сплошнаго кирпича . . . . .	370 кгр.
Тоже изъ пористаго или пустотѣлаго кирпича . . . . .	310 »
» » валуновъ . . . . .	260 »
Сводъ пролетомъ отъ 2—3 м., толщиной въ $\frac{1}{2}$ кирпича, изъ сплошнаго кирпича . . . . .	440 »
Тоже изъ пористаго или пустотѣлаго кирпича . . . . .	380 »
» » валуновъ . . . . .	330 »
Сводъ изъ бетона, пролетомъ до 1,4 м. . . . .	370 »

При заполненіи промежутковъ между поперечными прогонами, нагрузка сводчатыхъ потолковъ увеличивается на 140 кил. на 1 кв. метръ.

## IV. Собственный вѣсъ мостовъ.

Собственный вѣсъ мостовъ опредѣляется или на кв. единицу полотна моста или на погонную единицу длины всего моста. Въ желѣзнодорожныхъ мостахъ вѣсъ опредѣляется на погонную единицу одного пути (опредѣленной ширины) или одной фермы. Ниже вѣсъ дается въ килограммахъ при единичной длинѣ метръ и въ пудахъ при единичной длинѣ футы. Для перехода отъ однихъ мѣръ къ другимъ можно пользоваться слѣдующими соотношеніями:

1 кгр. на пог. м. = 0,0186 п. ф. 1 пудъ на пог. ф. = 58,742 кгр./м.  
1 кгр. на кв. м. = 0,00667 п. ф.<sup>2</sup> 1 пудъ на кв. ф. = 176,820 кгр./м.<sup>2</sup>

Въ дальнѣйшемъ  $l$  обозначаетъ длину пролета (расчетнаго),  $u$  собственный вѣсъ.

## А. Мосты под проезжую дорогу.

## а) Постоянная нагрузка.

## 1. Деревянные мосты.

Фермы из одиночных балок в кг./м.<sup>2</sup> и п./ф.<sup>2</sup>

$$g = 10l + 140 \text{ кг.}$$

$$g = 0,06l + 0,8 \text{ пуд.}$$

Фермы из составных балок в кг./м.<sup>2</sup> и п./ф.<sup>2</sup>

$$g = 9l + 200 \text{ кг.}$$

$$g = 0,05l + 1,2 \text{ пуд.}$$

Вторые члены в этих формулах зависят от толщины настила.

## 2. Железные мосты.

Общий вѣсъ желѣза главных ферм и проезжей части, но не считая вѣса желѣза, служащаго непосредственнымъ основаниемъ мостовой, т. е. напр. лотоваго желѣза Зоре и т. д.

Вѣсъ вѣ ктр. на кв. м. моста

$$g = A + Bv + C^2$$

Вѣсъ вѣ ктр. на кв. м. тротуаровъ, когда они устроены на консоляхъ внѣ главныхъ фермъ

$$g_1 = D + E.$$

Значеніе коэффициентовъ  $A, B, C, D$  и  $E$  даны въ прилагаемой таблицѣ. Въ послѣднихъ 2-хъ графахъ даны вѣсы желѣза, служащаго основаниемъ полотна проезжей части и вѣсъ самого полотна. Прибавляя эти два числа къ вѣсу желѣза моста  $g$ , получимъ полный вѣсъ моста, необходимый для его расчета.

Наименованіе мостовъ.	A	B	C	D	E	Вѣсъ ж. лотковъ на Зоре в т. п.	Вѣсъ полотна.
1. Мосты проѣз. дор. съ досчат. наст.	105	2,3	0,020	60	2,3	—	100
2. Мосты проѣз. дор. съ шоссирован.	125	2,8	0,025	60	2,3	65	400
3. Городск. м. съ досчат. наст.	155	2,7	0,021	80	2,7	—	140
4. Городск. м. шоссирован.	170	3,2	0,028	80	2,7	80	480
5. Городск. м. мощенн.	180	8,7	0,029	80	2,6	80	700

## б) Подвижная нагрузка.

## 1. Подвижная нагрузка отъ толпы людей принимается:

Для мостовъ проѣзжихъ дорогъ

$$p = 2,5 \text{ пуд./ф}^2 = 440 \text{ кг./м}^2.$$

Для мостовъ городскихъ

$$p = 3 \text{ пуд./ф}^2 = 530 \text{ кг./м}^2.$$

## 2. Подвижная нагрузка отъ экипажей.

Въ каждомъ частномъ случаѣ могутъ быть даны спеціальныя повозки. Для обыкновенныхъ случаевъ можно принимать нагрузку отъ двухъосныхъ экипажей двухъ родовъ въ зависимости отъ большей или меньшей влажности моста.

Элементы повозокъ.	Въ пудахъ в саженьхъ.		Въ квадрахъ и метрахъ.	
	Легкая.	Тяжелая.	Легкая.	Тяжелая.
Вѣсъ повозки . . .	300	500	4920	5200
Нагрузка на ось . . .	75	125	1230	1300
Длина повозки . . .	2,3	3,0	4,9	6,4
» хода . . . . .	1,3	1,5	2,8	3,2
Ширина повозки . . .	1,2	1,3	2,6	2,8
» хода . . . . .	0,6	0,65	1,3	1,4
Длина запряжки . . .	1,3	3,1	2,8	6,6
Число лошадей . . .	4	8	4	8

Кромѣ того, часто для проверки прочности моста принимаютъ во вниманіе катокъ. Катокъ бываетъ различнаго вѣса и каждый разъ надо опредѣлять ихъ размѣръ особо. Наиболее извѣстны катки (изъ тяжелыхъ) въ 11400 и 15000 и ктр.

Въ новѣйшее время приходится имѣть дѣло съ электрическими трамваями. Ихъ размѣры разнообразны. Большія трамваи на двухъ тѣлѣжкахъ по 2 оси въ каждой имѣютъ 15 тоннъ вѣса, т. е. по 3750 ктр. на ось; разстояніе между осями тѣлѣжки 1,8 м.; между серединами тѣлѣжекъ 6,5 м., ширина хода отъ 1,2 м. до нормальной желѣзнодорожной колесъ; за границей 1,435 м., у насъ 1,524 м.

## В. Мосты подъ желѣзную дорогу.

## а) Постоянная нагрузка.

## 1. Деревянные мосты.

Полный вѣсъ главныхъ фермъ поперечнѣ и связей, а также рельсовъ со скрѣпленіями на погонн. единицу, каждаго пути.

$$g = A + F$$

Значение коэффициентов  $A$  и  $F$ , для различных систем и для мѣръ русскихъ и метрическихъ даны въ прилагаемой таблицѣ.

Система фермъ	Футовъ и футовъ		Килограммы и метры.	
	A	F	A	F
1 Фермы изъ одиночныхъ балокъ	0,48	9,0	84	500
2 Фермы изъ сложныхъ балокъ	0,40	11,0	70	550
3. Фермы Гау.	0,16	12,5	28	670

## 2. Жѣлѣзные мосты.

Полный вѣсъ главныхъ фермъ со связями, съ поперечинами, рельсами и скрѣпленіями на пог. единицу пути опредѣляется по такой же формулѣ,

$$g = Al + F,$$

причемъ значение коэффициентовъ  $A$  и  $F$  нѣсколько измѣняется въ зависимости отъ конструкции и пролета.

	Футовъ и футовъ		Килограммы и метры.	
	A	F	A	F
Для малыхъ и среднихъ прол.	0,16	14	28	750
Для большихъ прол. $l \geq 50$ м.	0,20	15	35	800

## б) Подвижная нагрузка.

Для расчета жѣлѣзнодорожныхъ мостовъ принимается нормальный типъ паровоза, тендера и вагона.

1. **Паровозъ.** Четыре оси; нагрузка на каждую ось 15 тоннъ; разстояние между осями 1,3 метра; разстояние между буферомъ и ближайшею крайнею осью 2,7 метра; полная длина паровоза между буферами 9,3 метра.

2. **Тендеръ.** Три оси; нагрузка на каждую ось 12,5 тоннъ; разстояние между осями 1,6 метра; разстояние между буферомъ и ближайшею осью тендера 1,8 метра; полная длина тендера между буферами 6,8 метра.

3. **Вагонъ.** Двѣ оси; нагрузка на каждую ось 10 тоннъ; разстояние между осями 3,8 метра; разстояние между осью и ближайшимъ буферомъ 1,9 метра; полная длина вагона между буферами 7,6 метра.

## 4. Способъ примѣненія нормальныхъ типовъ этихъ поездовъ къ расчету.

При расчетѣ мостовыхъ фермъ металлическихъ мостовъ малыхъ пролетовъ, а равно при расчетѣ продольныхъ и поперечныхъ балокъ пробѣжей части металлическихъ мостовъ, надлежитъ принимать нагрузку въ слѣдующихъ двухъ предположеніяхъ:

- а) прохода вышеуказаннаго нормальнаго поѣзда, и
- б) прохода отдѣльной оси съ давленіемъ на нее въ 20 тоннъ, и затѣмъ принимать для расчета ту изъ нагрузокъ, вычисленныхъ при указанныхъ двухъ предположеніяхъ, которая вызываетъ въ мостовыхъ частяхъ большія напряженія.

При расчетѣ всѣхъ больше-пролетныхъ жѣлѣзнодорожныхъ мостовъ, какъ вновь строящихся, такъ и подлежащихъ усилению, принимать поѣздъ, состоящій изъ двухъ паровозовъ, съ тендерами и вагонами вышеуказанныхъ нормальныхъ типовъ, расположенныхъ невыгоднѣйшимъ образомъ въ пролетѣ моста, а въ многопролетныхъ мостахъ съ неразрѣзными фермами, расположенныхъ невыгоднѣйшимъ образомъ въ пролетахъ.

Указанные выше два паровоза могутъ быть поставлены въ поѣздъ врозь или рядомъ, съ трубами въ одну сторону или обращенными одна къ другой, смотря по тому, какъ это потребуетъ для самаго невыгоднаго нагруженія моста. Вагоны могутъ стоять впереди и сзади каждаго паровоза. При расчетѣ мостовъ необходимо имѣть въ виду также возможность разрыва нормальнаго поѣзда въ одно мѣстѣ и нахождения въ нормальномъ поѣздѣ порожнихъ вагоновъ.

## ЛИТЕРАТУРА.

### I. На русскомъ языкѣ.

1. **Богдановскій**. Подпорныя стѣны. 1900.
2. **Гассельблатт**. Графическая статика. 1896.
3. **Губеръ**. Механика для техническихъ и ремесленныхъ училищъ. Въ переводѣ съ 4-го изданія М. А. Савина, подъ редакціей М. Н. Демьянова. Спб. 1903.
4. **Гуммель**. Руководство по строительной механикѣ. Въ переводѣ инженера-технолога Балезнаго. Спб. 1906.
5. **Кирпичевъ, В. Л.** Основанія графической статика. Киевъ. 1902.
6. **Кирпичевъ, Н. Л.** Графическая статика. Литографированныя записки по лекціямъ. Н. Ижевск. Академіи.
7. **Куницкій, С.** Начала статика сооружений. Балочныя формы. Спб. 1898.
8. **Лауенштейнъ**. Графическая статика. Переводъ съ 6-го немецкаго изданія 1901, Н. Вилана, подъ редакціей А. Сафьянча. Спб. 1902.
9. **Моллеръ-Вреслау**. Графическая статика сооружений. Въ переводѣ Г. Г. Кривошеина и П. Н. Казина. Спб. 1898—1901.
10. **Соколовскій**. Курсъ строительной механики. Т. I. Графическая статика.
11. **Тюринъ, В. Г.** Статика сооружений. Литографированныя записки по лекціямъ Н. Ижевск. Академіи. I. Балочныя формы. II. Давленіе земли. III. Своды. Спб. 1902, 1903 и 1904.
12. **Яценкоуі, Ф. С.** Собраніе сочиненій. Статика сооружений. Сборн. Инст. Инж. Пут. Сооб. Им. Александра I. Выпускъ LVIII. Спб. 1903.

### II. На немецкомъ языкѣ.

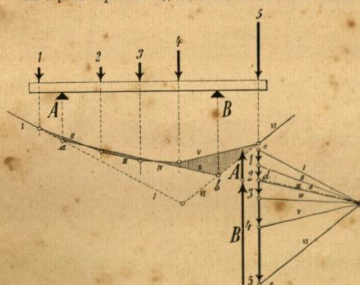
1. **Föppl, Dr. Aug.** Vorlesungen über Technische Mechanik. II. Graphische Statik. II. Auflage. Leipzig. 1900.
2. **Killman, Paul.** Die Graphostatik. (Жур. Die Schule des Bautechnikers. 1902).
3. **Klason, Ludwig.** Graphische Ermittlung der Spannungen in den Hochbau- und Brückenbau-Constructionen. Leipzig. 1878.
4. **Mehrtens, G. Chr.** Statik und Festigkeitslehre. I u. II. Leipzig. 1903 и 1904.
5. **Ritter, Aug.** Lehrbuch der Technischen Mechanik. Leipzig. 1892.
6. **Ritter.** Die Gitterträger.
7. **Ritter, W.** Statik der Tunnelgewölbe. Berlin. 1879.
8. **Schmid, Carl.** Statik und Festigkeitslehre. Lehrheft nebst vielen Beispielen, elementar bearbeitet für den Gebrauch an der Schule und in der Praxis. Stuttgart. 1897.
9. **Vonderlin.** Statik für Hoch- und Tiefbautechniker. Stuttgart. 1902.
10. **Weyrauch, J.** Theorie des Erddrucks. Wien. 1881.
11. **Zillieb, Karl.** Statik für Baugewerkschulen. Die Graphische Statik. Berlin. 1898.

### III. На французскомъ языкѣ.

1. **Antomari.** Leçons de Statique. Paris. 1897.
2. **Arnal.** Traité de mecanique. Statique graphique et résistance des matériaux. Paris. 1897.
3. **Levy, Maurice.** La Statique Graphique.

## Замѣченные опечатки.

На стр. 62 чертежъ 44 долженъ быть замѣненъ такимъ.



На стр. 154, послѣ 7-ой строки сверху, слѣдуетъ помѣстить прилагаемый чертежъ.

